

MINISTERUL INVATAMINTULUI SI STIINTEI
Institutul Politehnic " Traian Vuia " Timișoara
facultatea de Mecanică

Ing. Vasile I. Ciofoaia

CONTRIBUTII LA STUDIUL STARILOR DE SOLICITARE AL
PLACILOR CIRCULARE RIGIDIZATE RADIAL

BIBLIOTECA CENTRALĂ
UNIVERSITATEA "POLITEHNICA"
TIMIȘOARA

Conducător științific

Prof.dr.ing. LAZAR BOLEANTU

1 9 9 1

INSTITUTUL POLITEHNIC TIMIȘOARA	
Volumul	557/189
Dulap	3/4

BUPT

INTRODUCERE

În ultimii ani o amploare deosebită a luat dezvoltarea construcțiilor industriale, de mașini, de nave și a industriei chimice. Acest lucru a impus dezvoltarea corespunzătoare de noi tipuri de structuri complexe printre care și a plăcilor circulare cu nervuri radiale. În acest cadru se înscrie lucrarea prezentă limitată la studiul stărilor de deformare și de tensiune la plăcile circulare cu nervuri radiale. Autorul întrucât, ținând cont de studiile [123], [124], [230] efectuate prezent, să formuleze și să dezvolte metode de calcul cu aplicabilitate generală și să prezinte relații de calcul care să slujească proiectanților.

Organizarea materialului prezentat în lucrare a fost făcută în 9 capitole.

În capitolul 1 sînt prezentate notațiile mărimilor folosite în analiza stării de deformare și de tensiune a plăcilor circulare izotrope, a rețelelor de bare și a plăcilor circulare cu nervuri radiale.

Capitolul 2 analizează modurile de creștere a rezistenței și rigidității plăcilor circulare prin folosirea de materiale cu proprietăți mecanice superioare sau prin obținerea unor configurații constructive adecvate. Sînt prezentate tipuri de plăci cu nervuri, avantaje și inconveniente în utilizarea acestor plăci și domeniile de utilizare. Se face o analiză critică a stadiului actual al cercetărilor privind calculul plăcilor circulare cu nervuri radiale și se stabilesc obiectivele lucrării.

În capitolul 3 sînt create premisele dezvoltării ulterioare privind calculul plăcilor cu nervuri analizîndu-se plăcile circulare și rețele de bare. Sînt tratate aspecte generale privind deplasările, deformările, eforturile secționale, ecuațiile de echilibru static și eforturile din bare la rețele în funcție de componentele deplasării.

În capitolul 4 sînt tratate plăcile circulare cu nervuri radiale. Sînt deduse relații de calcul ale deformațiilor, tensiunilor, eforturilor secționale în funcție de componentele deplasării precum și ecuațiile diferențiale care descriu deformarea lor. Momenturile secționale și ecuațiile diferențiale s-au stabilit pe mai multe căi existînd posibilitatea confruntării rezultatelor obținute.

În capitolul 5 se analizează modul de integrare a ecuațiilor diferențiale care descriu deformarea plăcilor circulare cu nervuri radiale. Soluțiile ecuațiilor diferențiale au fost obținute în cazul încărcării axial simetrice a plăcii cînd nervurile au secțiunea transversală constantă sau variabilă. Se prezintă exemple de calcul iar rezultatele sînt comparate cu cele obținute la placa circulară izotropă. Totodată se specifică modul de calcul al acestor plăci cu metodele Rayleigh-Ritz și Bubnov-Galerkin precum și cu metoda elementului finit. În încheierea capitolului se prezintă programul de calcul prin substructurare elaborat pentru analiza diferitelor tipuri de structuri complexe precum și a plăcilor circulare cu nervuri radiale.

Micșorarea greutateii plăcii circulare cu nervuri radiale în raport cu placa circulară de grosime constantă cînd se impune ca ele să aibă aceeași rezistență sau rigiditate prin stabilirea numărului și a dimensiunilor nervurilor se tratează în capitolul 6.

În capitolul 7 sînt prezentate cercetările experimentale ale stărilor de deformație și de tensiune și compararea lor cu rezultatele obținute prin diferite metode de calcul. În acest sens, tensometria electrică rezistivă, fotoelasticitatea și interferometria holografică s-au dovedit a fi tehnicile experimentale cele mai potrivite pentru analiza stărilor de deformație și de tensiune în plăcile circulare nervurate. Totodată sînt prezentate dispozitivele folosite pentru efectuarea cercetărilor experimentale.

În capitolul 8 sînt prezentate principalele contribuții și concluzii desprinse din cercetarea teoretică și experimentală a stărilor de deformație și de tensiune la

plăcile circulare cu nervuri radiale și unele aspecte care pot fi tratate ulterior într-o nouă cercetare.

În ultimul capitol, anexe, sînt tratate mai detaliat unele noțiuni de geometrie diferențială și analiză tensorială necesare deducerii relațiilor pentru deplasări, deformații și a ecuațiilor de echilibru static ale plăcilor circulare. Totodată se prezintă integrarea ecuațiilor diferențiale care descriu deformarea plăcilor circulare cu nervuri radiale cu secțiune variabilă cu ajutorul seriilor.

Autorul își exprimă sentimentul de profundă recunoștință față de domnul prof.dr.ing.Lazăr Boleanțu pentru prețioasele sfaturi de încurajare și sprijin continuu primite pentru terminarea acestei lucrări.

1. NOTATII

Sisteme de coordonate

x, y, z	- coordonate carteziene
r, φ, z	- coordonate cilindrice

Lungimi

R	[L]	- raza exterioară a plăcii
r	[L]	- rază curentă
h	[L]	- grosimea plăcii
H, H_0, h_r	[L]	- înălțimea nervurii
T, t_r, t	[L]	- lățimea nervurii
b_r, b_φ	[L]	- distanța dintre nervuri în direcție circumferențială, respectiv radială

Caracteristici geometrice

$dA = r \cdot dr \cdot d\varphi$	[L ²]	- aria elementului de suprafață
A_r, A_φ	[L ²]	- aria elementului de placă în direcția axei r , respectiv φ
$A_{rn}, A_{\varphi n}$	[L ²]	- aria secțiunii nervurii radiale, respectiv circumferențiale
V, V_0	[L ³]	- volumul plăcii cu nervuri, respectiv al plăcii fără nervuri
$I_{rn}, I_{\varphi n}$	[L ⁴]	- momente de inerție ale secțiunilor nervurilor
D, B	[FL]	- rigiditatea cilindrică, respectiv axială a plăcii
D_x, D_y, D_r, D_φ	[FL]	- rigidități de încovoiere în direcțiile x, y, r, φ
D_t, D_{xy}	[FL]	- rigidități la torsiune
D_l	[FL]	- rigiditate la încovoiere care ia în considerare contracția
$\bar{B}_r, \bar{B}_\varphi$	[FL ⁻¹]	- rigiditate axială a nervurilor distribuită pe lungimile b_r , respectiv b_φ
$\bar{D}_r, \bar{D}_\varphi$	[FL]	- rigiditate de încovoiere ale nervurilor distribuite pe lungimile b_r , respectiv b_φ
$\bar{D}_{r\varphi}, \bar{D}_{\varphi r}$	[FL]	- rigiditate la torsiune al nervurilor distribuite pe lungimea b_r , respectiv b_φ
$\bar{S}_r, \bar{S}_\varphi$	[FL ²]	- momentul rigidității axiale al nervurilor în raport cu un plan de referință distribuite pe lungimea b_r , respectiv b_φ

$B_{r\varphi}, B_{\varphi r}$	$[FL^{-1}]$	- rigiditate longitudinală distri- buită pe lungimile b_r , respectiv b_φ
Materiale		
E	$[FL^{-2}]$	- modul de elasticitate longitudinal
$E_{rn}, E_{\varphi n}$	$[FL^{-2}]$	- modul de elasticitate longitudinal pentru materialele nervurilor
E_r, E_φ, E_x, E_y	$[FL^{-2}]$	- modul de elasticitate longitudinal după direcțiile r, φ, x, y
ν	$[-]$	- coeficient de contracție transversală a materialului plăcii
ν_{xy}, ν_{yx}	$[-]$	- coeficient de contracție transversală de scurtare pe direcția y și lun- girea pe direcția x și invers

$$E'_x = \frac{E_x}{1 - \nu_{xy} \nu_{yx}}; \quad E'_y = \frac{E_y}{1 - \nu_{xy} \nu_{yx}}; \quad E'_{xy} = \frac{E_x \cdot \nu_{xy}}{1 - \nu_{xy} \nu_{yx}} = \frac{E_y \cdot \nu_{yx}}{1 - \nu_{xy} \nu_{yx}}$$

Deplasări și deformații

u, v, w	$[L]$	- componentele deplasării punctului Δ , respectiv ale punctului Δ_0
u_0, v_0, w_0		
$\varepsilon_r, \varepsilon_\varphi, \varepsilon_z$	$[-]$	- lungiri specifice
$\varepsilon_x, \varepsilon_y$		
$\delta_{xy}, \delta_{r\varphi}$	$[-]$	- alunecări specifice

Tensiuni

σ_r, σ_φ	$[FL^{-2}]$	- tensiune normală radială, respectiv circumferențială
$\sigma_{rn}, \sigma_{\varphi n}$	$[FL^{-2}]$	- tensiunea normală din nervura radia- lă, respectiv circumferențială
$\tau_{r\varphi}, \tau_{rz}, \tau_{\varphi z}$	$[FL^{-2}]$	- tensiunea tangențială
$\sigma_x, \sigma_y, \sigma_z$	$[FL^{-2}]$	- tensiune normală în direcția axei x , respectiv y și z

Încărcări exterioare

P_r, P_φ, P_z	$[FL^{-2}]$	- componentele încărcării exterioare
P	$[F]$	- forța concentrată
M	$[FL/L]$	- moment distribuit pe unitatea de lungime

Eforturi secționale

N_r, N_φ	$[FL^{-1}]$	- eforturi secționale normale
$N_{r\varphi}, N_{\varphi r}$	$[FL^{-1}]$	- eforturi secționale de alunecare

T_r, T_φ	$[FL^{-1}]$	- eforturi secționale tăietoare
M_r, M_φ	$[FL/L]$	- eforturi secționale de încovoiere
$M_{r\varphi}, M_{\varphi r}$	$[FL/L]$	- momente secționale de răsucire
$N_{r(n)}, T_{r(n)}, M_{r(n)}$		- eforturi secționale în barele rețelei în direcție radială
$N_{\varphi(n)}, T_{\varphi(n)}, M_{\varphi(n)}$		- eforturi secționale în barele rețelei în direcție circumferențială
$M_{\varphi r(n)}, M_{r\varphi(n)}$		

Diverse

$\alpha_r, \lambda_r, \alpha_\varphi, \lambda_\varphi$		- mărimi dimensionale care caracterizează rigidizarea
A_{u_0}, A_{v_0}		- operatori diferențiali
L_1, L_2, L_3		
\square		- energia potențială totală
U_m, U_p, U_{rn}		- energie de deformație a plăcii și nervurii
L_e		- lucru mecanic exterior
$\hat{i}_r, \hat{i}_\varphi, \hat{i}_z$		- versori
$R, R_0, r, g_\alpha, e_\alpha$		- vectori
$\{ \}$		- matrice coloană
$[]$		- matrice pătrată
Δ		- operator Laplace în coordonate polare
$\varepsilon_{\alpha\beta}, G_{\alpha\beta}, g^{\alpha\beta}, G^{\alpha\beta}$		- componentele covariante și contravariante ale tensorului metric

2. STADIUL ACTUAL AL CALCULULUI PLACILOR CIRCULARE RIGIDIZATE

2.1 Considerații generale

În proiectarea elementelor structurale ca și a plăcilor circulare în condițiile realizării unei siguranțe în exploatare se are în vedere reducerea consumurilor energetice și de material. Proiectarea unor plăci circulare ușoare care să satisfacă condiții corespunzătoare de rezistență, rigiditate, stabilitate este posibilă dacă:

- se folosesc materiale cu proprietăți mecanice superioare;
- se aplică elemente de rigidizare.

Extinderea utilizării materialelor izotrope cu proprietăți mecanice superioare este inefficientă datorită prețului de cost ridicat. Pe lângă aceste materiale la construcția plăcilor se pot folosi și materiale compozite [45]. Materialele compozite reprezintă o clasă nouă de materiale de mare importanță tehnologică; ele sînt sisteme de corpuri solide, deformabile, combinații la scară microscopică de mai multe materiale. Prin folosirea acestor materiale s-au obținut proprietăți superioare pentru elemente privind rezistența, rigiditatea, coroziunea, uzura, greutatea, izolarea termică și acustică etc. Avantajul folosirii acestor materiale constă în reducerea greutății elementelor structurale precum și în proprietatea de a fi termic stabile și deci dimensiunile sînt conservate în timp.

Utilizarea materialelor cu maximum de eficiență cu respectarea unei siguranțe de funcționare a impus utilizarea plăcilor ortotrope, adică a plăcilor care au trei plane de simetrie elastică. Ortotropia plăcilor poate avea diferite cauze:

1) ortotropia cauzată de material [20], [148], [197], [226]. În acest caz materialul are moduli de elasticitate diferiți după două direcții reciproc perpendiculare. Din această categorie fac parte plăcile din lemn [55], [197], [208].

Pentru determinarea tensiunilor într-o placă ortotropă [121], [197] se folosește relația:

$$\begin{Bmatrix} G_x \\ G_y \\ \tau_{xy} \end{Bmatrix} = \begin{bmatrix} E'_x & E'' & 0 \\ E'' & E'_y & 0 \\ 0 & 0 & G \end{bmatrix} \cdot \begin{Bmatrix} \varepsilon_x \\ \varepsilon_y \\ \delta_{xy} \end{Bmatrix} \quad (2.1)$$

unde constantele elastice E'_x , E'_y , E'' și G sînt mărimi independente, neexistînd relații între G și celelalte constante elastice. În cazul materialelor izotrope între E , G și ν există relația $G = E/(2(1 + \nu))$. În cazul plăcilor izotrope

$$E'_x = E'_y = \frac{E}{1 - \nu^2}; \quad E'' = \frac{E\nu}{1 - \nu^2}. \quad (2.2)$$

ii) ortotropia condiționată constructiv [5], [6], [20], [22], [33], [141], [160], [210]. În acest caz, ortotropia se obține printr-o dispunere convenabilă a materialului izotrop în așa fel încît să rezulte o creștere a rigidității după mai multe direcții. În această categorie sînt cuprinse plăcile cutanate [160], plăcile sandwich [112], [115], plăcile perforate [11], [83], [231] și plăcile nervurate [19], [20], [22], [24], [33], [68], [69], [97], [122], [14], [149], [158], [202], [215]. Deoarece pentru aceste plăci ortotropia rezultă din modul de dispunere a materialului ele se numesc plăci cu ortotropie de structură. În categoria acestor plăci se găsesc și plăcile circulare cu nervuri.

2.2 Tipuri de plăci circulare nervurate

Plăcile circulare întărite cu nervuri sînt cazuri particulare de învelișuri de rotație rigidizate. Ele sînt compuse din membrane sau plăci circulare subțiri ce se întăresc cu elemente elastice unidimensionale (bare cu pereți subțiri de tip Vlasov sau bare de tip Kirchhoff - Clebsch - Lurie).

Nervurile pot fi așezate paralel cu un diametru (fig.2.1,a) sau în cruce (fig.2.1,b), circumferențial (fig.2.1,c) sau radial (fig.2.1,d), mixt (radial și circumferențial fig.2.1,e),

sau sub forma unor bare curbe (fig.2.1,f).

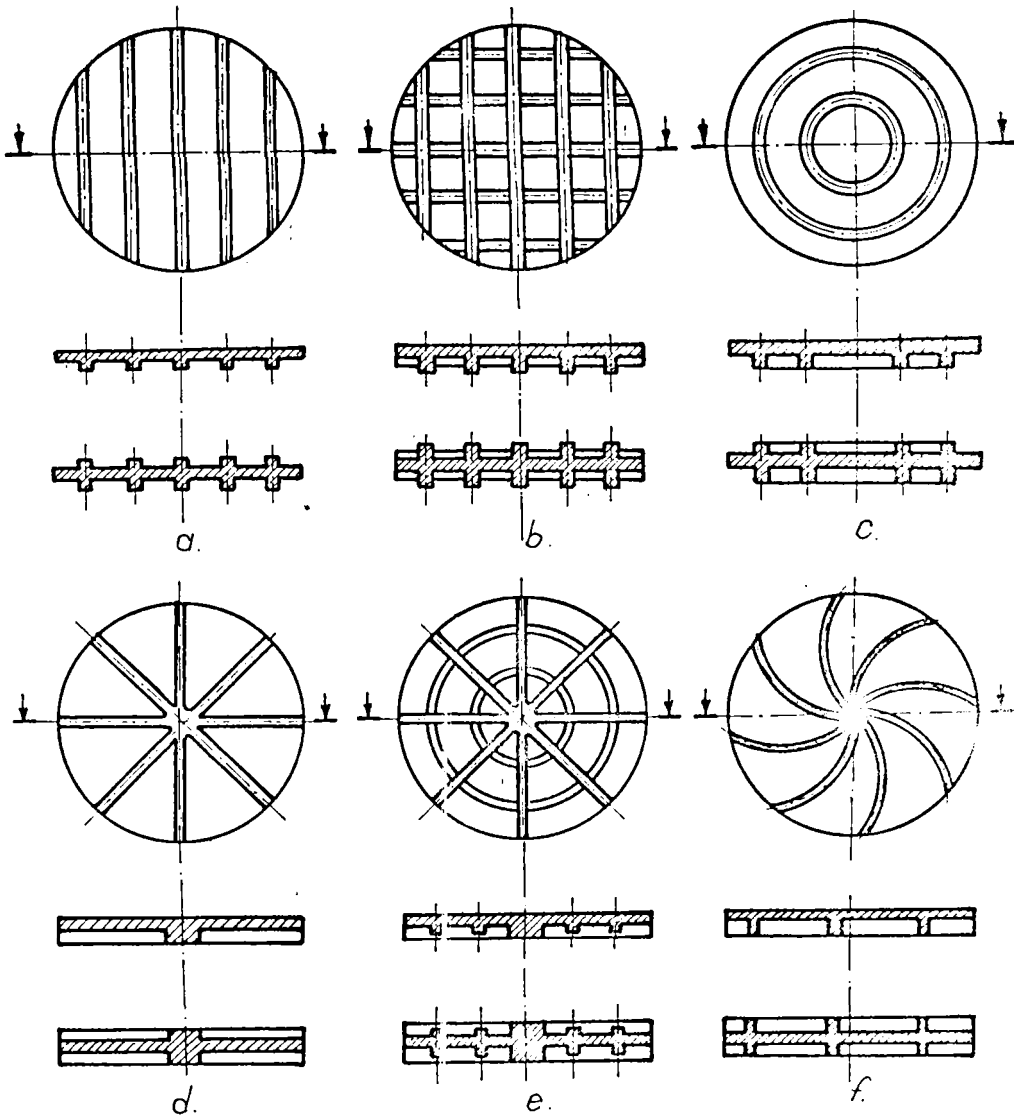


Fig.2.1

Dispunerea nervurilor poate fi pe suprafețele exterioare pe o față sau ambele fețe (fig.2.1) menționate în lucrările [23], [49], [33], [68], [69], [82], [97], [113], [230] sau cuprinse între două plăci circulare (fig.2.2) după cum reiese din [122].

Placa și nervurile pot fi confecționate din același material sau pot fi făcute din materiale diferite.

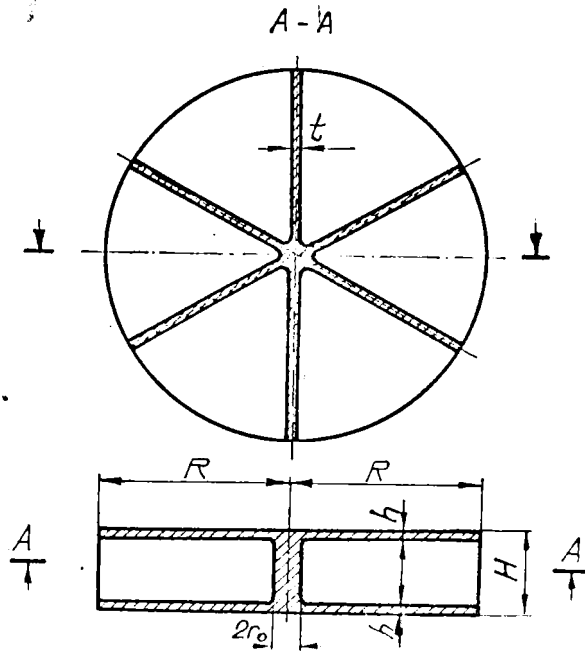


Fig.2.2

Nervurile pot face corp comun cu placa (plăci circulare cu nervuri obținute prin turnare) sau sînt asamblate pe placă cu ajutorul niturilor, șuruburilor, sudurii sau prin lipire.

Suprafețele de contact între nervuri și placă sînt:

- monodimensionale (cînd nervurile sînt înguste);
- bidimensionale (cînd nervurile au lățime mare).

2.3 Importanța utilizării plăcilor circulare nervurate radial

Plăcile circulare cu nervuri radiale au o largă utilizare în construcția de mașini, construcții civile, industria chimică, construcția de nave etc. Ele sînt folosite ca plăci circulare pentru fundațiile unor mașini [12], plăci de bază pentru stîlpi din fontă [148], discuri cu aripioare [105], funduri de pistoane [181], capace și discuri pentru turbo - mașini [24], [85], flanșe la racordul conductelor [97], planșeabe pentru strunguri carusel [122], [123], capace pentru șuruburile de canal, roți dințate întărite cu nervuri radiale [230]. În

industria chimică se folosesc capace și site circulare rigidizate în locurile în care nu se pot folosi capace sferice sau bombate. De asemenea, plăcile circulare rigidizate radial sînt utilizate cu succes în construcția talerelor, coloanelor de absorție ale tamburilor de la centrifuge, la răcitoarele cu tambur rotativ, la capetele tamburului de la amestecătorul din industria vinului, la amestecătorul de minereu [153].

Domeniul de utilizare al plăcilor circulare cu nervuri radiale este mare întrucît:

- prin nervurare rezultă proprietăți mecanice superioare privind rezistența, rigiditatea și stabilitatea lor [23], [230];
- se folosesc materiale cu proprietăți mecanice scăzute, adică preț de cost mic, pentru obținerea proprietăților mecanice amintite mai sus [39], [82];
- se pot obține elemente structurale cu greutate mică (se poate micșora greutatea în condițiile creșterii rezistenței și rigidității întrebuintînd materiale cu preț de cost mic);
- se intensifică procesul de transfer termic (pentru că se mărește suprafața exterioară [23]).

2.4 Stadiul actual al cercetărilor privind calculul plăcilor circulare rigidizate radial

Ponderea însemnată a structurilor formate din plăci întărite cu nervuri în ansamblul general al construcțiilor de mașini, construcții navale justifică stabilirea unui studiu privind determinarea stărilor de tensiune și de deformare. Un pas important în calcularea învelișurilor cit și a plăcilor circulare nervurate a fost făcut odată cu stabilirea metodelor de calcul la plăcile dreptunghiulare întărite cu nervuri echidistante așezate longitudinal sau transversal, pe o singură sau ambele fețe. Plăcile întărite cu nervuri au fost studiate pentru prima dată în lucrările lui I.G. Bubnov [28]. I.G. Bubnov a determinat rigiditate limită a nervurii transversale a unei plăci în așa fel ca să nu-și piardă stabilitatea între nervuri cînd acestea rămîn nedeformate. Aplicînd metoda energetică, S.P. Timoshenko [226] a calculat atît plăcile consolidate longitudinal, cit și cele întărite transversal.

Bazele teoriei învelișurilor nervurate, ca diviziune a teoriei generale a învelișurilor, au fost puse de V.Z. Vlasov și A.I. Lurie care au studiat învelișurile cilindrice întărite longitudinal cu nervuri [5] .

Abordarea analitică a încovoierii plăcilor dreptunghiulare întărite cu nervuri este prezentată în lucrările [19] , [141], [160], [210] și aparține școlii românești. În teza de doctorat [19] , susținută în anul 1972, prof. I. Beleş a studiat placa cu ortotropie structurală ca o structură compusă din placă și nervuri, considerând o legătură articulată între ele. Ulterior, G.B. Popa a extins soluția admitând o legătură rigidă între placă și nervuri [160] .

Matricea de rigiditate pentru un element caracteristic de placă cu nervuri aflat în stare plană de tensiune a fost stabilită în lucrarea [149] .

Rezolvarea unor probleme de teoria plăcilor dreptunghiulare cu ortotropie de structură folosind metoda elementului finit este prezentată în lucrările [141] , [171] .

În cazul plăcilor circulare se disting două categorii de ortotropie de material și de structură.

Teoria de calcul a plăcilor circulare confecționate din material ortotrop este fundamentată pe aceleași ipoteze ca și a plăcilor confecționate din material izotrop. Starea de deformare a plăcii circulare ortotrope satisface ecuația cu derivate parțiale

$$\begin{aligned} D_r \frac{\partial^4 w}{\partial r^4} + 2D_{r\varphi} \frac{1}{r^2} \frac{\partial^4 w}{\partial r^2 \partial \varphi^2} + D_\varphi \frac{1}{r^4} \frac{\partial^4 w}{\partial \varphi^4} + 2D_r \frac{1}{r} \frac{\partial^3 w}{\partial r^3} - 2D_{r\varphi} \frac{1}{r} \frac{\partial^3 w}{\partial r \partial \varphi^2} - \\ - D_\varphi \frac{1}{r^2} \frac{\partial^2 w}{\partial r^2} + 2(D_\varphi + D_{r\varphi}) \frac{1}{r^4} \frac{\partial^2 w}{\partial \varphi^2} + D_\varphi \frac{1}{r^3} \frac{\partial w}{\partial r} = p(r, \varphi) \end{aligned} \quad (2.3)$$

dedusă de G.F. Carrier și prezentată în lucrarea [121]. În ecuația (2.3) $p(r, \varphi)$ este intensitatea încărcării normale , $w(r, \varphi)$ - deplasarea transversală; D_r , D_φ - rigidități de încoviere după direcțiile radială și circumferențială iar D_t - rigiditatea la torsiune.

Rigiditățile de încoviere și torsiune sînt date de relațiile:

$$\begin{aligned}
 D_r &= \frac{E_r \cdot h^3}{12(1 - \nu_r \nu_\varphi)} ; & D_\varphi &= \frac{E_\varphi \cdot h^3}{12(1 - \nu_r \nu_\varphi)} ; \\
 D_t &= \frac{G_{r\varphi} \cdot h^3}{12} ; & D_{r\varphi} &= D_r \cdot \nu_\varphi + 2 \cdot D_t .
 \end{aligned}
 \tag{2.4}$$

Soluția ecuației diferențiale cu derivate parțiale poate fi stabilită numai în cazul încărcării simetrice a plăcilor circulare.

A doua categorie cuprinde plăcile circulare cu ortotropie de structură din care fac parte și plăcile circulare întărite cu nervuri radiale. Studiul stărilor de deformație și de tensiune la plăcile cu nervuri radiale se găsește într-un număr restrâns de lucrări [23], [44], [122], [123], [148], [218], [230], [68]. Pentru studiul acestor plăci sînt prezentate diferite metode de calcul ceea ce îngreunează determinarea stărilor de deformație și de tensiune.

Cercetările întreprinse pentru determinarea stărilor de deformație și de tensiune la plăcile circulare cu nervuri radiale pot fi grupate în următoarele grupe:

1. Metode bazate pe studiul aproximativ al stărilor de deformație și de tensiune [23], [44], [122], [218] ;
2. Metode care reduc studiul teoretic la comportarea porțiunii de placă cuprinsă între nervuri [168] avînd diferite condiții de contur ;
3. Metode care reduc rezolvarea problemei la calculul plăcilor circulare neîntărite sau constructiv ortotrope [20], [49], [181], [230] ;
4. Metode numerice (metoda diferențelor finite [139], metoda elementului finit [63], [69]) ;
5. Metode experimentale [49], [123] .

1. Ideea metodei de aproximare a stărilor de tensiune și de deformație este susținută în mai multe lucrări. În lucrarea [23] se aproximează starea de tensiune la un capac circular format dintr-o placă inelară, un înveliș cilindric și nervuri așezate radial pe placă. Capacul este descompus în două părți: un element de placă cu o nervură și învelișul cilindric.

Efectul învelișului cilindric asupra elementului de placă este înlocuit de acțiunea unui moment. Tensiunea din elementul de placă se determină cu relații de calcul ale grinzilor.

În lucrarea [148] se prezintă formule aproximative de calcul pentru grosimea plăcii, înălțimea nervurilor la plăci circulare cu nervuri radiale pe o singură parte folosite ca plăci de bază pentru stâlpi. Formulele de calcul sînt stabilite în funcție de rezistența materialului plăcii și de diametrul exterior al stîlpului.

Un calcul simplificat pentru obținerea stării de tensiune la plăcile circulare cu nervuri radiale așezate pe o singură parte solicitate axial simetric la încovoiere cu luarea în considerare a influenței temperaturii este prezentat în lucrarea [218]. Profilul plăcii este împărțit în elemente inelare. Relațiile de calcul pentru tensiuni se scriu plecînd de la elementul interior spre cel exterior. Trecerea de la un inel la altul se face cu relații ce țin cont de prezența nervurilor, grosimea elementului, material și temperatură.

În lucrările [122], [123] se calculează deplasarea transversală la o plașăibă cu metoda energetică. Se determină rigiditatea cilindrică echivalentă a plașăibei formată din doi pereți de formă circulară legați între ei cu nervuri radiale (fig.2.2) uneori și cu nervuri circumferențiale cu metoda energetică. Determinarea deplasării transversale a plașăibei se face cu relațiile de calcul de la plăcile circulare izotrope înlocuindu-se rigiditatea cilindrică cu rigiditatea echivalentă.

În mod analog în lucrarea [44], I.N. Ciurin și S.K. Sorokin determină modulul de rigiditate echivalentă pentru plașăibă solicitată nesimetric. Modulul de rigiditate astfel determinat a fost folosit la calculul deplasării transversale a plașăibei solicitată nesimetric.

2. Metoda de calcul consideră elementul de placă cuprins între două nervuri atunci cînd deformațiile ei sînt mici. Studiul comportării elementului de placă solicitat de încărcare impusă cu diferite condiții de contur (reazeme simple, articulații, încadrări rigide sau elastice) se face cu ecuația diferențială care descrie deformația plăcii circulare dată în lucrarea [181].

In lucrarea [168] se dă o rezolvare a problemei încovoi-
ierii plăcii elastice cu rază infinită întărită cu un sistem de
nervuri radiale așezate echiunghiular și încărcate arbitrar.

3. Stabilirea stărilor de deformație și de tensiune la
plăcile circulare întărite cu un număr suficient de mare de ner-
vuri poate fi redusă la:

a) o metodă care studiază aceste plăci ca modele
ortotrope structurale iar calculul este dezvoltat după teoria
plăcilor ortotrope. Această metodă pune în evidență comportarea
structurii ca un tot unitar și a rezervelor de rezistență. Me-
toda de analiză constă în netezirea plăcii, adică în distribui-
rea nervurilor pe suprafața plăcii în așa fel încît ansamblul
devine un mediu continuu echivalent. In lucrarea [230] este
prezentată teoria de calcul a plăcilor circulare cu nervuri ra-
diale de secțiune transversală constantă stabilită de O.M. Ru-
baci pentru încărcări cu sarcini uniform distribuite. Folosind
metoda de calcul prezentată de O.M. Rubaci, B.G. Gorskii în lu-
crarea [82] stabilește economia de material ce se poate reali-
za prin folosirea plăcilor circulare cu nervuri în raport cu
placa circulară de grosime constantă.

In lucrarea [24] , I.A. Birgher studiază tracțiunea și
încovoierea axial - simetrică a plăcilor circulare ortotrope.
Variația secțiunii transversale, în direcție radială și circum-
ferențială, a fost pusă în evidență prin coeficienți de umplere
ale căror valori variază între zero și unu. Această metodă de
calcul nu dă posibilitatea să se scoată în evidență o serie de
aspecte legate de prezența nervurilor.

b) al doilea mod de tratare permite ca ecuațiile să fie
construite astfel încît să poată fi calculate nervurile cît și
placa. Esența metodei conchide în următoarele: reacțiunile ner-
vurilor se determină din teoria plăcilor ortotrope structural
iar placa se calculează ca o placă neîntărită încărcată cu
aceste reacțiuni. In lucrarea [87] se prezintă calculul
stării de tensiune la un disc cu aripioare. Discul se descom-
pune într-o placă circulară subțire și nervuri (aripioare) care
pot fi prinse cu nituri, sudură sau lipite. Nervurile sînt în-
locuite cu reacțiuni. Din condiția de egalitate a deplasărilor

557149
3 H

punctelor de pe linia de contact a celor două elemente (placă și nervurile) rezultă mărirea forțelor de legătură. Stările de tensiune, la elementele componente, sînt date de forțele exterioare și cele de legătură. În același mod, în lucrarea [181] se calculează o placă inelară susținută pe conturul interior de un cilindru rigid legat de o traversă elastică.

4. Metode numerice. Calculatoarele apar pentru prima dată în anul 1950, însă folosirea semnificativă a lor în teorie și practică nu este făcută imediat. Primele studii ale teoriei plăcilor realizate cu metode numerice, folosind calculatoarele, apar în anul 1957. Rezolvarea numerică a teoriei plăcilor cu ajutorul calculatoarelor poate fi urmărită pe etape:

a. În prima etapă s-a dezvoltat mai mult metoda diferențelor finite, Ritz, Bubnov, Galerkin. Metoda diferențelor finite, concepută din perioada lui Euler, transformă ecuațiile diferențiale într-un sistem de ecuații algebrice ce poate fi rezolvat și cu ajutorul calculatorului. Metoda diferențelor finite este folosită la tratarea plăcilor circulare inelare întărite cu nervuri radiale în lucrarea [139].

b. Înainte de anul 1960, o nouă etapă este marcată de rezolvarea numerică a teoriei plăcilor cu metoda elementului finit. Introdusă de Turner, Glough, Marton și Topp metoda elementului finit s-a perfecționat în ceea ce privește formularea și fundamentarea ei din punct de vedere matematic. Această metodă reprezintă, în momentul de față, una din metodele eficiente pentru calcularea plăcilor. Cu toate acestea un număr mic de lucrări s-au ocupat de calculul plăcilor circulare cu nervuri radiale cu metoda elementului finit. Dintre acestea, doar în lucrările [68] și [69] J. Egert folosește metoda elementului finit la calculul de rezistență al plăcilor circulare rigidizate radial solicitate axial - simetric.

5. Metode experimentale. Este normal ca pe lângă de terminarea teoretică a deformațiilor și tensiunilor să se recurgă la măsurători experimentale, fie pentru verificarea rezultatelor obținute teoretic, fie pentru a afla mărirea tensiunilor în dreptul acelor puncte unde nu se poate găsi prin

calcul o valoare suficient de precisă. În ceea ce privește determinarea experimentală a tensiunilor și deformațiilor la plăcile circulare nervurate radial literatura de specialitate este săracă. Astfel în lucrarea [123] au fost studiate câteva cazuri diferite de plăci circulare complexe (plasaibe). Modelele considerate au avut o grosime diferită a pereților și un număr diferit de nervuri radiale și circumferențiale determinându-se deplasările diferitelor puncte în cazul încărcărilor cu forțe concentrate aplicate în centru. Rezultatele experimentale au fost comparate cu cele determinate prin calcul. În lucrarea [49] se folosesc în paralel metodele teoretice și experimentale pentru stabilirea deformațiilor și tensiunilor la plăcile circulare cu nervuri radiale. Rezultatele experimentale din lucrarea [49] sînt folosite și pentru completarea ipotezelor de calcul introduse la stabilirea condițiilor de contur la acest tip de plăci.

2.5 Obiectivele lucrării

În abordarea lucrării s-a plecat de la următoarele premise:

- lucrările publicate, avînd ca temă plăcile circulare cu nervuri radiale, determină stările de deformație și de tensiune cînd nervurile au secțiunea transversală constantă iar încevoierea lor este axial simetrică;
- există prea puține date că s-au efectuat încercări experimentale;
- în nici o lucrare studiată nu este analizată problema cînd nervurile sînt de secțiune variabilă și cînd sînt solicitate și cu forțe conținute în planul median.

Plecînd de la aceste premise și considerații lucrarea de față își propune:

- punerea în evidență a avantajelor pe care le prezintă folosirea plăcilor circulare cu nervuri radiale;
- stabilirea și enunțarea problemei pe care o comportă calculul plăcilor circulare cu nervuri radiale;

- deducerea ecuațiilor diferențiale care descriu deformarea acestor plăci;
- integrarea ecuațiilor diferențiale;
- stabilirea unor noi metode de analiză pentru stările de tensiune și de deformație;
- stabilirea stărilor de tensiune și de deformație pentru unele tipuri de plăci cu nervuri radiale;
- completarea metodelor de calcul a acestor plăci;
- elaborarea unui program de calcul a stărilor de deformație și de tensiune bazat pe metoda elementului finit;
- optimizarea dimensională a plăcilor circulare cu nervuri radiale în raport cu placa circulară de grosime constantă;
- explorarea experimentală a stărilor de tensiune și de deformație în vederea confirmării studiilor teoretice.

3 TEORIA PLACILOR CIRCULARE PLANE IZOTROPE SI A RETELELOR DE BARE

In acest capitol sînt sistematizate relațiile pentru determinarea deplasării, deformației specifice, tensiunii în dreptul unui punct și a eforturilor secționale la placa circulară izotropă. Relațiile sînt stabilite pentru cazul general de solicitare a plăcii circulare admitînd anumite ipoteze simplificatoare de calcul. Totodată sînt determinate eforturile secționale la rețele de bare plane, cu barele așezate ortogonal în direcție radială și inelară, în funcție de componentele deplasării unui punct. Mărimile stabilite în acest capitol vor fi folosite la studiul plăcilor circulare cu ortotropie de structură.

3.1 Teoria plăcilor circulare plane izotrope

3.1.1 Considerații generale.

Placa circulară este un corp solid de formă cilindrică a cărei înălțime este mică în raport cu dimensiunea bazei. Înălțimea h a plăcii se numește grosime. În funcție de modul de variație al grosimii plăcile circulare sînt de grosime constantă sau variabilă. Locul geometric al punctelor situate la mijlocul grosimii plăcii se numește plan median.

Literatura de specialitate [76], [167], [226] prezintă pentru determinarea stărilor de deformație și de tensiune două metode de calcul:

a) prima metodă este complexă și se bazează pe rezolvarea ecuațiilor fundamentale ale teoriei elasticității tridimensionale. Datorită complexității calculului ([221], [222], [226]) au fost studiate numai anumite cazuri particulare de plăci, în special plăci groase;

b) a doua metodă are la bază o serie de ipoteze simplificatoare, în special în cazul plăcilor circulare subțiri, este prezentată în lucrările [27], [30], [79], [113], [121].

3.1.2 Formularea problemei

Fie o placă circulară, rezemată sau încastrată pe contur, încărcată cu forțe care pot acționa atât normal pe planul median, cât și în planul median (fig.3.1).

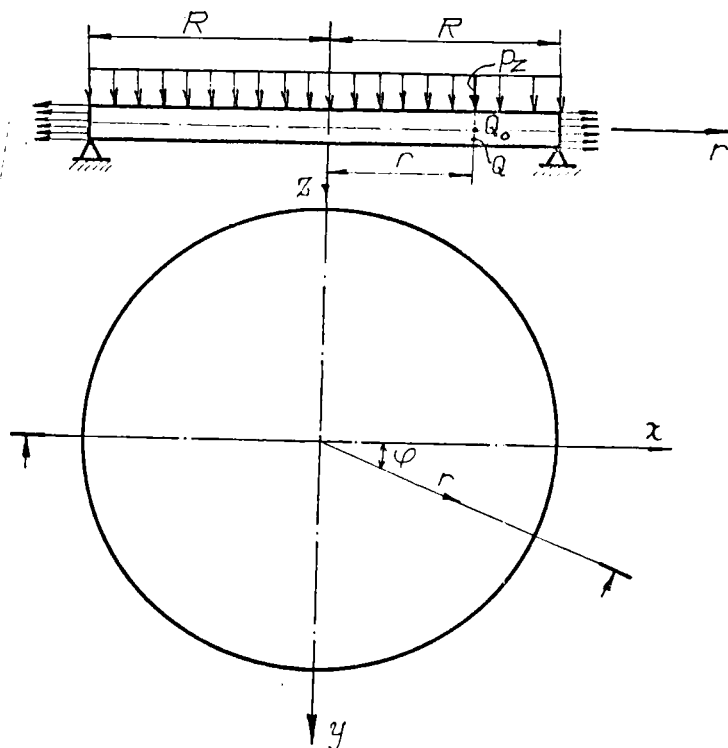


Fig.3.1

Placa se raportează la un sistem de coordonate cartezian $Oxyz$ cu axele Ox și Oy conținute în planul median. Se admite că placa circulară este un corp solid ce umple complet o regiune a spațiului euclidian cu trei dimensiuni și formează un mediu continuu. Fiecare punct al regiunii se consideră că este sediul unei particule iar mulțimea lor determină configurația plăcii. Poziția punctelor va fi stabilită cu ajutorul coordonatelor cilindrice. Vectorii de poziție ai punctelor $Q(r, \varphi, z)$ și $Q_0(r, \varphi, 0)$ (proiecția punctului Q pe planul median) sînt definiți de relațiile:

$$\mathbf{r} = r \cdot \cos \varphi \cdot \mathbf{i} + r \cdot \sin \varphi \cdot \mathbf{j} + z \cdot \mathbf{k}, \quad (3.1)$$

$$\mathbf{r}_0 = r \cdot \cos \varphi \cdot \mathbf{i} + r \cdot \sin \varphi \cdot \mathbf{j}, \quad (3.2)$$

unde \mathbf{i} , \mathbf{j} și \mathbf{k} sînt versorii axelor sistemului de referință $Oxyz$, r - distanța măsurată din origine pînă în dreptul punctului Q_0 , φ - unghiul pe care îl face raza vectorială cu axa Ox .

3.1.3 Ipoteze simplificatoare de calcul

Se admit următoarele ipoteze:

1. materialul plăcii este omogen, izotrop și elastic;
2. grosimea plăcii h se consideră mică în comparație cu raza plăcii R ($h/R < 1/5$);
3. deplasările radială u și tangențială v se admit a fi funcții liniare de variabila z ;
4. deplasarea transversală w se consideră mai mică decît $h/5$;
5. tensiunea normală σ_z de pe planele paralele cu planul median, în comparație cu celelalte tensiuni normale, radială σ_r și circumferențială σ_φ , poate fi neglijată, adică

$$\sigma_z = 0; \quad (3.3)$$

6. ipoteza lui Kirchhoff care constă în:

- a) orice dreaptă care inițial este perpendiculară pe suprafața mediană rămîne dreaptă și perpendiculară pe suprafața mediană deformată a plăcii. Această ipoteză este echivalentă cu a presupune că lunecările specifice δ_{rz} și $\delta_{\varphi z}$ sînt neglijabile, adică

$$\delta_{rz} = \delta_{\varphi z} = 0; \quad (3.4)$$

Intrucît δ_{rz} și $\delta_{\varphi z}$ sînt neglijabile rezultă că tensiunile tangențiale τ_{rz} și $\tau_{\varphi z}$ sînt nule, ceea ce formează o contradicție. Ipoteza lui Kirchhoff neglijează deformațiile specifice de lunecare numai pentru stabilirea componentelor deformației specifice.

b) în timpul deformării plăcii se admite că grosimea ei nu variază, adică

$$\epsilon_z = 0 \quad (3.5)$$

7. forțele de volum se neglijează.

3.1.4 Deplasări

Sub acțiunea forțelor exterioare placa se deformează iar punctele acesteia se deplasează. În urma deformării plăcii, punctul Q se deplasează în Q' , iar Q_0 în Q'_0 . Dependența dintre poziția deformată și nedeformată este dată de relațiile:

$$R = r + u; \quad (3.6) \quad R_0 = r_0 + u_0, \quad (3.7)$$

unde

R, R_0 sînt vectorii de poziție ai punctelor Q , respectiv Q_0 , după deformarea plăcii;

u, u_0 - vectorii deplasării punctelor Q , respectiv Q_0 (fig.3.2).

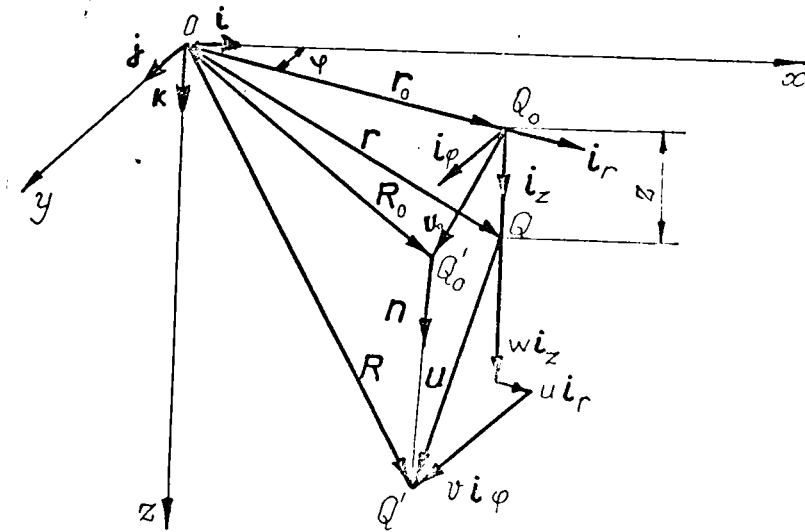


Fig.3.2

Vectorii deplasării punctelor Q și Q_0 pot fi determinați cu relațiile:

$$U = u \cdot i_r + v \cdot i_\varphi + w \cdot i_z; \quad (3.8)$$

$$u_0 = u_0 \cdot i_r + v_0 \cdot i_\varphi + w_0 \cdot i_z; \quad (3.9)$$

unde $\hat{i}_r, \hat{i}_\varphi, \hat{i}_z$ sînt versorii bazei; u, v și w , respectiv u_0, v_0 și w_0 - componentele deplasării punctelor Q , respectiv Q_0 după direcțiile radială, tangențială și transversală.

Ipoteza lui Kirchhoff permite exprimarea vectorului R și sub forma:

$$R = R_0 + z \cdot n, \quad (3.10)$$

unde n este versorul normal la suprafața mediană deformată. Versorul n se determină, după [61] și [236] cu relația

$$n = \frac{\frac{\partial R_0}{\partial r} \times \frac{\partial R_0}{\partial \varphi}}{\left| \frac{\partial R_0}{\partial r} \times \frac{\partial R_0}{\partial \varphi} \right|}. \quad (3.11)$$

unde

$$R_0 = (r + u_0) \cdot \hat{i}_r + v_0 \cdot \hat{i}_\varphi + w_0 \cdot \hat{i}_z. \quad (3.12)$$

Inlocuind derivatele vectorului R_0 în relația (3.11) rezultă:

$$n = -\frac{\partial w_0}{\partial r} \hat{i}_r - \frac{1}{r} \frac{\partial w_0}{\partial \varphi} \hat{i}_\varphi + \hat{i}_z. \quad (3.13)$$

Pe de altă parte, din relațiile (3.6), (3.7) și (3.10) rezultă

$$u = u_0 + z(n \cdot \hat{i}_z). \quad (3.14)$$

Relația (3.14) descrie deplasarea unui punct Q al plăcii, în timpul deformării, în funcție de deplasarea punctului Q_0 care aparține suprafeței mediane.

Dacă se înlocuiesc relațiile (3.13) și (3.9) în (3.14) rezultă:

$$u = (u_0 - z \frac{\partial w_0}{\partial r}) \cdot \hat{i}_r + (v_0 - z \frac{1}{r} \frac{\partial w_0}{\partial \varphi}) \cdot \hat{i}_\varphi + w_0 \cdot \hat{i}_z; \quad (3.15)$$

Comparând relațiile (3.8) și (3.15) rezultă componentele deplasării punctului Q în funcție de componentele deplasării punctului Q₀ date de relațiile:

$$u = u_0 - z \frac{\partial w_0}{\partial r}; \quad v = v_0 - z \frac{1}{r} \frac{\partial w_0}{\partial \varphi}; \quad w = w_0. \quad (3.16)$$

Analizând relațiile (3.16) rezultă că componentele deplasării punctului Q, u și v sînt funcții liniare de variabila z (ipoteza 3).

3.1.5 Deformații specifice

Componentele deformațiilor specifice pot fi determinate, după [90] și [236], cu relația:

$$\varepsilon_{\alpha\beta} = \frac{1}{2} \frac{G_{\alpha\beta} - g_{\alpha\beta}}{\sqrt{g_{\alpha\alpha} g_{\beta\beta}}}, \quad (\alpha, \beta = r, \varphi) \quad (3.17)$$

unde $G_{\alpha\beta}$, $g_{\alpha\beta}$ sînt componentele covariante ale tensorului metric. Componentele tensorului metric se determină după cum urmează:

- starea nedeformată

$$\varepsilon_{\alpha\beta} = g_{\alpha} \cdot g_{\beta}; \quad g_{\alpha} = \frac{\partial \mathbf{r}}{\partial \alpha} \quad (\alpha, \beta = r, \varphi) \quad (3.18)$$

- starea deformată

$$G_{\alpha\beta} = \mathbf{G}_{\alpha} \cdot \mathbf{G}_{\beta}; \quad \mathbf{G}_{\alpha} = \frac{\partial \mathbf{R}}{\partial \alpha} \quad (\alpha, \beta = r, \varphi) \quad (3.19)$$

Vectorii g_{α} ($\alpha = r, \varphi, z$) formează o bază ortogonală. Această bază ortogonală se transformă într-o bază neortogonală (fig.3.3) a cărei vectori sînt \mathbf{G}_{α} .

Plecînd de la relația (3.6) care descrie deformarea plăcii se obține

$$\mathbf{G}_{\alpha} = g_{\alpha} + \frac{\partial \mathbf{u}}{\partial \alpha} \quad (\alpha = r, \varphi, z) \quad (3.20)$$

În urma efectuării calculelor se vor obține componentele deformațiilor specifice în cazul deplasărilor mici.

Mărimile $\varepsilon_{\alpha\beta}$, cînd $\alpha = \beta$ și $\alpha = r, \varphi$, prezintă lungirea sau variația pe unitatea de lungime a

unui element inițial paralel cu vectorul \mathcal{J}_z iar cînd $\alpha \neq 0$ se interpretează ca jumătate din luncarea specifică. În aceste condiții rezultă:

$$\begin{aligned} \varepsilon_{rr} &= \frac{\partial u}{\partial r} + \frac{1}{2} \left(\frac{\partial w}{\partial r} \right)^2 \\ \varepsilon_{\varphi\varphi} &= \frac{u}{r} + \frac{1}{r} \frac{\partial v}{\partial \varphi} + \frac{1}{2} \left(\frac{1}{r} \frac{\partial w}{\partial \varphi} \right)^2 \\ \delta_{r\varphi} &= \frac{1}{r} \frac{\partial u}{\partial \varphi} - \frac{v}{r} + \frac{\partial v}{\partial r} + \frac{1}{r} \frac{\partial w}{\partial \varphi} \frac{\partial w}{\partial r} \end{aligned} \quad (3.21)$$

Relațiile (3.21) caracterizează starea de deformare în jurul punctului $Q(r, \varphi, z)$ fiind funcții neliniare de derivatele componentelor deplasării. Aceste relații sînt aproximative din punct de vedere matematic.

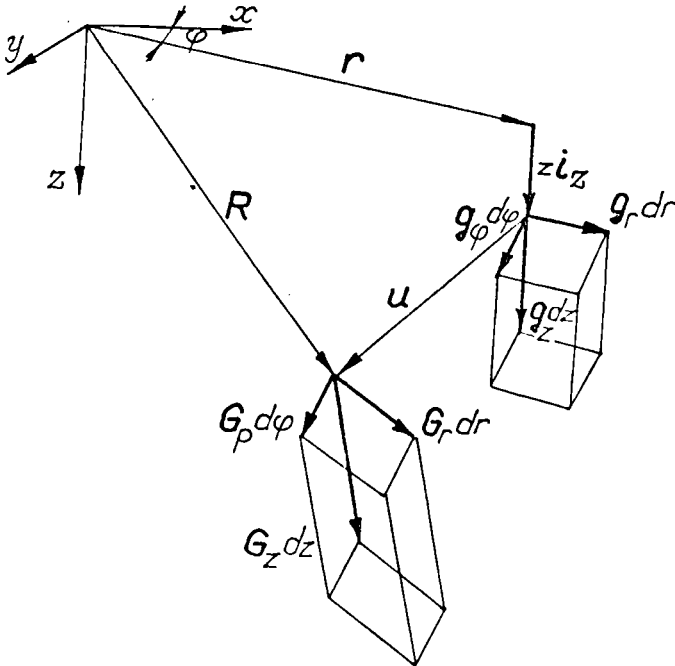


Fig.3.3

În cazul cînd gradientul deplasării este mic și componenta deplasării transversale nu depășește 1/5 din grosimea

plăcii se pot neglija mărimile de ordinul doi din expresiile deformațiilor (3.21). Teoria bazată pe această aproximație se va numi teoria liniarizată cunoscută sub numele de teoria deformațiilor mici (infinitesimale). Neglijând termenii de ordinul doi din relațiile (3.21) rezultă:

$$\varepsilon_r = \frac{\partial u}{\partial r}; \quad \varepsilon_\varphi = \frac{u}{r} + \frac{1}{r} \frac{\partial v}{\partial \varphi}; \quad \delta_{r\varphi} = \frac{1}{r} \frac{\partial u}{\partial \varphi} - \frac{v}{r} + \frac{\partial v}{\partial r}. \quad (3.22)$$

În relațiile (3.22) se introduc relațiile (3.16) obținându-se:

$$\begin{aligned} \varepsilon_r &= \frac{\partial u_0}{\partial r} - z \frac{\partial^2 w}{\partial r^2}; \\ \varepsilon_\varphi &= \frac{u_0}{r} + \frac{1}{r} \frac{\partial v_0}{\partial \varphi} - z \left[\frac{1}{r^2} \frac{\partial^2 w}{\partial \varphi^2} + \frac{1}{r} \frac{\partial w}{\partial r} \right]; \\ \delta_{r\varphi} &= \frac{\partial v_0}{\partial r} + \frac{1}{r} \frac{\partial u_0}{\partial \varphi} - \frac{v_0}{r} - 2z \left[\frac{1}{r} \frac{\partial^2 w}{\partial r \partial \varphi} - \frac{1}{r^2} \frac{\partial w}{\partial \varphi} \right]. \end{aligned} \quad (3.23)$$

În relațiile (3.23) s-a luat componenta deplasării punctului Q notată cu w egală cu deplasarea w_0 a punctului Q_0 în baza ipotezelor simplificatoare admise.

Relațiile (3.23) pot fi particularizate pentru cazul cînd placa nu are deplasări în planul median. În acest caz $u_0 = v_0 = 0$ iar ecuațiile (3.23) se reduc la ecuațiile lui Cauchy.

Dacă se notează cu ε_r^0 , ε_φ^0 , $\delta_{r\varphi}^0$ componentele deformațiilor specifice din punctul Q_0 aparținînd planului median atunci deformațiile specifice (3.23) se compun din două părți:

- deformații uniform distribuite pe grosimea plăcii datorită încărcării plăcii de către forțe conținute în planul median

$$\begin{aligned} \varepsilon_r^0 &= \frac{\partial u_0}{\partial r}; \\ \varepsilon_\varphi^0 &= \frac{u_0}{r} + \frac{1}{r} \frac{\partial v_0}{\partial \varphi}; \\ \delta_{r\varphi}^0 &= \frac{\partial v_0}{\partial r} + \frac{1}{r} \frac{\partial u_0}{\partial \varphi} - \frac{v_0}{r}. \end{aligned} \quad (3.24)$$

- deformații care se modifică după o lege liniară pe grosimea plăcii

$$\begin{aligned}\xi_r^f &= -z \frac{\partial^2 w}{\partial r^2}; \\ \xi_\varphi^f &= -z \left[\frac{1}{r^2} \frac{\partial^2 w}{\partial \varphi^2} + \frac{1}{r} \frac{\partial w}{\partial r} \right]; \\ \gamma_{r\varphi}^f &= -2z \left[\frac{1}{r} \frac{\partial^2 w}{\partial r \partial \varphi} - \frac{1}{r^2} \frac{\partial w}{\partial \varphi} \right].\end{aligned}\quad (3.25)$$

Eliminarea componentelor deplasărilor u_0 și v_0 între relațiile (3.24) permite obținerea relației:

$$\frac{1}{r^2} \frac{\partial^2 \xi_r^0}{\partial \varphi^2} + \frac{1}{r} \frac{\partial^2 (r \cdot \xi_\varphi^0)}{\partial r^2} - \frac{1}{r} \frac{\partial \xi_r^0}{\partial r} = \frac{1}{r^2} \frac{\partial^2 (r \cdot \gamma_{r\varphi}^0)}{\partial r \partial \varphi}. \quad (3.26)$$

Ecuția (3.24) exprimă din punct de vedere fizic, condiția de continuitate a deformațiilor iar din punct de vedere matematic condiția de compatibilitate a sistemului de ecuații cu derivate parțiale (3.24).

3.1.6 Tensiuni

Starea de tensiune dintr-un punct Q al plăcii situat la distanța z de planul median se poate face ca pentru o stare de tensiune plană în punctul respectiv. Înlocuind relațiile (3.23) în legea lui Hooke pentru starea plană de tensiune rezultă:

$$\begin{aligned}G_r &= G_r^0 - \frac{Ez}{1-\nu^2} \left[\frac{\partial^2 w}{\partial r^2} + \nu \left(\frac{1}{r} \frac{\partial w}{\partial r} + \frac{1}{r^2} \frac{\partial^2 w}{\partial \varphi^2} \right) \right]; \\ G_\varphi &= G_\varphi^0 - \frac{Ez}{1-\nu^2} \left[\nu \frac{\partial^2 w}{\partial r^2} + \frac{1}{r} \frac{\partial w}{\partial r} + \frac{1}{r^2} \frac{\partial^2 w}{\partial \varphi^2} \right]; \\ \tau_{r\varphi} &= \tau_{r\varphi}^0 - \frac{Ez}{1+\nu} \left[\frac{1}{r} \frac{\partial^2 w}{\partial r \partial \varphi} - \frac{1}{r^2} \frac{\partial w}{\partial \varphi} \right],\end{aligned}\quad (3.27)$$

unde

$$\begin{aligned} \sigma_r^0 &= \frac{E}{1-\nu^2} \left[\frac{\partial u_0}{\partial r} + \nu \left(\frac{u_0}{r} + \frac{1}{r} \frac{\partial v_0}{\partial \varphi} \right) \right], \\ \sigma_\varphi^0 &= \frac{E}{1-\nu^2} \left[\nu \frac{\partial u_0}{\partial r} + \frac{u_0}{r} + \frac{1}{r} \frac{\partial v_0}{\partial \varphi} \right], \\ \tau_{r\varphi}^0 &= \frac{E}{2(1+\nu)} \left[\frac{1}{r} \frac{\partial u_0}{\partial \varphi} - \frac{v_0}{r} + \frac{\partial v_0}{\partial r} \right]. \end{aligned} \quad (3.28)$$

Primul termen din relațiile (3.27), respectiv relațiile (3.28), reprezintă componentele tensiunii de membrană uniform distribuite pe grosimea plăcii funcție de componentele deplasării u_0 și v_0 . Al doilea termen din relațiile (3.27) reprezintă componentele tensiunii de încovoiere care sînt distribuite liniar pe grosimea plăcii.

Pe lângă componentele tensiunii calculate cu relația (3.27), în secțiunile radiale și circumferențiale ale plăcii mai apar tensiunile tangențiale τ_{rz} și $\tau_{\varphi z}$. Rezultantele acestor tensiuni sînt forțele tăietoare T_r și T_φ care echilibrează suplimentul de forță datorat încărcării transversale. Notațiile, sensurile și variația componentelor tensiunii pe grosimea plăcii în teoria liniarizată sînt arătate în figura 3.4.

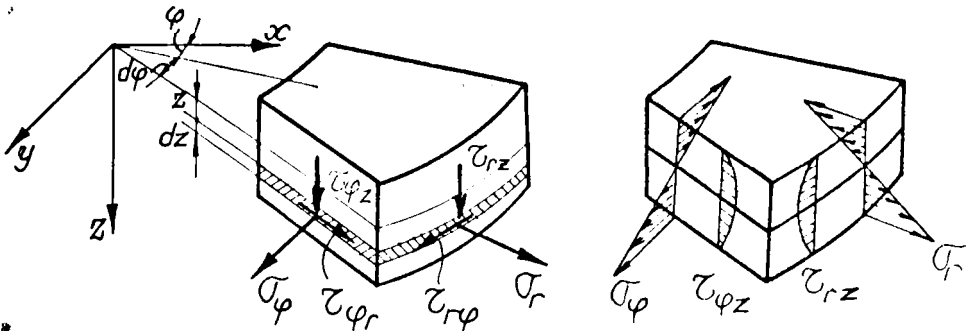
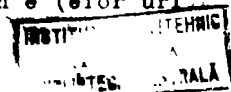


Fig.3.4

3.1.7 Eforturi secționale

Din cauza discontinuităților pe care le pot avea componentele tensiunii, se preferă înlocuirea lor cu un sistem static echivalent de forțe și momente rezultante (eforturi



secționale) care acționează asupra planului median. Eforturile secționale sînt forțe care se dezvoltă pe unitatea de lungime a secțiunii și acționează în centrele de greutate ale fiecărei fețe laterale a elementului izolat (fig.3.5). Elementul de placă este separat prin două suprafețe cilindrice de raze r și $r + dr$ și două suprafețe diametrale ce formează unghiul $d\varphi$.

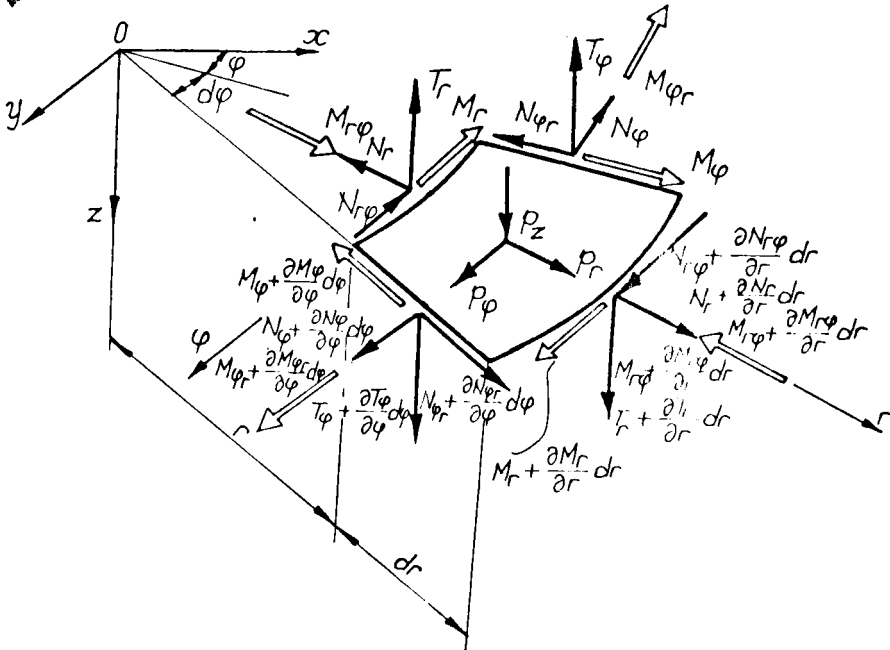


Fig.3.5

În teoria plăcilor se introduc următoarele eforturi secționale:

- eforturi secționale normale (N_r , N_φ) și de alunecare ($N_{r\varphi}$, $N_{\varphi r}$);
- eforturi secționale tăietoare (T_r , T_φ);
- eforturi secționale de încovoiere (M_r , M_φ) și de torsiune ($M_{r\varphi}$, $M_{\varphi r}$);

În baza dualității tensiunilor tangențiale $\tau_{r\varphi} = \tau_{\varphi r}$ se obține:

$$N_{\varphi r} = N_{r\varphi} \quad M_{r\varphi} = M_{\varphi r} \quad (3.29)$$

Relațiile de legătură între eforturile secționale și componentele tensiunii sînt:

$$\begin{bmatrix} N_r & M_r \\ N_\varphi & M_\varphi \\ N_{r\varphi} & M_{r\varphi} \end{bmatrix} = \int_{-h/2}^{h/2} \begin{Bmatrix} \sigma_r \\ \sigma_\varphi \\ \tau_{r\varphi} \end{Bmatrix} \{1 \quad z\} dz, \quad (3.30)$$

$$\begin{Bmatrix} T_r \\ T_\varphi \end{Bmatrix} = \int_{-h/2}^{h/2} \begin{Bmatrix} \tau_{rz} \\ \tau_{\varphi z} \end{Bmatrix} dz. \quad (3.31)$$

Cu relațiile (3.27), eforturile secționale (3.30) pot fi obținute prin integrare. Astfel, eforturile de membrană

$$\begin{aligned} N_r &= B \left[\frac{\partial u_0}{\partial r} + \nu \left(\frac{u_0}{r} + \frac{1}{r} \frac{\partial v_0}{\partial \varphi} \right) \right], \\ N_\varphi &= B \left[\nu \frac{\partial u_0}{\partial r} + \frac{u_0}{r} + \frac{1}{r} \frac{\partial v_0}{\partial \varphi} \right], \\ N_{r\varphi} &= B \frac{1 - \nu}{2} \left[\frac{1}{r} \frac{\partial u_0}{\partial \varphi} + \frac{\partial v_0}{\partial r} - \frac{v_0}{r} \right], \end{aligned} \quad (3.32)$$

- eforturi de încovoiere și torsiune

$$\begin{aligned} M_r &= -D \left[\frac{\partial^2 w}{\partial r^2} + \nu \left(\frac{1}{r} \frac{\partial w}{\partial r} + \frac{1}{r^2} \frac{\partial^2 w}{\partial \varphi^2} \right) \right], \\ M_\varphi &= -D \left[\nu \frac{\partial^2 w}{\partial r^2} + \frac{1}{r} \frac{\partial w}{\partial r} + \frac{1}{r^2} \frac{\partial^2 w}{\partial \varphi^2} \right], \\ M_{r\varphi} &= -D(1 - \nu) \left(\frac{1}{r} \frac{\partial^2 w}{\partial r \partial \varphi} - \frac{1}{r^2} \frac{\partial w}{\partial \varphi} \right), \end{aligned} \quad (3.33)$$

unde

$$B = \frac{E \cdot h}{1 - \nu^2}; \quad (3.34)$$

$$D = \frac{E \cdot h^3}{12(1 - \nu^2)}. \quad (3.35)$$

În relațiile (3.34) și (3.35) B este rigiditatea la

întindere sau compresiune iar D - rigiditatea cilindrică a plăcii.

3.1.7 Ecuațiile de echilibru static

În figura 3.5 este reprezentat un element de placă izolat aflat sub acțiunea forțelor exterioare și a eforturilor secționale, care reprezintă acțiunea părților înlăturate pe unitatea de lungime a secțiunii.

Ecuațiile de proiecție ale forțelor pe cele trei axe r , φ , z după neglijarea termenilor de ordin superior conduc la

$$\frac{1}{r} \frac{\partial(r \cdot N_r)}{\partial r} - \frac{N_\varphi}{r} + \frac{1}{r} \frac{\partial N_{r\varphi}}{\partial \varphi} = - p_r, \quad (3.36)$$

$$\frac{1}{r} \frac{\partial N_\varphi}{\partial \varphi} + \frac{1}{r^2} \frac{\partial(r^2 \cdot N_{r\varphi})}{\partial r} = - p_\varphi, \quad (3.37)$$

$$\frac{1}{r} \frac{\partial(r \cdot T_r)}{\partial r} + \frac{1}{r} \frac{\partial T_\varphi}{\partial \varphi} = - p_z. \quad (3.38)$$

Fuind momentele tuturor forțelor care acționează pe element în raport cu axele r și φ după neglijarea infiniților mici de ordin superior se obțin ecuațiile de echilibru

$$T_\varphi = \frac{1}{r} \frac{\partial M_\varphi}{\partial \varphi} + \frac{\partial M_{r\varphi}}{\partial r} + \frac{M_{r\varphi} + M_{\varphi r}}{r}, \quad (3.39)$$

$$T_r = \frac{\partial M_r}{\partial r} + \frac{M_r - M_\varphi}{r} + \frac{1}{r} \frac{\partial M_{\varphi r}}{\partial \varphi}. \quad (3.40)$$

Din relațiile (3.33), (3.39) și (3.40) se determină:

$$T_\varphi = D \frac{1}{r} \frac{\partial}{\partial \varphi} \left[\frac{\partial^2 w}{\partial r^2} + \frac{1}{r} \frac{\partial w}{\partial r} + \frac{1}{r^2} \frac{\partial^2 w}{\partial \varphi^2} \right], \quad (3.41)$$

$$T_r = D \frac{\partial}{\partial r} \left[\frac{\partial^2 w}{\partial r^2} + \frac{1}{r} \frac{\partial w}{\partial r} + \frac{1}{r^2} \frac{\partial^2 w}{\partial \varphi^2} \right]. \quad (3.42)$$

Ecuațiile de echilibru static, în număr de cinci, conțin 8 necunoscute. Evident problema este static nedeterminată.

Dacă se ia în considerare relația (3.29) rămân 6 necunoscute.

Eliminarea eforturilor secționale T_r și T_φ între relațiile (3.38), (3.39) și (3.40) permite obținerea ecuației diferențiale care descrie efectul încovoierii plăcii:

$$-\frac{2}{r} \frac{\partial^2 M_{r\varphi}}{\partial r \partial \varphi} - \frac{\partial^2 M_r}{\partial r^2} - \frac{1}{r^2} \frac{\partial^2 M_\varphi}{\partial \varphi^2} - \frac{2}{r^2} \frac{\partial M_{r\varphi}}{\partial \varphi} - \frac{2}{r} \frac{\partial M_r}{\partial r} + \frac{1}{r} \frac{\partial M_\varphi}{\partial r} = -p_z \quad (3.43)$$

Sistemul de ecuații diferențiale care descrie echilibru static se poate restringe după cum urmează:

1. la 3 necunoscute (componentele deplasării) prin introducerea relațiilor (3.32) în (3.36) și (3.37) și a relațiilor (3.33) în (3.43) obținându-se:

$$A_{u_0}(u_0, v_0) = -\frac{1}{B} p_r \quad (3.44)$$

$$A_{v_0}(u_0, v_0) = -\frac{1}{B} p_\varphi \quad (3.45)$$

$$D\Delta\Delta w = p_z \quad (3.46)$$

unde

$$A_{u_0}(u_0, v_0) = \frac{\partial^2 u_0}{\partial r^2} + \frac{1}{r} \frac{\partial u_0}{\partial r} + \frac{1-\nu}{2} \frac{1}{r^2} \frac{\partial^2 u_0}{\partial \varphi^2} - \frac{1}{r^2} u_0 - \frac{3-\nu}{2} \frac{1}{r^2} \frac{\partial v_0}{\partial \varphi} + \frac{1-\nu}{2} \frac{1}{r} \frac{\partial^2 v_0}{\partial r \partial \varphi} \quad (3.47)$$

$$A_{v_0}(u_0, v_0) = \frac{1}{r^2} \frac{\partial^2 v_0}{\partial \varphi^2} + \frac{1-\nu}{2} \frac{\partial}{\partial r} \left[\frac{1}{r} \frac{\partial}{\partial r} (r \cdot v_0) \right] + \frac{1+\nu}{2} \frac{1}{r} \frac{\partial^2 u_0}{\partial r \partial \varphi} + \frac{3-\nu}{2} \frac{1}{r^2} \frac{\partial u_0}{\partial \varphi} \quad (3.48)$$

$$\Delta\Delta w = \left(\frac{\partial^2}{\partial r^2} + \frac{1}{r} \frac{\partial}{\partial r} + \frac{1}{r^2} \frac{\partial^2}{\partial \varphi^2} \right) \left(\frac{\partial^2 w}{\partial r^2} + \frac{1}{r} \frac{\partial w}{\partial r} + \frac{1}{r^2} \frac{\partial^2 w}{\partial \varphi^2} \right) \quad (3.49)$$

Sistemul de ecuații diferențiale (3.44), (3.45), (3.46)

are primele două ecuații diferențiale în funcție de variabilele u_0 și v_0 iar ultima ecuație în funcție de variabilă w .

2. la două necunoscute, când pe contur se pun condiții în funcție de N_r , N_φ și $N_{r\varphi}$, prin introducerea funcției de eforturi $F(r, \varphi)$. În acest caz sistemul de ecuații diferențiale este format din ecuația (3.46) și

$$\frac{1}{E h} \Delta \Delta F = 0. \quad (3.50)$$

Ecuația diferențială (3.50) reprezintă condiția de continuitate a deformațiilor din suprafața mediană a plăcii. Această ecuație se obține prin introducerea în relația (3.26) a deformațiilor specifice (3.24) în funcție de eforturile de membrană (3.32)

$$\begin{Bmatrix} \xi_r^0 \\ \xi_\varphi^0 \\ \delta_{r\varphi}^0 \end{Bmatrix} = \frac{1}{E h} \begin{bmatrix} 1 & -\nu & 0 \\ -\nu & 1 & 0 \\ 0 & 0 & 2(1+\nu) \end{bmatrix} \begin{Bmatrix} N_r \\ N_\varphi \\ N_{r\varphi} \end{Bmatrix} \quad (3.51)$$

care sînt exprimate cu ajutorul funcției de eforturi $F(r, \varphi)$

$$N_r = -\frac{1}{r} \frac{\partial}{\partial \varphi} \left(\frac{1}{r} \frac{\partial F}{\partial \varphi} \right) - \frac{1}{r} \frac{\partial F}{\partial r}; \quad N_\varphi = -\frac{\partial^2 F}{\partial r^2};$$

$$N_{r\varphi} = \frac{1}{r} \left(\frac{\partial^2 F}{\partial r \partial \varphi} - \frac{1}{r} \frac{\partial F}{\partial \varphi} \right). \quad (3.52)$$

Stările de deformație și de tensiune pentru plăcile circulare izotrope de grosime constantă se pot stabili după cunoașterea soluțiilor $u_0(r, \varphi)$, $v_0(r, \varphi)$, $w(r, \varphi)$, respectiv $F(r, \varphi)$ și $w(r, \varphi)$.

Ecuațiile diferențiale ale plăcilor circulare în cazuri particulare pot fi găsite în lucrările [23], [30], [79], [181], [226], [232] etc.

3.2 Rețele de bare

3.2.1 Considerații generale

Rețele de bare sînt formate din grinzi încrucișate îmbinate rigid în noduri. Ele pot fi plane sau spațiale. În lucrarea [20] este prezentată teoria de calcul a rețelelor plane dreptunghiulare în funcție de numărul de noduri.

În acest paragraf se analizează rețelele plane circulare. Aceste rețele au o parte din bare așezate echiunghiular a căror axe se intersectează într-un punct iar celelalte așezate concentric în raport cu acest punct. Se determină eforturile din bare în funcție de componentele deplasării punctelor aparținînd unui plan.

3.2.2 Eforturi secționale

În figura 3.6 este reprezentat un element caracteristic dintr-o rețea de bare plană circulară. Rețeaua este acționată de forțe normale și cuprinse în planul rețelei. Axele centrelor de greutate ale barelor radiale nu sînt așezate, în general, pe același plan ca cele ale barelor inelare.

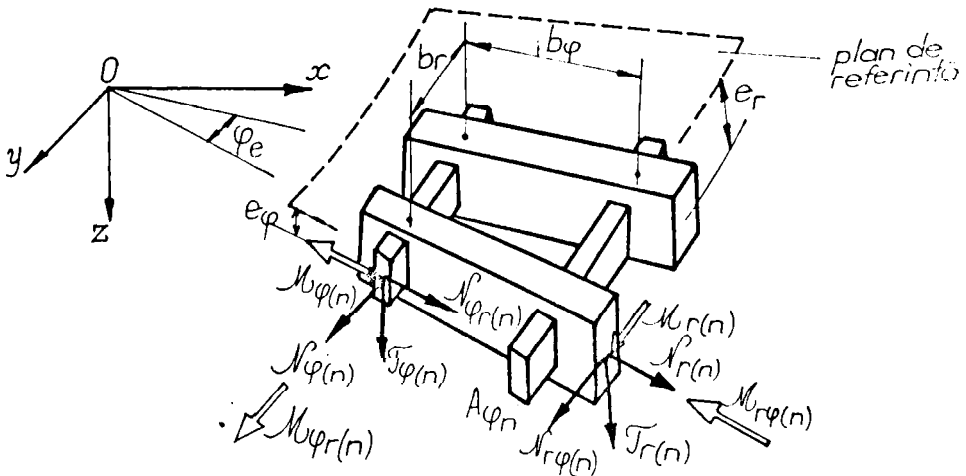


Fig. 3.6

Nivelul de referință pentru eforturile secționale se va alege în așa fel încît barele radiale sau cele inelare (curbe) să aibă excentricitatea zero. Pentru demonstrația care urmează se pleacă de la așezarea generală a nivelului

de referință. Nivelul de referință se alege astfel încât axele tuturor barelor să aflu pe aceeași parte. Barele radiale se găsesc la distanța e_r iar cele curbe (inelare) la distanța e_φ . Intrucit rețeaua de bare este plană atunci nivelul de referință va fi un plan. Fie A_{rn} și $A_{\varphi n}$ ariile transversale ale barelor și \bar{I}_{rn} și $\bar{I}_{\varphi n}$ momentele de inerție în jurul axelor paralele cu planul de referință și care trec prin centrele de greutate ale barelor. Momentele de inerție în jurul unor axe din planul de referință paralele cu axele ce trec prin centrele de greutate ale barelor vor fi:

$$I_{rn} = \bar{I}_{rn} + e_r^2 A_{rn}; \quad I_{\varphi n} = \bar{I}_{\varphi n} + e_r^2 A_{rn}. \quad (3.53)$$

În centrele de greutate ale barelor există eforturile secționale $N_{r(n)}$, $T_{r(n)}$, $M_{r(n)}$, $N_{\varphi(n)}$, $M_{\varphi(n)}$; respectiv $N_{\varphi(n)}$, $T_{\varphi(n)}$, $M_{\varphi(n)}$, $N_{r(n)}$, $M_{r(n)}$.

Dacă b_φ este distanța dintre barele curbe (inelare) iar b_r distanța dintre barele radiale, eforturile secționale raportate la unitatea de lungime sînt definite de relațiile:

$$N_{r(n)} = \frac{N_{r(n)}}{b_r}; \quad T_{r(n)} = \frac{T_{r(n)}}{b_r}. \quad (3.54)$$

Momentul de încovoiere se raportează la planul de referință

$$M_{r(n)} = \frac{M_{r(n)} + e_r N_{r(n)}}{b_r}. \quad (3.55)$$

În mod analog se vor determina:

$$N_{\varphi(n)} = \frac{N_{\varphi(n)}}{b_\varphi}; \quad T_{\varphi(n)} = \frac{T_{\varphi(n)}}{b_\varphi}; \quad M_{\varphi(n)} = \frac{M_{\varphi(n)} + e_\varphi N_{\varphi(n)}}{b_\varphi} \quad (3.56)$$

În cazul barelor inelare, datorită curburii, apare o forță suplimentară dată de momentele de răsucire.

Momentele de răsucire $M_{\varphi r(n)}$ de la capetele elementului de bară curbă de lungime b_r , inclus în unghiul

$\varphi_e = b_r/r$, au rezultanta $M_{\varphi r(n)} b_r/r = M_{\varphi r(n)} \cdot 2\bar{a}/n_r$ (fig.3.7)

unde n_r este numărul de bare inelare aşezate concentric.

Pentru a exista echilibrul elementului de reţea este necesar adăugarea unei forţe de lunecare $N'_{\varphi r(n)}$. Din condiţia de echilibru:

$$N'_{\varphi r(n)} b_r = M_{\varphi r(n)} \frac{b_r}{r}, \quad (3.57)$$

rezultă

$$N'_{\varphi r(n)} = \frac{M_{\varphi r(n)}}{r}. \quad (3.58)$$

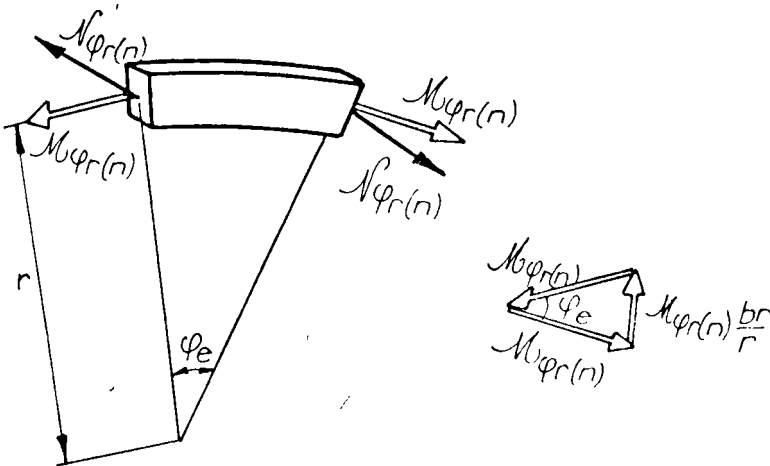


Fig.3.7

Forţa de lunecare $N'_{\varphi r(n)}$ se adăugă la forţa de lunecare $N_{\varphi r(n)}$. In aceste condiţii rezultă:

$$N_{\varphi r(n)} = \frac{M_{\varphi r(n)}}{b \varphi} - \frac{N'_{\varphi r(n)}}{b \varphi} = \frac{M_{\varphi r(n)}}{b \varphi} - \frac{M_{\varphi r(n)}}{r \cdot b \varphi}; \quad (3.59)$$

$$N_{r\varphi(n)} = \frac{N_{r\varphi(n)}}{b_r}. \quad (3.60)$$

forţele $N_{r\varphi(n)}$ şi $N_{\varphi r(n)}$ produc încovoierea barelor. Intre două puncte nodale fiecare bară se va încovoia. Unghiul drept între bare în dreptul nodului nu se va modifica

(fig.3.8). Conform schemei prezentată în figura 3.8 pentru încovoierea unui braț rezultă:

$$\frac{1}{r} \frac{\partial u_0}{\partial \varphi} \cdot b_r = \gamma_r \cdot b_r = 2 \frac{N_{\varphi r(n)} (b_r/2)^3}{3 E_{\varphi n} \cdot I_{zr(n)}} \quad (3.61)$$

$$\left(\frac{\partial v_0}{\partial r} - \frac{v_0}{r} \right) \cdot b_\varphi = \gamma_\varphi \cdot b_\varphi = 2 \frac{N_{r\varphi(n)} (b_\varphi/2)^3}{3 E_{rn} \cdot I_{z\varphi(n)}} \quad (3.62)$$

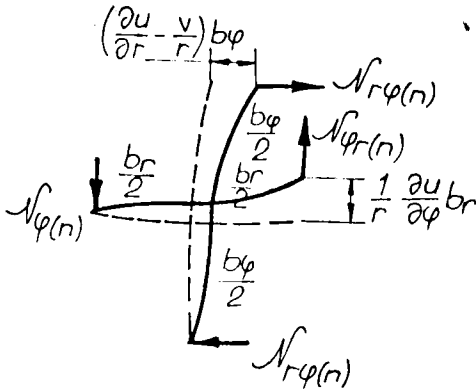


Fig.3.8

unde $I_{zr(n)}$ și $I_{z\varphi(n)}$ sînt momente de inerție axiale ale secțiunilor transversale ale barelor radiale și curbe (inelare) în raport cu axele normale pe planul de referință.

Rezultă:

$$\delta_{r\varphi(n)} = \delta_r + \delta_\varphi = \frac{N_{\varphi r(n)} \cdot b_r^2}{12 E_{\varphi n} I_{z\varphi(n)}} + \frac{N_{r\varphi(n)} \cdot b_\varphi^2}{12 E_{rn} I_{zr(n)}} \quad (3.63)$$

Echilibrul static în jurul nodului impune condiția:

$$N_{r\varphi(n)} \cdot b_\varphi = N_{\varphi r(n)} \cdot b_r \quad (3.64)$$

Din relațiile (3.61), (3.62), (3.63) și (3.64) rezultă:

$$\frac{N_{r\varphi(n)}}{b_r} = \frac{N_{\varphi r(n)}}{b_\varphi} = \frac{1}{b_r b_\varphi} \left(\frac{\partial v_0}{\partial r} - \frac{v_0}{r} + \frac{1}{r} \frac{\partial u_0}{\partial \varphi} \right) \left(\frac{b_r}{12 E_{\varphi n} I_{z\varphi(n)}} + \frac{b_\varphi}{12 E_{rn} I_{zr(n)}} \right)^{-1} \quad (3.65)$$

Forțele normale se obțin pentru $z = e_r$, respectiv $z = e_\varphi$ cu relațiile:

$$N_{r(n)} = \int_{A_{rn}} \sigma_{rn} dA = E_{rn} A_{rn} \frac{\partial u_0}{\partial r} - e_r \frac{\partial^2 w}{\partial r^2} \quad (3.66)$$

$$M_{\varphi(n)} = \int_{A_{\varphi n}} \sigma_{\varphi n} dA = E_{\varphi n} A_{\varphi n} \left[\frac{u_0}{r} + \frac{1}{r} \frac{\partial v_0}{\partial \varphi} - \nu_{\varphi} \left(\frac{1}{r} \frac{\partial w}{\partial r} + \frac{1}{r^2} \frac{\partial^2 w}{\partial \varphi^2} \right) \right]. \quad (3.67)$$

Pentru momentele încovoietoare, după lucrările [22], [30], [79], pot fi folosite relațiile:

$$M_{r(n)} = \int_{A_{rn}} \sigma_{rn} \cdot z \cdot dA = - E_{rn} I_{\varphi n} \frac{\partial^2 w}{\partial r^2}; \quad (3.68)$$

$$M_{\varphi(n)} = \int_{A_{\varphi n}} \tau_{\varphi n} \cdot z \cdot dA = - E_{\varphi n} I_{rn} \left(\frac{1}{r} \frac{\partial w}{\partial r} + \frac{1}{r^2} \frac{\partial^2 w}{\partial \varphi^2} \right). \quad (3.69)$$

Momentele de torsiune vor fi exprimate prin relațiile:

$$M_{r\varphi(n)} = \int_{A_{rn}} \tau_{r\varphi n} z dA = - \frac{E_{\varphi n} I_{tr(n)}}{2(1 + \nu_r)} 2 \left(\frac{1}{r} \frac{\partial^2 w}{\partial r \partial \varphi} - \frac{1}{r^2} \frac{\partial w}{\partial \varphi} \right); \quad (3.70)$$

$$M_{\varphi r(n)} = \int_{A_{\varphi n}} \tau_{\varphi r n} z dA = - \frac{E_{rn} I_t(n)}{2(1 + \nu_{\varphi})} 2 \left(\frac{1}{r} \frac{\partial^2 w}{\partial r \partial \varphi} - \frac{1}{r^2} \frac{\partial w}{\partial \varphi} \right); \quad (3.71)$$

Pe baza relațiilor (3.54), (3.55), (3.56), (3.59) și (3.60) și a eforturilor secționale determinate în funcție de componentele deplasării punctelor din planul de referință ((3.65) (3.71)) rezultă:

$$N_{r(n)} = \bar{B}_r \frac{\partial u_0}{\partial r} - \bar{S}_r \frac{\partial^2 w}{\partial r^2}; \quad (3.72)$$

$$N_{\varphi(n)} = \bar{B}_{\varphi} \left(\frac{u_0}{r} + \frac{1}{r} \frac{\partial v_0}{\partial \varphi} \right) - \bar{S}_{\varphi} \left(\frac{1}{r} \frac{\partial w}{\partial r} + \frac{1}{r^2} \frac{\partial^2 w}{\partial \varphi^2} \right); \quad (3.73)$$

$$N_{r\varphi(n)} = \bar{B}_{r\varphi} \left(\frac{\partial v_0}{\partial r} - \frac{v_0}{r} + \frac{1}{r} \frac{\partial u_0}{\partial \varphi} \right); \quad (3.74)$$

$$N_{\varphi r(n)} = \bar{B}_{\varphi r} \left(\frac{\partial v_0}{\partial r} - \frac{v_0}{r} + \frac{1}{r} \frac{\partial u_0}{\partial \varphi} \right) - \bar{D}_{\varphi r} \left(\frac{1}{r^2} \frac{\partial^2 w}{\partial r \partial \varphi} - \frac{1}{r^3} \frac{\partial w}{\partial \varphi} \right);$$

$$M_{r(n)} = - \bar{D}_r \frac{\partial^2 w}{\partial r^2} + \bar{S}_r \frac{\partial u_0}{\partial r}; \quad (3.75)$$

$$(3.76)$$

$$M_{\varphi(n)} = - \bar{D}_{\varphi} \left(\frac{1}{r} \frac{\partial w}{\partial r} + \frac{1}{r^2} \frac{\partial^2 w}{\partial \varphi^2} \right) + \bar{S}_{\varphi} \left(\frac{u_0}{r} + \frac{1}{r} \frac{\partial v_0}{\partial \varphi} \right); \quad (3.77)$$

$$M_{r\varphi(n)} = - 2 \cdot \bar{D}_{r\varphi} \left(\frac{1}{r} \frac{\partial^2 w}{\partial r \partial \varphi} - \frac{1}{r^2} \frac{\partial w}{\partial \varphi} \right); \quad (3.78)$$

$$M_{\varphi r(n)} = - 2 \cdot \bar{D}_{\varphi r} \left(\frac{1}{r} \frac{\partial^2 w}{\partial r \partial \varphi} - \frac{1}{r^2} \frac{\partial w}{\partial \varphi} \right); \quad (3.79)$$

unde pentru scrierea convenabilă a eforturilor s-au introdus următoarele notații:

$$\bar{B}_r = \frac{E_{rn} \cdot A_{rn}}{b_r}; \quad (3.80) \quad \bar{B}_{\varphi} = \frac{E_{\varphi n} \cdot A_{\varphi n}}{b_{\varphi}}; \quad (3.81)$$

$$\bar{S}_r = \frac{E_{rn} \cdot A_{rn} \cdot e_r}{b_r}; \quad (3.82) \quad \bar{S}_{\varphi} = \frac{E_{\varphi n} \cdot A_{\varphi n} \cdot e_{\varphi}}{b_{\varphi}}; \quad (3.83)$$

$$\bar{D}_{r\varphi} = \frac{12}{b_r b_{\varphi}} \left(\frac{b_r}{E_{\varphi n} \cdot I_{z\varphi(n)}} + \frac{b_{\varphi}}{E_{rn} \cdot I_{zr(n)}} \right)^{-1}; \quad (3.84)$$

$$\bar{D}_r = \frac{E_{rn} (\bar{I}_{\varphi n} + e_r^2 A_{rn})}{b_r}; \quad (3.85) \quad \bar{D}_{\varphi} = \frac{E_{\varphi n} (\bar{I}_{rn} + e_{\varphi}^2 A_{\varphi n})}{b_{\varphi}}; \quad (3.86)$$

$$\bar{D}_{r\varphi} = \frac{E_{rn} \cdot I_{tr(n)}}{2(1 + \nu_r) \cdot b_r}; \quad (3.87) \quad \bar{D}_{\varphi r} = \frac{E_{\varphi n} \cdot I_{t\varphi(n)}}{2(1 + \nu_{\varphi}) \cdot b_{\varphi}}. \quad (3.88)$$

Influența excentricităților barelor e_r și e_{φ} asupra momentelor de răsucire $M_{r\varphi(n)}$ (3.78) și $M_{\varphi r(n)}$ (3.79) a fost neglijată.

Prin eliminarea expresiei din paranteză între relațiile (3.78) și (3.79) rezultă:

$$M_{r\varphi(n)} = \frac{(1 + \nu_{\varphi}) E_{rn} I_{tr(n)}}{(1 + \nu_r) E_{\varphi n} I_{t\varphi(n)}} \frac{b_{\varphi}}{b_r} M_{\varphi r(n)} \quad (3.89)$$

Relația (3.89) exprimă condiția care trebuie îndeplinită de cele două momente de torsiune $M_{r\varphi(n)}$ și $M_{\varphi r(n)}$.

Astfel, cele două momente pot fi identice sau diferite după cum este distanța dintre bare, materialul barelor și caracteristicile geometrice la torsiune ale barelor. Deoarece b_r depinde de variabila r atunci $M_{r\varphi(n)}/M_{\varphi r(n)}$ va fi o mărime variabilă.

Rigiditățile \bar{B}_r , $\bar{B}_{r\varphi}$, \bar{S}_r , \bar{D}_r , $\bar{D}_{r\varphi}$ sînt mărimi dependente de distanța b_r care depinde de variabila r deci sînt mărimi variabile.

3.3 Concluzii

În acest capitol s-a prezentat o tratare unitară a teoriei plăcilor circulare izotrope și a determinării eforturilor secționale la rețele de bare așezate în direcție radială și circumferențială. Rezultatele obținute în acest capitol vor fi întrebunțate la analizarea stărilor de deformare și de tensiune la plăcile circulare cu nervuri.

În acest sens la plăcile circulare izotrope s-au stabilit:

- componentele deplasării unui punct în funcție de componentele deplasării punctului aparținînd planului median cînd are loc deformarea plăcii sub acțiunea sarcinilor exterioare;
- componentele deformației (3.23) în jurul unui punct;
- eforturile secționale raportate la planul median în funcție de componentele deplasării;
- ecuațiile de echilibru static.

În cazul rețelelor de bare s-a determinat, în mod original, eforturile din barele rețelei repartizate pe unitatea de lungime în funcție de componentele deplasării punctelor aparținînd unui plan de referință.

4. CONTRIBUTII PRIVIND TEORIA INCOVOIERII CU INTINDERE SAU COMPRESIUNE A PLACILOR CIRCULARE CU NERVURI

4.1 Considerații generale

În figura 4.1 este reprezentată o placă circulară întărită cu nervuri radiale pe ambele fețe așezate simetric față de planul median.

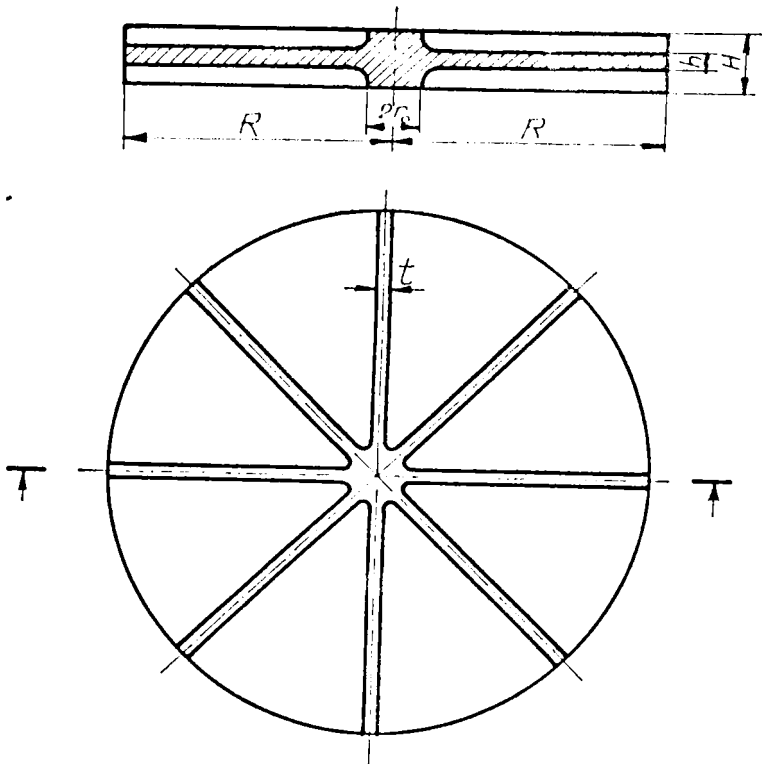


Fig. 4.1

Calculul plăcilor circulare cu nervuri radiale poate fi făcut prin două metode:

1. prima metodă, care redă comportarea ca un tot unitar a plăcii, constă în netezirea structurii adică în distribuirea nervurilor pe suprafața plăcii rezultând o structură continuă

cu ortotropie de structură;

2. a doua metodă, mai exactă, ia în considerare conlucrarea efectivă între elementele componente (placă și nervuri).

În acest capitol se pun bazele teoriei plăcilor circulare cu nervuri radiale după prima metodă de calcul. În acest sens se analizează placa circulară cu ortotropie de structură adică placa circulară întărită cu nervuri radiale și inelare pentru determinarea relațiilor de calcul ale componentelor tensiunii, eforturilor secționale și a ecuațiilor diferențiale care descriu deformarea lor.

4.2 Formularea problemei

Fie o placă de grosime constantă h , rază exterioară R întărită cu n_r nervuri radiale și n_φ nervuri inelare care este solicitată de forțe conținute în planul median și încărcări transversale. Placa ortotropă se raportează la un sistem de coordonate cilindrice. Se consideră un element caracteristic al plăcii circulare ortotrope prezentat în figura 4.2.

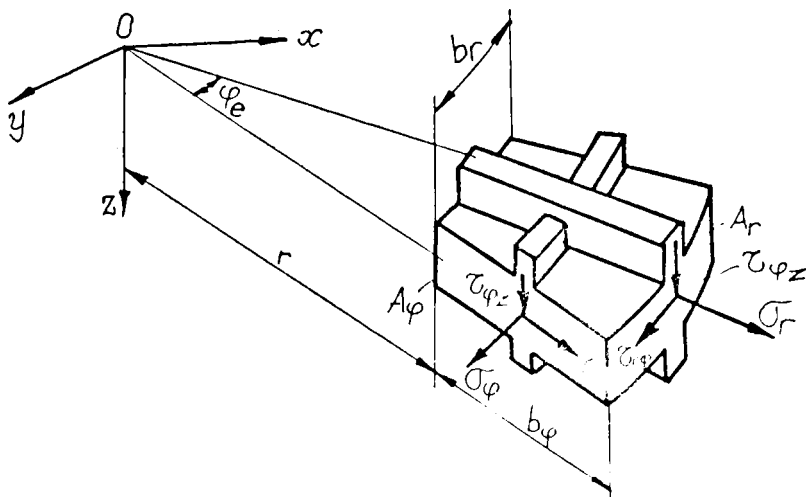


Fig.4.2

Lungimile laturilor elementului, b_r și b_φ , corespund cu distanțele dintre nervuri în direcție radială r , respectiv circumferențială φ

$$b_r = \frac{2Rr}{n_r}; \quad (4.1)$$

$$b_\varphi = \frac{R}{n_\varphi}. \quad (4.2)$$

Deformațiile și tensiunile în elementul caracteristic se admit constante în sensul axei r , respectiv φ întrucît se consideră că rigidizările sînt dispuse la intervale relativ mici. Se notează cu A_r și A_φ ariile secțiunilor elementului de placă, normale pe axele r și φ . Drept grade de libertate ale elementului se aleg componentele deplasării u_0 , v_0 și w_0 ale unui punct al planului median al plăcii ce constituie suprafața de referință pentru definirea eforturilor secționale.

4.3 Ipoteze de calcul

Pentru stabilirea ecuațiilor diferențiale care descriu deformarea plăcilor circulare ortotrope, pe lângă ipotezele de calcul menționate în paragraful 3.1.3, se introduc următoarele ipoteze:

1. nervurile de același tip sînt identice și au secțiunea transversală constantă sau variabilă, cu lățimea mică în așa fel încît contactul dintre ele și placă este considerat a fi după o linie;
2. nervurile radiale sînt așezate echiunghiular iar cele inelare echidistant;
3. se admite că deformarea ansamblului placă - nervuri respectă ipoteza lui Kirchhoff;
4. axele nervurilor se deformează odată cu planul median al plăcii;
5. pentru nervuri rămîne valabilă ipoteza lui Bernoulli;
6. deformațiile, în raport cu dimensiunile plăcii, sînt considerate mici;
7. eforturile de lunecare sînt preluate numai de placă întrucît nervurile au o rigiditate la lunecare neglijabilă în afara planului lor median;
8. rigiditatea torsională a nervurilor, în raport cu a plăcii, se neglijează;

9. placa cît și nervurile pot fi confecționate din același material sau materiale diferite;

10. starea de tensiune în placă se admite plană iar în nervuri monoaxială.

4.4 Deplasări și deformații specifice

Cîmpul de deplasări poate fi obținut cu relația (3.16) Acest lucru este posibil întrucît în aceste relații nu intră parametrul legat de grosimea plăcii.

Starea de deformație într-un punct situat în planul median al plăcii se caracterizează prin relațiile (3.24).

Starea de deformație într-un punct care nu aparține planului median se obține cu relațiile (3.23).

4.5 Tensiuni

Intr-un punct al plăcii situat la distanța z de suprafața mediană, componentele tensiunii se pot exprima ca pentru problema stării plane în placă (porțiunea dintre nervuri) cu relațiile (3.27).

Pentru nervuri, care se găsesc într-o stare monoaxială de tensiune rezultă:

$$\sigma_{rn} = E_{rn} \epsilon_r = E_{rn} \left[\frac{\partial u_0}{\partial r} - z \frac{\partial^2 w}{\partial r^2} \right]; \quad (4.3)$$

$$\sigma_{\varphi n} = E_{\varphi n} \epsilon_{\varphi} = E_{\varphi n} \left[\frac{u_0}{r} + \frac{1}{r} \frac{\partial v_0}{\partial \varphi} - z \left(\frac{1}{r} \frac{\partial w}{\partial r} + \frac{1}{r^2} \frac{\partial^2 w}{\partial \varphi^2} \right) \right]; \quad (4.4)$$

unde E_{rn} , respectiv $E_{\varphi n}$, sînt modulele de elasticitate longitudinală ale materialelor din care sînt confecționate nervurile radiale, respectiv inelare.

4.6 Eforturi secționale

Introducerea eforturilor secționale pe unitatea de lungime permite să se înlocuiască studiul elementului prismatic cu cel al suprafeței mediane. Eforturile secționale pe unitatea de lungime se definesc prin relațiile de echivalență reprezentînd însumarea tensiunilor aferente lățimilor b_r ,

respectiv b_φ și apoi raportarea lor la unitatea de lungime.
relațiile de echivalență sînt:

- eforturi secționale normale

$$N_R = \frac{1}{b_R} \int_{A_R} \sigma_R dA, \quad N_\varphi = \frac{1}{b_\varphi} \int_{A_\varphi} \sigma_\varphi dA ; \quad (4.5)$$

- eforturi secționale tăietoare

$$T_R = \frac{1}{b_R} \int_{A_R} \tau_{Rz} dA, \quad T_\varphi = \frac{1}{b_\varphi} \int_{A_\varphi} \tau_{\varphi z} dA ; \quad (4.6)$$

- eforturi secționale de alunecare

$$N_{R\varphi} = \frac{1}{b_R} \int_{A_R} \tau_{R\varphi} dA, \quad N_{\varphi R} = \frac{1}{b_\varphi} \int_{A_\varphi} \tau_{\varphi R} dA ; \quad (4.7)$$

- eforturi secționale de încovoiere

$$M_R = \frac{1}{b_R} \int_{A_R} z \cdot \sigma_R dA, \quad M_\varphi = \frac{1}{b_\varphi} \int_{A_\varphi} z \cdot \sigma_\varphi dA ; \quad (4.8)$$

- eforturi secționale de răsucire

$$M_{R\varphi} = \frac{1}{b_R} \int_{A_R} z \cdot \tau_{R\varphi} dA, \quad M_{\varphi R} = \frac{1}{b_\varphi} \int_{A_\varphi} z \cdot \tau_{\varphi R} dA, \quad (4.9)$$

Sensurile pozitive ale eforturilor secționale sînt arătate în figura 3.6.

Eforturile secționale care acționează asupra planului median se pot obține în două moduri:

1. Calculul eforturilor secționale prin efectuarea integralelor (4.5) ÷ (4.9) după introducerea în ele a tensiunilor;

2. Calculul eforturilor secționale prin însumarea eforturilor plăcii cu eforturile din nervuri.

4.6.1 Calculul eforturilor secționale în funcție de componentele deplasării prin integrare

Calculul eforturilor secționale se face în raport cu planul median al plăcii prin înlocuirea stării de tensiune dată de relațiile (3.27), (4.3), (4.4) în relațiile (4.5), (4.7), (4.8) și (4.9).

Fiecare integrală se poate calcula descompunând-o în două părți:

- o parte este raportată la suprafața de mijloc a plăcii

A_{ro} , respectiv $A_{\varphi o}$;

- a doua parte pe suprafețele transversale ale nervurilor

A_{rn} , respectiv $A_{\varphi n}$.

În aceste integrale se poate ține cont de natura materialelor din care sînt confecționate placa și nervurile. Materialele se consideră omogene și elastice.

Prima relație din (4.5), ținînd cont de cele arătate mai sus poate fi scrisă sub forma:

$$\begin{aligned}
 N_r &= \frac{1}{b_r} \int_{A_r} \sigma_r dA = \\
 &= \frac{1}{b_r} \int_{A_{ro}} \sigma_r dA + \frac{1}{b_r} \int_{A_{rn}} \sigma_{rn} dA, \quad (4.10)
 \end{aligned}$$

unde σ_r este tensiunea normală radială din placă iar σ_{rn} - tensiunea normală din nervura radială.

Dacă se înlocuiesc expresiile tensiunilor normale σ_r , respectiv σ_{rn} , rezultă:

$$\begin{aligned}
 N_r &= \frac{1}{b_r} \int_{A_{ro}} \left\{ \frac{E}{1-\nu^2} \left[\frac{\partial u_o}{\partial r} + \nu \left(\frac{u_o}{r} + \frac{1}{r} \frac{\partial v_o}{\partial \varphi} \right) - z \left(\frac{\partial^2 w}{\partial r^2} + \nu \left(\frac{1}{r} \frac{\partial w}{\partial r} + \frac{1}{r^2} \frac{\partial^2 w}{\partial \varphi^2} \right) \right) \right] \right. \\
 &\quad \left. + \frac{1}{b_r} \int_{A_{rn}} E_{rn} \left(\frac{\partial u_o}{\partial r} - z \frac{\partial^2 w}{\partial r^2} \right) dA. \quad (4.11)
 \end{aligned}$$

Modulele de elasticitate E , E_{rn} și $E_{\varphi n}$, coeficientul de contracție transversală ν fiind mărimi constante în suprafețele A_{ro} și A_{rn} , respectiv $A_{\varphi n}$, rezultă:

$$N_r = \frac{E}{1 - \nu^2} \left[\frac{\partial u_o}{\partial r} + \nu \left(\frac{u_o}{r} + \frac{1}{r} \frac{\partial v_o}{\partial \varphi} \right) \right] \frac{1}{b_r} \int_{A_{ro}} dA -$$

$$- \frac{E}{1 - \nu^2} \left[\frac{\partial^2 w}{\partial r^2} + \nu \left(\frac{1}{r} \frac{\partial w}{\partial r} + \frac{1}{r^2} \frac{\partial^2 w}{\partial \varphi^2} \right) \right] \frac{1}{b_r} \int_{A_{ro}} z \cdot dA +$$

$$+ E_{rn} \frac{\partial u_o}{\partial r} \frac{1}{b_r} \int_{A_{rn}} dA - E_{rn} \frac{\partial^2 w}{\partial r^2} \frac{1}{b_r} \int_{A_{rn}} z \cdot dA . \quad (4.12)$$

Se ține cont că

$$\frac{1}{b_r} \int_{A_{rn}} dA = \frac{A_{ro}}{b_r} = h; \quad (4.13) \quad \frac{1}{b_r} \int_{A_{rn}} dA = \frac{A_{rn}}{b_r}, \quad (4.14)$$

iar integralele

$$\frac{1}{b_r} \int_{A_{ro}} z \cdot dA = 0; \quad \frac{1}{b_r} \int_{A_{rn}} z \cdot dA = 0 . \quad (4.15)$$

Integralele (4.15) au valoarea zero întrucît reprezintă momente statice ale secțiunii plăcii, respectiv nervurii, calculate în raport cu planul median. În final se obține:

$$N_r = B \cdot \left[\left(1 + \frac{\bar{B}_r}{B} \right) \frac{\partial u_o}{\partial r} + \nu \left(\frac{1}{r} \frac{\partial v_o}{\partial \varphi} + \frac{u_o}{r} \right) \right], \quad (4.16)$$

unde B reprezintă rigiditatea axială a plăcii definită de relația (3.34) iar \bar{B}_r - rigiditatea axială a nervurii distribuită pe lungimea b_r (3.80). În mod analog se calculează:

$$N_\varphi = \frac{1}{b_\varphi} \int_{A_\varphi} \sigma_\varphi dA = \frac{1}{b_\varphi} \int_{A_{\varphi o}} \sigma_\varphi dA + \frac{1}{b_\varphi} \int_{A_{\varphi n}} \sigma_{\varphi n} dA =$$

$$\begin{aligned}
 &= \frac{1}{b_\varphi} \int_{A_{\varphi_0}} \left\{ \frac{E}{1-\nu^2} \left[\nu \frac{\partial u_0}{\partial r} + \frac{u_0}{r} + \frac{1}{r} \frac{\partial v_0}{\partial \varphi} \right] - \frac{Ez}{1-\nu^2} \left[\nu \frac{\partial^2 w}{\partial r^2} + \frac{1}{r} \frac{\partial w}{\partial r} + \frac{1}{r^2} \frac{\partial^2 w}{\partial \varphi^2} \right] \right\} dA + \\
 &+ \frac{1}{b_\varphi} \int_{A_{\varphi_0}} E_{\varphi n} \left[\left(\frac{u_0}{r} + \frac{1}{r} \frac{\partial v_0}{\partial \varphi} \right) - z \left(\frac{1}{r} \frac{\partial w}{\partial r} + \frac{1}{r^2} \frac{\partial^2 w}{\partial \varphi^2} \right) \right] dA. \quad (4.17)
 \end{aligned}$$

In urma efectuării calculelor, rezultă

$$B \left[\left(1 + \frac{\bar{B}_\varphi}{B} \right) \left(\frac{1}{r} \frac{\partial v_0}{\partial \varphi} + \frac{u_0}{r} \right) + \nu \frac{\partial u_0}{\partial r} \right], \quad (4.18)$$

unde \bar{B}_φ reprezintă rigiditatea axială a nervurii inelare (curbe) distribuită pe lungimea b_φ (3.81).

Eforturile secționale de alunecare sînt preluate numai de placă (ipoteza 7). In acest caz din relațiile (3.29), (4.7) pe baza componentei tensiunii tangențiale $\tau_{r\varphi}$ (3.27) rezultă:

$$\begin{aligned}
 N_{r\varphi} = N_{\varphi r} &= \frac{1}{b_r} \int_{A_r} \tau_{r\varphi} dA = \\
 &= \frac{E}{2(1+\nu)} \frac{1}{b_r} \int_{A_{r_0}} \left[\frac{\partial v_0}{\partial r} + \frac{1}{r} \frac{\partial u_0}{\partial \varphi} - \frac{v_0}{r} - z \left(\frac{1}{r} \frac{\partial^2 w}{\partial r \partial \varphi} - \frac{1}{r^2} \frac{\partial w}{\partial \varphi} \right) \right] dA. \quad (4.19)
 \end{aligned}$$

Tinînd cont de relațiile (4.13) și (4.15) după efectuarea calculelor se obține:

$$N_{r\varphi} = N_{\varphi r} = \frac{1-\nu}{2} B \left[\frac{1}{r} \frac{\partial u_0}{\partial \varphi} - \frac{v_0}{r} + \frac{\partial v_0}{\partial r} \right]. \quad (4.20)$$

Relațiile (4.16), (4.18) și (4.20) determină eforturile de membrană care nu au efect asupra încovoierii plăcii fiind mici în comparație cu eforturile critice de flambaj. Influența lor asupra încovoierii plăcii poate fi stabilită prin considerarea relațiilor neliniare ale deformațiilor specifice (3.23) la determinarea tensiunilor și eforturilor secționale.

Calculul eforturilor de încoavire se face la fel ca a eforturilor de membrană. Prima relație din (4.8) devine:

$$\begin{aligned} M_r &= \frac{1}{b_r} \int_{A_r} z \cdot \sigma_r \cdot dA = \\ &= \frac{1}{b_r} \int_{A_{ro}} z \cdot \sigma_r \cdot dA + \frac{1}{b_r} \int_{A_{rn}} z \cdot \sigma_{rn} \cdot dA. \end{aligned} \quad (4.21)$$

Se înlocuiesc tensiunile normale σ_r (3.27) și σ_{rn} (4.3), rezultînd:

$$\begin{aligned} M_r &= \frac{E}{1-\nu^2} \left[\frac{\partial u_o}{\partial r} + \nu \left(\frac{u_o}{r} + \frac{1}{r} \frac{\partial v_o}{\partial \varphi} \right) \right] \frac{1}{b_r} \int_{A_{ro}} z \, dA - \\ &- \frac{E}{1-\nu^2} \left[\frac{\partial^2 w}{\partial r^2} + \nu \left(\frac{1}{r} \frac{\partial w}{\partial r} + \frac{1}{r^2} \frac{\partial^2 w}{\partial \varphi^2} \right) \right] \frac{1}{b_r} \int_{A_{ro}} z^2 \, dA + \\ &+ E_{rn} \frac{\partial u_o}{\partial r} \frac{1}{b_r} \int_{A_{rn}} z \, dA - E_{rn} \frac{\partial^2 w}{\partial r^2} \frac{1}{b_r} \int_{A_{rn}} z^2 \, dA. \end{aligned} \quad (4.22)$$

Se ține cont de relațiile (4.14) și de faptul că :

$$\frac{1}{b_r} \int_{A_{ro}} z^2 \, dA = \frac{1}{b_r} \int_{-h/2}^{h/2} b_r \cdot z^2 \, dA = \frac{h^3}{12}, \quad (4.23)$$

$$\frac{1}{b_r} \int_{A_{rn}} z^2 \, dA = \frac{\bar{I}_{\varphi n}}{b_r}, \quad (4.24)$$

atunci relația (4.22) devine:

$$M_r = -D \left[\left(1 + \frac{\bar{D}_r}{D} \right) \frac{\partial^2 w}{\partial r^2} + \nu \left(\frac{1}{r} \frac{\partial w}{\partial r} + \frac{1}{r^2} \frac{\partial^2 w}{\partial \varphi^2} \right) \right]. \quad (4.25)$$

În relația (4.24) $\bar{I}_{\varphi n}$ este momentul de inerție axial în raport cu axa φ conținută în planul median.

In relația (4.25) D este rigiditatea cilindrică a plăcii determinată cu relația (3.35) iar \bar{D}_r - rigiditatea la încovoire a unei nervuri distribuite pe lungimea b_r calculată cu relația (3.85) când $e_r = 0$.

In mod analog se calculează M_φ . In ultima relație din (4.8) se introduce tensiunea circumferențială $\bar{\sigma}_\varphi$ (3.27) și tensiunea normală din nervura inelară (curbă) $\bar{\sigma}_{\varphi n}$ (4.4) obținându-se:

$$\begin{aligned} M_\varphi &= \frac{1}{b_\varphi} \int_{A_\varphi} z \cdot \bar{\sigma}_\varphi \, dA = \frac{1}{b_\varphi} \int_{A_{\varphi o}} z \cdot \bar{\sigma}_\varphi \, dA + \frac{1}{b_\varphi} \int_{A_{\varphi n}} z \cdot \bar{\sigma}_{\varphi n} \, dA = \\ &= \frac{E}{1-\nu^2} \left[\nu \frac{\partial u_o}{\partial r} + \frac{u_o}{r} + \frac{1}{r} \frac{\partial v_o}{\partial \varphi} \right] \frac{1}{b_\varphi} \int_{A_{\varphi o}} z \cdot dA - \\ &- \frac{E}{1-\nu^2} \left[\nu \frac{\partial^2 w}{\partial r^2} + \frac{1}{r} \frac{\partial w}{\partial r} + \frac{1}{r^2} \frac{\partial^2 w}{\partial \varphi^2} \right] \frac{1}{b_\varphi} \int_{A_{\varphi o}} z^2 \, dA + \\ &+ E_{\varphi n} \left(\frac{u_o}{r} + \frac{1}{r} \frac{\partial v_o}{\partial \varphi} \right) \frac{1}{b_\varphi} \int_{A_{\varphi n}} z \, dA - E_{\varphi n} \left(\frac{1}{r} \frac{\partial w}{\partial r} + \frac{1}{r^2} \frac{\partial^2 w}{\partial \varphi^2} \right) \frac{1}{b_\varphi} \int_{A_{\varphi n}} z^2 \, dA. \end{aligned} \quad (4.26)$$

După efectuarea calculelor ținând cont de (4.15) și de

$$\frac{1}{b_\varphi} \int_{A_{\varphi o}} z^2 \, dA = \frac{1}{b_\varphi} \int_{-h/2}^{h/2} z^2 \cdot b_\varphi \cdot dA = \frac{h^3}{12}, \quad (4.27)$$

$$\frac{1}{b_\varphi} \int_{A_{\varphi n}} z^2 \, dA = \frac{\bar{I}_{rn}}{b}, \quad (4.28)$$

relația (4.26) devine:

$$M_\varphi = -D \left[\nu \frac{\partial^2 w}{\partial r^2} + \left(1 + \frac{\bar{D}_\varphi}{D} \right) \left(\frac{1}{r} \frac{\partial w}{\partial r} + \frac{1}{r^2} \frac{\partial^2 w}{\partial \varphi^2} \right) \right]. \quad (4.29)$$

In relația (4.29) \bar{D}_φ este rigiditatea la încovoire a nervurii inelare (curbe) distribuite pe lungimea b_φ

determinate cu relația (3.86) cînd $e_{\varphi} = 0$.

Momentele de răsucire se determină cu relațiile (4.9) considerînd că în nervuri $\tau_{r\varphi} = \tau_{\varphi r} = 0$ iar tensiunea tangențială din placă este dată de relația (3.27)

$$M_{r\varphi} = M_{\varphi r} = \frac{1}{b_r} \int_{A_{ro}} z \tau_{r\varphi} dA =$$

$$\frac{E}{2(1+\nu)} \left[\frac{1}{r} \frac{\partial u_0}{\partial r} + r \frac{\partial}{\partial r} \left(\frac{v_0}{r} \right) \right] \frac{1}{b_r} \int_{A_{ro}} z \cdot dA -$$

$$- \frac{E}{2(1+\nu)} \int_{A_{ro}} \left[\frac{1}{r} \frac{\partial^2 w}{\partial r \partial \varphi} - \frac{1}{r^2} \frac{\partial w}{\partial \varphi} \right] \frac{1}{b_r} z^2 dA. \quad (4.30)$$

După efectuarea calculelor ținînd cont de relațiile (4.23) și (4.14) rezultă:

$$M_{r\varphi} = M_{\varphi r} = -D(1-\nu) \left(\frac{1}{r} \frac{\partial^2 w}{\partial r \partial \varphi} - \frac{1}{r^2} \frac{\partial w}{\partial \varphi} \right). \quad (4.31)$$

Relațiile (4.25), (4.29) și (4.31) determină eforturile de încovoiere din placa circulară ortotropă.

Se remarcă că atât eforturile de membrană cît și eforturile de placă nu mai depind de coordonata z .

4.6.2 Calculul eforturilor secționale prin suprapunerea eforturilor plăcii și ale rețelelor de bare

Un alt mod pentru determinarea eforturilor secționale ale plăcii circulare ortotrope se obține prin suprapunerea eforturilor secționale ale plăcii circulare de grosime constantă și ale rețelelor de bare stabilite în capitolul 3.

Prin suprapunerea celor două tipuri de eforturi se obține:

$$N_r = (B + \bar{B}_r) \frac{\partial u_0}{\partial r} + \nu B \left(\frac{u_0}{r} + \frac{1}{r} \frac{\partial v_0}{\partial \varphi} \right) - \bar{S}_r \frac{\partial^2 w}{\partial r^2}; \quad (4.32)$$

$$N_{\varphi} = \bar{\nu} B \frac{\partial u_0}{\partial r} + (B + \bar{B}_{\varphi}) \left(\frac{u_0}{r} + \frac{1}{r} \frac{\partial v_0}{\partial \varphi} \right) - \bar{S}_{\varphi} \left(\frac{1}{r} \frac{\partial w}{\partial r} + \frac{1}{r^2} \frac{\partial^2 w}{\partial \varphi^2} \right); \quad (4.33)$$

$$N_{r\varphi} = \left(\frac{1-\bar{\nu}}{2} B + \bar{B}_{r\varphi} \right) \left(\frac{\partial v_0}{\partial r} - \frac{v_0}{r} + \frac{1}{r} \frac{\partial u_0}{\partial \varphi} \right); \quad (4.34)$$

$$N_{\varphi r} = \left(\frac{1-\bar{\nu}}{2} B + \bar{B}_{\varphi r} \right) \left(\frac{\partial v_0}{\partial r} - \frac{v_0}{r} + \frac{1}{r} \frac{\partial u_0}{\partial \varphi} \right) - \bar{D}_{\varphi r} \left(\frac{1}{r^2} \frac{\partial^2 w}{\partial r \partial \varphi} - \frac{1}{r^3} \frac{\partial w}{\partial \varphi} \right); \quad (4.35)$$

$$M_r = - \left[(D + \bar{D}_r) \frac{\partial^2 w}{\partial r^2} + \bar{\nu} D \left(\frac{1}{r} \frac{\partial w}{\partial r} + \frac{1}{r^2} \frac{\partial^2 w}{\partial \varphi^2} \right) \right] + \bar{S}_r \frac{\partial u_0}{\partial r}; \quad (4.36)$$

$$M_{\varphi} = - \left[\bar{\nu} D \frac{\partial^2 w}{\partial r^2} + (D + \bar{D}_{\varphi}) \left(\frac{1}{r} \frac{\partial w}{\partial r} + \frac{1}{r^2} \frac{\partial^2 w}{\partial \varphi^2} \right) \right] + \bar{S}_{\varphi} \left(\frac{u_0}{r} + \frac{1}{r} \frac{\partial v_0}{\partial \varphi} \right); \quad (4.37)$$

$$M_{r\varphi} = - \left[D(1-\bar{\nu}) + 2 \cdot \bar{D}_{r\varphi} \right] \left(\frac{1}{r} \frac{\partial^2 w}{\partial r \partial \varphi} - \frac{1}{r^2} \frac{\partial w}{\partial \varphi} \right); \quad (4.38)$$

$$M_{\varphi r} = - \left[D(1-\bar{\nu}) + 2 \cdot \bar{D}_{\varphi r} \right] \left(\frac{1}{r} \frac{\partial^2 w}{\partial r \partial \varphi} - \frac{1}{r^2} \frac{\partial w}{\partial \varphi} \right); \quad (4.39)$$

În suprapunerea relațiilor eforturilor secționale se constată o excepție, la eforturile secționale de lunecare, ce provine din nepotrivirea deformațiilor la cele două elemente. Eforturile $N_{r\varphi(n)}$ și $N_{\varphi r(n)}$ provoacă, la rețeaua de bare, o deformare în formă de „S” a barelor (nervurilor), în planul elementului. În cazul elementului de placă rigidizat, nervurile sînt legate rigid de suprafața elementului de placă, astfel că aceste deformări nu sînt posibile. Forțele $N_{r\varphi}$ și $N_{\varphi r}$ sînt preluate de placă, deci se neglijează termenul $\bar{E}_{r\varphi}$. Relațiile (4.32) ÷ (4.39) definesc eforturile secționale pentru placa circulară ortotropă cu nervuri care au axele așezate excentric față de planul median al plăcii.

În cazul cînd $e_r = e_{\varphi} = 0$, nervurile au axele conținute în planul median, iar relațiile (4.32) ÷ (4.39) devin identice cu relațiile (4.16), (4.18), (4.20), (4.25), (4.29), (4.31) dacă $\bar{D}_{r\varphi} = \bar{D}_{\varphi r} = 0$ (ipoteza 8).

4.7 Ecuații de sinteză

Ecuațiile de sinteză vor fi stabilite considerînd:

- grosimea plăcii constantă;
- secțiunea transversală a nervurii radiale variabilă în lungul axei;
- secțiunea transversală a nervurii inelare constantă în lungul axei.

Se introduc următoarele mărimi adimensionale:

$$\alpha_r = \frac{E_{rn} A_{rn} n_r}{2 \cdot \bar{\pi} \cdot R \cdot B}; \quad (4.37) \quad \alpha_\varphi = \frac{E_{\varphi n} A_{\varphi n} n_\varphi}{R \cdot B}; \quad (4.38)$$

$$\lambda_r = \frac{E_{rn} I_{\varphi n} n_r}{2 \cdot \bar{\pi} \cdot R \cdot D}; \quad (4.39) \quad \lambda_\varphi = \frac{E_{\varphi n} I_{rn} n_\varphi}{R \cdot D}. \quad (4.40)$$

Variația secțiunii transversale în lungul axei va fi exprimată de aria A_{rn} și momentul de inerție $I_{\varphi n}$. Pe baza relațiilor (4.37) (4.40) eforturile secționale N_r , N_φ , M_r , M_φ vor avea forma:

$$N_r = B \left[\left(1 + \frac{R}{r} \alpha_r\right) \frac{\partial u_o}{\partial r} + \nu \left(\frac{1}{r} \frac{\partial v_o}{\partial \varphi} + \frac{1}{r} u_o \right) \right]; \quad (4.41)$$

$$N_\varphi = B \left[\nu \frac{\partial u_o}{\partial r} + (1 + \alpha_\varphi) \left(\frac{1}{r} \frac{\partial v_o}{\partial \varphi} + \frac{1}{r} u_o \right) \right]; \quad (4.42)$$

$$M_r = - D \left[\left(1 + \frac{R}{r} \lambda_r\right) \frac{\partial^2 w}{\partial r^2} + \nu \left(\frac{1}{r} \frac{\partial w}{\partial r} + \frac{1}{r^2} \frac{\partial^2 w}{\partial \varphi^2} \right) \right]; \quad (4.43)$$

$$M_\varphi = - D \left[\nu \frac{\partial^2 w}{\partial r^2} + (1 + \lambda_\varphi) \left(\frac{1}{r} \frac{\partial w}{\partial r} + \frac{1}{r^2} \frac{\partial^2 w}{\partial \varphi^2} \right) \right]. \quad (4.44)$$

Relațiile (4.20), (4.41) și (4.42) se introduc în ecuațiile de echilibru static (3.36) și (3.37) rezultînd un sistem de două ecuații diferențiale cu două variabile u_o și v_o .

Sistemul de ecuații diferențiale are forma:

$$L_1(u_o, v_o) = - \frac{p_r}{B}; \quad (4.45) \quad L_2(u_o, v_o) = - \frac{p_\varphi}{B}; \quad (4.46)$$

unde

$$L_1(u_0, v_0) = \left(1 + \frac{R}{r} \alpha_r\right) \frac{\partial^2 u_0}{\partial r^2} + \left(1 + R \frac{d\alpha_r}{dr}\right) \frac{1}{r} \frac{\partial u_0}{\partial r} + \frac{1-\nu}{2} \frac{1}{r^2} \frac{\partial^2 u_0}{\partial \varphi^2} -$$

$$-(1 + \alpha_\varphi) \frac{u_0}{r^2} - \left(\frac{3-\nu}{2} + \alpha_\varphi\right) \frac{1}{r^2} \frac{\partial v_0}{\partial r} + \frac{1+\nu}{2} \frac{1}{r} \frac{\partial^2 v_0}{\partial r \partial \varphi}, \quad (4.47)$$

$$L_2(u_0, v_0) = (1 + \alpha_\varphi) \frac{1}{r^2} \frac{\partial^2 v_0}{\partial \varphi^2} + \frac{1-\nu}{2} \frac{\partial}{\partial r} \left[\frac{1}{r} \frac{\partial}{\partial r} (r \cdot v_0) \right] +$$

$$+ \frac{1+\nu}{2} \frac{1}{r} \frac{\partial^2 u_0}{\partial r \partial \varphi} + \left(\frac{3+\nu}{2} + \alpha_\varphi\right) \frac{1}{r^2} \frac{\partial v_0}{\partial \varphi}. \quad (4.48)$$

În ecuația (3.43) se introduc relațiile (4.31), (4.43) (4.44) rezultînd:

$$L_3(w) = \frac{p_z}{D}, \quad (4.49)$$

unde

$$L_3(w) = \left(1 + \frac{R}{r} \lambda_r\right) \frac{\partial^4 w}{\partial r^4} + 2 \frac{1}{r^2} \frac{\partial^4 w}{\partial r^2 \partial \varphi^2} + (1 + \lambda_\varphi) \frac{1}{r^4} \frac{\partial^4 w}{\partial \varphi^4} -$$

$$- 2 \frac{1}{r^3} \frac{\partial^3 w}{\partial r \partial \varphi^2} + 2 \left(1 + R \frac{d\lambda_r}{dr}\right) \frac{1}{r} \frac{\partial^3 w}{\partial r^3} + 2(2 + \lambda_\varphi) \frac{1}{r^4} \frac{\partial^2 w}{\partial \varphi^2} +$$

$$+ (1 + \lambda_\varphi) \frac{1}{r^3} \frac{\partial w}{\partial r} - \left(1 + \lambda_\varphi - Rr \frac{d^2 \lambda_r}{dr^2}\right) \frac{1}{r^2} \frac{\partial^2 w}{\partial r^2}. \quad (4.50)$$

Obiectivul lucrării de față fiind studiul plăcilor circulare cu nervuri radiale așezate simetric față de planul median este necesar ca în sistemul de ecuații diferențiale (4.45), (4.46) și (4.49) să se anuleze mărimile α_φ și λ_φ întrucît nu există nervuri inelare (curbe). În acest caz, ecuațiile diferențiale care descriu deformarea plăcilor circulare cu nervuri radiale au forma:

$$\mathcal{L}_1(u_0, v_0) = - \frac{p_r}{B}; \quad (4.51)$$

$$\mathcal{L}_2(u_0, v_0) = - \frac{p_\varphi}{B}; \quad (4.52)$$

$$\mathcal{L}_3(w) = \frac{p_z}{D}, \quad (4.53)$$

unde

$$\begin{aligned} \mathcal{L}_1(u_0, v_0) = & \left(1 + \frac{R}{r} \alpha_r\right) \frac{\partial^2 u_0}{\partial r^2} + \left(1 + R \frac{d\alpha_r}{dr}\right) \frac{1}{r} \frac{\partial u_0}{\partial r} + \\ & + \frac{1-\nu}{2} \frac{1}{r^2} \frac{\partial^2 u_0}{\partial \varphi^2} - \frac{u_0}{r^2} - \frac{3-\nu}{2} \frac{1}{r^2} \frac{\partial v_0}{\partial \varphi} + \frac{1+\nu}{2} \frac{1}{r} \frac{\partial^2 v_0}{\partial r \partial \varphi}; \end{aligned} \quad (4.54)$$

$$\begin{aligned} \mathcal{L}_2(u_0, v_0) = & \frac{1}{r^2} \frac{\partial^2 v_0}{\partial \varphi^2} + \frac{1-\nu}{2} \frac{\partial}{\partial r} \left[\frac{1}{r} \frac{\partial}{\partial r} (r \cdot v_0) \right] + \\ & + \frac{1+\nu}{2} \frac{1}{r} \frac{\partial^2 u_0}{\partial r \partial \varphi} + \frac{3-\nu}{2} \frac{1}{r^2} \frac{\partial u_0}{\partial \varphi}; \end{aligned} \quad (4.55)$$

$$\begin{aligned} \mathcal{L}_3(w) = & \left(1 + \frac{R}{r} \lambda_r\right) \frac{\partial^4 w}{\partial r^4} + 2 \frac{1}{r^2} \frac{\partial^4 w}{\partial r^2 \partial \varphi^2} + \frac{1}{r^4} \frac{\partial^4 w}{\partial \varphi^4} + \\ & + R \frac{d\lambda_r}{dr} \frac{1}{r} \frac{\partial^3 w}{\partial r^3} - 2 \frac{1}{r^3} \frac{\partial^3 w}{\partial r \partial \varphi^2} + 4 \frac{1}{r^4} \frac{\partial^2 w}{\partial \varphi^2} - \\ & - \left(1 - Rr \frac{d^2 \lambda_r}{dr^2}\right) \frac{1}{r^2} \frac{\partial^2 w}{\partial r^2} + \frac{1}{r^3} \frac{\partial w}{\partial r}. \end{aligned} \quad (4.56)$$

Analizînd ecuațiile diferențiale (4.51), (4.52), (4.53) care descriu deformarea plăcilor circulare cu nervuri radiale se constată că studiul se descompune în probleme de întindere sau compresiune care se pot trata independent de problema încovoierii. Astfel, în cazul cînd placa este încărcată cu forțe conținute în planul median starea de deformare și de tensiune se obține prin rezolvarea sistemului de ecuații diferențiale format din relațiile (4.51) și (4.52). Dacă placa este solicitată la încovoiere deformarea ei este descrisă de ecuația diferențială (4.53).

Atunci cînd mărimile adimensionale α_r și λ_r sînt nule ecuațiile diferențiale (4.51), (4.52) și (4.53) devin identice cu ecuațiile diferențiale care descriu deformarea plăcii circulare izotrope ((3.44), (3.45), (3.46)).

În funcție de sarcinile care solicită placa cu nervuri radiale sistemul de ecuații diferențiale al suprafeței mediane deformate se simplifică:

1. Dacă placa este încărcată numai cu forțe conținute în planul median, starea de deformare se obține prin integrarea sistemului de ecuații diferențiale format din (4.51) și (4.52). Atunci când forțele acționează axial simetric rezultă:

$$B(1 + \frac{R}{r} \alpha_r) \frac{d^2 u_0}{dr^2} + B(1 + R \frac{d\alpha_r}{dr}) \frac{1}{r} \frac{du_0}{dr} - B \frac{u_0}{r^2} = - p_r \quad (4.57)$$

2. Dacă placa este încărcată cu forțe normale pe planul median sistemul de ecuații diferențiale se reduce la ecuația diferențială cu derivate parțiale (4.53). În cazul plăcii circulare cu nervuri radiale încărcată cu o sarcină normală care poate fi repartizată după o lege oarecare, axial simetrică sau repartizată uniform, ecuația (4.53) se reduce la forma

$$(1 + \frac{R}{r} \lambda_r) \frac{d^4 w}{dr^4} + 2(1 + R \frac{d\lambda_r}{dr}) \frac{1}{r} \frac{d^3 w}{dr^3} - (1 - Rr \frac{d^2 \lambda_r}{dr^2}) \frac{1}{r^2} \frac{d^2 w}{dr^2} + \frac{1}{r^3} \frac{dw}{dr} = \frac{p_z}{D} \quad (4.58)$$

4.8 Energia potențială totală a plăcilor circulare cu nervuri radiale

Fie L operatorul corespunzător sistemului de ecuații diferențiale (4.51) ÷ (4.53) care descrie deformarea plăcilor circulare cu nervuri radiale. Sistemul de ecuații diferențiale poate fi scris sub forma:

$$L \cdot \mathbf{U} = f. \quad (4.59)$$

Acest operator are două proprietăți importante. El este simetric (conform teoremei lui Betti) și pozitiv. În aceste condiții, după [216], există teorema funcționalului minim. Teorema funcționalului minim menționează că dacă sistemul de ecuații (4.59) are o soluție atunci există un funcțional pătratic

$$\Pi(\mathbf{U}) = (L \mathbf{U}, \mathbf{U}) - 2(f, \mathbf{U}) \quad (4.60)$$

pentru care soluția sistemului de ecuații diferențiale dă funcționalei Π o valoare minimă. În relația (4.60) s-a notat cu

(,) produsul scalar. Teorema are și o reciprocă. În acest caz funcționala este egală cu energia potențială totală. Energia potențială totală se determină cu relația:

$$\Pi = U_m + U_p + n_r \cdot U_{rn} - L_e, \quad (4.61)$$

unde U_m este energia potențială de deformare la întindere sau compresiune a plăcii; U_p - energia de deformare a plăcii datorită încovoierii; U_{rn} - energia de deformare a unei nervuri radiale; L_e - lucrul mecanic al forțelor exterioare.

Energia potențială de deformare, pentru un element de placă de volum $dV = r \cdot dr \cdot d\varphi dz$, în baza ipotezelor din paragraful 3.1.3 se determină cu relația:

$$U = \iiint U_s r dr d\varphi dz = U_m + U_p, \quad (4.62)$$

unde

$$U_s = \frac{1}{2} (\sigma_r \cdot \varepsilon_r + \sigma_\varphi \cdot \varepsilon_\varphi + \tau_{r\varphi} \cdot \gamma_{r\varphi}). \quad (4.63)$$

U_s , din relația (4.62), reprezintă energia potențială specifică sau potențial elastic.

În relația (4.62) se introduce (3.27) și se integrează în raport cu variabila z între limitele $-h/2$ și $h/2$ rezultând:

$$U_m = \frac{1}{2} B \iint_{S_m} \left\{ \left(\frac{\partial u_0}{\partial r} + \frac{u_0}{r} + \frac{1}{r} \frac{\partial v_0}{\partial \varphi} \right)^2 + 2(1-\nu) \left[\frac{1}{4} \frac{\partial v_0}{\partial r} + \frac{1}{r} \frac{\partial u_0}{\partial \varphi} - \frac{v_0}{r} \right] - \frac{\partial u_0}{\partial r} \left(\frac{\partial u_0}{\partial r} + \frac{1}{r} \frac{\partial v_0}{\partial \varphi} \right) \right\} r dr d\varphi, \quad (4.64)$$

$$U_p = \frac{1}{2} D \iint_{S_m} \left\{ \left(\frac{\partial^2 w}{\partial r^2} + \frac{1}{r} \frac{\partial w}{\partial r} + \frac{1}{r^2} \frac{\partial^2 w}{\partial \varphi^2} \right)^2 + 2(1-\nu) \left[\frac{\partial}{\partial r} \left(\frac{1}{r} \frac{\partial w}{\partial \varphi} \right) - \frac{\partial^2 w}{\partial r^2} \left(\frac{1}{r} \frac{\partial w}{\partial r} + \frac{1}{r^2} \frac{\partial^2 w}{\partial \varphi^2} \right) \right] \right\} r dr d\varphi \quad (4.65)$$

Energia potențială de deformare a unei nervuri, neglijând efectul de torsiune, după [1] se determină cu

relația:

$$U_{rn} = \frac{1}{2} \int_{(R)} \left[E_{rn} A_{rn} \left(\frac{\partial u_o}{\partial r} \right)^2 + E_{rn} I_{\varphi n} \left(\frac{\partial^2 w}{\partial r^2} \right)^2 \right] dr. \quad (4.66)$$

Lucrul mecanic al forțelor exterioare, după [1], [22] este dat de relația:

$$L_e = \int_0^{2\pi} \int_0^R (X u_o + Y v_o + Z w) r dr d\varphi = 2\pi \int_0^R (p_r u_o + p_\varphi v_o + p_z w) r dr, \quad (4.67)$$

intrucit componentele forțelor exterioare sînt:

$$X = p_r, \quad Y = p_\varphi, \quad Z = p_z. \quad (4.68)$$

Energia potențială totală devine:

$$\Pi = U_m + U_p + n_r U_{rn} - L_e = \int_{(R)} F dr \quad (4.69)$$

unde

$$\begin{aligned} F = & rB \left(\frac{\partial u_o}{\partial r} + \frac{u_o}{r} + \frac{1}{r} \frac{\partial v_o}{\partial \varphi} \right)^2 + \frac{1-\nu}{2} rB \left(\frac{\partial v_o}{\partial r} + \frac{\partial^2 w}{r \partial \varphi} - \frac{v_o}{r} \right)^2 - \\ & - 2(1-\nu) rB \left(\frac{u_o}{r} + \frac{1}{r} \frac{\partial v_o}{\partial \varphi} \right) \frac{\partial u_o}{\partial r} + rD \left(\frac{\partial^2 w}{\partial r^2} + \frac{1}{r} \frac{\partial w}{\partial r} + \frac{1}{r^2} \frac{\partial^2 w}{\partial \varphi^2} \right)^2 + \\ & + 2(1-\nu) rD \left(\frac{1}{r} \frac{\partial^2 w}{\partial r \partial \varphi} - \frac{1}{r^2} \frac{\partial w}{\partial \varphi} \right) - 2(1-\nu) rD \left(\frac{\partial^2 w}{\partial r^2} \frac{1}{r} \frac{\partial w}{\partial r} + \frac{1}{r^2} \frac{\partial^2 w}{\partial \varphi^2} \right) + \\ & + \frac{E_{rn} A_{rn} n_r}{2\pi} \left(\frac{\partial u_o}{\partial r} \right)^2 + \frac{E_{rn} I_{\varphi n} n_r}{2} \left(\frac{\partial^2 w}{\partial r^2} \right)^2 - 2r p_r u_o - 2r p_\varphi v_o - 2r p_z w \end{aligned} \quad (4.70)$$

Pentru verificare se vor deduce condițiile de echilibru din energia potențială totală. Ecuațiile lui Euler ([74], [216]) se obțin din minimizarea funcționalei (4.69). Ele au forma:

$$F_{u_o} - \frac{\partial}{\partial r} F_{u_o, r} - \frac{\partial}{\partial \varphi} F_{u_o, \varphi} = 0; \quad (4.71)$$

$$F_{v_0} - \frac{\partial}{\partial r} F_{v_0,r} - \frac{\partial}{\partial \varphi} F_{v_0,\varphi} = 0; \quad (4.72)$$

$$F_w - \frac{\partial}{\partial r} F_{w,r} - \frac{\partial}{\partial \varphi} F_{w,\varphi} + \frac{\partial^2}{\partial r^2} F_{w,rr} + \frac{\partial^2}{\partial r \partial \varphi} F_{w,r\varphi} + \frac{\partial^2}{\partial \varphi^2} F_{w,\varphi\varphi} = 0 \quad (4.73)$$

unde

$$u_{0,r} = \frac{\partial u_0}{\partial r}; \quad u_{0,\varphi} = \frac{\partial u_0}{\partial \varphi}; \quad (4.74)$$

$$v_{0,r} = \frac{\partial v_0}{\partial r}; \quad v_{0,\varphi} = \frac{\partial v_0}{\partial \varphi}; \quad (4.75)$$

$$w_{,r} = \frac{\partial w}{\partial r}; \quad w_{,\varphi} = \frac{\partial w}{\partial \varphi}; \quad (4.76)$$

$$w_{,rr} = \frac{\partial^2 w}{\partial r^2}; \quad w_{,r\varphi} = \frac{\partial^2 w}{\partial r \partial \varphi}; \quad w_{,\varphi\varphi} = \frac{\partial^2 w}{\partial \varphi^2}. \quad (4.77)$$

In ecuațiile (4.71), (4.72), (4.73)

$$F_{u_0} = \frac{\partial F}{\partial u_0} = 2B \left(\frac{u_0}{r} + \frac{1}{r} \frac{\partial v_0}{\partial \varphi} + \nu \frac{\partial u_0}{\partial r} \right) - 2r p_r; \quad (4.78)$$

$$\begin{aligned} \frac{\partial}{\partial r} F_{u_0,r} &= \frac{\partial}{\partial r} \left(\frac{\partial F}{\partial u_{0,r}} \right) = 2B \left(\frac{\partial u_0}{\partial r} + r \frac{\partial^2 u_0}{\partial r^2} + \frac{\partial u_0}{\partial r} + \nu \frac{\partial^2 v_0}{\partial r \partial \varphi} \right) + \\ &+ 2B \left(\alpha_r \frac{\partial^2 u_0}{\partial r^2} + R \frac{d\alpha_r}{dr} \frac{\partial u_0}{\partial r} \right); \end{aligned} \quad (4.79)$$

$$\frac{\partial}{\partial \varphi} F_{u_0,\varphi} = \frac{\partial}{\partial \varphi} \left(\frac{\partial F}{\partial u_{0,\varphi}} \right) = (1-\nu)B \left(\frac{\partial^2 v_0}{\partial r \partial \varphi} + \frac{1}{r} \frac{\partial^2 u_0}{\partial \varphi^2} - \frac{1}{r} \frac{\partial v_0}{\partial \varphi} \right); \quad (4.80)$$

$$F_{v_0} = \frac{\partial F}{\partial v_0} = 2B \left\{ -\frac{1-\nu}{2} \left[\frac{\partial v_0}{\partial r} + \frac{1}{r} \frac{\partial u_0}{\partial \varphi} - \frac{1}{r} v_0 \right] \right\} - 2r p_\varphi; \quad (4.81)$$

$$\frac{\partial}{\partial r} F_{v_{0,r}} = \frac{\partial}{\partial r} \left(\frac{\partial F}{\partial v_{0,r}} \right) = B(1 - \nu) \left(r \frac{\partial^2 v_0}{\partial r^2} + \frac{\partial^2 u_0}{\partial r \partial \varphi} \right); \quad (4.82)$$

$$\frac{\partial}{\partial \varphi} F_{v_{0,\varphi}} = \frac{\partial}{\partial \varphi} \left(\frac{\partial F}{\partial v_{0,\varphi}} \right) = 2B \left(\frac{1}{r} \frac{\partial u_0}{\partial \varphi} + \frac{1}{r} \frac{\partial^2 v_0}{\partial \varphi^2} - \frac{\partial^2 u_0}{\partial r \partial \varphi} \right); \quad (4.83)$$

$$F_w = \frac{\partial F}{\partial w} = -2 \cdot r \cdot p_z; \quad (4.84)$$

$$\frac{\partial}{\partial r} F_{w,r} = 2D \left[\nu \frac{\partial^3 w}{\partial r^3} - \frac{1}{r^2} \frac{\partial w}{\partial r} + \frac{1}{r} \frac{\partial^2 w}{\partial r^2} - 2 \frac{1}{r^3} \frac{\partial^2 w}{\partial \varphi^2} + \frac{1}{r^2} \frac{\partial^3 w}{\partial r \partial \varphi^2} \right]; \quad (4.85)$$

$$\frac{\partial}{\partial \varphi} F_{w,\varphi} = -4D(1 - \nu) \left(\frac{1}{r^2} \frac{\partial^3 w}{\partial r \partial \varphi^2} - \frac{1}{r^3} \frac{\partial^2 w}{\partial \varphi^2} \right); \quad (4.86)$$

$$\begin{aligned} \frac{\partial^2}{\partial r^2} F_{w,rr} &= \frac{\partial^2}{\partial r^2} \left(\frac{\partial F}{\partial w_{,rr}} \right) = 2D \left[(2+\nu) \frac{\partial^3 w}{\partial r^3} + r \frac{\partial^4 w}{\partial r^4} + 2\nu \frac{1}{r^3} \frac{\partial^2 w}{\partial \varphi^2} - \right. \\ &- \left. 2\nu \frac{1}{r^2} \frac{\partial^3 w}{\partial r \partial \varphi^2} + \nu \frac{1}{r} \frac{\partial^4 w}{\partial r^2 \partial \varphi^2} + R \frac{d^2 \lambda_r}{dr^2} \frac{\partial^2 w}{\partial r^2} + 2R \frac{d \lambda_r}{dr} \frac{\partial^3 w}{\partial r^3} + R \lambda_r \frac{\partial^4 w}{\partial r^4} \right]; \end{aligned} \quad (4.87)$$

$$\begin{aligned} \frac{\partial^2}{\partial r \partial \varphi} F_{w,r\varphi} &= 2D \left[-4(1 - \nu) \frac{1}{r^2} \frac{\partial^3 w}{\partial r \partial \varphi^2} + 2(1 - \nu) \frac{1}{r} \frac{\partial^4 w}{\partial r^2 \partial \varphi^2} + \right. \\ &+ \left. 4(1 - \nu) \frac{1}{r^3} \frac{\partial^2 w}{\partial \varphi^2} \right]; \end{aligned} \quad (4.88)$$

$$\frac{\partial^2}{\partial \varphi^2} F_{w,\varphi\varphi} = 2D \left[\nu \frac{1}{r} \frac{\partial^4 w}{\partial r^2 \partial \varphi^2} + \frac{1}{r^3} \frac{\partial^4 w}{\partial \varphi^4} + \frac{1}{r^2} \frac{\partial^4 w}{\partial r \partial \varphi^2} \right]. \quad (4.89)$$

Înlocuind relațiile (4.78) ÷ (4.89) în ecuațiile lui Euler rezultă condițiile de echilibru (4.51) ÷ (4.53) pentru placa circulară cu nervuri radiale.

Totodată cu ajutorul energiei de deformare a plăcii circulare cu nervuri radiale se pot determina coeficienții

matricei de rigiditate, care leagă forțele și momentele secționale reduse la suprafața mediană. Energia potențială de deformație este egală cu

$$\begin{aligned}
 U &= U_m + U_p + n_r U_{rn} = \iint_{S_m} U_o \, dA = \\
 &= \frac{1}{2} \iint_{S_m} \left\{ B \left[(\varepsilon_r^o + \varepsilon_\varphi^o)^2 + 2(1-\nu) \left(\frac{1}{4} (\chi_{r\varphi}^o)^2 - \varepsilon_r^o \varepsilon_\varphi^o \right) \right] + \right. \\
 &\quad + D \left[(\chi_r + \chi_\varphi)^2 + 2(1-\nu) \left(\frac{1}{4} \chi_{r\varphi}^2 - \chi_r \chi_\varphi \right) \right] + \\
 &\quad \left. + \frac{E_{rn} A_{rn} n_r}{b_r} (\varepsilon_r^o)^2 + \frac{E_{rn} I_{\varphi n} n_r}{b_r} \chi_{r\varphi}^2 \right\} dA \quad (4.90)
 \end{aligned}$$

unde

$$\begin{aligned}
 \chi_r &= - \frac{\partial^2 w}{\partial r^2}; \\
 \chi_\varphi &= - \left(\frac{1}{r^2} \frac{\partial^2 w}{\partial \varphi^2} + \frac{1}{r} \frac{\partial w}{\partial r} \right); \\
 \chi_{r\varphi} &= - 2 \left(\frac{1}{r} \frac{\partial^2 w}{\partial r \partial \varphi} - \frac{1}{r^2} \frac{\partial w}{\partial \varphi} \right).
 \end{aligned} \quad (4.91)$$

La calculul energiei de deformație a nervurii (4.66), integrala liniară s-a schimbat cu integrala de suprafață prin relația

$$\int_{(R)} (\dots) \, dr = \frac{1}{b_r} \iint_{S_m} (\dots) \, dA \quad (4.92)$$

Eforturile secționale ale plăcii cu nervuri radiale se obțin cu relațiile:

$$\begin{aligned}
 \begin{Bmatrix} N_r \\ N_\varphi \\ N_{r\varphi} \end{Bmatrix} &= \begin{Bmatrix} \frac{\partial}{\partial \varepsilon_r^o} \\ \frac{\partial}{\partial \varepsilon_\varphi^o} \\ \frac{\partial}{\partial \chi_{r\varphi}^o} \end{Bmatrix} U_o; \quad (4.93) \quad \begin{Bmatrix} M_r \\ M_\varphi \\ M_{r\varphi} \end{Bmatrix} = \begin{Bmatrix} \frac{\partial}{\partial \chi_r} \\ \frac{\partial}{\partial \chi_\varphi} \\ \frac{\partial}{\partial \chi_{r\varphi}} \end{Bmatrix} U_o. \quad (4.94)
 \end{aligned}$$

Relațiile (4.93) și (4.94) permit obținerea eforturilor secționale ale plăcii circulare cu nervuri radiale identice cu cele determinate în paragraful 4.6.

4.9 Concluzii

În acest capitol au fost deduse eforturile secționale pentru placa circulară cu nervuri radiale și sistemul de ecuații diferențiale care descrie deformarea lor.

Eforturile secționale au fost determinate prin însușirea tensiunilor pe suprafețele elementului caracteristic de placă și raportarea lor la unitatea de lungime. Totodată s-au verificat prin suprapunerea eforturilor de la placa circulară izotropă și de la rețeaua de bare așezate ortogonal în direcție radială și circumferențială prezentate în capitolul 3. Confirmarea relațiilor de calcul a eforturilor secționale a fost obținută și prin derivarea energiei de deformare a plăcii circulare cu nervuri radiale în raport cu deformațiile specifice de membrană (ε_r^0 , ε_φ^0 , $\delta_{r\varphi}^0$) și de încovoiere (χ_r , χ_φ , $\chi_{r\varphi}$).

Tot în acest capitol a fost dedus sistemul de ecuații diferențiale pentru placa întărită cu nervuri radiale și inelare (curbe). Nervurile radiale au fost considerate cu secțiunea transversală variabilă iar cele inelare (curbe) cu secțiune constantă. Sistemul de ecuații diferențiale a fost particularizat pentru placa circulară cu nervuri radiale și verificat cu ajutorul metodei variaționale. Totodată, se prezintă echivalența dintre ecuațiile diferențiale și problema variațională a plăcilor circulare nervurate radial care va sta la baza alegerii unor metode de calcul numeric. În acest sens o soluție aproximativă a sistemului de ecuații diferențiale care descrie deformarea plăcii cu nervuri radiale se obține pe baza minimizării funcției sale (4.69). Ecuațiile diferențiale care descriu deformarea plăcii cu nervuri radiale și inelare (curbe) de secțiune constantă sînt un caz particular al ecuațiilor (4.45), (4.46) și (4.49) și au fost stabilite în lucrările [39] și [41].

5 CONTRIBUTII LA DETERMINAREA STARILOR DE DEFORMATIE SI DE TENSIUNE

5.1 Considerații generale

Determinarea stărilor de deformare și de tensiune într-o placă circulară cu nervuri radiale, înseamnă a găsi o soluție a sistemului de ecuații diferențiale format din (4.51), (4.52) (4.53) care să satisfacă în același timp condițiile de contur.

Pentru integrarea sistemului de ecuații diferențiale cît și a ecuațiilor diferențiale se disting metode exacte și aproximative. Integrarea ecuațiilor diferențiale constă în:

- i) găsirea soluției generale sau a integralei complete;
- ii) stabilirea unei soluții particulare care să satisfacă condițiile inițiale.

Datorită dificultăților ce se întîmpină la obținerea soluției exacte se folosesc frecvent metode aproximative pentru integrarea ecuațiilor diferențiale. Cele mai frecvente metode aproximative sînt:

- 1) metodele variaționale (metoda Rayleigh - Ritz, metoda Bubnov - Galerkin etc.);
- 2) metodele numerice (metoda diferențelor finite, metoda elementului finit).

Starea de tensiune se obține după cunoașterea stării de deformare cu ajutorul relațiilor (3.27) pentru porțiunea de placă cuprinsă între nervuri și cu relația (4.3) în nervurile radiale.

Aspecte privind calculul plăcilor circulare cu nervuri radiale solicitate axial simetric sînt prezentate în lucrările [26] și [41]. În lucrările [25] și [37] s-au analizat plăcile circulare întărite cu nervuri radiale de secțiune variabilă.

În continuare vor fi prezentate determinarea soluțiilor exacte cît și aproximative pentru ecuațiile diferențiale care descriu deformarea plăcilor circulare cu nervuri radiale.

5.2 Studiul stărilor de deformare și de tensiune cu metoda analitică

În capitolul 4 au fost stabilite ecuațiile diferențiale ((4.51), (4.52), (4.53)) care descriu deformarea plăcilor circulare cu nervuri radiale. În cazul când mărimile adimensionale α_r și λ_r sînt nule se obțin ecuațiile diferențiale (3.44), (3.45), (3.46) care descriu deformarea plăcilor circulare izotrope. Ecuațiile diferențiale (3.44) și (3.45) sînt independente de ecuația (3.46) care poate fi rezolvată separat. În lucrarea [81] se folosește metoda separării variabilelor pentru soluționarea ecuațiilor diferențiale (3.44) și (3.45).

În lucrările [181] și [226] încovoierea plăcii circulare izotrope se reduce la determinarea soluției particulare a ecuației biarmonice neomogene (3.46) și a soluției generale a ecuației diferențiale omogene corespunzătoare. Soluția generală a ecuației diferențiale omogene este o funcție biarmonică care nu este greu de stabilit. Totuși, nu orice funcție biarmonică care satisface ecuația problemei este o soluție bună. Soluția generală trebuie să satisfacă condițiile de contur. O astfel de funcție este greu de găsit și constituie dificultatea problemei. În aceste condiții o rezolvare corespunzătoare a ecuației (3.46) se face cu ajutorul seriilor. Soluția generală a ecuației diferențiale omogene sub forma unei serii a fost dată de A. Clebsch și prezentată în lucrarea [181]. Starea de deformare și de tensiune pentru plăcile circulare izotrope încărcate axial simetric se prezintă în lucrările [22], [23], [56], [42], [160], [181], [226].

După cum rezultă, studiul ecuațiilor diferențiale care descriu deformarea plăcilor circulare izotrope, în cazul general de încărcare, este destul de dificil pe cale analitică. Cu atât mai mult dificultățile matematice vor fi mai mari la integrarea ecuațiilor diferențiale care descriu deformarea plăcii circulare cu nervuri radiale care sînt mai complexe decît acelea ale plăcilor circulare izotrope. De

aceea, în continuare, se vor rezolva ecuațiile diferențiale care descriu deformarea plăcilor circulare plecând de la cazuri simple de încărcare care combinate convenabil pot reproduce cazuri mai complexe de încărcare.

5.2.1 Placa circulară cu nervuri radiale de secțiune transversală constantă

Intrucât aria secțiunii transversale este constantă în lungul axei nervurii

$$\frac{d\alpha_r}{dr} = 0; \quad \frac{d\lambda_r}{dr} = 0, \quad (5.1)$$

iar ecuațiile diferențiale (4.51) ÷ (4.53) vor avea forma:

$$\begin{aligned} \left(1 + \frac{R}{r} \alpha_r\right) \frac{\partial^2 u_0}{\partial r^2} + \frac{1}{r} \frac{\partial u_0}{\partial r} + \frac{1-\nu}{2} \frac{1}{r^2} \frac{\partial^2 u_0}{\partial \varphi^2} - \frac{1}{r^2} u_0 + \\ + \frac{3-\nu}{2} \frac{1}{r^2} \frac{\partial v_0}{\partial \varphi} + \frac{1+\nu}{2} \frac{1}{r^2} \frac{\partial v_0}{\partial r \partial \varphi} = - \frac{p_r}{B}; \end{aligned} \quad (5.2)$$

$$\begin{aligned} \frac{1}{r^2} \frac{\partial^2 v_0}{\partial \varphi^2} + \frac{1-\nu}{2} \frac{\partial}{\partial r} \left[\frac{1}{r} \frac{\partial}{\partial r} (r \cdot v_0) \right] + \frac{1+\nu}{2} \frac{1}{r} \frac{\partial^2 u_0}{\partial r \partial \varphi} + \\ + \frac{3+\nu}{2} \frac{1}{r^2} \frac{\partial u_0}{\partial \varphi} = - \frac{p_\varphi}{B}; \end{aligned} \quad (5.3)$$

$$\begin{aligned} \left(1 + \frac{R}{r} \lambda_r\right) \frac{\partial^4 w}{\partial r^4} + 2 \frac{1}{r^2} \frac{\partial^4 w}{\partial r^2 \partial \varphi^2} + \frac{1}{r^4} \frac{\partial^4 w}{\partial \varphi^4} - 2 \frac{1}{r^3} \frac{\partial^3 w}{\partial r \partial \varphi^2} + \\ + 2 \frac{1}{r} \frac{\partial^3 w}{\partial r^3} + 4 \frac{1}{r^4} \frac{\partial^2 w}{\partial \varphi^2} + \frac{1}{r^3} \frac{\partial w}{\partial r} - \frac{1}{r^2} \frac{\partial^2 w}{\partial r^2} = \frac{p(r, \varphi)}{D}. \end{aligned} \quad (5.4)$$

Mărimile adimensionale α_r și λ_r , din ecuațiile diferențiale (5.2) ÷ (5.4) au următoarea interpretare:

- mărimea α_r reprezintă raportul dintre modulul de rigiditate la tracțiune al tuturor nervurilor aferente unității de lungime și rigiditatea la tracțiune a plăcii, luate pe circumferința exterioară;

- mărimea λ_r este definită de raportul dintre modulul

de rigiditate la încovoiere al tuturor nervurilor aferente unității de lungime a circumferinței exterioare și rigiditatea cilindrică de încovoiere a plăcii.

Mărimile dimensionale α_r și λ_r se consideră indicatori de rigiditate pentru plăcile circulare cu nervuri radiale.

În cazul încărcării simetrice sistemul de ecuații diferențiale (5.2) ÷ (5.4) devine:

$$\left(1 + \frac{R}{r} \alpha_r\right) \frac{d^2 u_0}{dr^2} + \frac{1}{r} \frac{du_0}{dr} - \frac{u_0}{r^2} = - \frac{p_r}{B}; \quad (5.5)$$

$$\left(1 + \frac{R}{r} \lambda_r\right) \frac{d^4 w}{dr^4} + \frac{1}{r} \frac{d^3 w}{dr^3} - \frac{1}{r^2} \frac{d^2 w}{dr^2} + \frac{1}{r^3} \frac{dw}{dr} = \frac{p_z}{D}. \quad (5.6)$$

Soluțiile generale ale sistemului de ecuații diferențiale (5.2) ÷ (5.4) nu sînt cunoscute.

Ecuațiile diferențiale (5.5) și (5.6) sînt liniare și neomogene. Soluția generală a fiecărei ecuații diferențiale, după [107] și [178], se obține adunînd la soluția generală a ecuației diferențiale omogene corespunzătoare a soluției particulare a ecuației diferențiale neomogene. Ecuațiile diferențiale (5.5) și (5.6) fiind independente, ele pot fi integrate separat.

Pentru integrarea ecuației diferențiale (5.5) se introduc notațiile:

$$\xi = \frac{r}{R}; \quad (5.7) \quad y = \frac{\xi}{\alpha_r} = \frac{r}{R \alpha_r}. \quad (5.8)$$

obținîndu-se

$$\frac{d^2 u_0}{dy^2} + \frac{1}{1+y} \frac{du_0}{dy} - \frac{1}{y(1+y)} u_0 = - \frac{(R \alpha_r)^2}{B} \frac{y}{1+y} p_r. \quad (5.9)$$

Ecuația diferențială omogenă are forma:

$$\frac{d^2 u_0}{dy^2} + \frac{1}{1+y} \frac{du_0}{dy} - \frac{1}{y(1+y)} u_0 = 0. \quad (5.10)$$

În lucrarea [178] se menționează că orice ecuație diferențială liniară de ordinul doi omogenă care admite două soluții particulare, u_{o1} și u_{o2} , liniar independente (wronskianul lor este diferit de zero), atunci soluția generală a ecuației (5.10) este de forma:

$$u_o = C_1 \cdot u_{o1} + C_2 \cdot u_{o2}, \quad (5.11)$$

unde C_1 și C_2 sînt constante de integrare.

Este evident, prin verificare directă, că ecuația (5.10) are o soluție particulară $u_{o1} = y$. Se găsește a doua soluție particulară u_{o2} , astfel ca u_{o1} și u_{o2} să fie liniar independente. Notînd, în acest caz cu $a_1 = 1/(1+y)$ coeficientul primei derivate al lui u_o din ecuația (5.10), după [178], rezultă:

$$\begin{aligned} u_{o2} &= u_{o1} \int \frac{e^{-\int a_1 dy}}{u_{o1}^2} dy = y \int \frac{e^{-\int \frac{1}{1+y} dy}}{y^2} dy = \\ &= y \int \frac{e^{-\ln(1+y)}}{y^2} dy = y \int \frac{dy}{y^2(1+y)} = y \cdot \ln\left(1 + \frac{1}{y}\right) - 1. \end{aligned} \quad (5.12)$$

În consecință, soluția generală este de forma:

$$\bar{u}_o = C_1 \cdot y + C_2 \left(y \cdot \ln\left(1 + \frac{1}{y}\right) - 1 \right) \quad (5.13)$$

Soluția particulară u_{op} a ecuației (5.9) depinde și de legea de variație a solicitării dată de p_r care va fi stabilită pentru fiecare caz de încărcare.

În concluzie, soluția generală a ecuației diferențiale neomogene (5.9) este dată de relația:

$$u_o = \bar{u}_o + u_{op}. \quad (5.14)$$

Fiind cunoscută deformația plăcii încărcată cu forțe conținute în planul median, prin relația (5.14), se pot determina tensiunile în placă și în nervuri.

Pe baza relațiilor (3.28) tensiunile în placă se determină cu relațiile:

$$\sigma_r = \frac{E}{1-\nu^2} \left(\frac{du_o}{dr} + \nu \frac{u_o}{r} \right) = \frac{E}{1-\nu^2} \frac{1}{R\alpha} \left(\frac{du_o}{dy} + \nu \frac{u_o}{y} \right),$$

$$\sigma_y = \frac{E}{1-\nu^2} \left(\nu \frac{du_o}{dr} + \frac{u_o}{r} \right) = \frac{E}{1-\nu^2} \frac{1}{R\alpha_r} \left(\nu \frac{du_o}{dy} + \frac{u_o}{y} \right). \quad (5.15)$$

În nervură conform relațiilor (4.3) și (5.8) rezultă:

$$\sigma_{rn} = E \frac{du_o}{dr} = E \frac{1}{R\alpha_r} \frac{du_o}{dy}. \quad (5.16)$$

5.2.1.1 Calculul discurilor nervurate

Un interes deosebit îl prezintă examinarea discurilor care se rotesc cu viteza unghiulară ω . Ele sînt încărcate în planul median de către forțe care acționează axial și simetric. Intensitatea forței de inerție p_r este compusă din intensitatea masei discului $p_{rd} = \delta \omega^2 r h / g$ și a nervurii distribuită pe unitatea de lungime $p_{rn} = \delta \omega^2 r A_{rn} n_r / 2 \pi r g$. În acest caz rezultă:

$$\begin{aligned} p_r &= p_{rd} + p_{rn} = \frac{\delta}{g} \omega^2 r h \left(1 + \frac{A_{rn} n_r}{2 \pi r h} \right) = \\ &= \frac{\delta}{g} \omega^2 \frac{h}{B} r \left(1 + \frac{R\alpha_r B}{Eh} \frac{1}{r} \right) = \frac{\delta}{g} \omega^2 \frac{R\alpha_r h}{B} y \left(1 + \frac{1}{(1-\nu^2)y} \right) \end{aligned} \quad (5.17)$$

Relația (5.17) se introduce în ecuația diferențială (5.9) a cărei soluție generală este:

$$\begin{aligned} u_o &= C_1 \cdot y + C_2 \left(y \cdot \ln \left(1 + \frac{1}{y} \right) - 1 \right) + \\ &+ \frac{\delta}{g} \omega^2 h \frac{R\alpha_r^3}{12B} \left\{ \frac{1+\nu}{1-\nu^2} \left[y \ln(1+y) - y^2 \right] - 1,5y^3 \right\}. \end{aligned} \quad (5.18)$$

Să se determine starea de tensiune a discului dat în figura 5.1 unde $R = 300$ mm; $r_o = 40$ mm; $H = 40$ mm; $h = 8$ mm; $t = 8$ mm; $\omega = 20$ rad/s; $N_R = 20$ N/mm; $\delta = 7800$ kg/m³; $g = 9,81$ m/s²

În acest caz soluția generală a ecuației diferențiale (5.9), relația (5.18) trebuie să satisfacă condițiile:

$$\text{la } r = r_o \quad \text{sau } y_o = \frac{r_o}{R\alpha_r} \quad u_o = 0; \quad (5.19)$$

$$\text{la } r = R \text{ sau } y_R = \frac{1}{\alpha_r} \quad N_r = N_R, \quad (5.20)$$

unde N_r este forța normală radială dată de relația (4.16);

N_R - forța care acționează asupra discului datorită acțiunii ebadei.

Din condițiile de centur rezultă următorul sistem de ecuații:

$$\begin{cases} 1,07 \cdot C_1 - 0,29 \cdot C_2 = 2,6 \frac{\delta}{g} \omega^2 h \frac{(R\alpha_r)^3}{12B}, \\ 1,42 \cdot C_1 + 5,2 \cdot 10^{-3} C_2 = 382,66 \frac{\delta}{g} \omega^2 h \frac{(R\alpha_r)^3}{12 \cdot B} + \frac{R\alpha_r}{B} N_R \end{cases} \quad (5.21)$$

Rezolvind sistemul de ecuații (5.21) rezultă:

$$C_1 = 265,91 \frac{\delta}{g} \omega^2 h \frac{(R\alpha_r)^3}{12B} + 0,69 \frac{R\alpha_r}{B} N_R, \quad (5.22)$$

$$C_2 = 972 \frac{\delta}{g} \omega^2 h \frac{(R\alpha_r)^3}{12B} + 2,56 \frac{R\alpha_r}{B} N_R.$$

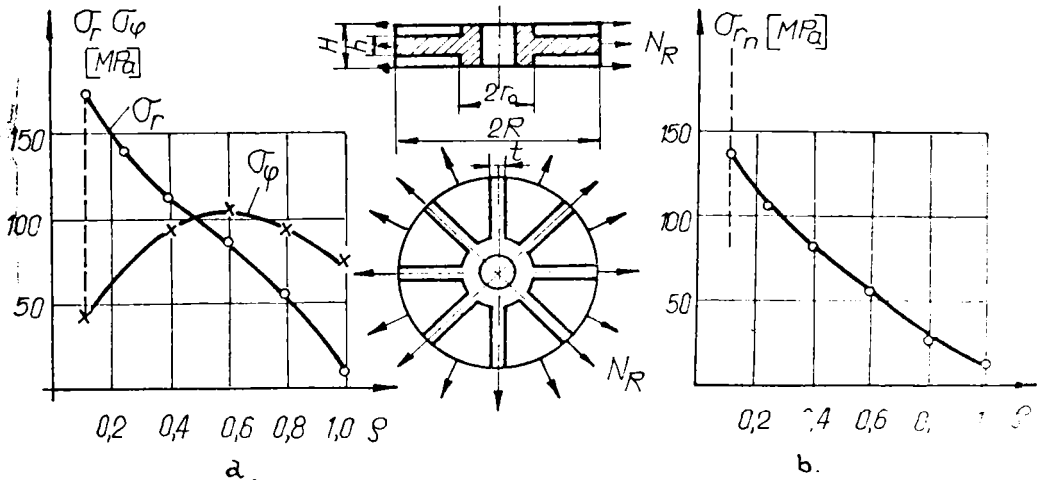


Fig.5.1

Constantele C_1 și C_2 se introduc în relația (5.18).

Tensiunile date de relațiile (5.15) și (5.16) sînt reprezentate grafic în figura (5.1, a și 5.1, b. Tensiunile circumferențiale au o creștere de la interior pînă la $\rho = 0,6$ urmînd

o descreștere pînă în dreptul conturului exterior ($\rho = 1$). În dreptul conturului interior (butuc) tensiunea radială din placă este mai mare decît în nervură.

În cazul cînd $p_r = 0$ deformarea plăcilor circulare solicitate de către forțe conținute în planul median este descrisă de ecuația diferențială (5.10) a cărei soluție este dată de relația (5.13). Constantele de integrare se determină din condițiile de contur.

5.2.1.2 Incovoierea plăcii circulare cu nervuri radiale

Incovoierea plăcii circulare cu nervuri radiale este descrisă de ecuația diferențială (5.4). Rezolvarea ecuației diferențiale (5.4) este dificilă. De aceea se vor studia cîteva cazuri particulare de solicitare.

Incovoierea axial simetrică. În acest caz ecuația diferențială (5.4) devine:

$$\left(1 + \frac{R}{r} \lambda_r\right) \frac{d^4 w}{dr^4} + \frac{1}{r} \frac{d^3 w}{dr^3} - \frac{1}{r^2} \frac{d^2 w}{dr^2} + \frac{1}{r^3} \frac{dw}{dr} = \frac{p(r)}{D} \quad (5.23)$$

Pentru integrarea ecuației diferențiale (5.23) se face o serie de transformări. Astfel ecuația (5.23) poate fi scrisă sub forma:

$$D \frac{1}{r} \frac{d}{dr} \left(r \frac{d}{dr} \left(\frac{d^2 w}{dr^2} + \frac{1}{r} \frac{dw}{dr} \right) + R \lambda_r \frac{d^2 w}{dr^2} \right) = p(r) \quad (5.24)$$

sau

$$D \frac{d}{dr} \left[\left(r + R \lambda_r \right) \frac{d^3 w}{dr^3} + \frac{d^2 w}{dr^2} - \frac{1}{r} \frac{dw}{dr} \right] = r \cdot p(r). \quad (5.25)$$

Integrînd ecuația diferențială (5.25), rezultă:

$$R \lambda_r \frac{d^3 w}{dr^3} + \frac{d^2 w}{dr^2} - \frac{1}{r} \frac{dw}{dr} = \frac{1}{D} \int r p(r) dr + C. \quad (5.26)$$

Se înmulțește ecuația (5.26) cu r , obținîndu-se:

$$(r^2 + rR\lambda_r) \frac{d^3 w}{dr^3} + r \frac{d^2 w}{dr^2} - \frac{dw}{dr} = r \left(\frac{1}{D} \int r \cdot p(r) dr + C \right). \quad (5.27)$$

Se introduc notațiile:

$$\frac{dw}{dr} = W, \quad (5.28) \quad x = \frac{r}{R \cdot \lambda_r}, \quad (5.29)$$

În ecuația diferențială (5.27) obținându-se:

$$x(x+1) \frac{d^2 W}{dx^2} + x \frac{dW}{dx} - W = \frac{R^2 \lambda_r^2}{D} x \left(R \lambda_r \int x p dx + \frac{D \cdot C}{R \lambda_r} \right). \quad (5.30)$$

Ecuația diferențială (5.30) poate fi adusă la forma:

$$\frac{d^2 W}{dx^2} + \frac{1}{x+1} \frac{dW}{dx} - \frac{1}{x(x+1)} W = \frac{R^2 \lambda_r^2}{D} \frac{x}{x+1} T_r, \quad (5.31)$$

unde

$$T_r = \frac{1}{x} \left(R \lambda_r \int x p dx + \frac{D \cdot C}{R \lambda_r} \right). \quad (5.32)$$

Relația (5.32) determină intensitatea forței tăietoare T_r , calculată în mod independent pentru fiecare caz de solicitare. Constanta C se determină din condițiile de contur pentru forța transversală T_r în dependență de reazemul de așezare și tipul de încărcare transversală.

Ecuația diferențială (5.31) este asemănătoare cu (5.9). Soluția generală se obține adunând la soluția generală (W_0) a ecuației diferențiale omogene corespunzătoare a soluției particulare (W_p) a ecuației neomogene.

Ecuația diferențială omogenă

$$\frac{d^2 W}{dx^2} + \frac{1}{x+1} \frac{dW}{dx} - \frac{1}{x(x+1)} W = 0, \quad (5.33)$$

are soluția generală:

$$W_0 = C_1 W_1 + C_2 W_2 = C_1 \cdot x + C_2 (x \cdot \ln(1 + \frac{1}{x}) - 1). \quad (5.34)$$

Soluția generală a ecuației diferențiale (5.31) se poate scrie sub forma:

$$W = C_1 W_1 + C_2 W_2 + W_p, \quad (5.35)$$

unde W_p este soluția particulară a ecuației care depinde de tipul încărcării axial simetrice.

Relația (5.35), ținând cont de relațiile (5.28) și (5.29) se folosește la determinarea deplasării transversale a plăcii circulare cu nervuri radiale și la calculul stării de tensiune.

Starea de tensiune în placă se determină cu relațiile ce rezultă din al doilea termen al relațiilor (3.27), particularizat pentru încărcarea axial simetrică, când $z = \pm h/2$.

Aceste relații au forma:

$$\sigma_r^0 = -\frac{Eh}{2(1-\nu^2)} \left(\frac{d^2 w}{dr^2} + \nu \frac{1}{r} \frac{dw}{dr} \right) = -\frac{Eh}{2(1-\nu^2)} \left(\frac{1}{(R \cdot \lambda_r)^2} \left(\frac{d^2 w}{dx^2} + \nu \frac{1}{x} \frac{dw}{dx} \right) \right); \quad (5.36)$$

$$\sigma_\varphi^0 = -\frac{Eh}{2(1-\nu^2)} \left(\frac{1}{r} \frac{dw}{dr} + \nu \frac{d^2 w}{dr^2} \right) = -\frac{Eh}{2(1-\nu^2)} \frac{1}{(R \lambda_r)^2} \left(\frac{1}{x} \frac{dw}{dx} + \nu \frac{d^2 w}{dx^2} \right).$$

Starea de tensiune în nervură se obține cu ajutorul termenului al doilea din relația (4.3), când $z = \pm H/2$, care este de forma:

$$\sigma_{rn} = -\frac{H \cdot E_{rn}}{2} \frac{d^2 w}{dr^2} = -\frac{H \cdot E_{rn}}{2} \frac{1}{(R \lambda_r)^2} \frac{d^2 w}{dx^2}. \quad (5.37)$$

În continuare calculul este condus cu referire la fiecare caz particular în parte.

1. Placa încastrată pe contur încărcată cu o forță uniform distribuită p

Din condiția de echilibru a unui element de placă de rază r rezultă

$$T_r = \frac{p \cdot \pi \cdot r^2}{2 \cdot \lambda_r} = \frac{p \cdot r}{2} = \frac{p}{2} \cdot R \cdot \lambda_r \cdot x. \quad (5.38)$$

Din relațiile (5.32) și (5.38) se obține

$$\frac{R \cdot \lambda_r}{2} p x = \frac{1}{x} \left(R \cdot \lambda_r \int x \cdot p \cdot dx + \frac{D \cdot C}{R \lambda_r} \right), \quad (5.39)$$

sau

$$C = 0 \quad (5.40)$$

Se înlocuiește relația (5.38) în ecuația (5.31). Se obține:

$$\frac{d^2 W}{dx^2} + \frac{1}{x+1} \frac{dW}{dx} - \frac{1}{x(x+1)} W = \frac{R^3 \cdot \lambda_r^3}{2 D} p \frac{x^2}{x+1} \quad (5.41)$$

Soluția generală a ecuației (5.41) are forma:

$$W = C_1 x + C_2 \left(x \ln \left(1 + \frac{1}{x} \right) - 1 \right) + \frac{R^3 \lambda_r^3}{8 \cdot D} p (0,5 x^3 - x^2 + x \ln(x+1)) \quad (5.42)$$

În baza relațiilor (5.28) și (5.29) rezultă:

$$w = \frac{R \lambda_r}{2} \cdot x^2 C_1 + \frac{R \cdot \lambda_r}{2} C_2 \left[x^2 \ln \left(1 + \frac{1}{x} \right) - \ln(x+1) - x \right] + \frac{R^4 \lambda_r^4}{16 \cdot D} p \left[\frac{x^4}{4} - \frac{2x^3}{3} - \frac{x^2}{2} + x + (x^2 - 1) \ln(1+x) \right] + C_3 \quad (5.43)$$

Constantele de integrare, din relația (5.43), se determină din condițiile de contur și din condiția ca mărimile deplasării și a eforturilor secționale să fie finite.

Stările de deformare și de tensiune se determină pentru o placă circulară întărită cu 8 nervuri radiale de rază $R = 125 \text{ mm}$, $H = 6 \text{ mm}$, $t = 3 \text{ mm}$, $h = 3 \text{ mm}$, $E = 2,1 \cdot 10^5 \text{ N/mm}^2$, $\nu = 0,3$. Placa este solicitată de o sarcină uniform distribuită $p = 0,1 \text{ MPa}$.

Modulul de rigiditate cilindrică determinat de relația (3.35) are valoarea:

$$D = \frac{E \cdot h^3}{12(1-\nu^2)} = \frac{2,1 \cdot 10^5 \cdot 3^3}{12(1-0,3^2)} = 5,1923 \cdot 10^5 \text{ N mm} \quad (5.44)$$

Parametrul λ_r se determină cu relația (4.39):

$$\lambda_r = \frac{8 \cdot 3 \cdot (1 - 0,3^2) \cdot 6^3 - 3^3}{2 \cdot R \cdot 125 \cdot 3^3} = 0,1946 \quad (5.45)$$

Pentru determinarea constantelor de integrare este necesar:

la $r = 0$ sau $x = 0$ w este finit deci $C_2 = 0$,
 la $r = R$ sau $x = \frac{1}{\lambda_R} = 5,14$ $w(\frac{1}{\lambda_R}) = 0$, (5.46)

$$\frac{dw}{dx} = 0.$$

Din ultimile condiții de contur se obține:

$$\begin{cases} C_1 + a \frac{R^3 \cdot \lambda_R^3}{16 \cdot D} p = 0; \\ b R \lambda_R C_1 + C_3 + c \frac{R^4 \cdot \lambda_R^4}{16 \cdot D} p = 0, \end{cases} \quad (5.47)$$

unde

$$x = \frac{1}{\lambda_R}; \quad (5.48) \quad a = x^2 - 2x + 2 \ln(1+x); \quad (5.49)$$

$$b = \frac{x^2}{2}; \quad (5.50) \quad c = \frac{x^4}{4} - \frac{2x^3}{3} - \frac{x^2}{2} + x + (x^2-1)\ln(1+x) \quad (5.51)$$

Soluțiile sistemului de ecuații (5.47) vor fi:

$$C_1 = -a \frac{R^3 \cdot \lambda_R^3}{16D} p = -19,77 \frac{R^3 \cdot \lambda_R^3}{16D} p; \quad (5.52)$$

$$C_3 = (ab - c) \frac{R^4 \cdot \lambda_R^4}{16D} p = 139,12 \frac{R^4 \cdot \lambda_R^4}{16D} p. \quad (5.53)$$

Constantele (5.52) și (5.53) se introduc în relația (5.43) rezultând:

$$w = \frac{R^4 \cdot \lambda_R^4}{16D} p \left[\frac{x^4}{4} - \frac{2x^3}{3} - 10,385x^2 + x + (x^2-1)\ln(1+x) + 139,12 \right]. \quad (5.54)$$

Starea de tensiune se obține prin înlocuirea relației (5.54) în (5.36) și (5.37)

$$\sigma_r = - \frac{3R^2 \cdot \lambda_R^2}{8} \frac{p}{h^2} \left[3,3x^2 - 4,6x + 2,6 \ln(1+x) + \frac{2 \cdot x}{1+x} - 25,7 \right]; \quad (5.56)$$

$$\sigma_\varphi = - \frac{3R^2 \cdot \lambda_R^2}{8} \frac{p}{h^2} \left[1,9x^2 - 3,2x + 2,6 \ln(1+x) + \frac{0,6x}{1+x} - 25,7 \right]; \quad (5.57)$$

$$\sigma_{rn} = - \frac{E_{rn} R^2 \lambda_r^2 H}{32 \cdot D} p \left[3x^2 - 4x + 2 \ln(1+x) + \frac{2x}{1+x} - 19,77 \right]. \quad (5.58)$$

Reprezentarea grafică a deplasării transversale (5.54) și a tensiunilor normale, radiale (5.56) și circumferențiale (5.57), pentru placă precum și tensiunile din nervură (5.58) în raport cu mărimile corespunzătoare din placa circulară fără nervuri sînt prezentate în figura 5.2.

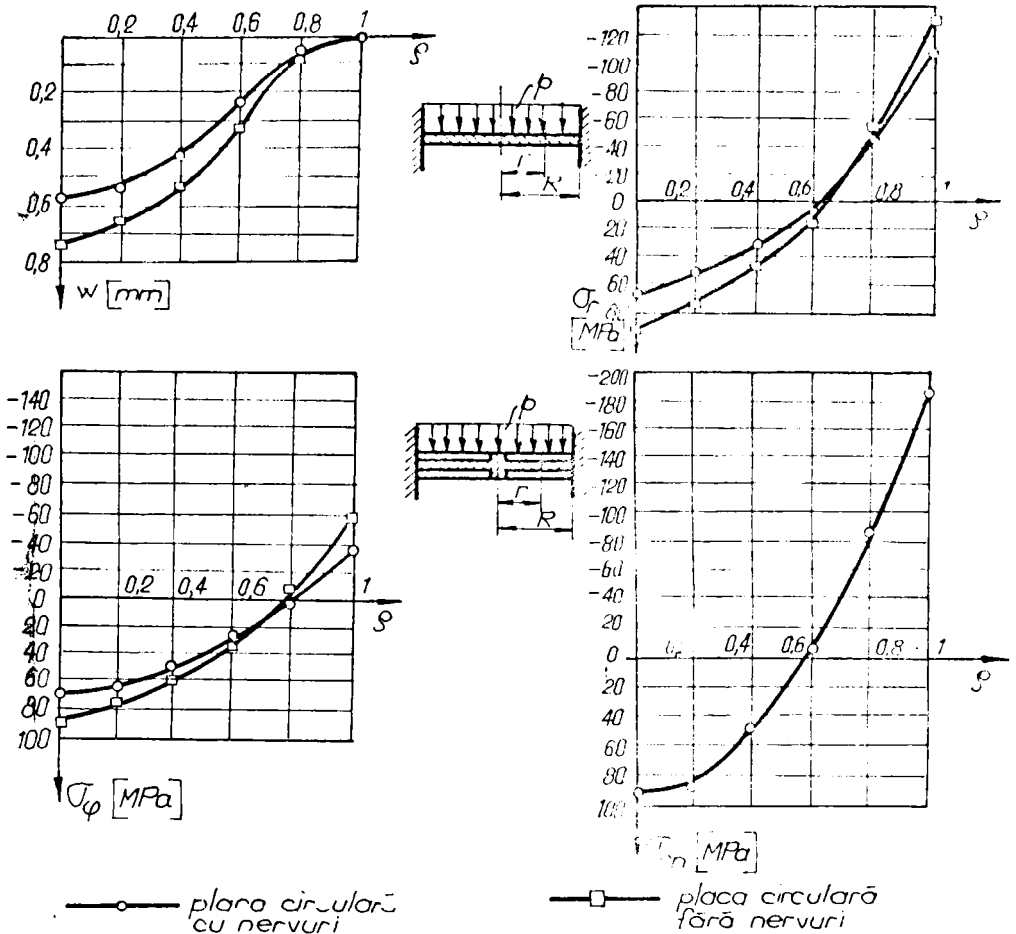


fig. 5.2

Grosimea plăcilor este considerată aceeași. Ambele plăci sînt solicitate cu o sarcină uniform distribuită avînd aceeași intensitate. Din analiza graficelor rezultă că tensiunile normale în placă sînt mai mici la placa cu nervuri.

Totodată, la plăcile cu nervuri crește rigiditatea în raport cu plăcile fără nervuri. Tensiunile cele mai mari apar în nervuri.

2. Placa circulară cu nervuri radiale simplu rezemată pe conturul exterior încărcată cu o sarcină normală uniform distribuită $p = 0,1$ MPa. Diametrul exterior al plăcii este de 250 mm iar grosimea $h = 3$ mm. Ea are 8 nervuri radiale avînd secțiunea dreptunghiulară $t = 3$ mm, $H = 6$ mm fiind confecționată din oțel.

Starea de deformație este dată de relația (5.43) care trebuie să îndeplinească următoarele condiții:

- pentru a exista mărimi finite în centrul plăcii este necesar ca $C_2 = 0$;

$$\text{- la } r = R \text{ sau } x = 1/\lambda_r \quad w = 0; \quad (5.58)$$

$$\text{- la } r = R \text{ sau } x = 1/\lambda_r \quad M_r = 0. \quad (5.59)$$

În relația (5.59), M_r este exprimat de (4.25).

Din condițiile de contur rezultă următorul sistem:

$$\begin{cases} bR \cdot \lambda_r C_1 + C_3 + c \frac{R^4 \cdot \lambda_r^4}{16 \cdot D} p = 0; \\ (1 + \nu + \frac{1}{x}) C_1 + \frac{R^3 \cdot \lambda_r^3}{16 \cdot D} p = 0 \end{cases} \quad (5.60)$$

unde $x = 1/\lambda_r$, b și c se determină cu relațiile (5.50) și (5.51) iar

$$m = (3 + \nu + \frac{3}{x})x^2 - (4 + 2\nu + \frac{4}{x})x + 2(1 + \nu + \frac{1}{x})\ln(1+x) + \frac{2 \cdot x}{1+x}. \quad (5.61)$$

Rezolvarea sistemului de ecuații (5.60) dă:

$$C_1 = - \frac{1}{1 + \nu + \lambda_r} \frac{R^3 \cdot \lambda_r^3}{16D} p = - 53,79 \frac{R^3 \cdot \lambda_r^3}{16D} p; \quad (5.62)$$

$$C_3 = \left(\frac{1}{1 + \nu + \lambda_r} - bm - c \right) \frac{R^4 \cdot \lambda_r^4}{16D} p = 588,58 \frac{R^4 \cdot \lambda_r^4}{16D} p. \quad (5.63)$$

Constantele determinate mai sus se introduc în expresia

deplasării transversale (5.43) care va avea forma:

$$w = \frac{R^4 \cdot \lambda_r^4}{16D} p \left[\frac{x^4}{4} - \frac{2x^3}{3} - 27,395x^2 + x + (x^2 - 1) \ln(1+x) + 588,53 \right]. \quad (5.64)$$

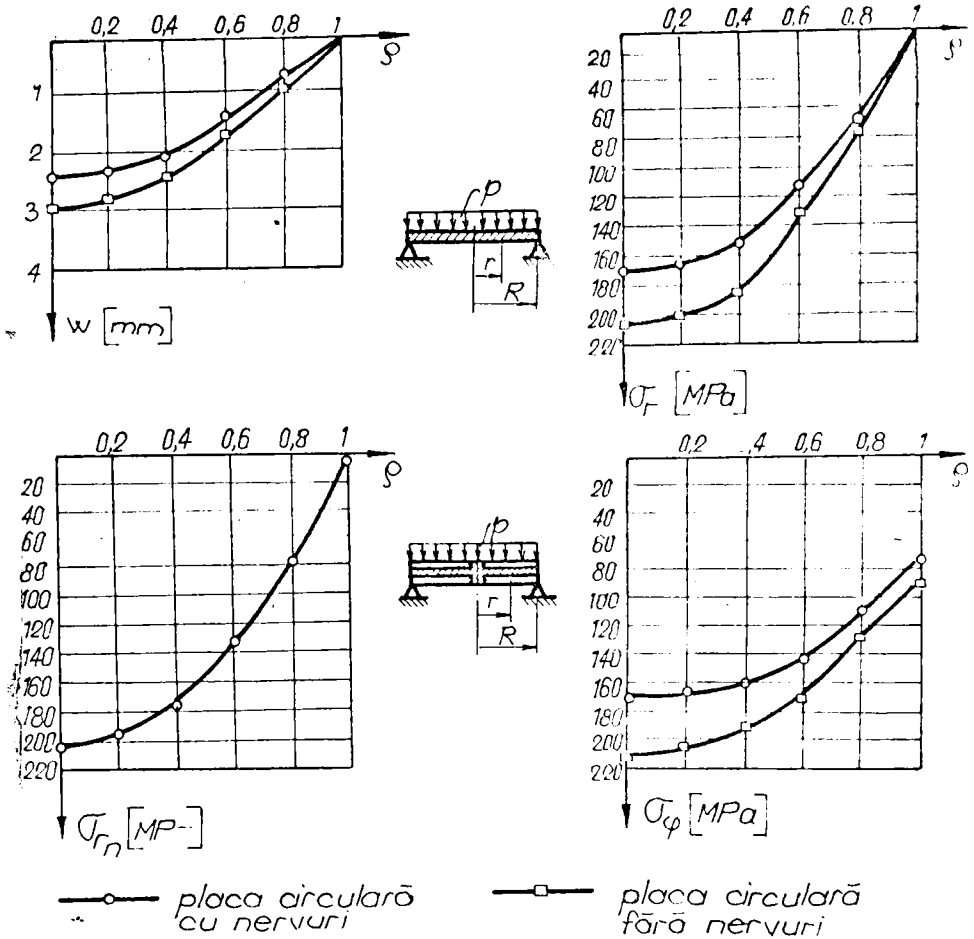


Fig. 5.3

Expresiile tensiunilor în placă, după (5.36), vor fi:

$$\sigma_r = - \frac{3R^2 \cdot \lambda_r^2}{8} \frac{p}{h^2} \left[3,3x^2 - 4,6x + 2,6 \ln(1+x) + \frac{2 \cdot x}{1+x} - 69,927 \right]; \quad (5.65)$$

$$\sigma_\varphi = - \frac{3R^2 \cdot \lambda_r^2}{8} \frac{p}{h^2} \left[1,9x^2 - 3,2x + 2,6 \ln(1+x) + \frac{0,6x}{1+x} - 69,927 \right]. \quad (5.66)$$

Tensiunea normală în nervură se determină cu relația:

$$\sigma_{rn} = - \frac{E_{rn} R^2 \lambda_r^2 H}{32 D} P \left[3x^2 - 4x + 2 \ln(1+x) + \frac{2 \cdot x}{1+x} - 53,79 \right]. \quad (5.67)$$

În fig.5.3 sînt reprezentate grafic relațiile (5.64), (5.65), (5.66) și (5.67). Graficele deplasării transversale și a tensiunilor sînt comparate cu cele ale plăcii fără nervuri. Se constată că în placa cu nervuri tensiunile sînt mai mici decît cele din placa fără nervuri. Totodată, deplasările transversale ale plăcii cu nervuri sînt mai mici decît la placa fără nervuri.

3. Placa circulară cu nervuri încărcată cu o forță concentrată, încastrată pe contur.

Dacă placa este încărcată cu o forță concentrată aplicată centric, din condiția de echilibru a unui element de placă de rază r , rezultă:

$$T_r = \frac{P}{2 \bar{\lambda}_r} \cdot \quad (5.68)$$

Din egalarea relațiilor (5.32) și (5.68) rezultă:

$$C = \frac{P}{2 \bar{\lambda}_D} \cdot \quad (5.69)$$

Condiția (5.69) și relația (5.32) permit scrierea ecuației (5.31) sub forma:

$$\frac{d^2 W}{dx^2} + \frac{1}{x+1} \frac{dW}{dx} - \frac{1}{x(x+1)} W = \frac{R \cdot \lambda_r}{2 \bar{\lambda}_D} P \frac{1}{x+1} \cdot \quad (5.70)$$

Soluția generală a ecuației diferențiale (5.70) este:

$$W = C_1 x + C_2 \left(x \ln\left(1 + \frac{1}{x}\right) - 1 \right) + \frac{R \lambda_r}{4 \bar{\lambda}_D} P x \ln(x+1). \quad (5.71)$$

În baza relațiilor (5.28) și (5.29) se obține:

$$w = \frac{R \lambda_r}{2} x^2 C_1 + \frac{R \lambda_r}{2} C_2 \left[x^2 \ln\left(1 + \frac{1}{x}\right) - \ln(1+x) - x \right] + \frac{R^3 \lambda_r^3}{8 \bar{\lambda}_D} P \left[(x^2 - 1) \ln(1+x) - \frac{x^2}{2} + x \right] + C_3 \cdot \quad (5.72)$$

Condițiile de contur sînt:

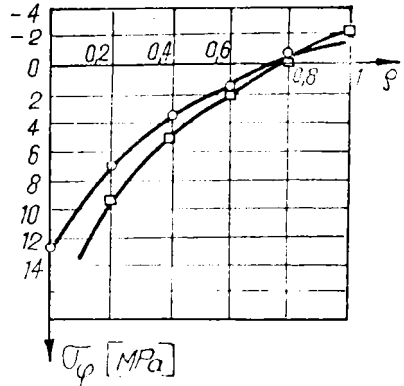
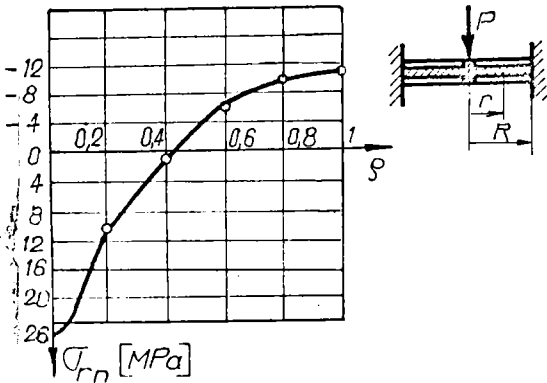
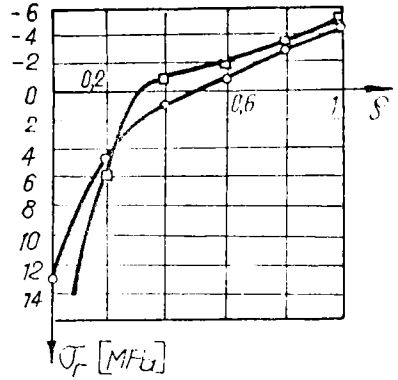
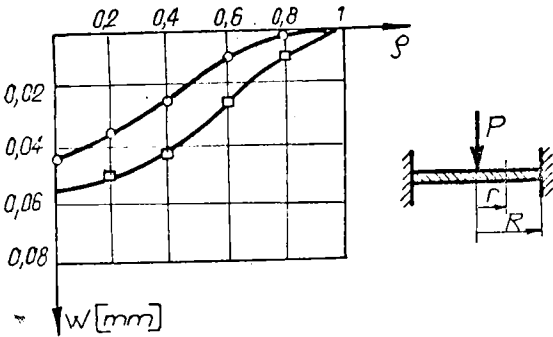
pentru $r = 0$ și $r = R$

$$\frac{dw}{dr} = 0;$$

pentru $r = R$

$$w = 0.$$

$$(5.73)$$



—○— placa circulară
cu nervuri

—□— placa circulară
fără nervuri

Fig.5.4

Condițiile (5.73) dau un sistem linear de trei ecuații cu trei necunoscute

$$\begin{cases} C_2 = 0 ; \\ C_1 + d \frac{R \cdot \lambda_r}{4 \sqrt{d}} P = 0 ; \\ R \lambda_r \cdot b \cdot C_1 + C_3 + f \frac{R^2 \cdot \lambda_r^2}{8 \pi D} P = 0, \end{cases} \quad (5.74)$$

unde $x = l/\lambda_r$, b este dat de relația (5.50) iar

$$f = (x^2 - 1) \ln(1 + x) - \frac{x^2}{2} + x \quad (5.75)$$

Soluțiile sistemului de ecuații (5.74) sînt:

$$C_1 = -d \frac{R\lambda_r}{4\bar{\kappa}D} P = -1,81 \frac{R \cdot \lambda_r}{4\bar{\kappa}D} P ; \quad (5.76)$$

$$C_3 = (2bd - f) \frac{R^2 \cdot \lambda_r^2}{8\bar{\kappa}D} P = 9,757 \frac{R^2 \cdot \lambda_r^2}{8\bar{\kappa}D} P . \quad (5.77)$$

Dimensiunile plăcii sînt cele specificate în cazul 1 iar încărcarea $P = 100$ N.

Expresiile pentru deplasarea transversală, tensiunile normale radiale și circumferențiale vor fi:

$$w = \frac{R^2 \lambda_r^2}{8\bar{\kappa}D} P \left[(x^2 - 1) \ln(1+x) - 2,31x^2 + x + 9,757 \right]; \quad (5.78)$$

$$\sigma_r = -\frac{3P}{2\bar{\kappa}h^2} \left[1,3 \cdot \ln(1+x) + \frac{x}{1+x} - 2,353 \right]; \quad (5.79)$$

$$\sigma_\varphi = -\frac{3P}{2\bar{\kappa}h^2} \left[1,3 \cdot \ln(1+x) + \frac{0,3x}{1+x} - 2,353 \right]; \quad (5.80)$$

Tensiunea normală în nervură va fi:

$$\sigma_{rn} = -\frac{E_{rn} \cdot H}{8 \cdot \bar{\kappa} \cdot D} P \left[\ln(1+x) + \frac{x}{1+x} - 1,81 \right] . \quad (5.81)$$

În figura 5.4 sînt reprezentate grafic relațiile (5.78), (5.79), (5.80) și (5.81) în comparație cu relațiile corespunzătoare ale plăcii circulare fără nervuri. În centrul plăcii rezultatele numerice nu concordă cu realitatea întrucît este un punct singular. În acest caz trebuie avut în vedere că forțele concentrate sînt aplicate pe o suprafață iar tensiunile normale maxime din centrul plăcii au valori finite.

4. Placa rezemată pe contur, încărcată cu o forță concentrată centrală.

Pentru determinarea constantelor de integrare din

relația (5.72) este necesar ca:

$$\text{la } r = 0 \text{ sau } x = 0 \quad \frac{dw}{dr} = 0; \quad (5.82)$$

$$\text{la } r = R \text{ sau } x = 1/\lambda_r \quad w = 0 \text{ și } M_r = 0.$$

Ținând cont de relațiile (5.71), (5.72) și (4.25) se obține:

$$\begin{cases} R \lambda_r^b C_1 + C_3 + f \frac{R^2 \lambda_r^2}{8 \pi D} P = 0; \\ C_2 = 0; \\ (1 + \nu + \lambda_r) C_1 + \frac{R \cdot \lambda_r}{4 \pi D} P m = 0, \end{cases} \quad (5.83)$$

unde $x = 1/\lambda_r$, b este dat de relația (5.50), f de (5.75) iar

$$m = (1 + \nu + \frac{1}{x}) \ln(1+x) + \frac{x}{1+x}. \quad (5.84)$$

Pentru aplicația numerică, dimensiunile plăcii sînt aceleași ca în cazul I iar forța de încărcare $P = 100$ N. În aceste condiții soluțiile sistemului de ecuații sînt:

$$C_2 = 0; \\ C_1 = - \frac{1}{1 + \nu + \frac{1}{x}} \frac{R \lambda_r}{4 \pi D} P m = 1,37 \frac{R \cdot \lambda_r}{4 \pi D} P; \quad (5.85)$$

$$C_3 = \left(\frac{2b}{1 + \nu + \frac{1}{x}} - m \right) \frac{R^2 \lambda_r^2}{8 \pi D} P = 13,9 \frac{R^2 \lambda_r^2}{8 \pi D} P. \quad (5.86)$$

Expresiile pentru deplasarea transversală și tensiunile din placa circulară cu nervuri radiale sînt:

$$w = \frac{R^2 \lambda_r^2}{8 \cdot \pi \cdot D} P \left[(x^2 - 1) \ln(1+x) - 2,958x^2 + x + 26,896 \right]; \quad (5.87)$$

$$\sigma_r = - \frac{3P}{2\pi h^2} \left[1,3 \cdot \ln(1+x) + \frac{x}{1+x} - 3,1954 \right]; \quad (5.88)$$

$$\sigma_\varphi = - \frac{3P}{2\pi h^2} \left[1,3 \cdot \ln(1+x) + \frac{0,3x}{1+x} - 3,1954 \right]; \quad (5.89)$$

$$\sigma_{rn} = - \frac{E_{rn} H}{8 \cdot \pi \cdot D} P \left[\ln(1+x) + \frac{x}{1+x} - 2,458 \right]. \quad (5.90)$$

Diagramele de deplasări transversale și tensiuni normale pentru placa circulară cu nervuri radiale în raport cu placa circulară fără nervuri sînt date în figura 5.5. Pentru a înlătura singularitatea din centrul plăcii se impune necesitatea repartizării forței pe o suprafață centrală. În calculele de rezistență se recomandă să se considere tensiunea normală maximă din nervură care are valoarea mai mare decît cea din placă.

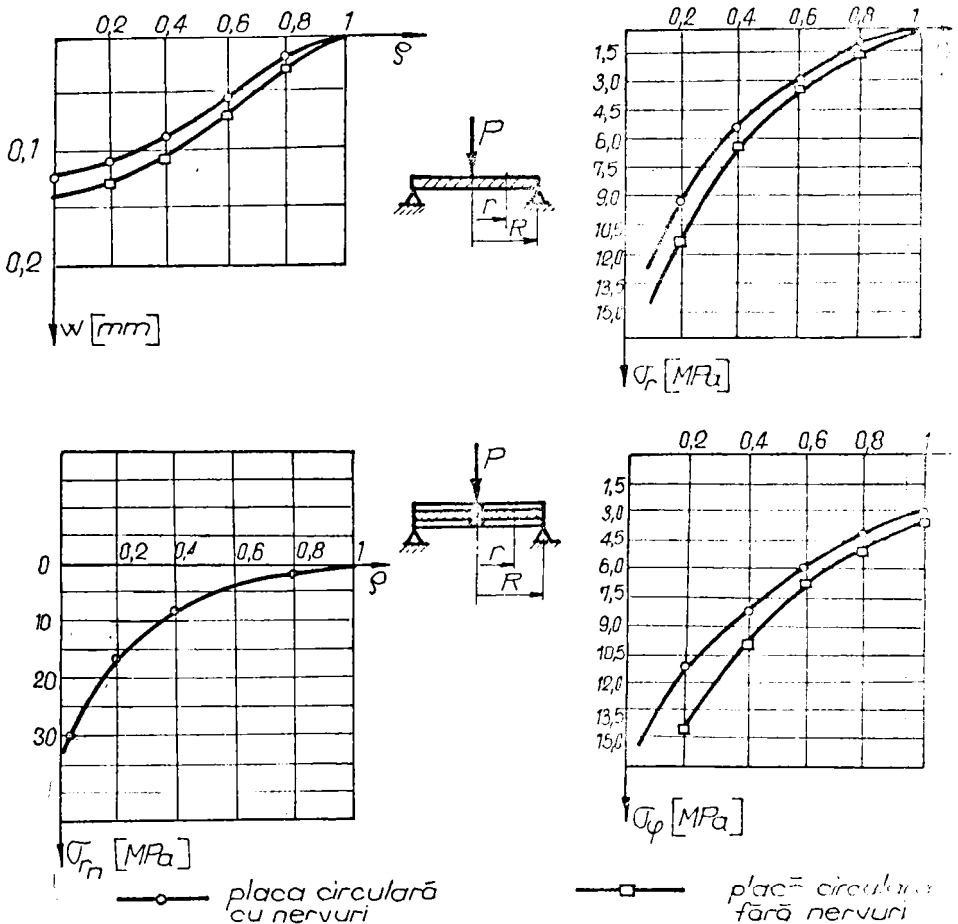


Fig.5.5

5 Placa circulară simplu rezemată pe contur încărcată pe margine cu momente uniforme distribuite

Plecînd de la relațiile(5.43) și (5.72) rezultă:

$$w = \frac{R\lambda_r}{2} C_1 x^2 + \frac{R\lambda_r}{2} C_2 \left[x^2 \ln\left(1 + \frac{1}{x}\right) - \ln(1+x) - x \right] + C_3. \quad (5.91)$$

Relația (5.91) s-a obținut considerînd $p = 0$ în (5.43) sau $P = 0$ în (5.72). Totodată relația (5.91) care descrie deformația plăcii circulare cu nervuri rezemată pe contur încărcată cu un moment uniform distribuit pe margine (fig.5.6) reprezintă soluția ecuației diferențiale (5.31) ținînd cont de relațiile (5.28) și (5.29) cînd $T_r = 0$.

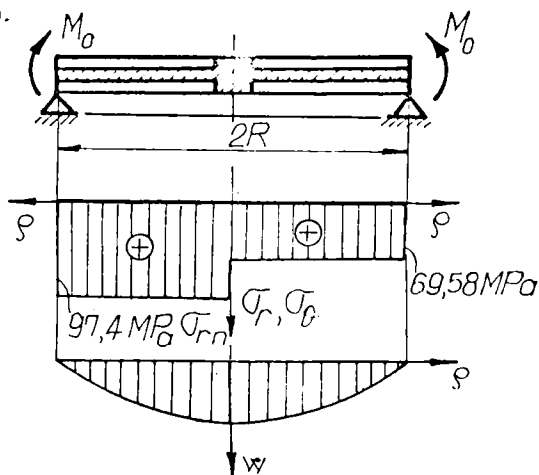


Fig.5.6

$$C_1 = - \frac{1}{1 + \nu + \lambda_r} \frac{R \cdot \lambda_r}{D} M_0. \quad (5.92)$$

Din condiția a treia rezultă:

$$C_3 = \frac{M_0 R^2}{2 D (1 + \nu + \lambda_r)}. \quad (5.93)$$

Deplasarea transversală este exprimată de relația:

$$w = \frac{M_0 R^2}{2 D (1 + \nu + \lambda_r)} (1 - \lambda_r^2 x^2). \quad (5.94)$$

În figura 5.6 sînt arătate diagramele reprezentative ale tensiunilor normale și a deplasării transversale.

Condițiile pentru de -
terminarea constante -
lor sînt:

$$\text{pentru } r = 0 \quad \frac{dw}{dr} = 0;$$

$$\text{pentru } r = R \quad M_r = M_0;$$

$$\text{pentru } r = R \quad w = 0.$$

Din prima condiție
rezultă imediat $C_2 = C$.
Din a doua condiție avînd
în vedere relația (4.25)
se obține:

Tensiunile normale sînt exprimate de relațiile:

$$\sigma_r = \sigma_\varphi = \frac{6(1 + \nu)}{(1 + \nu + \lambda_r)} \frac{M_0}{h^2}, \quad (5.95)$$

$$\sigma_{rn} = \frac{1}{1 + \nu + \lambda_r} \frac{E \cdot H}{2 \cdot D} M_0. \quad (5.96)$$

Placa circulară cu nervuri radiale se consideră solicitată de momentul uniform distribuit $M_0 = 120 \text{ Nmm/mm}$ iar dimensiunile aceleași ca la exemplele anterioare. În urma efectuării calculelor se obține $\sigma_r = \sigma_\varphi = 69,58 \text{ MPa}$, tensiunea din nervură $\sigma_{rn} = 97,4 \text{ MPa}$ și săgeata de $1,2 \text{ mm}$. În cazul plăcii fără nervuri avînd aceeași grosime și contur, după [142], rezultă $\sigma_r = \sigma_\varphi = 80 \text{ MPa}$ iar săgeata maximă de $1,4 \text{ mm}$.

5.2.1.3 Plăci inelare

6. Placa inelară rezemată pe conturul exterior cu o forță uniform distribuită (fig.5.7).

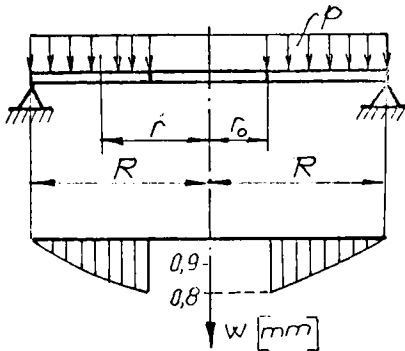


Fig.5.7

Din condiția de echilibru a unei porțiuni de placă cuprinsă între $r = r_0$ și $r_0 < r < R$ rezultă:

$$\begin{aligned} T_r &= \frac{p \cdot r}{2} - \frac{p \cdot r_0^2}{2r} = \\ &= \frac{pR\lambda_r}{2} \left(x - \frac{x_0^2}{x} \right). \end{aligned} \quad (5.97)$$

Din egalarea relațiilor (5.32) și (5.97) se obține:

$$\frac{pR \cdot \lambda_r}{2} \left(x - \frac{x_0^2}{x} \right) = \frac{1}{x} \left(R \cdot \lambda_r \int x \cdot p \cdot dx + \frac{D \cdot C}{R \lambda_r} \right), \quad (5.93)$$

sau

$$C = 0. \quad (5.94)$$

Ținând cont de relațiile (5.97) și (5.99), ecuația diferențială (5.31) are forma:

$$\frac{d^2W}{dx^2} + \frac{1}{x+1} \frac{dW}{dx} - \frac{1}{x(x+1)} W = \frac{R^3 \cdot \lambda_r^3}{2D} p \left[\frac{x^2}{x+1} - \frac{x_0^2}{x+1} \right]. \quad (5.100)$$

Soluția ecuației diferențiale (5.100) are forma:

$$W = C_1 x + C_2 \left[x \ln\left(1 + \frac{1}{x}\right) - 1 \right] + \frac{R^3 \cdot \lambda_r^3}{8D} p \left[\frac{x^2}{2} - x^2 + (1-2x_0^2)x \ln(1+x) \right] + \quad (5.101)$$

Relațiile (5.28) și (5.29) permit scrierea relației (5.101) sub forma:

$$w = \frac{R\lambda_r}{2} x^2 C_1 + \frac{R\lambda_r}{2} C_2 \left[x^2 \ln\left(1 + \frac{1}{x}\right) - \ln(1+x) - x \right] + \quad (5.102)$$

$$+ \frac{R^4 \lambda_r^4}{16D} p \left[\frac{x^4}{4} - \frac{2x^3}{3} + (1-2x^2) \left[-\frac{x^2}{2} + x + (x^2-1) \ln(1+x) \right] \right] + C_3.$$

Pentru determinarea constantelor de integrare C_1, C_2, C_3 există condițiile:

$$\text{la } r = r_0 \quad \text{sau} \quad x = x_0 = \frac{r_0}{R \cdot \lambda_r}, \quad M_r = 0; \quad (5.103)$$

$$\text{la } r = R \quad \text{sau} \quad x = x_R = \frac{1}{\lambda_r}, \quad M_r = 0; \quad (5.104)$$

$$w = 0. \quad (5.105)$$

Expresia momentului de încovoiere M_r va fi:

$$M_r = -\frac{D}{R\lambda_r} \left\{ \left(1 + \nu + \frac{1}{x}\right) C_1 + \left[\left(1 + \nu + \frac{1}{x}\right) \ln\left(1 + \frac{1}{x}\right) - \frac{1}{x+1} - \frac{\nu}{x} \right] C_2 + \right. \\ \left. + \frac{R^3 \cdot \lambda_r^3}{8D} p \left[\left(3 + \nu + \frac{3}{x}\right) \frac{x^2}{2} - \left(2 + \nu + \frac{2}{x}\right) x + (1-2x_0^2) \left(\left(1 + \nu + \frac{1}{x}\right) \ln(1+x) + \frac{1}{x} \right) \right] \right\}. \quad (5.106)$$

Primele două condiții, (5.103) și (5.104), permite obținerea sistemului de ecuații:

$$\begin{cases} a_0 C_1 + b_0 C_2 = -\frac{R^3 \lambda_r^3}{8D} p \cdot c_0, \\ a_1 C_1 + b_1 C_2 = -\frac{R^3 \lambda_r^3}{8D} p \cdot c_1. \end{cases} \quad (5.107)$$

unde

$$a_0 = 1 + \vartheta + \frac{1}{x_0}; \quad (5.108) \quad a_1 = 1 + \vartheta + \frac{1}{x_R}; \quad (5.109)$$

$$b_0 = \left(1 + \vartheta + \frac{1}{x_0}\right) \ln\left(1 + \frac{1}{x_0}\right) - \frac{1}{x_0 + 1} - \frac{\vartheta}{x_0}; \quad (5.110)$$

$$b_1 = \left(1 + \vartheta + \frac{1}{x_R}\right) \ln\left(1 + \frac{1}{x_R}\right) - \frac{1}{x_R + 1} - \frac{\vartheta}{x_R}; \quad (5.111)$$

$$c_0 = \left(3 + \vartheta + \frac{\vartheta}{x_0}\right) \frac{x_0^2}{2} - \left(2 + \vartheta + \frac{\vartheta}{x_0}\right) x_0 + (1 - 2x_0^2) \left(\left(1 + \vartheta + \frac{\vartheta}{x_0}\right) \ln\left(1 + \frac{1}{x_0}\right) + 1 \right); \quad (5.112)$$

$$c_1 = \left(3 + \vartheta + \frac{\vartheta}{x_R}\right) \frac{x_R^2}{2} - \left(2 + \vartheta + \frac{\vartheta}{x_R}\right) x_R + (1 - 2x_R^2) \left(\left(1 + \vartheta + \frac{\vartheta}{x_R}\right) \ln\left(1 + \frac{1}{x_R}\right) + 1 \right); \quad (5.113)$$

Soluțiile sistemului de ecuații (5.107) sînt:

$$C_1 = \frac{b_0 c_1 - b_1 c_0}{a_0 b_1 - a_1 b_0} \frac{R^3 \cdot \lambda_r^3}{8D} p; \quad (5.114)$$

$$C_2 = \frac{a_1 c_0 - a_0 c_1}{a_0 b_1 - a_1 b_0} \frac{R^3 \cdot \lambda_r^3}{8D} p. \quad (5.115)$$

Din condiția (5.105) se obține:

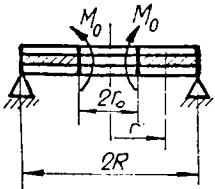
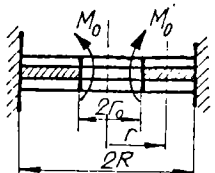
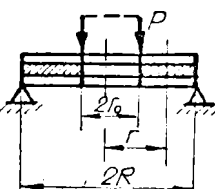
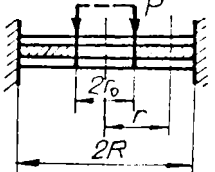
$$C_3 = - \frac{R^4 \lambda_r^4}{16D} p \left[\frac{b_0 c_1 - b_1 c_0}{a_0 b_1 - a_1 b_0} f_1(x_R) + \frac{a_1 c_0 - a_0 c_1}{a_0 b_1 - a_1 b_0} f_2(x_R) + f(x_R) \right], \quad (5.116)$$

unde

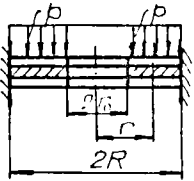
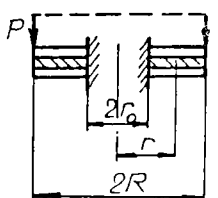
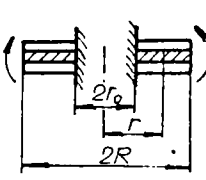
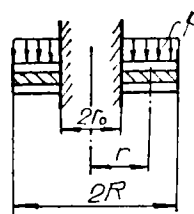
$$f_1(x) = x^2; \quad (5.117) \quad f_2(x) = x^2 \ln\left(1 + \frac{1}{x}\right) - \ln(1+x) - x; \quad (5.118)$$

$$f(x) = \frac{x^4}{4} - \frac{2x^3}{3} + (1 - 2x^2) \left[-\frac{x^2}{2} + x + (x^2 - 1) \ln(x + 1) \right]. \quad (5.119)$$

In aceste condiții, relația (5.102), devine:

Nr. crt.	Schema de încărcare a plăcii inelare	Expresia suprafeței mediane deformate în funcție de $x = r/R\lambda_r$
1		$T_r = 0 ;$ $w = \frac{M_0 (R\lambda_r)^2}{2(a_0 b_1 - a_1 b_0) D} \left[b_1 (f_1(x_R) - f_1(x)) + a_1 (f_2(x) - f_2(x_R)) \right]$ $a_0 = 1 + \nu + \frac{1}{x_0} ; \quad a_1 = 1 + \nu + \frac{1}{x_R} ;$ $b_0 = (1 + \nu + \frac{1}{x_0}) \ln(1 + \frac{1}{x_0}) - \frac{1}{1 + x_0} - \frac{\nu}{x_0} ;$ $b_1 = (1 + \nu + \frac{1}{x_R}) \ln(1 + \frac{1}{x_R}) - \frac{1}{1 + x_R} - \frac{\nu}{x_R} ;$ $f_1(x) = x^2 ; \quad f_2(x) = x^2 \ln(1 + \frac{1}{x}) - \ln(x+1) = x ;$ $x_0 = \frac{r_0}{R\lambda_r} ; \quad x_R = \frac{1}{\lambda_r} .$
2		$T_r = 0$ $w = \frac{M_0 (R\lambda_r)^2}{2(a_0 b_2 - a_2 b_0) D} \left[b_2 (f_1(x_R) - f_1(x)) + a_2 (f_2(x) - f_2(x_R)) \right]$ $a_2 = x_R ; \quad b_2 = x_R \ln(1 + \frac{1}{x_R}) - 1 ;$
3		$T_r = \frac{Pr_0}{r} = \frac{Px_0}{x}$ $w = \frac{R^3 \lambda_r^3}{4D} x_0 P \left[\frac{b_0 c_1 - b_1 c_0}{a_0 b_1 - a_1 b_0} (f_1(x) - f_2(x_R)) + \frac{a_1 c_0 - a_0 c_1}{a_0 b_1 - a_1 b_0} (f_2(x) - f_2(x_R)) + f_3(x) - f_0(x_R) \right]$ $c_0 = (1 + \nu + \frac{1}{x_0}) \ln(1 + x_0) + \frac{x_0}{1 + x_0} ;$ $c_1 = (1 + \nu + \frac{1}{x_R}) \ln(1 + x_R) + \frac{x_R}{1 + x_R} ;$ $f_3(x) = (x^2 - 1) \ln(x+1) - \frac{1}{2} x^2 + x$
4		$T_r = \frac{Pr_0}{r} = \frac{Px_0}{x}$ $w = \frac{R^3 \lambda_r^3}{4D} x_0 P \left[\frac{b_0 c_2 - b_2 c_0}{a_0 b_2 - a_2 b_0} (f_1(x) - f_1(x_R)) + \frac{a_2 c_0 - a_0 c_2}{a_0 b_2 - a_2 b_0} (f_2(x) - f_2(x_R)) + f_3(x) - f_3(x_R) \right]$ $c_2 = x_R \ln(1 + x_R) .$

Tabelul nr. 5.1^o

Nr.	Schema de încărcare a plăcii inelare	Expresia suprafeței mediane deformație în funcție de $\chi = r/R\lambda_r$
5		$T_r = \frac{Pr}{2} - \frac{pr_0^2}{er} = \frac{PR\lambda_r}{2} \left(\chi - \frac{x_0'}{x} \right);$ $w = \frac{R^4 \lambda_r^4}{16D} p \left[\frac{b_0 c_2' - c_0 b_2}{a_0 b_2 - a_2 b_0} (f_1(x) - f_1(x_R)) + \frac{a_0 c_0 - a_0' c_2'}{a_0 b_2 - a_2 b_0} (f_2(x) - f_2(x_R)) + f(x) - f(x_R) \right];$ $c_2' = \frac{1}{2} x_R^3 - x_R^2 + (1 - 2x_0^2) x_R \ln(1 + x_R)$
6		$w = \frac{R^3 \lambda_r^3}{4D} x_0 P \left[\frac{b_1 c_2' - c_1 b_2'}{a_1 b_2' - a_2' b_1} (f_1(x) - f_1(x_0)) + \frac{a_2' c_1 - a_1 c_2'}{a_1 b_2' - a_2' b_1} (f_2(x) - f_2(x_0)) + f_3(x) - f_3(x_0) \right];$ $a_2' = x_0; \quad b_2' = x_0 \ln\left(1 + \frac{1}{x_0}\right) - 1;$ $c_2' = x_0 \ln(1 + x_0).$
7		$T_r = 0$ $w = \frac{M_0 R^2 \lambda_r^2}{2D(a_2' b_1 - a_1 b_2')} \left[b_2' (f_1(x) - f_1(x_0)) + a_2' (f_2(x_0) - f_2(x)) \right];$
8		$w = \frac{R^4 \lambda_r^4}{16D} p \left[\frac{b_1 d_2' - d_1 b_2'}{a_1 b_2' - a_1' b_1} (f_1(x) - f_1(x_0)) + \frac{a_2' d_1 - a_1' d_2'}{a_1 b_2' - a_1' b_1} (f_2(x) - f_2(x_0)) + f(x) - f(x_0) \right];$ $d_1 = \left(3 + \nu + \frac{3}{x_R}\right) \frac{x_R^2}{2} - \left(2 + \nu + \frac{2}{x_R}\right) x_R + (1 - 2x_0^2) \left[\left(1 + \nu + \frac{1}{x_R}\right) \ln(1 + x_R) + 1 \right];$ $d_2' = \frac{1}{2} x_0^3 - x_0^2 + (1 - 2x_0^2) x_0 \ln(1 + x_0)$

$$w = \frac{R^4 \cdot \Delta^4}{16D} p \left[\frac{b_0 c_1 - b_1 c_0}{a_0 b_1 - a_1 b_0} (f_1(x) - f_1(x_R)) + \frac{a_1 c_0 - a_0 c_1}{a_0 b_1 - a_1 b_0} (f_2(x) - f_2(x_R)) + f(x) - f(x_R) \right]. \quad (5.120)$$

In figura 5.7 este prezentată diagrama deplasării transversale w pentru placa inelară cu 8 nervuri avînd $R = 125$ mm, $r_0 = 25$ mm, $h = 3$ mm, $H = 9$ mm, $t = 3$ mm. Incărcarea plăcii este cu o forță uniform distribuită de intensitate $p = 0,1$ MPa.

In tabelul 5.1 sînt prezentate formulele de calcul ale formei derormate ale suprafeței mediane pentru cîteva tipuri de plăci inelare. Pentru simplificarea relațiilor s-au introdus prescurtări unice ale căror expresii sînt specificate. Pe baza relațiilor din tabelul 5.1 se determină starea de tensiune pentru fiecare tip de placă cu relațiile (5.36) și (5.37).

5.2.2 Placa circulară cu nervuri radiale de secțiune variabilă

Calcululele vor fi efectuate pentru placa circulară cu nervuri de secțiune dreptunghiulară avînd:

- înălțime constantă și lățime variabilă;
- înălțime variabilă și lățime constantă.

5.2.2.1 Placa cu nervuri de înălțime variabilă

In figura 5.8 sînt prezentate două variante privind variația liniară a lățimii nervurii.

Legile de variație ale lățimii sînt date de relațiile:

$$t_r = t \left[\tau - \frac{r}{R} (\tau - 1) \right]; \quad (5.121) \quad t_r = r \frac{t}{R} = r \alpha, \quad (5.122)$$

unde

$$\tau = \frac{T}{t}; \quad (5.123) \quad \alpha = \frac{t}{R}. \quad (5.124)$$

Deoarece, aria secțiunii transversale

$$A_{rn} = A_{rno} \left[\tau - \frac{r}{R} (\tau - 1) \right]; \quad (5.125) \quad A_{rn} = A_{rno} \frac{r}{R}, \quad (5.126)$$

activ momentul de inerție axial

$$I_{\varphi n} = I_{\varphi no} \left[\tau - \frac{r}{R} (\tau - 1) \right]; \quad (5.127) \quad I_{\varphi n} = I_{\varphi no} \frac{r}{R}, \quad (5.128)$$

mărimile adimensionale (4.37) și (4.39) au forma:

- pentru cazul din figura 5.8, a

$$\alpha_r = \alpha_{ro} \left[\tau - \frac{r}{R} (\tau - 1) \right]; \quad (5.129) \quad \lambda_r = \lambda_{ro} \left[\tau - \frac{r}{R} (\tau - 1) \right] \quad (5.130)$$

- pentru cazul din figura 5.8, b

$$\alpha_r = \alpha_{ro} \frac{r}{R}; \quad (5.131) \quad \lambda_r = \lambda_{ro} \frac{r}{R}. \quad (5.132)$$

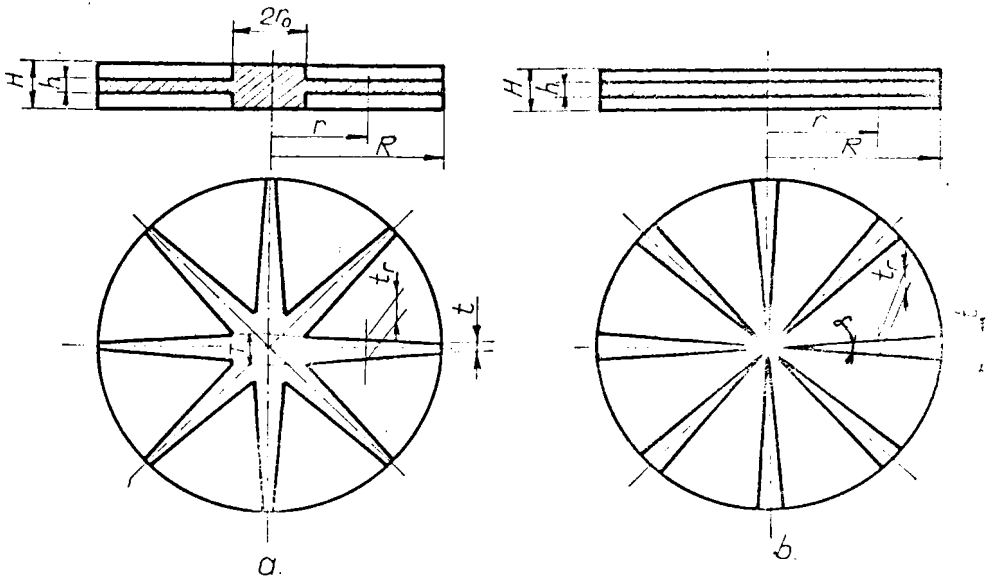


Fig.5.8

În relațiile (5.125) ÷ (5.128), A_{rno} reprezintă aria secțiunii transversale a nervurii în dreptul circumferinței exterioare a plăcii iar $I_{\varphi no}$ - momentul de inerție axial din dreptul circumferinței exterioare a plăcii în raport cu axa conținută în plan median.

Mărimile adimensionale α_{ro} și λ_{ro} sînt stabilite în dreptul conturului exterior al plăcii.

Sistemul de ecuații diferențiale care descrie deformarea plăcilor circulare cu nervuri radiale prezentat în figura 5.8, a se obține prin înlocuirea mărimilor adimensionale α_r și λ_r în ecuațiile (4.51), (4.52), (4.53) rezultînd:

$$\left[1 - \alpha_{ro}(\tau-1) + \alpha_{ro} \frac{R}{r} \right] \frac{\partial^2 u_o}{\partial r^2} + (1 + \alpha_{ro}(\tau-1)) \frac{1}{r} \frac{\partial u_o}{\partial r} + \frac{1-\nu}{2} \frac{1}{r^2} \frac{\partial^2 u_o}{\partial \varphi^2} - \frac{u_o}{r^2} - \frac{3-\nu}{2} \frac{1}{r^2} \frac{\partial v_o}{\partial \varphi} + \frac{1+\nu}{2} \frac{1}{r} \frac{\partial^2 v_o}{\partial r \partial \varphi} = - \frac{p_r}{B}, \quad (5.133)$$

ecuația diferențială (4.52) rămîne neschimbată și

$$\left[1 - \lambda_{ro}(\tau-1) + \lambda_{ro} \frac{R}{r} \right] \frac{\partial^4 w}{\partial r^4} + 2 \frac{1}{r^3} \frac{\partial^4 w}{\partial r^2 \partial \varphi^2} + \frac{1}{r^4} \frac{\partial^4 w}{\partial \varphi^4} - 2 \frac{1}{r^3} \frac{\partial^3 w}{\partial r \partial \varphi^2} + (1 - \lambda_{ro} \cdot (\tau-1)) \frac{1}{r} \frac{\partial^3 w}{\partial r^3} + 2 \frac{1}{r^4} \frac{\partial^2 w}{\partial \varphi^2} - \frac{1}{r^2} \frac{\partial^2 w}{\partial r^2} + \frac{1}{r^3} \frac{\partial w}{\partial r} = \frac{p_z}{D} \quad (5.134)$$

Relațiile (5.131) și (5.132) se introduc în ecuațiile (4.51), (4.52), (4.53) rezultînd sistemul de ecuații diferențiale care descrie deformarea plăcilor prezentate în figura 5.8, b avînd forma:

$$(1 + \alpha_{ro}) \left(\frac{\partial^2 u_o}{\partial r^2} + \frac{1}{r} \frac{u_o}{r} \right) + \frac{1-\nu}{2} \frac{1}{r^2} \frac{\partial^2 u_o}{\partial \varphi^2} - \frac{u_o}{r^2} - \frac{3-\nu}{2} \frac{1}{r^2} \frac{\partial v_o}{\partial \varphi} + \frac{1+\nu}{2} \frac{1}{r} \frac{\partial^2 v_o}{\partial r \partial \varphi} = - \frac{p_r}{B}, \quad (5.135)$$

$$(1 + \lambda_{ro}) \frac{\partial^4 w}{\partial r^4} + 2 \frac{1}{r^2} \frac{\partial^4 w}{\partial r^2 \partial \varphi^2} + \frac{1}{r^4} \frac{\partial^4 w}{\partial \varphi^4} - 2 \frac{1}{r^3} \frac{\partial^3 w}{\partial r \partial \varphi^2} + (1 + \lambda_{ro}) \frac{1}{r} \frac{\partial^3 w}{\partial r^3} + 4 \frac{1}{r^4} \frac{\partial^2 w}{\partial \varphi^2} - \frac{1}{r^2} \frac{\partial^2 w}{\partial r^2} + \frac{1}{r^3} \frac{\partial w}{\partial r} = \frac{p_z}{D}, \quad (5.136)$$

și ecuația (4.52).

La integrarea sistemelor de ecuații diferențiale, prezentate mai sus, se întîmpină numeroase dificultăți matematice.

De aceea se vor determina soluțiile acestor sisteme cînd plăcile sînt solicitate axial simetric. Integrarea ecuațiilor diferențiale care redau deformarea simetrică a plăcilor prezentate în figura 5.8, a nu se reduce la cuadraturi. În consecință, se vor obține soluții aproximative sub formă de serii. Această metodă va fi prezentată în paragraful următor.

Deformația plăcii prezentată în figura 5.8, b solicitată axial simetric este descrisă de ecuațiile diferențiale:

$$(1 + \alpha_{ro}^c) \frac{d^2 u_o}{dr^2} + (1 + \alpha_{ro}^c) \frac{1}{r} \frac{du_o}{dr} - \frac{1}{r^2} u_o = 0 \quad (5.137)$$

$$(1 + \lambda_{ro}) \frac{d^4 w}{dr^4} + 2(1 + \lambda_{ro}) \frac{1}{r} \frac{d^3 w}{dr^3} - \frac{1}{r^2} \frac{d^2 w}{dr^2} + \frac{1}{r^3} \frac{dw}{dr} = \frac{p}{D} \quad (5.138)$$

Ecuațiile diferențiale (5.137) și (5.138) sînt un caz particular al ecuațiilor (5.135) și (5.136) întrucît forța și săgeata nu depind de unghiul polar. Ecuațiile (5.137) și (5.138) pot fi rezolvate independent. În cazul cînd p const. ecuația diferențială (5.138) după o serie de transformări are forma:

$$(1 + \lambda_{ro}) r^2 \frac{d^3 w}{dr^3} + (1 + \lambda_{ro}) r \frac{d^2 w}{dr^2} - \frac{dw}{dr} = \frac{pr^3}{2D} + \frac{C_1 r}{D} \quad (5.139)$$

Ținînd cont de relația (5.28) ecuația diferențială va avea forma:

$$r^2 \frac{d^2 w}{dr^2} + r \frac{dw}{dr} - \frac{1}{1 + \lambda_{ro}} w = \frac{p r^3}{2(1 + \lambda_{ro}) D} + \frac{C_1 r}{(1 + \lambda_{ro}) D} \quad (5.140)$$

Pentru a găsi forma soluțiilor pentru ecuațiile (5.137) și (5.140) care sînt de tip Euler se face schimbarea de variabilă independentă

$$x = \ln r; \quad r = e^x; \quad \frac{dr}{dx} = e^x = r. \quad (5.141)$$

Introducînd relațiile (5.141) în ecuațiile diferențiale (5.137) și (5.140), rezultă

$$\frac{d^2 u_o}{dx^2} - \frac{1}{1 + \alpha_{ro}} u_o = 0; \quad (5.142)$$

$$\frac{d^2 w}{dx^2} - \frac{1}{1 + \lambda_{ro}} w = \frac{p}{2(1 + \lambda_{ro})D} e^{3x} + \frac{C_1}{(1 + \lambda_{ro})D} e^x, \quad (5.143)$$

ecuații diferențiale liniare cu coeficienți constanți care au soluții particulare de forma e^{rx} , xe^{rx} , unde r este o rădăcină a ecuației caracteristice.

Soluția ecuației diferențiale va fi:

$$u_0 = A_1 e^{-\beta x} + A_2 e^{+\beta x}, \quad (5.144)$$

unde

$$\beta = \sqrt{\frac{1}{1 + \lambda_{ro}}}. \quad (5.145)$$

Trecînd la variabila independentă r , relația (5.144) va avea forma:

$$u_0 = A_1 \cdot r^{-\beta} + A_2 \cdot r^{+\beta}, \quad (5.146)$$

unde A_1 și A_2 sînt constante ce se determină din condițiile de contur.

Ecuația diferențială liniară neomogenă (5.143) cu coeficienți constanți, după [178], are soluția generală egală cu suma soluției particulare și a soluției generale a ecuației diferențiale omogene. Soluția va fi de forma:

$$w = C_2 \cdot e^{\eta x} + C_3 \cdot e^{-\eta x} + \frac{p}{2(9\lambda_{ro} + 8)D} \cdot e^{3x} + \frac{C_1}{\lambda_{ro} D} \cdot e^x, \quad (5.147)$$

unde

$$\eta = \sqrt{\frac{1}{1 + \lambda_{ro}}}. \quad (5.148)$$

Relația (5.147), după trecerea la variabila independentă r , are forma:

$$w = \frac{C_1}{2\lambda_{ro} D} r^2 + \frac{C_2}{1 + \eta} r^{1+\eta} + \frac{C_3}{1 - \eta} r^{1-\eta} + \frac{p \cdot r^4}{8(9\lambda_{ro} + 8)D} + C_4, \quad (5.149)$$

unde C_1 , C_2 , C_3 și C_4 sînt constante de integrare.

În continuare se vor studia cîteva exemple de plăci avînd diametrul exterior de 400 mm întărite cu 10 nervuri cu secțiunea

variabilă avînd $t = 10$ mm și $H = 15$ mm.

1. Placa circulară cu nervuri radiale solicitată pe contur de forța $N_R = 200$ N/mm (fig.5.9)

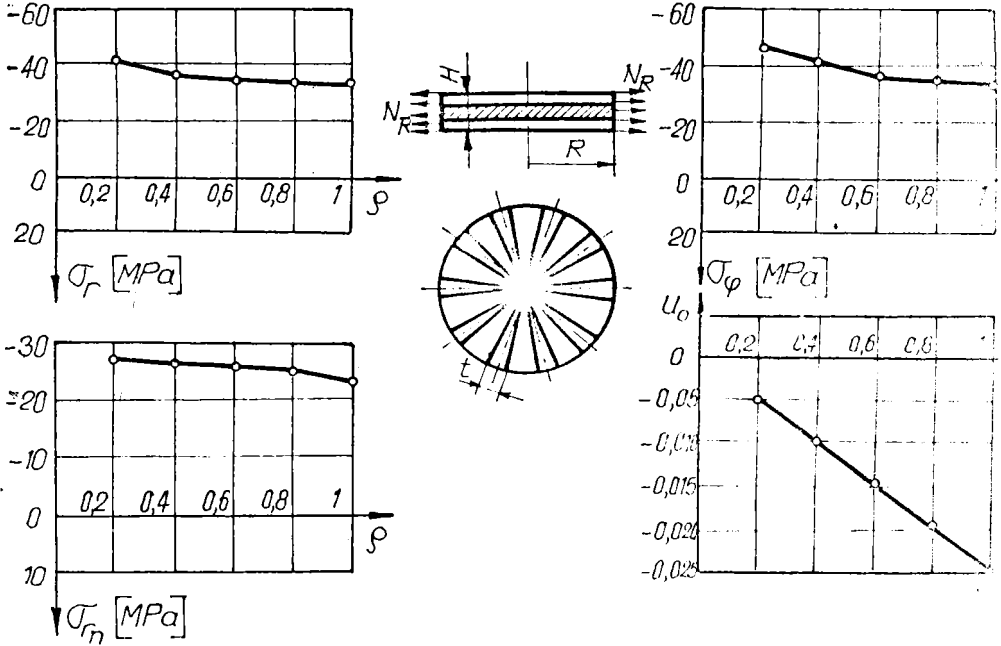


Fig.5.9

Deformația plăcii este descrisă de relația (5.146). Constantele de integrare se determină din condițiile:

$$\text{la } r = 0 \quad u_0 \text{ este o m\u0103rime finit\u0103, } u_0 = 0, \quad (5.150)$$

$$\text{la } r = R \quad N_r = -N_R. \quad (5.151)$$

Din prima condiție rezult\u0103 $A_1 = 0$ iar din a doua pe baza rela\u021biei (4.16) rezult\u0103:

$$A_2 = - \frac{N_R R^{1-\beta}}{[\beta(1 + \alpha_{r_0}) + \nu] B} \quad (5.152)$$

Expresiile pentru deplasarea radial\u0103 \u021i tensiunile normale de membran\u0103 s\u00ednt exprimate prin rela\u021biile:

$$u_0 = - \frac{N_R R}{[\beta(1 + \alpha_{r_0}) + \nu] B} \rho^\beta; \quad (5.153)$$

$$\sigma_r = - \frac{\beta + \nu}{\beta(1 + \alpha_{ro}) + \nu} \frac{N_R}{h} \rho^{\beta-1}; \quad (5.154)$$

$$\sigma_\varphi = - \frac{\nu\beta + 1}{\beta(1 + \alpha_{ro}) + \nu} \frac{N_R}{h} \rho^{\beta-1}. \quad (5.155)$$

Tensiunea normală în nervură este exprimată de relația:

$$\sigma_{rn} = - (1 - \nu^2) \frac{\beta}{\beta(1 + \alpha_{ro}) + \nu} \frac{N_R}{h} \rho^{\beta-1}. \quad (5.156)$$

În figura 5.9 sînt reprezentate grafic relațiile (5.153) (5.154), (5.155) și (5.156). Tensiunile normale din placă au valori apropiate. Diferențele dintre valorile maxime și minime ale tensiunilor normale sînt ne semnificative.

2. Placa circulară încastrată pe contur sollicitată normal de o forță uniform distribuită $p = 0,1 \text{ MPa}$.

Deplasarea transversală a plăcii este dată de relația:

$$w = \frac{C_2}{1 + \eta} r^{1+\eta} + \frac{p \cdot r^4}{8(9\lambda_{ro} + 8)D} + C_4, \quad (5.157)$$

Întrucît pentru a avea mărimi finite pe tot domeniul plăcii este necesar ca $C_1 = C_2 = 0$ [237]. Constantele de integrare C_3 și C_4 se determină din condițiile de legătură:

$$\text{la } r = R, \quad \frac{dw}{dr} = 0 \quad \text{și} \quad w = 0. \quad (5.158)$$

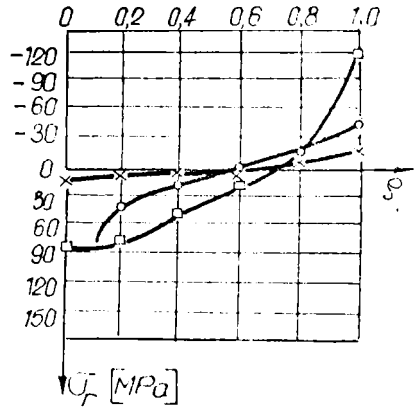
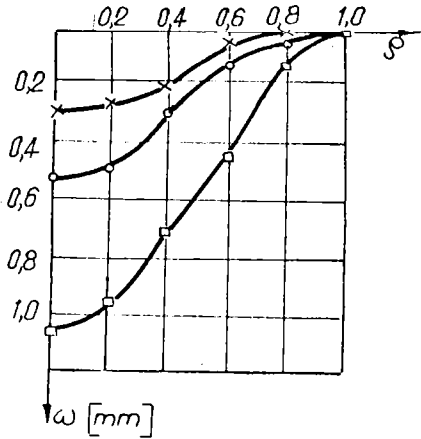
Soluția sistemului de ecuații ce rezultă din condițiile de contur (5.158) va fi:

$$C_2 = \frac{p R^{3-\eta}}{8(9\lambda_{ro} + 8)D}, \quad C_4 = \frac{p R^4}{8(9\lambda_{ro} + 8)D} \frac{3 - \eta}{1 + \eta}. \quad (5.159)$$

Constantele (5.159) se introduc în relația (5.157) rezultînd deplasarea transversală a plăcii. Această relație este folosită pentru determinarea stării de tensiune cu relațiile (5.36) și (5.37).

Starea de tensiune este dată de următoarele relații:

$$\sigma_{rn} = - \frac{p R^2}{4(9\lambda_{ro} + 8)D} EH [-\eta \rho^{-1} + 3 \cdot \rho^2]; \quad (5.16c)$$



—○— placă circulară cu nervuri de secțiune variabilă
 —×— placă circulară cu nervuri de secțiune constantă

—□— placa circulară fără nervuri

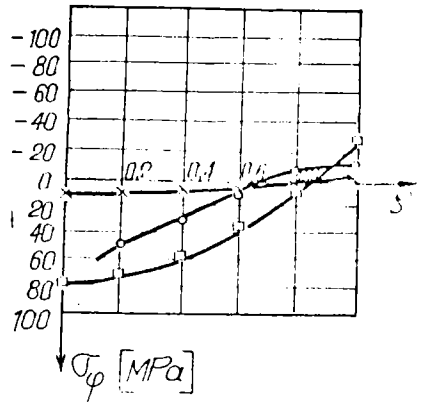
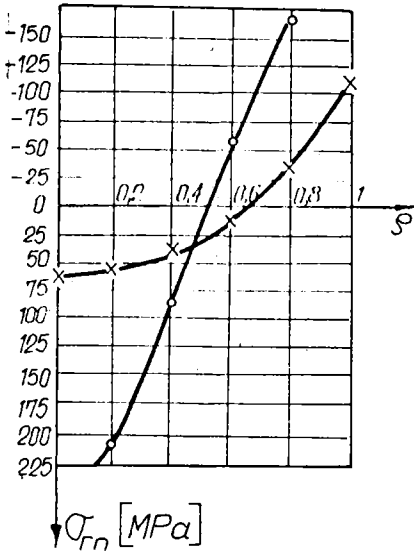


Fig. 5.10

$$\sigma_r = - \frac{3 \cdot p \cdot R^2}{(9 \cdot \lambda_{ro} + 8) \cdot h^2} \left[- (\eta + \nu) \rho^{\eta-1} + (3 + \nu) \rho^2 \right]; \quad (5.161)$$

$$\sigma_\rho = - \frac{3 \cdot p \cdot R^2}{(9 \cdot \lambda_{ro} + 8) \cdot h^2} \left[- (1 + \nu \eta) \rho^{\eta-1} + (1 + 3\nu) \rho^2 \right]. \quad (5.162)$$

În figura 5.10 sînt reprezentate grafic relațiile (5.160), (5.161) și (5.162) precum și deplasarea transversală

$$w = \frac{p R^4}{8(9\lambda_{ro} + 8)(1 + \eta)D} \left[-4 \rho^{\eta+1} + (1 + \eta) \rho^{4+3-\eta} \right]. \quad (5.163)$$

Placa are 10 nervuri și următoarele dimensiuni: $R=200$ mm, $h = 5$ mm, $H = 15$ mm, $t = 10$ mm. Pentru compararea rezultatelor s-a considerat o placă circulară de secțiune constantă cu $R = 200$ mm și grosimea $h = 5$ mm și placa cu nervuri de secțiune constantă. S-a urmărit ca cele două tipuri de plăci circulare cu nervuri radiale să aibă aceeași mărime adimensională λ_{ro} . Din reprezentarea grafică rezultă:

i) deplasarea transversală la placa circulară cu nervuri de secțiune variabilă este mai mare decît a plăcii cu nervuri de secțiune constantă dar și mai mică decît aceea a plăcii izotrope;

ii) tensiunile în nervuri sînt mai mult mai mari datorită micșorării secțiunii transversale în partea centrală.

3. Placa circulară cu nervuri radiale simplu rezemată pe contur încărcată cu o sarcină uniform distribuită.

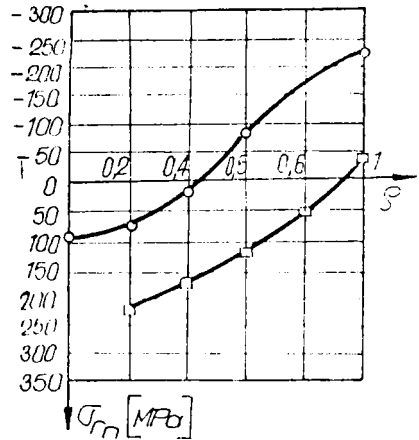
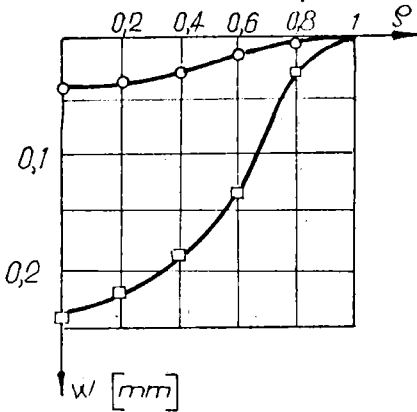
Deplasarea transversală a plăcii se determină cu expresia (5.157). Pentru determinarea constantelor de integrare se introduc condițiile (5.58) și (5.59). Sistemul de două ecuații obținut din cele două condiții de contur permite determinarea constantelor

$$C_2 = - \frac{p (3(1 + \lambda_{ro}) + \nu) R^{3-\eta}}{2D(9 \cdot \lambda_{ro} + 8) (\eta (1 + \lambda_{ro}) + \nu)}, \quad (5.164)$$

$$C_4 = \frac{p \cdot R^4}{2D(9\lambda_{ro} + 8)} \left[\frac{3(1 + \lambda_{ro})}{(1 + \eta)(\eta(1 + \lambda_{ro}) + \nu)} - \frac{1}{4} \right]. \quad (5.105)$$

Constantele de integrare se introduc în expresia deplasării transversale (5.157) rezultînd:

$$w = \frac{p R^4}{2D(9\lambda_{ro} + 8)} \left[\frac{3(1 + \lambda_{ro}) + \nu}{(1 + \eta)(\eta(1 + \lambda_{ro}) + \nu)} (1 - \rho^2)^{-1} + \frac{\rho^4 - 1}{4} \right]. \quad (5.106)$$



—○— placa cu nervuri de secțiune constantă —□— placa cu nervuri de secțiune variabilă

Fig. 5.11

Tensiunile normale vor fi stabilite cu relațiile (5.36) și (5.37) și au forma:

$$\sigma_r = - \frac{3 \cdot p \cdot R^2}{(9\lambda_{ro} + 8)h^2} \left[- \frac{3(1 + \lambda_{ro}) + \nu}{\eta(1 + \lambda_{ro}) + \nu} (\eta + \nu)\rho^2 + (3 + \nu)\rho^2 \right]; \quad (5.167)$$

$$\sigma_\varphi = - \frac{3 \cdot p \cdot R^2}{(9\lambda_{ro} + 8)h^2} \left[- \frac{3(1 + \lambda_{ro}) + \nu}{\eta(1 + \lambda_{ro}) + \nu} (1 + \nu)\rho^2 + (1 + 3\nu)\rho^2 \right]; \quad (5.168)$$

$$\sigma_{rn} = - \frac{p R^2}{4(9\lambda_{ro} + 8) D} EH \left[- \frac{3(1 + \lambda_{ro}) + \nu}{\eta(1 + \lambda_{ro}) + \nu} \eta \rho^2 + 3 \cdot \rho^2 \right]. \quad (5.169)$$

În figura 5.11 sînt reprezentate grafic relațiile (5.166) și (5.169) în raport cu mărimile corespunzătoare ale plăcii fără

nervuri de secțiune constantă. Deplasarea transversală a plăcii circulare cu nervuri de secțiune variabilă este mai mare decât a plăcii circulare cu nervuri de secțiune constantă.

5.2.2.2 Placa cu nervuri radiale cu înălțime variabilă

În figura.5.12 este reprezentată o placă circulară cu nervuri radiale de secțiune dreptunghiulară având lățimea constantă iar înălțimea variază după o lege liniară.

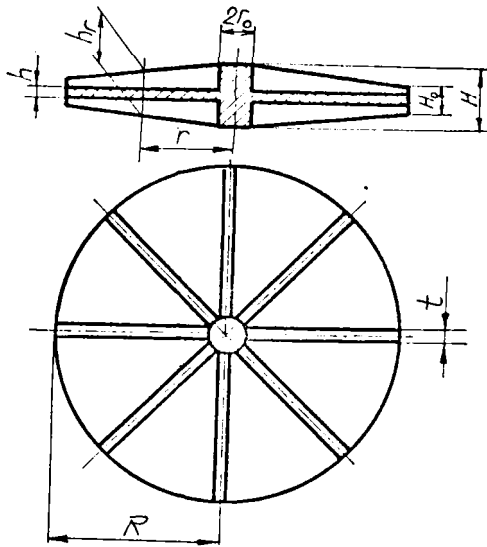


FIG.5.12

Variația înălțimii este dată de relația:

$$h_r = H - (H - H_0) \frac{r}{R}. \quad (5.170)$$

În aceste condiții aria secțiunii transversale, respectiv momentul de inerție al nervurii, vor fi exprimate cu relațiile:

$$A_{rn} = A_{rno} \left[\frac{f-1}{f_0-1} - \frac{f-f_0}{f_0-1} \frac{r}{R} \right], \quad I_{\varphi n} = I_{\varphi no} \left[\left(\frac{f}{f-f_0} - \frac{r}{R} \right)^3 - \frac{1}{(f-f_0)} \right] \quad (5.171)$$

Aria secțiunii transversale și momentul de inerție se înlocuiesc în relațiile (4.37) și (4.39) pentru determinarea mărimilor adimensionale α_r și λ_r . Relațiile de calcul vor fi:

$$\alpha_r = \alpha_{ro} \left(\frac{\delta - 1}{\delta_o - 1} - \frac{\delta - \delta_o}{\delta_o - 1} \frac{r}{R} \right); \quad (5.172)$$

$$\lambda_r = \lambda_{ro} \left[\left(\frac{\delta}{\delta - \delta_o} - \frac{r}{R} \right)^3 - \frac{1}{(\delta - \delta_o)^3} \right]. \quad (5.173)$$

unde

$$\delta = \frac{H}{h}; \quad (5.174) \quad \delta_o = \frac{H_o}{h}. \quad (5.175)$$

Mărimile adimensionale (5.172) și (5.173) se introduc în ecuațiile diferențiale (4.51), (4.52) și (4.53). Ecuația diferențială (4.52) rămâne nemodificată iar (4.51) și (4.53) devin:

$$\begin{aligned} & \left(1 - \alpha_{ro} \frac{\delta - \delta_o}{\delta_o - 1} + \alpha_{ro} \frac{\delta - 1}{\delta_o - 1} \frac{R}{r} \right) \frac{\partial^2 u_o}{\partial r^2} + \left(1 - \alpha_{ro} \frac{\delta - \delta_o}{\delta_o - 1} \right) \frac{1}{r} \frac{\partial u_o}{\partial r} + \\ & + \frac{1-\nu}{2} \frac{1}{r^2} \frac{\partial^2 u_o}{\partial \varphi^2} - \frac{u_o}{r^2} - \frac{3-\nu}{2} \frac{1}{r^2} \frac{\partial v_o}{\partial \varphi} + \frac{1+\nu}{2} \frac{1}{r} \frac{\partial^2 v_o}{\partial r \partial \varphi} = - \frac{p_r}{R}. \quad (5.176) \end{aligned}$$

$$\begin{aligned} & \left[1 + \lambda_{ro} \frac{R}{r} \left(\frac{\delta}{\delta - \delta_o} - \frac{r}{R} \right) - \frac{1}{(\delta - \delta_o)^3} \right] \frac{\partial^4 w}{\partial r^4} + 2 \frac{1}{r^2} \frac{\partial^4 w}{\partial r^2 \partial \varphi^2} + \frac{1}{r^4} \frac{\partial^4 w}{\partial \varphi^4} + \\ & + 2 \left[1 - 3 \lambda_{ro} \left(\frac{\delta}{\delta - \delta_o} - \frac{r}{R} \right) \right] \frac{1}{r} \frac{\partial^3 w}{\partial r^3} - 2 \frac{1}{r^3} \frac{\partial^3 w}{\partial r \partial \varphi^2} - \\ & - \left[1 - 6 \frac{r}{R} \left(\frac{\delta}{\delta - \delta_o} - \frac{r}{R} \right) \lambda_{ro} \right] \frac{1}{r^4} \frac{\partial^2 w}{\partial \varphi^2} + 4 \frac{1}{r^4} \frac{\partial^2 w}{\partial \varphi^2} + \frac{1}{r^3} \frac{\partial w}{\partial r} = \frac{p}{D}. \quad (5.177) \end{aligned}$$

Integrarea sistemului de ecuații diferențiale format din (4.52), (5.176) și (5.77) este dificilă. O soluție aproximativă, sub forma unei serii, se obține în cazul când placa este încărcată cu forță axial simetrică.

5.3 Analiza stărilor de deformare și de tensiune cu metode aproximate

Metodele aproximative folosite la stabilirea stărilor de deformare și de tensiune la plăcile circulare cu nervuri radiale sînt grupate în următoarele metode:

- integrarea ecuațiilor diferențiale cu ajutorul seriilor;
- metode variaționale;
- metoda elementului finit.

5.3.1 Integrarea ecuațiilor diferențiale cu ajutorul seriilor

După cum s-a constatat sistemul de ecuații diferențiale care descrie deformarea plăcilor circulare cu nervuri de secțiune variabilă nu poate fi integrat. Deformația plăcii din figura 5.8, a în cazul încălzirii cu o forță uniform distribuită normală pe planul median este descrisă de ecuația

$$\begin{aligned} (1 - \lambda_{ro}(\tau - 1) + \lambda_{ro} \frac{R}{r}) \frac{d^4 w}{dr^4} + 2(1 - \lambda_{ro}(\tau - 1)) \frac{1}{r} \frac{d^3 w}{dr^3} - \\ - \frac{1}{r^2} \frac{d^2 w}{dr^2} + \frac{1}{r^3} \frac{dw}{dr} = \frac{p}{D} \end{aligned} \quad (5.178)$$

Ecuația diferențială (5.178), printr-o serie de transformări, este pusă sub forma:

$$(r^2 + ar) \frac{d^3 w}{dr^3} + r \frac{d^2 w}{dr^2} - \frac{D}{A} \frac{dw}{dr} = \frac{pr^3}{2A} + \frac{C_1 r}{A}, \quad (5.179)$$

unde

$$d = 1 - \lambda_{ro}(\tau - 1); \quad e = \lambda_{ro} R; \quad A = dD; \quad a = e/d. \quad (5.180)$$

Ordinul ecuației diferențiale (5.179) se reduce prin introducerea notației (5.28). În acest caz rezultă:

$$x(x + a) \frac{d^2 w}{dx^2} + x \frac{dw}{dx} - \frac{D}{A} w = \frac{R^3 \lambda_{ro}^3}{2A} p \cdot x^3 + C_1 R \lambda_{ro} x. \quad (5.181)$$

Soluția generală a ecuației diferențiale (5.181) de ordinul doi, neomogenă este egală cu suma dintre soluția particulară W_p și soluția generală W_g a ecuației diferențiale omogene:

$$x(x+a) \frac{d^2 W}{dx^2} + x \frac{dW}{dx} - \delta \cdot W = 0, \quad (5.182)$$

unde

$$\delta = \frac{D}{A}. \quad (5.183)$$

Soluția generală a ecuației diferențiale (5.182) se ia sub forma unei serii

$$W_g = \sum_{k=0}^{\infty} C_k x^k = C_0 + C_1 x + \dots + C_k x^k + \dots \quad (5.184)$$

Se introduce relația (5.184) în ecuația (5.182) și după identificarea coeficienților prezentată în anexa 4 rezultă

$$W_g = C_1 \left(x + \sum_{k=1}^{\infty} (-1)^{k-1} \frac{((k-1)^2 - \delta) \dots (2^2 - \delta)(1 - \delta)}{a^{k-1} \cdot k \cdot ((k-1)!)^2} x^k \right). \quad (5.185)$$

Seria (5.185) este convergentă după criteriul lui d'Alembert întrucît $|x| < 1$ ceea ce rezultă atunci cînd $\Lambda_{ro} > 1$.

Soluția particulară a ecuației diferențiale (5.181) se adevătează de forma:

$$W_p = B_0 + B_1 x + B_2 x^2 + B_3 x^3. \quad (5.186)$$

Relația (5.186) se introduce în ecuația (5.181) și după identificarea coeficienților se obține:

$$W_p = \left(\frac{C_1 R \Lambda_{ro}}{(1-b) A} + \frac{12 \cdot a^2}{(1-\delta)(4-\delta)(9-\delta)} \frac{R^3 \Lambda_{ro}^3}{2A} \right) p x - \frac{6 \cdot a}{(9-\delta)(4-\delta)} \frac{R^3 \Lambda_{ro}^3}{2A} p x^2 + \frac{1}{9-\delta} \frac{R^3 \Lambda_{ro}^3}{2 \cdot A} p \cdot x^3. \quad (5.187)$$

Tinind cont de relația $\frac{1}{R\lambda_{ro}} \frac{dw}{dx} = W$ soluția ecuației diferențiale (5.181) va avea forma:

$$w = R\lambda_{ro} C_1 \left(\frac{x^2}{2} + \sum_{k=2}^{\infty} (-1)^{k-1} \frac{((k-1)^2 - \delta) \dots (2^2 - \delta)(1 - \delta)}{a^{k-1} k ((k-1)!)^2} \frac{x^{k+1}}{k+1} \right) +$$

$$+ \frac{1}{9-\delta} K p x^4 - \frac{2 \cdot a}{(9-\delta)(4-\delta)} K p x^3 + \frac{6 \cdot a^2}{(9-\delta)(4-\delta)(1-\delta)} K p x^2 +$$

$$+ \frac{C_1' R^2 \lambda_{ro}^2}{2(1-\delta) A} x^2 + C_3, \quad (5.188)$$

unde

$$K = \frac{R^4 \cdot \lambda_{ro}^4}{2 \cdot A} \quad (5.189)$$

În figura 5.13 este reprezentată grafic deplasarea transversală pentru placa circulară cu nervuri de secțiune variabilă încastrată pe contur solicitată axial simetric de către sarcină uniform distribuită. În acest caz $C_1' = 0$ iar celelalte constante se determină cu ajutorul condițiilor (5.46). Placa este solicitată de forța $p = 0,1$ MPa iar dimensiunile ei sînt: $t = 10$ mm,

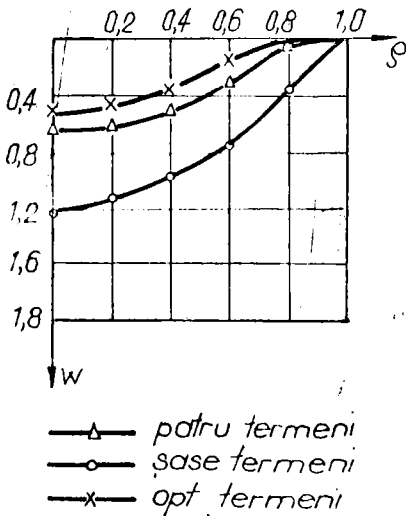


Fig. 5.13

$T = 15$ mm, $R = 200$ mm, $h = 5$ mm. Pentru reprezentarea grafică a deplasării s-a considerat 4, 6, 8 termeni ai seriei. S-a constatat că diferențele între valorile seriilor care au 6 și 8 termeni sînt mici și nu depășesc 3,2%. Rezultă că admitînd 8 termeni ai seriei se obțin rezultate satisfăcătoare. Starea de tensiuni poate fi obținută cu relațiile (5.36) și (5.37).

În același mod se poate rezolva ecuația diferențială care descrie deformarea plăcii cu nervuri de înălțime variabilă.

5.3.2 Metode variaționale

În lucrările [27], [181], [226], [236] sînt tratate metodele variaționale pentru soluționarea aproximativă a stărilor de deformație și de tensiune pentru plăci. În acest sens este menționată metoda Rayleigh - Ritz, metoda Bubnov - Galerkin etc.

În acest paragraf sînt determinate stările de deformație și de tensiune la plăcile circulare cu nervuri cu ajutorul metodelor variaționale.

5.3.2.1 Metoda Rayleigh - Ritz

Pentru rezolvarea ecuațiilor diferențiale care descriu deformarea plăcilor circulare cu nervuri solicitate axial și simetric, metoda Rayleigh - Ritz admite că deplasările sînt approximate de relațiile:

$$u_0 = \sum_{k=1}^m b_j u_j ; \quad (5.190) \quad w = \sum_{k=1}^m a_j w_j , \quad (5.191)$$

unde u_j , w_j sînt funcții care satisfac condițiile de centur iar parametrii a_j și b_j sînt mărimi necunoscute. Relațiile (5.190) și (5.191) se introduc în expresia energiei potențiale totale (4.61). Parametrii necunoscuți se determină din condiția de minim a energiei potențiale totale

$$\frac{\partial \Pi}{\partial a_j} = 0, \quad \frac{\partial \Pi}{\partial b_j} = 0 \quad \text{unde } j = 1, \dots, m. \quad (5.192)$$

Ecuațiile (5.192) formează un sistem de ecuații cu 2 m necunoscute. Rezolvarea sistemului de ecuații (5.192) dă posibilitatea să se determine toate constantele care se introduc în expresiile (5.190) și (5.191).

În cazul încărcării axial simetrice componentele de deplasării nu depind de unghiul polar iar energia potențială totală va fi dată de expresia

$$\Pi = \pi \int \left\{ rB \left(\frac{du_0}{dr} + \frac{u_0}{r} \right)^2 - 2(1-\nu) rB \frac{du_0}{dr} \frac{u_0}{r} + rD \left(\frac{d^2 w}{dr^2} + \frac{1}{r} \frac{dw}{dr} \right)^2 - \right.$$

$$-2(1-\nu) \left\{ \frac{d^2 w}{dr^2} \frac{dw}{dr} + \frac{E_{rn} A_{rn} n_r}{2\bar{n}} \left(\frac{du_o}{dr} \right)^2 + \frac{E_{rn} I_{pn} n_r}{2\bar{n}} \left(\frac{d^2 w}{dr^2} \right)^2 - \right. \\ \left. - 2 \cdot r \cdot p_r \cdot u_o - 2 \cdot r \cdot p_z \cdot w \right\} dr. \quad (5.193)$$

In relația (5.193) se introduc expresiile (5.190) și (5.191) rezultînd:

$$\Pi = \int \left\{ rB \left(\sum_{j=1}^m b_j u_j' \right)^2 + \frac{B}{r} \left(\sum_{j=1}^m b_j u_j \right)^2 + 2 \nu B \left(\sum_{j=1}^m b_j u_j \right) \left(\sum_{j=1}^m b_j u_j' \right) + \right. \\ \left. + rD \left(\sum_{j=1}^m a_j w_j' \right)^2 + \frac{B}{r} \left(\sum_{j=1}^m a_j w_j \right)^2 + 2 \nu D \left(\sum_{j=1}^m a_j w_j \right) \left(\sum_{j=1}^m a_j w_j' \right) + \right. \\ \left. + \frac{E_{rn} A_{rn} n_r}{2\bar{n}} \left(\sum_{j=1}^m b_j u_j' \right)^2 + \frac{E_{rn} I_{pn} n_r}{2\bar{n}} \left(\sum_{j=1}^m a_j w_j' \right)^2 - \right. \\ \left. - 2 \cdot r \cdot p_r \left(\sum_{j=1}^m b_j u_j \right) - 2 \cdot r \cdot p_z \left(\sum_{j=1}^m a_j w_j \right) \right\} dr, \quad (5.194)$$

unde

$$u_j' = \frac{du_j}{dr}; \quad (5.195) \quad w_j' = \frac{dw_j}{dr}; \quad w_j'' = \frac{d^2 w_j}{dr^2}. \quad (5.196)$$

Expresia (5.194) permite scrierea sistemului (5.192) sub forma:

$$\frac{\partial \Pi}{\partial a_i} = 2\bar{n} \int \left\{ \left[rD w_j' w_j'' + \frac{D}{r} w_j' w_j' + \nu (w_j' w_i'' + w_i' w_j'') + \right. \right. \\ \left. \left. + \frac{E_{rn} I_{pn} n_r}{2\bar{n}} w_j' w_i'' \right] \cdot a_j - 2 p_z w_i \right\} dr; \quad (5.197)$$

$$\frac{\partial \Pi}{\partial b_i} = 2\bar{n} \int \left\{ \left[rB u_j' u_i' + \frac{B}{r} u_j u_i + \nu B (u_j u_i' + u_i u_j') + \right. \right. \\ \left. \left. + \frac{E_{rn} A_{rn} n_r}{2\bar{n}} u_j u_i' \right] b_j - r \cdot p_r u_i \right\} dr. \quad (5.198)$$

Relațiile (5.197) și (5.198) se pot scrie sub formă matricială:

$$\begin{bmatrix} [A] & 0 \\ 0 & [B] \end{bmatrix} \begin{Bmatrix} \{a\} \\ \{b\} \end{Bmatrix} = \begin{Bmatrix} \{F_1\} \\ \{F_2\} \end{Bmatrix} \quad (5.199)$$

unde

$$A^{ij} = \int_{(Q)} \left[r D w_j' w_i' + \frac{D}{r} w_j' w_i' + \partial D (w_j' w_i' + w_i' w_j') + \frac{E_{rn} I_{rn} n_r}{2\bar{\kappa}} w_i' w_j' \right] dr \quad (5.200)$$

$$B^{ij} = \int_{(Q)} \left[r B u_j u_i' + \frac{B}{r} u_j u_i + \partial B (u_j u_i' + u_i' u_j) + \frac{E_{rn} A_{rn} n_r}{2\bar{\kappa}} u_j u_i' \right] dr \quad (5.201)$$

$$F_1^i = \int_{(Q)} r \cdot p_z w_i dr; \quad (5.202) \quad F_2^i = \int_{(Q)} r \cdot p_r \cdot u_i dr; \quad (5.203)$$

$$\{a\} = \{a_1 \quad a_2 \quad \dots \quad a_m\}^T; \quad (5.204)$$

$$\{b\} = \{b_1 \quad b_2 \quad \dots \quad b_m\}^T. \quad (5.205)$$

Punerea sub forma matricială a sistemului de ecuații (5.192) permite folosirea calculatorului electronic la determinarea constantelor și posibilitatea considerării seriilor (5.190) și (5.191) cu mai mulți termeni. Totodată, cu metoda lui Simpson pot fi calculați toți termenii sistemului de ecuații (5.199).

Aplicație. Se consideră o placă de rază R cu n_r nervuri radiale încastrată, pe contur încărcată cu o sarcină normală uniform distribuită de intensitate p . Să se stabilească stările de deformație și de tensiune ale plăcii când nervurile au secțiunea constantă sau variabilă.

Se admite forma deformată a suprafeței mediane:

$$w = a_1 \left(1 - \frac{r^2}{R^2}\right)^2 + a_2 \left(1 - \frac{r^4}{R^4}\right)^4 + \dots \quad (5.206)$$

Sistemul de ecuații (5.199), pentru aplicația dată, are forma:

$$[A] \{a\} = \{F_1\}, \quad (5.207)$$

unde termenii matricei $[A]$ se determină cu relația (5.200) iar a matricei coloană $\{F_1\}$ cu relația (5.202). În relația (5.206) ne limităm la primul termen (aproximarea care rezultă este corespunzătoare) și ținând cont de forma secțiunii nervurii se obține termenul A^{11} al matricei $[A]$ care are forma:

a) pentru nervuri cu secțiunea transversală constantă

$$A^{11} = \frac{32(5 + 6 \cdot \lambda_{ro}) D}{15 R^2} ; \quad (5.208)$$

b) pentru nervuri cu secțiune variabilă:

i) lățime variabilă (fig.5.8,a)

$$A^{11} = \frac{8(20 + 3 \lambda_{ro} (3\tau + 5)) D}{15 R^2} ; \quad (5.209)$$

ii) înălțime variabilă (fig.5.8,b)

$$A^{11} = \frac{(32 + 24 \cdot \lambda_{ro}) D}{3 R^2} ; \quad (5.210)$$

iii) înălțime variabilă

$$A^{11} = \frac{16 [2 + 3 \cdot \lambda_{ro} (0,8(k^3 - l^3) - 3k^2 + 1,25k - 0,375)] D}{3 \cdot R^2} ; \quad (5.211)$$

unde

$$k = \frac{\delta}{\delta - \delta_0} ; \quad (5.212) \quad l = \frac{1}{\delta - \delta_0} . \quad (5.213)$$

În toate cazurile:

$$F_1 = \int_{(R)} r p \left(1 - \frac{r^2}{R^2}\right) dr = \frac{p \cdot R^2}{6} . \quad (5.214)$$

Cu ajutorul sistemului de ecuații (5.207) se obține mărimea constantei a_1 . Odată cunoscută mărimea constantei a_1 se poate determina stările de deformație și de tensiune după cum urmează:

a) placa cu nervuri de secțiune constantă

$$w = \frac{5 \cdot p \cdot R^4}{64(5 + 6 \cdot \lambda_{ro})D} (1 - \rho^2)^2, \quad (5.215)$$

$$G_r = \frac{15 \cdot p \cdot R^2}{8(5 + 6 \cdot \lambda_{ro})h^2} [(1 + \nu) - (3 + \nu) \rho^2], \quad (5.216)$$

$$G_\varphi = \frac{15 p R^2}{8(5 + 6 \cdot \lambda_{ro})h^2} [(1 + \nu) - (1 + 3\nu)\rho^2], \quad (5.217)$$

$$G_{rn} = \frac{15(1 - \nu^2)HR^2}{8(5 + 6 \cdot \lambda_{ro})h^3} (1 - 3\rho^2), \quad (5.218)$$

unde

$$\rho = \frac{r}{R}. \quad (5.219)$$

b) placa cu nervuri radiale de secțiune variabilă

i) lățime variabilă (fig.5.8,a)

$$w = \frac{5 p R^4}{16(20 + 3 \cdot \lambda_{ro} (3\tau + 5))D} (1 - \rho^2)^2, \quad (5.220)$$

$$G_r = \frac{15 p R^2}{2(20 + 3 \lambda_{ro} (3\tau + 5))h^2} [1 + \nu - (3 + \nu)\rho^2], \quad (5.221)$$

$$G_\varphi = \frac{15 p R^2}{2(20 + 3 \lambda_{ro} (3\tau + 5))h^2} [1 + \nu - (1 + 3\nu)\rho^2], \quad (5.222)$$

$$G_{rn} = \frac{15(1 - \nu^2)pR^2H}{2(20 + 3 \lambda_{ro} (3\tau + 5)) h^3} (1 - 3 \cdot \rho^2). \quad (5.223)$$

ii) lățime variabilă (fig.5.8,b)

$$w = \frac{p R^4}{16(4 + 3 \cdot \lambda_{ro})D} (1 - \rho^2)^2, \quad (5.224)$$

$$G_r = \frac{3 p R^2}{2(4 + 3 \cdot \lambda_{ro})h^2} [1 + \nu - (3 + \nu) \rho^2], \quad (5.225)$$

$$\sigma_{\varphi} = \frac{3 \cdot p \cdot R^2}{2(4 + 3 \cdot \lambda_{r0})h^2} [1 + \nu - (1 + 3\nu)\rho^2], \quad (5.226)$$

$$\sigma_{rn} = \frac{3(1 - \nu^2)pR^2H}{2(4 + 3 \lambda_{r0})h^3} (1 - 3\rho^2). \quad (5.227)$$

iii) înălțime variabilă

$$\nu = \frac{p R^4}{32(2+3\lambda_{r0}(0,8(k^3-\rho^3)-3k^2+1,25k-0,375))D} (1-\rho^2)^2; \quad (5.228)$$

$$\sigma_r = \frac{3 p R^2}{4(2+3\lambda_{r0}(0,8(k^3-\rho^3)-3k^2+1,25k-0,375))h^2} [1+\nu - (3+\nu)\rho^2]; \quad (5.229)$$

$$\sigma_{\varphi} = \frac{3 p R^2}{4(2+3\lambda_{r0}(0,8(k^3-\rho^3)-3k^2+1,25k-0,375))h^2} [1+\nu - (1+3\nu)\rho^2]; \quad (5.230)$$

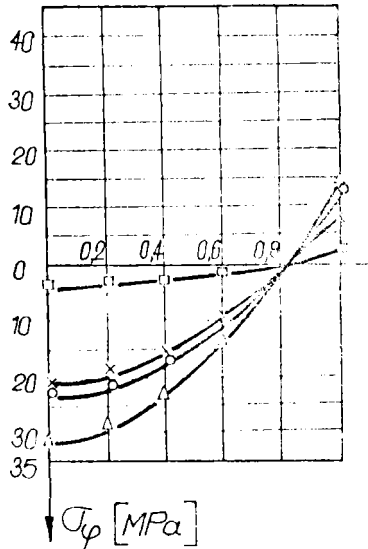
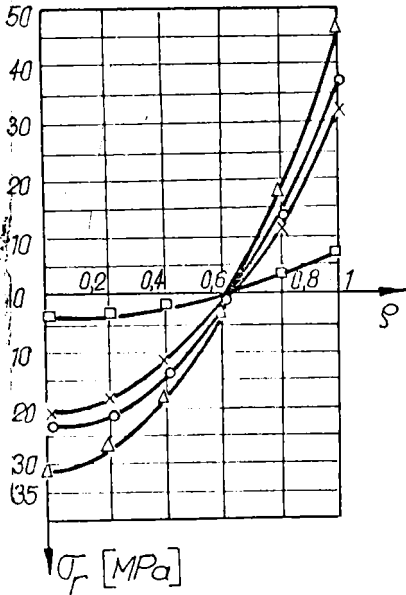
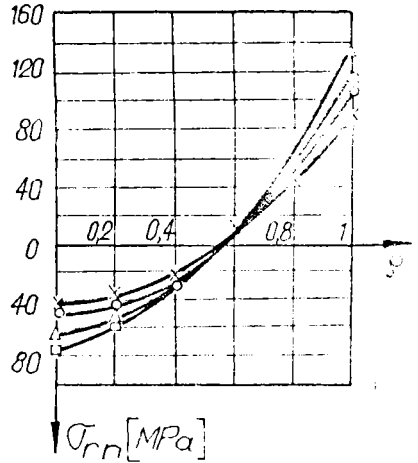
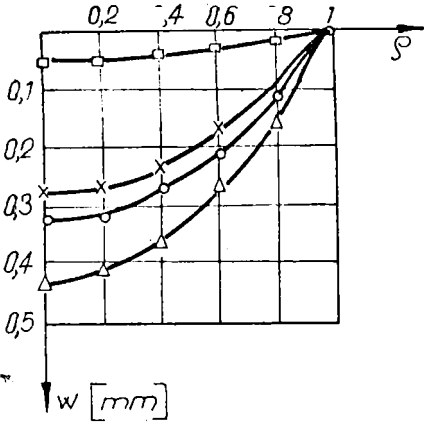
$$\sigma_{rn} = \frac{3(1 - \nu^2) \cdot p \cdot R^2 H}{4(2+3\lambda_{r0}(0,8(k^3-\rho^3)-3k^2+1,25k-0,375))h^3} [\delta - (\delta - \delta_0)\rho] (1-3\rho^2); \quad (5.231)$$

În figura 5.14 sînt reprezentate grafic relațiile (5.215) la (5.231) pentru plăci circulare de rază $R = 200$ mm, $h = 5$ mm cu 10 nervuri radiale solicitate de forța uniform distribuită $p = 0,1$ MPa,

- a) lățime $t = 10$ mm, $H = 15$ mm;
- b) i) $t = 10$ mm, $T = 15$ mm, $H = 15$ mm;
- ii) $t = 10$ mm, $T = 0$, $H = 15$ mm;
- iii) $t = 10$ mm, $H_0 = 15$ mm, $H = 20$ mm.

La alegerea datelor numerice s-a urmărit ca plăcile să aibe aceeași mărime adimensională λ_{r0} , în dreptul conturului exterior. Reprezentarea grafică a deplasărilor și tensiunilor s-a făcută pe aceeași diagramă în vederea stabilirii variantelelor convenabile privind forma secțiunii transversale a nervurii. În urma analizării diagramelor se constată că deplasările transversale sînt mai mici la placa cu nervuri de înălțime variabilă în timp ce la plăcile cu nervuri de lățime variabilă (fig.5.8,b) au valori mai mari datorită micșorării rigidității

de încovoiere a nervurilor spre partea centrală. Placa cu nervuri de lățime variabilă (lățimea se micșorează în lungul axei de la centrul plăcii spre conturul exterior, fig.5.8,a)



—○— nervura de secțiune constantă
 —x— nervura cu lățime variabilă (fig. 5.8,a)

—△— nervură de lățime variabilă (fig. 5.8,b)
 —□— nervura de înălțime variabilă

Fig.5.14

are deplasarea transversală mai mică decât placa cu nervuri de secțiune constantă. În cazul tensiunilor normale σ_r și σ_φ cele mai mari valori sînt la placa cu nervuri de secțiune variabilă din figura 5.8, b iar valorile cele mai mici la placa cu nervuri de înălțime variabilă. Tensiunile din nervură au valorile cele mai mari la placa cu nervuri de înălțime variabilă și cele mai mici valori la placa cu nervuri de lățime variabilă (fig.5.8, a).

În figurile 5.15 și 5.16 se prezintă deplasarea transversală a plăcilor cu nervuri în funcție de mărimea secțiunii nervurilor în sistemul de referință $w_0 \lambda_r$, respectiv în spațiu.

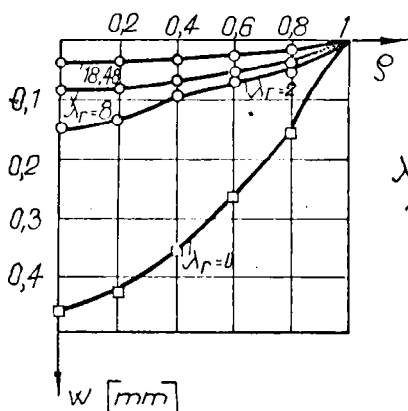


Fig.5.15

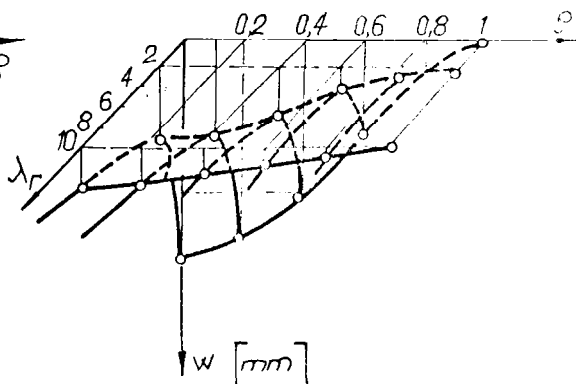


Fig.5.16

Se constată, din diagrame, o micșorare a deplasării transversale a plăcii odată cu creșterea mărimii secțiunii nervurii adică a rigidității plăcii caracterizată de mărimea adimensională λ_r . În figura 5.17 sînt reprezentate tensiunile normale din placă în funcție de mărimea adimensională λ_r .

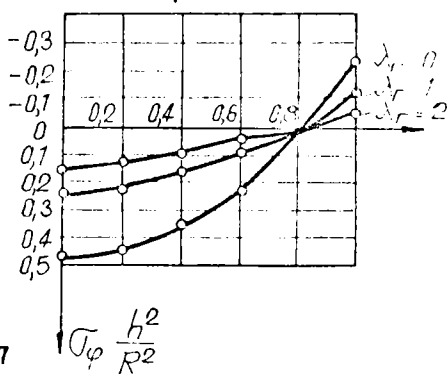
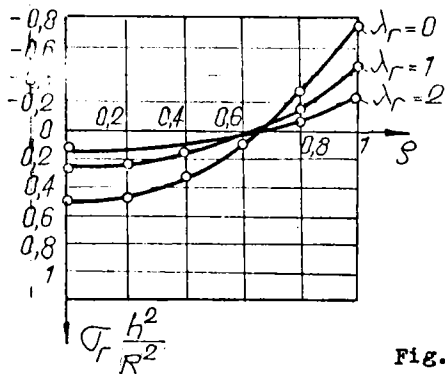


Fig.5.17

Valorile tensiunilor normale în placă se micșorează dacă are loc o creștere a mărimii secțiunilor transversale ale nervurilor, adică mărirea momentului de inerție axial.

5.3.2.2 Metoda Bubnov - Galerkin

Metoda Bubnov - Galerkin este privită ca o aproximare a principiului deplasării virtuale utilizat la soluționarea unor probleme de mecanică. Pentru rezolvarea ecuației diferențiale (5.6), metoda Bubnov - Galerkin adoptă expresia (5.191) pentru săgeata plăcii unde w_j ($j = \overline{1, m}$) sînt funcții care îndeplinesc toate condițiile de contur și reflectă forma deformată a suprafeței mediane deformată iar a_j sînt constante.

În ecuația diferențială (5.6) se introduce relația (5.191) rezultînd:

$$\sum_{j=1}^m \left\{ \left[D \left(1 + \frac{R}{r} \lambda_r \right) \frac{d^4 w_j}{dr^4} + 2D \frac{1}{r} \frac{d^3 w_j}{dr^3} - D \frac{1}{r^2} \frac{d^2 w_j}{dr^2} + D \frac{1}{r^3} \frac{dw_j}{dr} \right] a_j - p \right\} = 0 \quad (5.232)$$

Coefficienții a_j ($j = \overline{1, m}$) se determină din condiția ca termenii ecuației (5.232), în intervalul $[0, R]$, să fie ortogonali cu funcțiile w_j . În aceste condiții rezultă un sistem de ecuații liniar

$$\int_0^R \sum_{j=1}^m \left\{ \left[D \left(1 + \frac{R}{r} \lambda_r \right) \frac{d^4 w_j}{dr^4} + 2D \frac{1}{r} \frac{d^3 w_j}{dr^3} - D \frac{1}{r^2} \frac{d^2 w_j}{dr^2} + D \frac{1}{r^3} \frac{dw_j}{dr} \right] a_j \right\} w_i r dr = \int_0^R r p w_i dr, \quad (i = \overline{1, m}). \quad (5.233)$$

După efectuarea integralelor pe toată suprafața plăcii se obține un sistem de ecuații a căror necunoscute sînt constantele a_j ($j = \overline{1, m}$).

În continuare se vor rezolva cîteva exemple.

1. Placa circulară cu nervuri încastrată pe contur solicitată normal de o forță uniform distribuită.

Dacă se admite forma deformată a plăcii dată de relația (5.206) considerînd numai primul termen al seriei și notația $\rho = r/R$ prin introducerea în sistemul de ecuații (5.233) se obține:

$$\int_0^1 \left[\left(64 + 24 \frac{\lambda_r}{\rho} \right) a_1 - \frac{pR^4}{D} (1 - \rho^2)^2 \right] \rho d\rho = 0. \quad (5.234)$$

După efectuarea calculului și introducerea constantei a_1 în relația (5.206) se obține expresia săgețiiilor (5.215), de - terminată cu metoda Rayleigh - Ritz.

2. Placa circulară cu nervuri radiale simplu rezemată pe contur încărcată cu o rotă uniform distribuită.

Se admite forma deformată a plăcii dată de relația:

$$w = a_1 w_1 = a_1 (a - 2b \rho^2 + \rho^4), \quad (5.235)$$

unde

$$a = \frac{5 + \nu}{1 + \nu}; \quad (5.236) \quad b = \frac{3 + \nu}{1 + \nu}. \quad (5.237)$$

Se înlocuiește relația (5.235) în (5.233) rezultă:

$$\int_0^1 \left[\left(64 + 24 \frac{\lambda_r}{\rho} \right) a_1 - \frac{pR^4}{D} (a - 2b \rho^2 + \rho^4) \right] \rho d\rho = 0. \quad (5.238)$$

După efectuarea integralei și rezolvarea ecuației se obține constanta a_1 care se înlocuiește în relația (5.235) rezultând ecuația deplasării transversale de forma:

$$w = \frac{pR^4}{(64 + 120 \lambda_r (3 + \nu) / (11 + 2\nu)) D} (a - 2b \rho^2 + \rho^4). \quad (5.239)$$

Tensiunile normale din placă vor fi:

$$\sigma_r = \frac{24(3 + \nu)p R^2}{(64 + 120 \lambda_r (3 + \nu) / (11 + 2\nu)) h^2} (1 - \rho^2); \quad (5.240)$$

$$\sigma_\rho = \frac{24 p R^2}{(64 + 120 \lambda_r (3 + \nu) / (11 + 2\nu)) h^2} [3 + \nu - (1 + 3\nu) \rho^2]; \quad (5.241)$$

Tensiunea normală în nervură se exprimă cu relația:

$$\sigma_{rn} = \frac{24(1 - \nu^2)p R^2 H}{(64 + 120 \lambda_r (3 + \nu) / (11 + 2\nu)) h^3} \left[3 \rho^2 - \frac{3 + \nu}{1 + \nu} \right]. \quad (5.242)$$

5.3.3 Determinarea stărilor de deformație și de tensiune cu metoda elementului finit

Metoda elementului finit a cunoscut o mare dezvoltare în ultimi ani avînd o largă aplicabilitate în diverse domenii. Conceptul de bază al metodei, cînd este aplicat la o problemă de analiză structurală, constă în faptul că un corp poate fi modelat analitic prin subdivizare în regiuni (elemente finite) la care comportarea este descrisă de către funcții care reprezintă deplasările și tensiunile. Aceste funcții sînt alese în așa fel încît să garanteze continuitatea comportării corpului.

Prezentarea metodei elementului finit și folosirea ei la calculul plăcilor este dată în lucrările [12], [48], [51], [230].

Pentru analiza comportării statice a plăcilor circulare cu nervuri radiale s-au utilizat programele de calcul SAP IV și SUBSM [154], urmărindu-se:

- determinarea deformațiilor și tensiunilor;
- verificarea rezultatelor obținute cu alte metode de calcul.

5.3.3.1 Determinarea stărilor de deformație și de tensiune folosind programul SAP IV

S-a considerat placa cu 8 nervuri prezentată în figura 5.18 avînd $R = 125$ mm, $h = 5$ mm, $r_0 = 14$ mm, $H = 35$ mm, $t = 5$ mm.

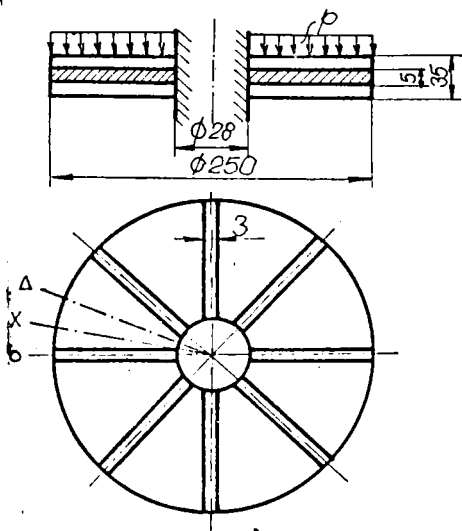


Fig. 5.18

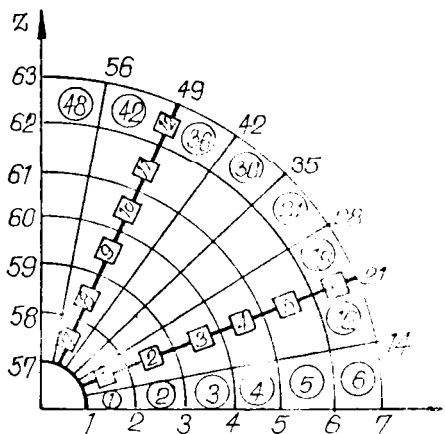
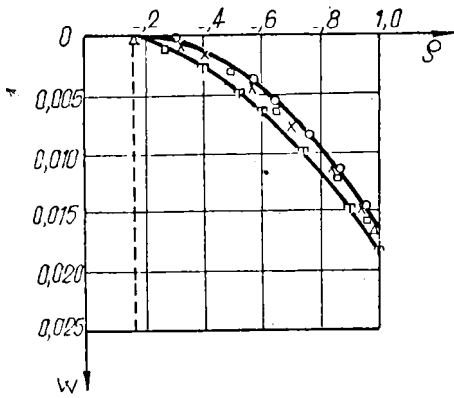


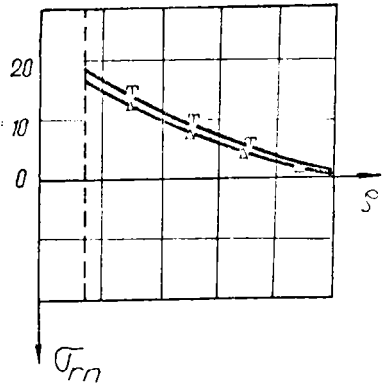
Fig. 5.19

Placa este solicitată cu o forță uniform distribuită $p = 0,1$ MPa. Intrucît încărcarea este simetrică pentru studiul stărilor de deformație și de tensiune s-a considerat numai un sfert de placă (fig.5.19). Discretizarea s-a făcut în 48 de elemente de placă și 12 elemente de bară interconectate în 65 de noduri.

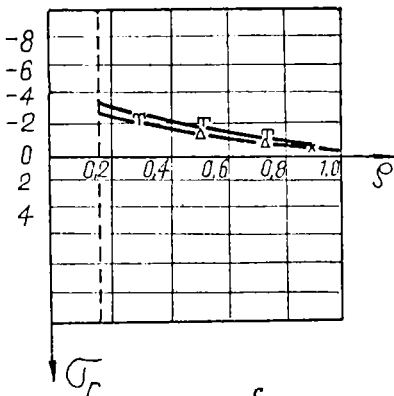
În figura 5.20 sînt reprezentate grafic deplasările transversale ale planului median cît și a tensiunilor determinate cu metoda elementului finit cît și mărimile corespunzătoare stabilite cu metoda analitică (T). Metoda elementului finit pune în evidență că deplasările punctelor din dreptul nervurilor sînt mai mici decît ale punctelor aflate între două nervuri.



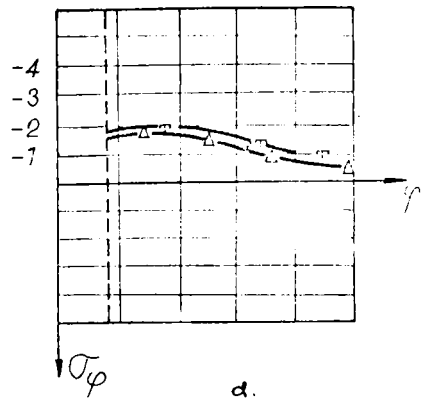
a



b



c.



d.

Fig.5.20

Diferențele dintre valorile deplasărilor punctelor de pe nervură și a celorlalte aparținând porțiunii de placă dintre nervuri nu depășesc 7%. Metoda analitică și metoda energetică adoptând netezirea structurii dau rezultate identice pentru deplasarea punctelor aflate între nervuri cât și în dreptul lor. Diferența dintre mărimile deplasărilor determinate cu metoda analitică și metoda elementului finit este de $2,7 \pm 9,3 \%$. În figura 5.20, b, c, d sînt prezentate graficul tensiunilor normale în dreptul nervurii cât și a porțiunii dintre nervuri. Diferența dintre valori fiind satisfăcătoare, rezultatele analitice sînt mai mari decît cele numerice.

Obținerea unor rezultate numerice cît mai apropiate de realitate impune o discretizare cît mai fină ceea ce duce la depășirea memoriei calculatorului și la creșterea timpului necesar efectuării calculului. Pentru evitarea acestor inconveniente în analiza structurilor cu metoda elementului finit în lucrările [47], [51], [154] se menționează folosirea substructurii.

5.3.3.2 Determinarea stărilor de deformație și de tensiune folosind programul SUBSM

Programul SUBSM ([14], [47]) este elaborat pentru calculul structurilor prin aplicarea substructurării. Acest program poate fi folosit și la calculul plăcilor circulare cu nervuri radiale. Programul de calcul are biblioteca de elemente finite preluată din programul de calcul SAP IV și elementul de tip 10 al programului SAP V care permite introducerea pe cartele a matricei de rigiditate a oricărui element care nu este cuprins în biblioteca de elemente existentă. Schema bloc a programului SUBSM este dată în figura 5.21.

În continuare se vor descrie subrutinele programului SUBSM în ordinea în care ele apar, adică sînt apelate.

Subrutina TREE prelucrează cartela arbore;

Subrutina STRUCT conține informații cu privire la numerotarea ecuațiilor și la legăturile structurii;

Subrutina INPUTJ citește nodurile comune și coordonatele nodurilor și condițiile de legătură pentru substructură în numerotare locală;

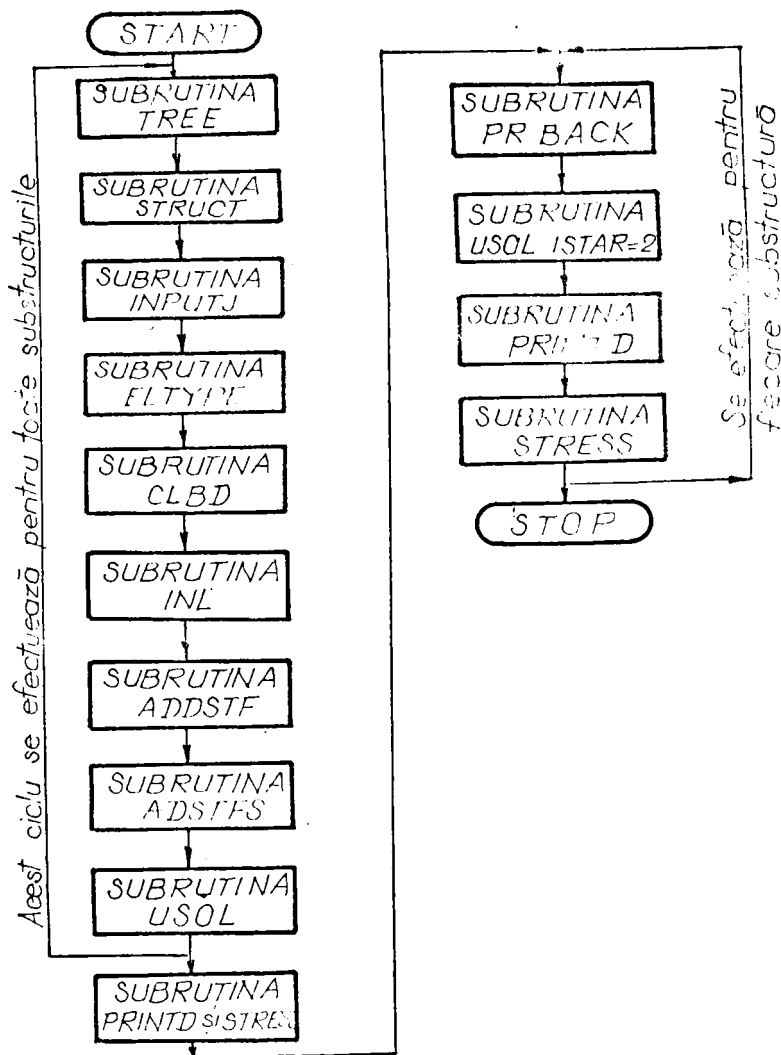


Fig.5.21

Subrutina ELTYPE realizează subrutinele necesare pentru un anumit grup de elemente;

Subrutina CLBD determină matricea de conectivitate care face legătura între numerotarea locală și cea globală;

Subrutina INL citește forțele nodale;

Subrutina ADDSTF face asamblarea matricelor de rigiditate ale elementelor finite;

Subrutina ADSTFE efectuează asamblarea matricelor de rigiditate condensate ca și ale încărcărilor condensate ale substructurilor la matricea de rigiditate și încărcările substructurilor curente. Matricea condensată se referă la o substructură care este considerată ca un macroelement.

Subrutina USOL a fost preluată din programul SAP II și modificată. Ea rezolvă complet sistemul de ecuații $[K]\{U\} = \{F\}$ al unei substructuri și anume a structurii rădăcină. Sistemul de ecuații cuprinde: $[K]$ matricea de rigiditate a structurii, $\{U\}$ vectorul deplasărilor nodale, $\{F\}$ vectorul forțelor structurii. Această subrutină face triunghiularizarea parțială a matricei de rigiditate condensate și a vectorului de încărcare condensată.

Subrutina PRINTD și STRESS tipărește deplasările nodurilor și tensiunile din elemente.

Subrutina PRBACK trece deplasările nodurilor comune din numerotarea globală în numerotarea locală.

Subrutina USOL, ISTAR = 2 face retrosubstituția pentru substructură numai pentru nodurile comune.

Subrutina PRINTD tipărește deplasările tuturor nodurilor.

Subrutina STRESS calculează tensiunile și le tipărește valoarea lor. Selectarea subrutinelor specifice elementelor finite se face cu subrutina ELTYPE.

Procedeul de substructurare constă în împărțirea structurii complexe în părți de sine stătătoare. În principiu, analiza prin discretizare a structurilor în substructuri constă din două etape:

- analiza stărilor de tensiune și de deformație pe fiecare substructură și

- cuplarea substructurilor cu respectarea condițiilor de echilibru și de discontinuități ale deplasărilor în nodurile comune.

Utilizarea programului SUBSM la analiza stărilor de deformație și de tensiune cuprinde următoarele etape:

- împărțirea în substructuri;
- pregătirea datelor de intrare în program constând din numerotarea elementelor finite și delimitarea lor prin numere de ordine ale nodurilor fiecărui element, indicarea proprietăților

fizico - mecanice ale materialelor și reducerea încărcării reale la forțe concentrate aplicate în nodurile structurii;

- rularea pe calculator a programului;
- prelucrarea rezultatelor.

Pentru o analiză a modului de aplicare a programului de calcul SUBSM se examinează starea de deformație și de tensiune la o placă inelară cu 8 nervuri prezentată în figura 5.22. Placa are $h = 3\text{ mm}$ și raza exterioară $r = 125\text{ mm}$. Nervurile sînt de secțiune dreptunghiulară cu $H = 9\text{ mm}$ și $t = 3\text{ mm}$. Placa inelară este încastrată pe conturul interior la raza $r_0 = 25\text{ mm}$.

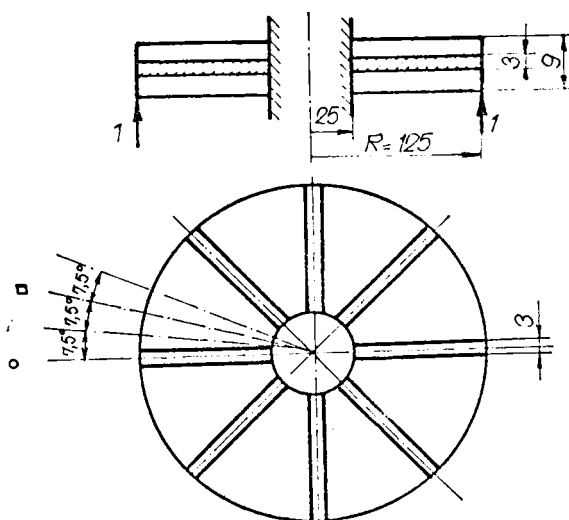
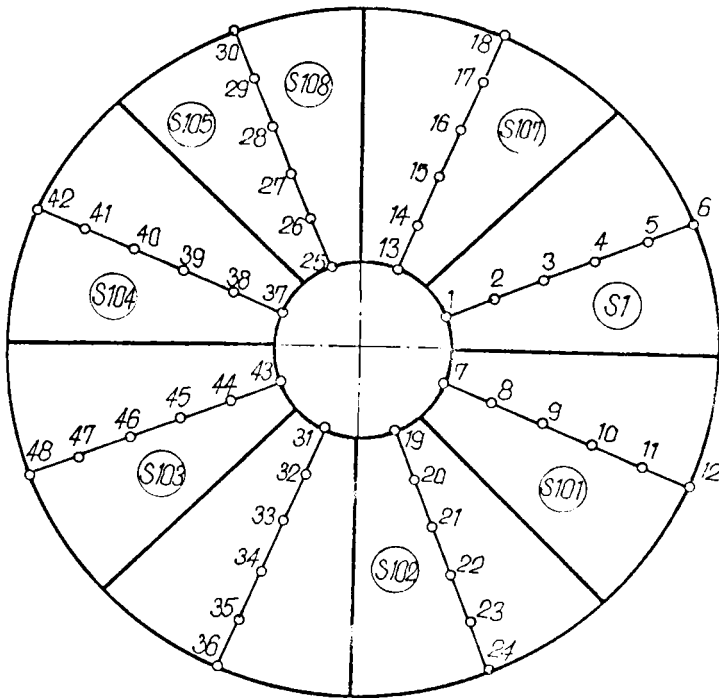


Fig. 5.22

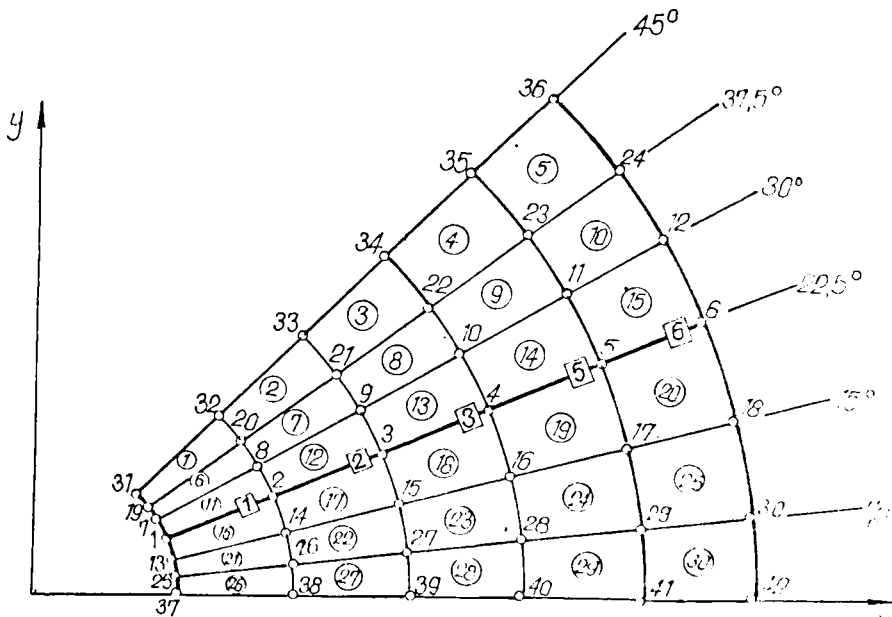
Împărțirea în substructuri a plăcii cu nervuri este dată în figura 5.23, a. O substructură este desemnată de litera S urmată de un număr. Împărțirea în substructuri este descrisă în program de cartela arbore. Cartela arbore, pentru exemplul considerat, are forma:

S10(S1, S101, S102, S103, S104, S105, S106, S107).

Ordinea de abordare a substructurilor, de către program, este inversă celeia din cartela arbore. Fiecărei substructuri îi corespunde o numerotare locală avînd noduri comune (ce aparțin la două sau mai multe substructuri) și noduri necomune care îi aparțin.



a.



b.

Fig. 5.23

In figura 5.23,b este reprezentat modul de discretizare în elemente finite a substructurii rădăcină. Substructura are 30 de elemente patrulaterale de tip placă și 6 elemente de tip bară. In figura 5.24 se prezintă diagramele deplasărilor transversale și a tensiunilor normale produse în placă și nervuri. Din analiza diagramelor rezultă deplasări mai mari în porțiunea de placă cuprinsă între nervuri decât deplasările din dreptul nervurii. Tensiunile din dreptul nervurii sînt mai mari decât tensiunile porțiunii de placă cuprinsă între nervuri. Folosirea programului de SUBSM permite o micșorare a timpului de calcul de cel puțin 2 ori față de programul de calcul SAP IV.

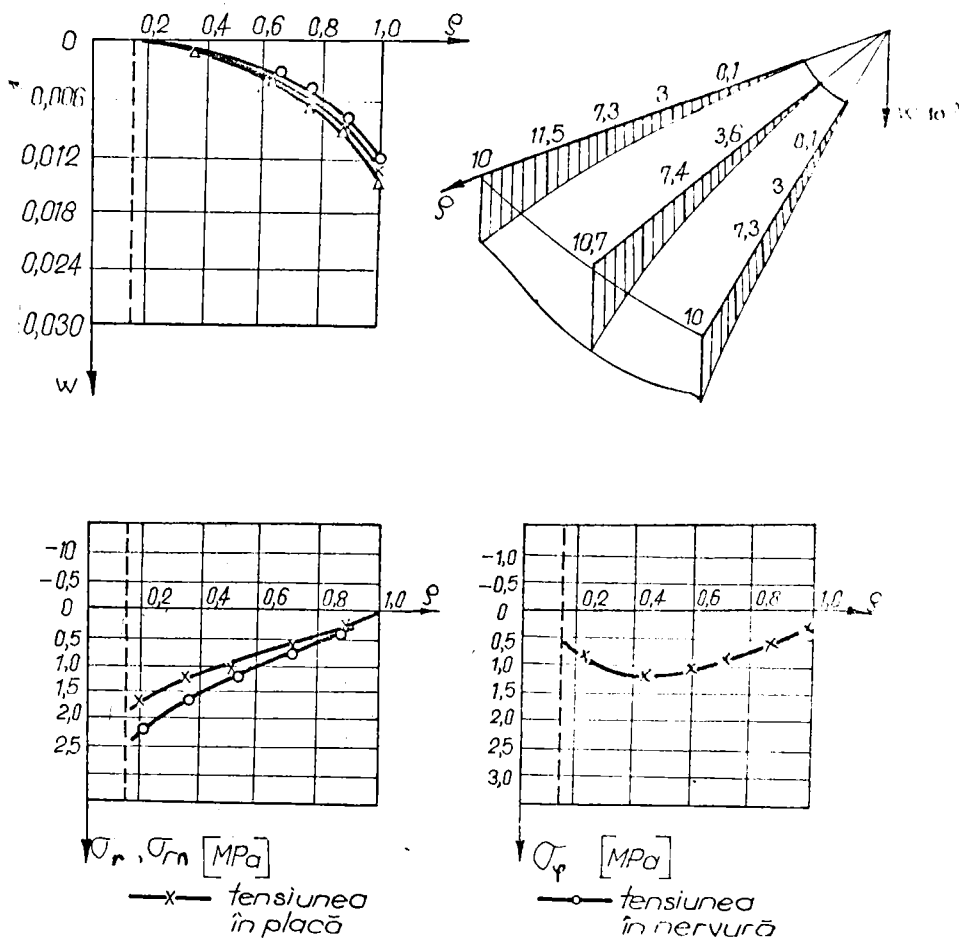


Fig. 5.24

5.4 Concluzii

În acest capitol s-a abordat calculul stărilor de deformare și de tensiune la plăcile circulare și inelare cu nervuri radiale propunându-se diverse metode de calcul. Metodologia de calcul folosită de autor scoate în evidență câteva elemente noi privind integrarea ecuațiilor diferențiale care descriu deformarea acestor plăci și întrebuintarea metodei elementului finit. În acest sens s-a pus în evidență:

1) posibilitățile de integrare a ecuațiilor diferențiale care descriu deformarea plăcilor cu nervuri radiale când secțiunea lor este constantă sau variabilă în lungul axei;

2) soluțiile ecuațiilor diferențiale în cazurile de încărcare axial simetrică pentru diverse tipuri de reazeme;

3) starea de deformare a plăcilor inelare cu nervuri radiale a căror relații de calcul sînt centralizate în tabelul 5.1. Rezultatele cuprinse în tabelul 5.1 se pot folosi la determinarea stării de tensiune.

4) folosirea metodei elementului finit pentru determinarea stărilor de deformare și de tensiune cu ajutorul programului de calcul SAP IV precum și a programului SUBSM care permite micșorarea timpului de calculator.

5) întrebuintarea calculului variațional la determinarea stărilor de deformare și de tensiune la plăcile circulare cu nervuri radiale.

6 INFLUENȚA NERVURILOR ASUPRA RIGIDITĂȚII ȘI MICȘORĂRII GREUTĂȚII PLĂCILOR

6.1 Considerații generale

În capitolul 5 s-a analizat starea de deformare a plăcii circulare cu nervuri radiale în raport cu cea a plăcii fără nervuri. S-a constatat că deformarea plăcii cu nervuri este mai mică decât aceea a plăcii fără nervuri. Rezultă că nervurile duc la creșterea rigidității plăcii având influență asupra greutateii lor. În continuare, se pune problema de a stabili numărul și dimensiunile nervurilor pentru realizarea reducerii greutateii plăcii cu nervuri în raport cu placa fără nervuri.

În lucrările [34] și [35] sînt prezentate cîteva aspecte privind posibilitatea micșorării greutateii plăcii circulare cu nervuri în raport cu placa fără nervuri cînd ambele au aceeași rezistență.

6.2 Formularea problemei

Se consideră două plăci circulare de rază R : una are grosimea h fiind întărită cu n_r nervuri radiale dispuse echiunghiular pe ambele fețe care au secțiunea transversală dreptunghiulară de înălțime H și lățime t . Nervurile se consideră confecționate din același material ca și placa. A doua placă are grosimea h_0 constantă fără nervuri.

Fie volumul de material al plăcii cu nervuri

$$V = \pi R^2 \cdot h + n_r t (H - h) R = \pi R^3 \alpha \cdot \delta, \quad (6.1)$$

unde s-au introdus următoarele mărimi adimensionale:

$$\alpha = \frac{h}{R}; \quad (6.2) \quad \beta = \frac{t}{2 \cdot \pi \cdot R}; \quad (6.3)$$

$$\delta = \frac{H}{h}; \quad (6.4) \quad \delta = 1 + 2 \beta n_r (\delta - 1). \quad (6.5)$$

Volumul de material al plăcii circulare fără nervuri

este

$$V_0 = \pi R^2 \cdot h_0 = \pi R^3 \alpha_0, \quad (6.6)$$

unde s-a introdus mărimea adimensională

$$\alpha_0 = \frac{h_0}{R}. \quad (6.7)$$

Dimensiunile plăcii circulare întărită cu nervuri vor fi alese în așa fel încît să fie mai ușoară decît placa circulară fără nervuri cînd ambele plăci asigură aceeași rezistență sau rigiditate. Placa circulară cu nervuri radiale va fi mai ușoară decît placa circulară fără nervuri dacă raportul volumelor este subunitar. Raportul celor două volume se definește prin relația:

$$\frac{V}{V_0} = \frac{\alpha}{\alpha_0} [1 + 2 n_r \beta (\delta - 1)]. \quad (6.8)$$

Condiția ca placa fără nervuri și placa cu nervuri să aibe aceeași rezistență se exprimă prin egalitatea

$$\sigma_{\max}^0 = \sigma_{\max}, \quad (6.9)$$

unde σ_{\max}^0 este tensiunea maximă din placă fără nervuri iar σ_{\max} - tensiunea maximă în placa cu nervuri.

Condiția ca rigiditatea celor două plăci să fie aceeași va fi:

$$w_{\max}^0 = w_{\max}, \quad (6.10)$$

unde w_{\max}^0 este deplasarea maximă a plăcii fără nervuri iar w_{\max} - deplasarea maximă a plăcii circulare cu nervuri radiale.

În continuare se vor stabili dimensiunile plăcii cu nervuri radiale în raport cu placa fără nervuri cînd se realizează condițiile de rezistență sau de rigiditate.

Se vor prezenta cîteva exemple de calcul.

6.3 Condiția de rezistență

Se stabilesc dimensiunile la o placă circulară întărită cu nervuri radiale pe ambele fețe, încadrată pe contur și solicitată la încovoiere axial simetrică de către o sarcină uniform distribuită p . Valoarea tensiunii maxime se obține din relația (5.216) fiind dată de relația:

$$G_{\max} = k \frac{p R^2}{h^2} = \frac{15}{4(5 + 6\lambda_r)} \frac{p}{\alpha^2}, \quad (6.11)$$

unde mărimea adimensională λ_r dată de relația (4.39), se poate exprima în funcție de mărimile (6.2) ÷ (6.5) sub forma:

$$\lambda_r = \frac{E \cdot I_{yn} n_r}{2 \bar{\alpha} R \cdot D} = (1 - \nu^2) \frac{n_r t (H^3 - h^3)}{2 \bar{\alpha} R h^3} = (1 - \nu^2) (\gamma^3 - 1) n_r \beta. \quad (6.12)$$

Tensiunea maximă în placă circulară fără nervuri, după [227], se determină cu relația:

$$G_{\max}^0 = k_0 \frac{p R^2}{h_0^2} = 0,75 \frac{p}{\alpha_0^2}. \quad (6.13)$$

Relațiile (6.11) și (6.13) se introduc în condiția (6.9) rezultînd:

$$\frac{\alpha}{\alpha_0} = \sqrt{\frac{k}{k_0}}. \quad (6.14)$$

Dacă se ține cont de constantele k și k_0 precum și de relația (6.12), relația (6.14) va avea forma:

$$\frac{\alpha}{\alpha_0} = \frac{1}{\sqrt{1 + 1,2 \cdot \lambda_r}} = \frac{1}{\sqrt{1 + 1,2(1 - \nu^2) n_r \beta (\gamma^3 - 1)}}. \quad (6.15)$$

Se introduce relația (6.15) în funcția dată de (6.8) rezultînd:

$$\frac{v}{v_0} = \frac{1 + 2 n_r \beta (\gamma - 1)}{\sqrt{1 + 1,2(1 - \nu^2) n_r \beta (\gamma^3 - 1)}}. \quad (6.16)$$

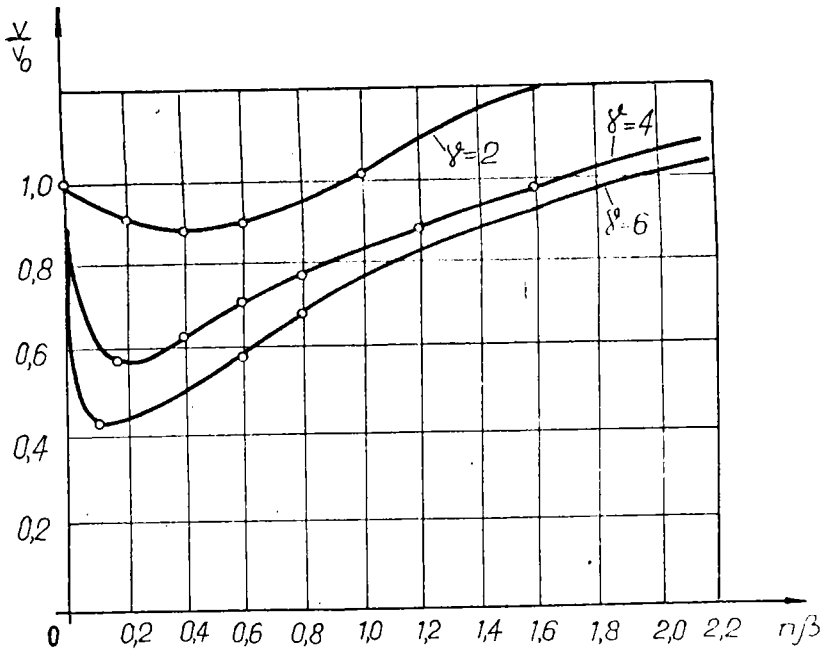


Fig. 6.1

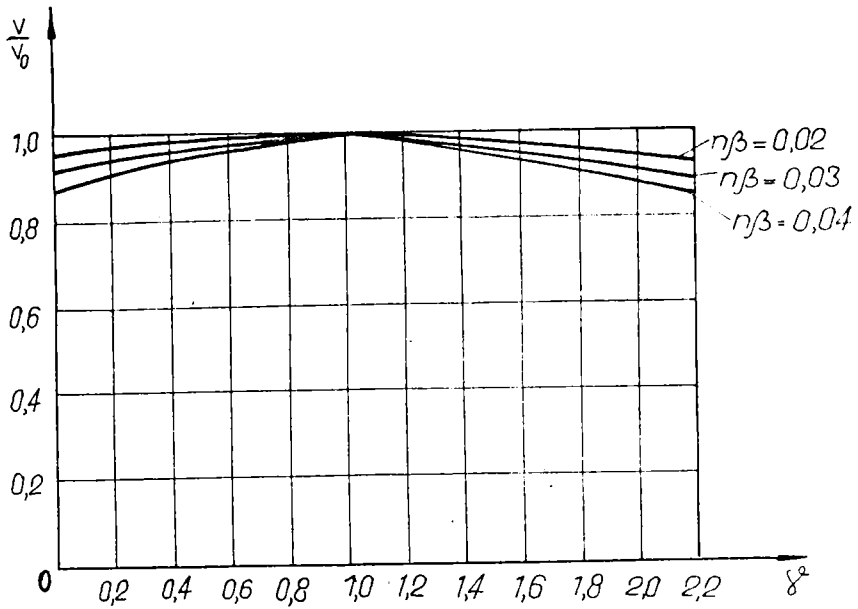


Fig. 6.2

Relația (6.16) reprezintă o funcție de două variabile δ și $n_r\beta$. Pentru că funcția (6.16) este complicată iar găsirea punctelor staționare care să verifice sistemul format din derivatele ei parțiale, în raport cu variabilele δ și $n_r\beta$ este dificil de rezolvat s-a analizat funcția considerind una din variabile fixată. Acest lucru este justificat, în practică, datorită condițiilor care pot fi impuse asupra înălțimii nervurilor dar și asupra numărului de nervuri și a lățimii lor.

Dacă se fixează mărimea $\delta = H/h = \text{const.}$ atunci funcția (6.16) se poate minimiza în raport cu variabila $n_r\beta$. Intrucît $\beta > 0$; $\nu \in (0, 0,5)$; $\delta > 1$, funcția (6.16) este continuă pe mulțimea reală a numerelor pozitive. În $(n_r\beta)_0$, punct interior mulțimii de definiție, funcția (6.16) are un minim local dacă pentru orice vecinătate a lui $(n_r\beta)_0$:

$$\frac{V}{V_0}(n_r\beta) \geq \frac{V}{V_0}((n_r\beta)_0). \quad (6.17)$$

Acest lucru se vizualizează ușor pe graficul curbei. Vecinătatea punctului $(n_r\beta)_0$ este porțiunea de curbă unde concavitatea este îndreptată spre axa pozitivă $0 V/V_0$. Soluția ecuației obținută din anularea derivatei funcției (6.16) în raport cu variabila $(n_r\beta)$ este dată de relația:

$$(n_r\beta)_0 = \frac{1,2(1 - \nu^2)(\delta^2 + \delta + 1) - 4}{2,4(1 - \nu^2)(\delta^3 - 1)}. \quad (6.18)$$

În figura 6.1 este reprezentată grafic relația (6.16) în funcție de variabila $n_r\beta$, pentru δ fixat la valorile 2, 4 și 6. Se constată că la creșterea mărimumi raportului δ , adică a înălțimii nervurii în raport cu grosimea plăcii, se mărește domeniul în care greutatea plăcilor cu nervuri este mai mică decît al plăcilor fără nervuri. Totodată, se recomandă ca parametrul $n_r\beta$ să aibă valori cît mai mici în raport cu $(n_r\beta)_0$ acest lucru impus de mărimea adimensională (6.3) care reprezintă raportul dintre două dimensiuni cu ordin de mărime diferit. Intrucît, relația (6.3) reprezintă raportul dintre lățimea nervurii și raza plăcii se recomandă ca el să aibă valori

mai mici. Prin fixarea mărimii δ , în raport cu $n_r \beta$, se determină numărul de nervuri. Lățimea nervurii se obține ușor cînd se cunoaște parametrul β întrucît raza conturului exterior a plăcii este impusă de construcție. Dacă se fixează numărul de nervuri n_r se găsește lățimea nervurii.

Desigur există o valoare pentru $(n_r \beta)$ pentru care raportul V/V_0 este mai mare decît unitatea. În acest caz plăcile circulare cu nervuri sînt mai grele decît cele fără nervuri. Valoarea lui $(n_r \beta)$ pentru care $V/V_0 \approx 1$ este dată de relația

$$(n_r \beta)_1 \approx \frac{1,2(1 - \delta^2)(\delta^2 + \delta + 1) - 4}{4(\delta - 1)}. \quad (6.19)$$

Să se determine dimensiunile unei plăci cu 8 nervuri radiale de rază exterioară $R = 125$ mm solicitată la presiunea $p = 0,1$ MPa. Placa este încastrată pe contur. Se dau: rezistența admisibilă $\sigma_a = 150$ MPa, $\delta = 2$.

$$(n_r \beta)_0 = \frac{1,2 \cdot 0,91(2^2 + 2 + 1) - 4}{2,4 \cdot 0,91(2^3 - 1)} = 0,238.$$

Se adoptă $n_r \beta = 0,137$ de unde $\beta = 0,0171$ iar $t = 2 \tilde{r} \beta = 2 \cdot 125 \cdot 0,0171 = 13,44 \approx 14$ mm.

Din relația (6.12) se obține:

$$\lambda_r = (1 - \delta^2)(\delta^3 - 1)n_r \beta = 0,91(2^3 - 1) \cdot 0,142 = 0,9.$$

Din condiția ca tensiunea maximă (6.11) în placă să fie de 150 MPa la presiunea $p = 0,1$ MPa rezultă:

$$h = \sqrt{\frac{15}{4(5+6\lambda_r)} \frac{p R^2}{\sigma_a}} = \sqrt{\frac{15}{4(5+6 \cdot 0,9)} \frac{0,1 \cdot 125^2}{150}} = 1,94 \text{ mm} \approx 2 \text{ mm},$$

iar

$$H = \delta \cdot h = 2 \cdot 2 = 4 \text{ mm}.$$

Volumul plăcii cu nervuri va fi:

$$V = \tilde{r} \cdot 125^2 \cdot 2 + 8 \cdot 14 \cdot (4 - 2) \cdot 125 = 126174,7 \text{ mm}^3$$

Grosimea plăcii fără nervuri este dată de relația (6.13) cînd $\sigma_{\max} = 150$ MPa.

$$h_0 = \sqrt{\frac{0,75 \cdot p \cdot R^2}{150}} = \sqrt{\frac{0,75 \cdot 0,1 \cdot 125^2}{150}} = 2,79 \text{ mm} \approx 3 \text{ mm}$$

Volumul plăcii fără nervuri

$$V_0 = \lambda \cdot 125^2 \cdot 3 = 147262,16 \text{ mm}^3.$$

În final, rezultă $V/V_0 = 0,86$. Dacă se calculează tensiunea maximă în nervură se obține $\sigma_{\max} = 260 \text{ MPa}$ adică solicitarea ei este în domeniul elasto-plastic. Parametrul $n_r \beta$ s-a adoptat mai mic întrucît rezultă o lățime destul de mare a nervurii.

În figura 6.2 s-a trasat graficul funcției (6.16) în raport cu variabilă δ , cînd valoarea lui $n_r \beta$ este fixată.

În mod analog se poate trece la determinarea dimensiunilor nervurilor ca și în exemplul anterior.

În cazul cînd este luată în calcul tensiunea maximă din nervură, pentru placa circulară cu nervuri cu contur încastrat,

$$\sigma_{\max} = \frac{15(1 - \nu^2)}{4(5 + 6\lambda_r)} \frac{pR^2H}{h^3}, \quad (6.20)$$

funcția (6.8) are forma:

$$\frac{V}{V_0} = \frac{0,95 + 1,9 \cdot n_r \beta \cdot (\delta - 1)}{\sqrt{1 + 1,092 n_r \beta (\delta^3 - 1)}}. \quad (6.21)$$

Reprezentarea grafică a relației (6.21) este dată în figura 6.3 cînd parametrul δ este fixat la valorile 2, 4 și 6.

Soluția ecuației obținută din anularea derivatei funcției (6.21) în raport cu variabilă $(n_r \beta)$ este dată de relația:

$$(n_r \beta)_0 = \frac{1,03(\delta^2 + \delta + 1) - 3,4}{2,07 \cdot \delta^3 + 4,14\delta - 6,21}. \quad (6.22)$$

Se constată că domeniul pentru care funcția (6.21) are valori mai mici decît unitatea crește cu cît parametrul δ are valori mai mari. Funcția (6.21) are valoarea minimă atunci cînd $(n_r \beta)$ este dat de relația (6.22).

Să se determine dimensiunile unei plăci cu 8 nervuri încastrată pe conturul exterior de rază $R = 125 \text{ mm}$ solicitată de o forță uniform distribuită $p = 0,1 \text{ MPa}$. Se admite $\delta = 8$.

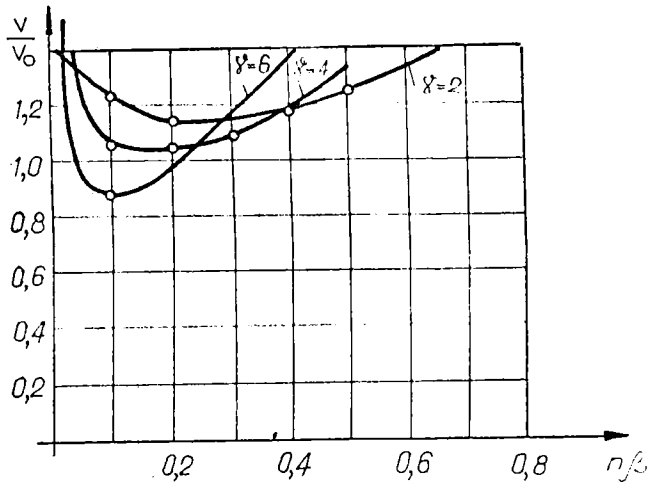


Fig. 6.3

Din relația (6.22) rezultă:

$$(n_r \beta)_0 = \frac{1,03(8^2 + 8 + 1) - 3,8}{2,07 \cdot 8^3 + 4,14 \cdot 8 - 6,21} = 0,06569$$

Rezultă $\beta = 0,0082$ iar $t = 2 \bar{\lambda} R \beta = 2 \cdot \bar{\lambda} \cdot 25 \cdot 0,0082 = 6,45 \text{ mm} \approx 7 \text{ mm}$.

Cu relația (6.12) se determină:

$$\lambda_r = (1 - 0,3^2)(8^3 - 1) \cdot 8 \cdot 0,0082 = 30,546$$

Atunci cînd $\sigma_{\max} = \sigma_a$ din relația (6.20) rezultă:

$$h = \sqrt{\frac{15(1 - \nu^2)}{4(5 + 6\lambda_r)} \frac{pR^2}{\sigma_a}} = \sqrt{\frac{15 \cdot 0,91 \cdot 0,1 \cdot 125^2 \cdot 4}{4(5 + 6 \cdot 30,496) \cdot 150}} = 0,87 \text{ mm} \approx 1 \text{ mm}$$

Deci $H = \delta \cdot h = 8 \cdot 1 = 8 \text{ mm}$ iar volumul plăcii cu nervuri

$$V = \bar{\lambda} 125^2 \cdot 1 + 8 \cdot 7 \cdot (8 - 1) \cdot 125 = 98087,3 \text{ mm}^3$$

Grosimea plăcii fără nervuri se obține din relația

(6.13)

$$h_0 = \sqrt{\frac{0,75 \cdot p \cdot R^2}{\sigma_a}} = \sqrt{\frac{0,75 \cdot 0,1 \cdot 125^2}{150}} = 2,79 \approx 3 \text{ mm}$$

Volumul plăcii fără nervuri

$$V_0 = \bar{\lambda} \cdot 125^2 \cdot 3 = 147262,16 \text{ mm}^3.$$

În aceste condiții se obține $V/V_0 = 0,67$.

6.4 Condiția de rigiditate

Dimensiunile plăcii cu nervuri încastrată pe contur și solicitată de către o sarcină uniform distribuită p , în raport cu placa fără nervuri, pot fi stabilite și din condiția de rigiditate (6.10).

Săgeata maximă a plăcii cu nervuri se obține din relația (5.215) avînd forma:

$$w_{\max} = \frac{p \cdot R^4}{64(1 + 1,2 \cdot \lambda_r) D} \quad (6.23)$$

unde λ_r este dat de relația (4.39) iar rigiditatea cilindrică D de relația (3.35).

Din lucrarea [127] se determină săgeata maximă pentru placa circulară fără nervuri

$$w_{\max}^0 = \frac{p \cdot R^4}{64 D_0} \quad (6.24)$$

Relațiile (6.23) și (6.24) se introduc în condiția de rigiditate (6.10) obținîndu-se:

$$\frac{\alpha}{\alpha_0} = \frac{1}{\sqrt[3]{1 + 1,092 n_r \beta (\delta^3 - 1)}} \quad (6.25)$$

Relația (6.25) se introduce în (6.8) rezultînd:

$$\frac{v}{v_0} = \frac{1 + n_r \beta (\delta - 1)}{\sqrt[3]{1 + 1,092 n_r \beta (\delta^3 - 1)}} \quad (6.26)$$

Reprezentarea grafică a relației (6.26) în funcție de variabila $n_r \beta$ pentru diferite valori ale lui δ este dată în figura 6.4. Domeniul de realizarea unor plăci circulare cu nervuri mai ușoare decît plăcile fără nervuri se mărește dacă valorile parametrului δ cresc. Valoarea de minim a funcției se obține

pentru

$$(n_r \beta)_0 = \frac{0,25 \cdot (\delta^2 + \delta + 1) - 1,37}{\delta^3 - 1} \quad (6.27)$$

Cele mai raționale plăci circulare cu nervuri se obțin pentru valori $(n_r \beta) \leq (n_r \beta)_0$. Atunci cînd $(n_r \beta) > (n_r \beta)_0$ se obțin plăci cu nervuri avînd raza conturului exterior mică și un număr mare de nervuri radiale.

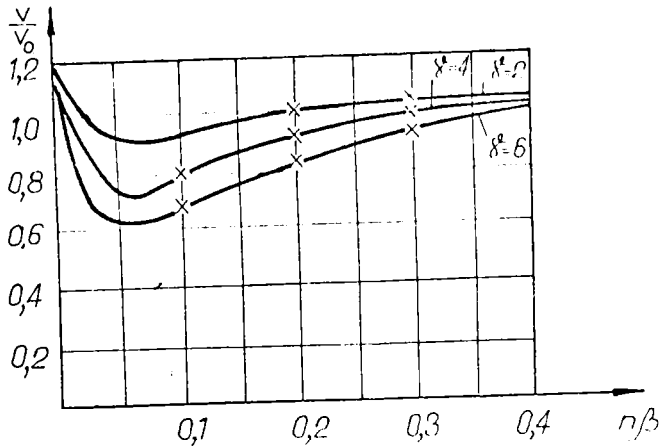


Fig.6.4

Să se determine dimensiunile unei plăci circulare cu 8 nervuri, incastrată pe conturul exterior de rază $R = 125$ mm, solicitată de o sarcină uniform distribuită de $0,1$ MPa dacă săgeata maximă de 1 mm. Se admite $\delta = 4$.

Din relația (6.27) rezultă:

$$(n_r \beta)_0 = \frac{0,25(4^2 + 4 + 1) - 1,37}{4^3 - 1} = 0,61.$$

Intrucît $(n_r \beta)_0 = 0,061$ rezultă $\beta = 0,0076$ de unde $t = 2 \lambda R \beta = 2 \lambda 125 \cdot 0,0076 = 5,96$ mm ≈ 6 mm.

Grosimea plăcii cu nervuri rezultă din relația (6.23)

$$h = \sqrt[3]{\frac{12(1 - \nu^2) p R^4}{64(1 + 1,2 \lambda_r) E w_{\max}}} = \sqrt[3]{\frac{12 \cdot 0,91 \cdot 0,1 \cdot 125^4}{64 \cdot 5,236 \cdot 2,1 \cdot 10^5 \cdot 1}} \approx 2 \text{ mm}$$

unde

$$\lambda_r = (1 - 0,3^2) \cdot 0,061 \cdot (4^3 - 1) = 3,53$$

Înălțimea nervurii $H = \delta \cdot h = 4 \cdot 2 = 8 \text{ mm}$.

Volumul plăcii cu nervuri este egal cu

$$V = \pi 125^2 \cdot 2 + 8 \cdot 6 \cdot (8 - 2) \cdot 125 = 134174,77 \text{ mm}^3.$$

Din relația (6.24) se obține:

$$h_0 = \sqrt[3]{\frac{12(1 - \nu^2) \cdot p \cdot R^4}{64 \cdot E \cdot w_{\max}^0}} = \sqrt[3]{\frac{12 \cdot 0,91 \cdot 0,1 \cdot 125^4}{64 \cdot 2 \cdot 10^5 \cdot 1}} = 2,7 \approx 3 \text{ mm}$$

Volumul plăcii fără nervurii

$$V_0 = \pi 125^2 \cdot 3 = 147262,16 \text{ mm}^3$$

În aceste condiții $V/V_0 = 0,91$.

În figura 6.5 se reprezintă graficul funcției (6.26) în funcție de variabila δ când parametrul n_r/β ia diferite valori. Pe baza graficului din figura 6.5 se ajunge la concluzia că volumul plăcii cu nervuri se micșorează cu cât valoarea lui δ crește pentru valori ale parametrului n_r/β este fixat.

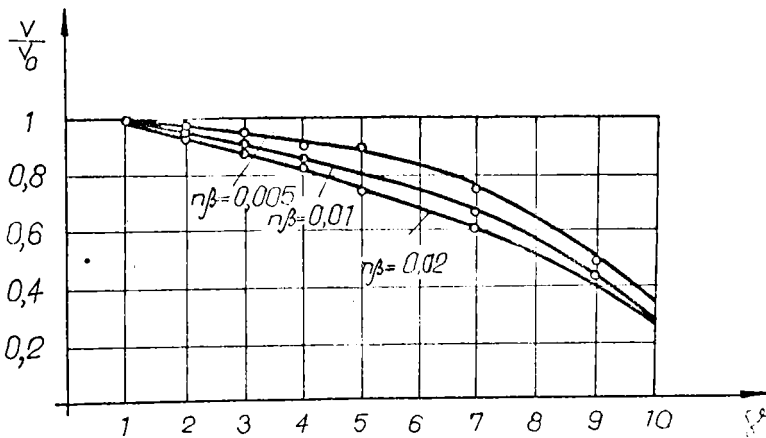


Fig. 6.5

Să se determine dimensiunile unei plăci circulare cu 8 nervuri încastată pe conturul exterior de rază $R = 125 \text{ mm}$ solicitată de o sarcină uniform distribuită de $0,1 \text{ MPa}$ dacă săgeata maximă este de 1 mm . Se admite că lățimea nervurii este de 4 mm iar parametrul $\delta = 4$.

Dacă $t = 4$ mm atunci

$$n_r \beta = n_r \frac{t}{2 \bar{\lambda} R} = 8 \frac{4}{2 \bar{\lambda} 125} = 0,041$$

Din relația (6.23) grosimea plăcii cu nervuri va fi:

$$h = \sqrt{\frac{12(1-\nu^2) p R^4}{64(1+1,2 \lambda_r) E w_{\max}}} = \sqrt{\frac{12 \cdot 0,91 \cdot 0,1 \cdot 125^4}{64 \cdot 3,82 \cdot 2,1 \cdot 10^5 \cdot 1}} = 1,73 \text{ mm} \approx 2 \text{ mm}$$

unde

$$\lambda_r = (1 - 0,3^2) \cdot 0,041 \cdot (4^3 - 1) = 2,35.$$

Înălțimea nervurii

$$H = \delta \cdot h = 4 \cdot 2 \text{ mm} = 8 \text{ mm}.$$

Volumul plăcii cu nervuri:

$$V = \bar{\lambda} 125^2 \cdot 2 + 8 \cdot 4 \cdot (8 - 2) \cdot 125 = 122174,77 \text{ mm}^3$$

De la exemplul anterior, placa fără nervuri are $h_0 = 7$ mm și volumul $V_0 = 147262,16 \text{ mm}^3$. Rezultă $V/V_0 = 0,82$.

6.5 Concluzii

În acest capitol se prezintă o metodă accesibilă de alegere convenabilă a dimensiunilor la placa circulară cu nervuri în raport cu placa circulară fără nervuri. Se analizează placa circulară cu nervuri încadrată pe contur încărcată axial simetric în condițiile când are aceeași rezistență sau rigiditate cu placa circulară fără nervuri.

Graficele funcțiilor (6.16) și (6.26) permit stabilirea domeniului de valori pentru parametrii $n_r \beta$ și δ în care placa cu nervuri este mai ușoară decât placa circulară fără nervuri. Cu cunoașterea acestor domenii permite stabilirea metodologiei de calcul pentru optimizarea dimensiunilor plăcii în funcție de necesitățile practice.

7 CONTRIBUTII PRIVIND STUDIUL EXPERIMENTAL AL STARILOR DE TENSIUNE SI DEFORMATIE

7.1 Considerații generale

Determinarea chiar aproximativă a stărilor de tensiune și de deformație la plăcile circulare cu nervuri radiale presupune un calcul complex de rezistență sau de rigiditate. Față de această situație, o investigație experimentală este de mare utilitate, chiar și pentru aprecierea metodei de calcul adoptată.

Analiza experimentală a tensiunilor și deformațiilor urmărește:

- verificarea ipotezelor care stau la baza studiului teoretic al plăcilor cu nervuri prezentat în capitolele 4 și 5;
- completarea calculului de rezistență și confirmarea relațiilor de calcul ce se pot folosi în practică.

Măsurarea deformațiilor și tensiunilor pe cale experimentală se face prin mai multe metode printre care:

- tensometria electrică rezistivă;
- fotoelasticimetrie;
- interferometrie holografică.

Determinarea stărilor de tensiune și deformație cu ajutorul tensometriei electrice rezistive, la plăci circulare cu nervuri radiale încastrate pe contur solícitate cu o forță uniform distribuită, este prezentată în lucrările [20] și [36].

În acest capitol se prezintă evaluarea experimentală a tensiunilor și deformațiilor la unele modele de plăci solícitate cu o forță transversală uniform distribuită sau cu o forță concentrată centrală cu metodele menționate mai sus.

7.2 Măsurători și verificări experimentale tensometrice

7.2.1 Principiu

Bazele teoretice ale tensometriei electrice rezistive, caracteristicile și tipurile de traductori, principiile de măsurare și interpretare ale rezultatelor experimentale sînt prezentate detaliat în literatura de specialitate [94], [147], [224].

Mărimile tensiunilor au rezultat, pentru nervuri, respectiv pentru porțiunea de placă dintre nervuri, din relațiile:

$$\sigma_{rn} = E \cdot \varepsilon_r ; \quad (7.1)$$

$$\sigma_1 = \frac{E}{1 - \nu^2} (\varepsilon_1 + \nu \varepsilon_2); \quad (7.2)$$

$$\sigma_2 = \frac{E}{1 - \nu^2} (\nu \varepsilon_1 + \varepsilon_2), \quad (7.3)$$

unde se determină experimental lungirile specifice ε_1 și ε_2 iar constantele elastice E și ν sînt cunoscute sau stabilite experimental.

Pentru măsurarea deplasărilor diferitelor puncte ale nervurilor, precum și a porțiunii de placă dintre nervuri, s-a folosit microcomparatoare cu tijă avînd precizia de 0,01 mm.

7.2.2 Modele și instalația pentru încercări plăci circulare cu nervuri radiale.

Determinările experimentale s-au făcut la două categorii de plăci circulare cu nervuri radiale cu opt nervuri confecționate din aluminiu (fig.7.1) și din oțel avînd 4, 6 și 8 nervuri (fig.7.2).

Placa confecționată din aluminiu ATC Si 10 Mg a fost turnată și prelucrată prin așchiere pe o freză universală de tip FUS 22. Atît modelele din aluminiu cît și cele din oțel au fost fixate pe o masă divizoare. S-au trasat nervurile după care s-a efectuat prelucrarea nervurilor de pe o față apoi placa s-a întors și s-au prelucrat nervurile de pe partea opusă. S-a urmărit ca nervurile de pe cele două fețe să fie așezate simetric față de planul median și față de un plan perpendicular pe planul median care conține centrul plăcii și axa nervurii. Obținerea simetriei față de planul median s-a realizat prin prelucrarea la aceeași înălțime a nervurilor în raport cu fețele plăcii. Totodată s-a urmărit ca să aibă aceeași grosime.

Din sarja de turnare folosită pentru turnarea plăcilor din aluminiu s-au confecționat epruvete pentru stabilirea caracteristicilor mecanice. După efectuarea încercărilor la tracțiune ale epruvetelor și prelucrarea datelor experimentale a

rezultat:

$$E = 70000 \text{ MPa}; \quad \nu = 0,33. \quad (7.4)$$

Plăcile prezentate în figura 7.2 au fost confecționate din OL 45 având:

$$E = 2,1 \cdot 10^5 \text{ MPa}; \quad \nu = 0,3. \quad (7.5)$$

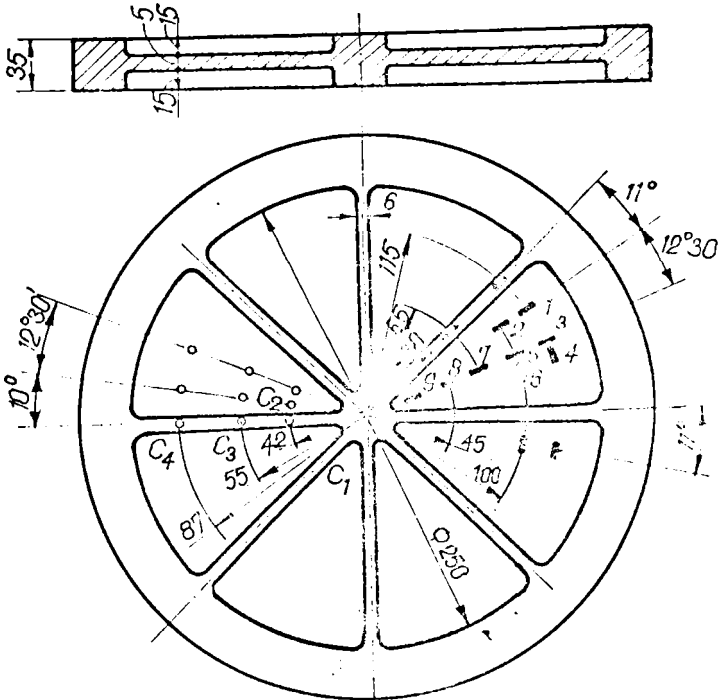
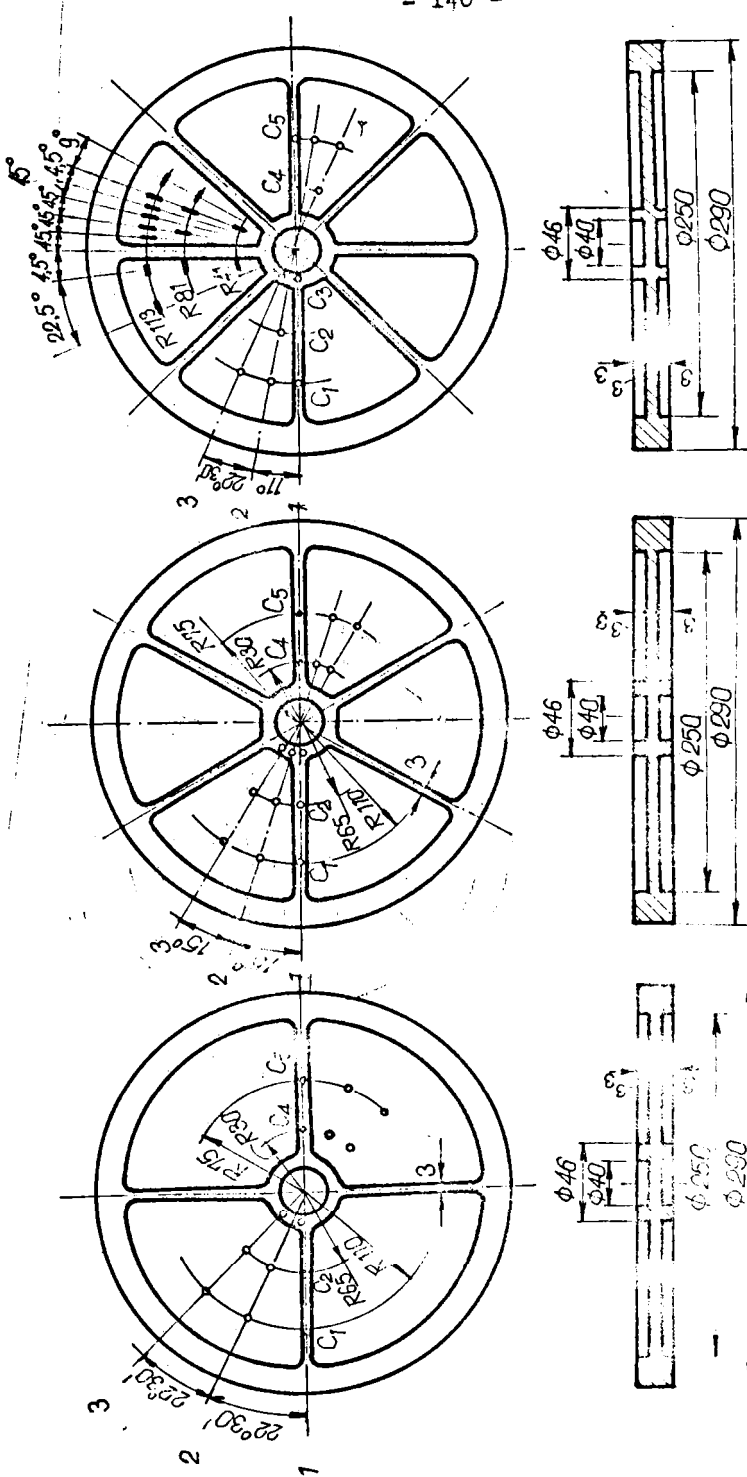


Fig.7.1

Definitivarea dimensiunilor plăcilor s-au stabilit după terminarea operațiilor de prelucrare și de pregătire a suprafețelor în vederea amplasării traductorilor electrice rezistivi. Pentru stabilirea grosimii plăcii, lățimii nervurilor s-au făcut măsurători în diferite regiuni stabilindu-se o valoare medie și o abatere Δh , respectiv Δt .

Având în vedere abaterile dimensionale cât și caracteristicilor mecanice s-a calculat abaterea rigidității cilindrice cu relația:

$$\frac{\Delta D}{D} = \pm \frac{\Delta E}{E} \pm \frac{3 \cdot \Delta h}{h} \pm \frac{2 \Delta \nu}{\nu} \frac{\nu^2}{1 - \nu^2}. \quad (7.6)$$



c.

b.

a.

Fig. 7.2.

Abateră rigidității cilindrice ajunge pînă la 3,7% în cazul plăcii din aluminiu și la 2,7% la plăcile din oțel.

În figura 7.3 este reprezentată schematic instalația de încercat plăci circulare cu nervuri radiale care cuprinde voltmetrul electronic (A), puntea tensometrică (B) de tip M 2302, cutiile de comutare (C) de tip M 2304 și dispozitivul de solicitare (D). Cablurile de legătură (E) între traductori și cutiile de comutare au patru fire și sînt ecranate.

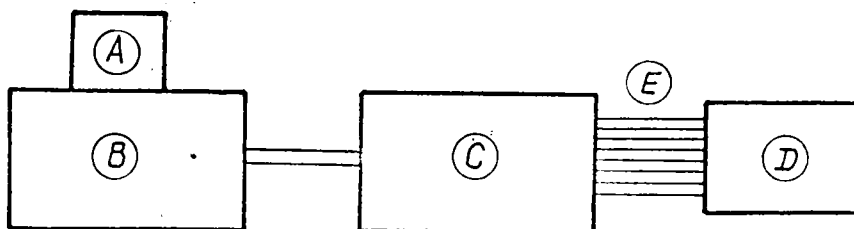


Fig.7.3

În figura 7.4 este reprezentat dispozitivul de încălzire al plăcilor cu nervuri. Între corpul din mijloc (1) și inelele (2) și (3) s-au prins două modele identice de plăci cu nervuri radiale (7) și (8). Placa (7) este folosită drept model pentru determinarea mărimilor experimentale. Placa (8) s-a folosit pentru a împiedica rotirea inelelor (2) și (3) precum și a corpului (1) în timpul solicitării, adică realizării unei încăstrări cât mai apropiată de realitate. Inelele (2) și (3) fixează cele două modele identice de plăci în corpul (1) cu ajutorul a 36 de șuruburi. Corpul (1) este prevăzut pe ambele fețe cu adînciturile F și G ce comunică între ele. În aceste spații se introduce ulei sub presiune de către pompa (12) prin intermediul unui racord cu inserție (14). Valoarea presiunii uleiului, în spațiile F și G poate fi citită la manometrul (6). Deplasarea transversală a plăcii au fost stabilită cu ajutorul microcomparatoarelor cu tijă (15) avînd precizia de 0,1 mm așezate în direcție radială pe nervuri prin intermediul unui dispozitiv format din elementele (9), (10), (11) cît și între nervuri. Corpul dispozitivului (1) este fixat pe suportul (4). Celelalte părți componente ale instalației sînt specificate în figura 7.4.

contra umidității și uleiului. S-au utilizat traductori electrici rezistivi de tip TER 10 H 120 cu rezistența $R = 130 \pm 0,5 \Omega$ și constanta $k = 1,95$, fabricate la INCERC - București. Traductorii electrici rezistivi s-au aplicat pe plăci în locurile specificate de figurile 7.1 și 7.2. Înainte de efectuarea măsurătorilor s-a făcut o echilibrare de „zero” (rezistivă și capacitivă) a punții tensometrice și o citire inițială. Pentru a evita eventualele erori s-au efectuat trei citiri la încărcare-descărcare a deformațiilor plăcilor cu nervuri. Datele experimentale au fost prelucrate luând în considerare valorile medii ale mărimilor citite.

7.2.4 Rezultate experimentale și discuții

Placa din aluminiu, prezentată în figura 7.1, are 8 nervuri și este încărcată cu o forță uniform distribuită de 0,1 MPa. Cu ajutorul traductoarelor electrici rezistivi s-au determinat

Tabelul 7.1

Metoda	$S = \frac{F}{R}$ MPa	0	0,24	0,48	0,6	0,72	0,96	1,0
		0	0,013	0,026	0,039	0,052	0,065	0,078
Analitică	σ_r [MPa]	--	11,6	23,2	34,8	46,4	58,0	69,6
	σ_φ [MPa]	--	19,34	38,68	58,02	77,36	96,70	116,04
	σ_{rn} [MPa]	--	51,7	19,3	-50,1	-31,7	66,8	71,1
	w [mm]	0,19	0,177	0,11	0,081	0,052	0,023	0
Energetică	σ_r [MPa]	--	10,23	6,75	3,36	-2,54	7,53	12,02
	σ_φ [MPa]	--	10,46	8,56	6,71	3,49	-3,49	-9,48
	σ_{rn} [MPa]	--	46,71	26,9	7,50	-2,60	99,15	11,1
	w [mm]	0,191	0,180	0,120	0,094	0,059	0,021	0
Elementului Finit	σ_r [MPa]	--	9,9	4,66	0,9	3,07	11,7	17,1
	σ_φ [MPa]	--	10,7	8,6	6,02	2,7	1,0	-0,1
	σ_{rn} [MPa]	--	50,7	30,0	4,6	3,0	1,0	17,1
	w [mm]	--	0,2	0,30	0,07	0,039	0,018	0
Experimentală	[MPa]	--	10,1	4,6	0,88	4,0	11,3	--
	σ_φ [MPa]	--	11,7	8,1	5,8	2,4	2,9	--
	σ_{rn} [MPa]	--	--	11,7	-4,7	1,0	-98,8	--
	w [mm]	--	0,15	0,1	0,06	0,03	--	--

deformațiile specifice pe direcțiile radiale și circumferențiale și tensiunile cu relațiile (7.2) și (7.3). Deplasările transversale ale plăcii au fost măsurate cu ajutorul microcomparatoarelor cu tijă. În tabelul 7.1 sînt sistematizate valorile pentru deplasările transversale și tensiunile principale stabilite cu metoda analitică, energetică, metoda elementului finit și cele determinate experimental.

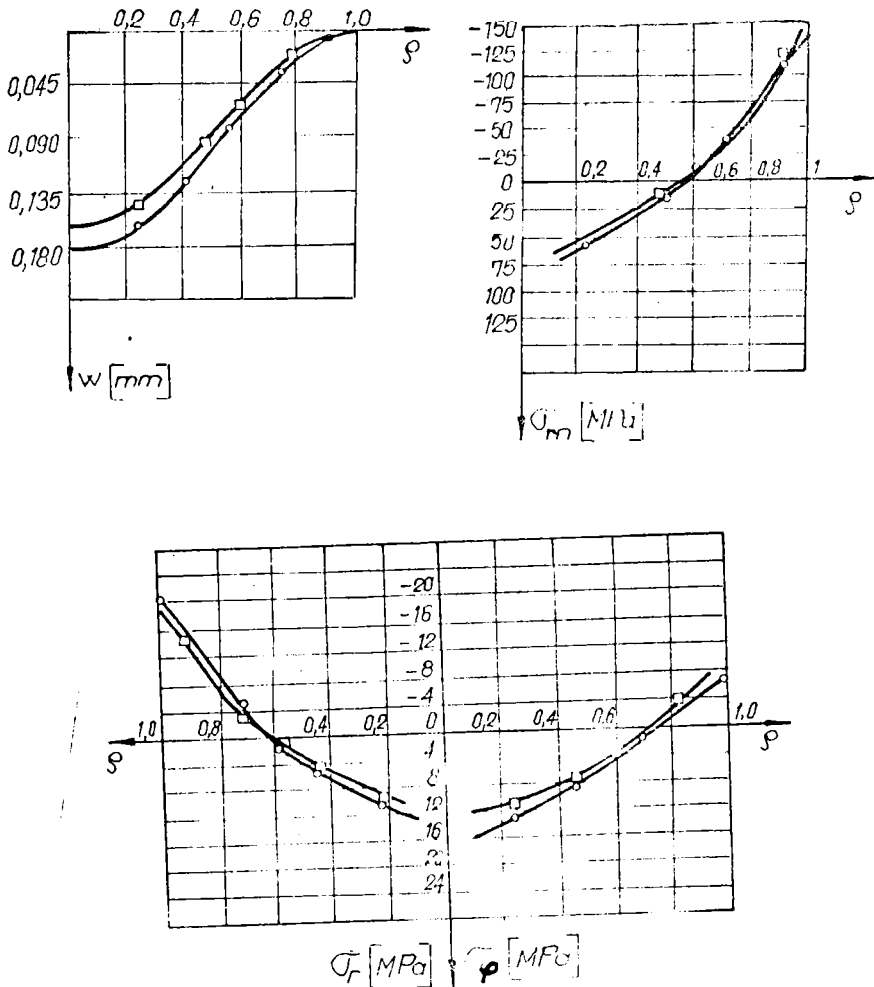


Fig. 7.5

În figura 7.5 sînt reprezentate grafic rezultatele obținute analitic și experimental. Din tabelul 7.1 și figura 7.5 rezultă că diferențele dintre rezultatele determinate analitic și cele stabilite experimental sînt ne semnificative de aceea relațiile obținute la studiul plăcilor circulare cu nervuri sînt recomandate pentru efectuarea calculului de rezistență și de rigiditate. Totodată rezultatele determinate analitic sînt comparabile cu cele stabilite cu metoda elementului finit diferența dintre ele ajungînd pînă la 9,3%.

În continuare se prezintă rezultatele experimentale stabilite la tipul de plăci prezentat în figura 7.2. Plăcile din figurile 7.2, a și 7.2, b avînd un număr diferit de nervuri, au fost încercate în două trepte de încărcare de 0,1 MPa și 0,2 MPa. S-au măsurat deplasările transversale cu ajutorul micro-comparatoarelor cu tijă în diferite puncte atît în dreptul nervurii cît și la porțiunea de placă cuprinsă între nervuri.

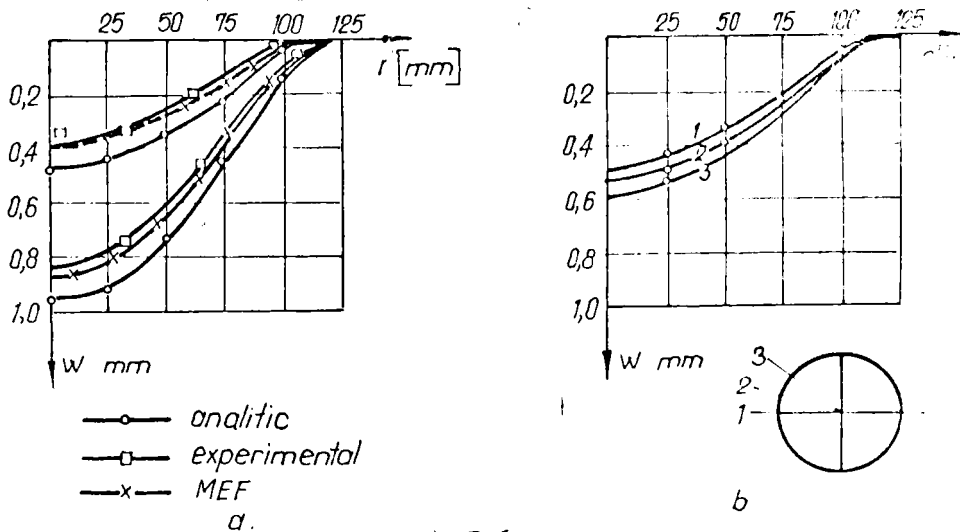


Fig.7.6

Mărimile experimentale au fost prelucrate luînd în considerare valorile medii ale deplasărilor citite. Rezultatele experimentale au fost comparate cu cele obținute analitic și cu metoda elementului finit. Starea de deformație obținută cu metoda elementului finit a fost stabilită cu programul de calcul STB38. Placa cu 4 nervuri (fig.7.2, a) a fost împărțită în patru

substructuri. Substructura rădăcină a fost discretizată în 13 elemente de bară și 120 elemente de placă interconectate în 140 de noduri. În figura 7.6 s-au prezentat grafic valorile deplasării punctelor din dreptul nervurii cît și a punctelor aparținînd porțiunii dintre nervuri. S-au găsit diferențe nesemnificative între rezultatele experimentale și cele determinate cu metoda elementului finit și diferențe mari care ajung pînă la 30-40% între rezultatele experimentale și cele stabilite analitic.

Placa cu 6 nervuri (fig.7.2,b) a fost împărțită în 6 substructuri. Substructura rădăcină a fost discretizată în 17 elemente de bară și 170 elemente de placă interconectate în 198 de noduri. În figura 7.7 se prezintă diagramele deplasării transversale ale plăcii pe baza rezultatelor analitice, numerice și experimentale.

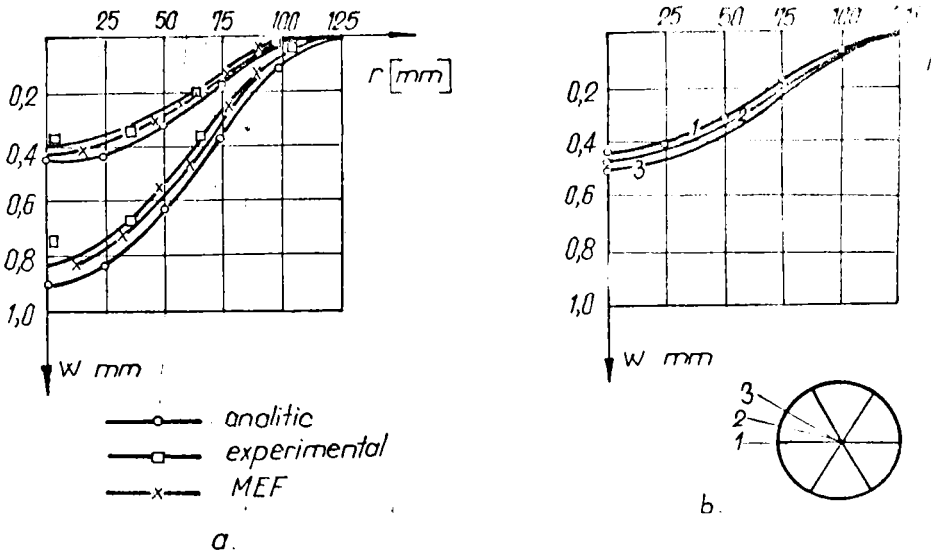


Fig.7.7

Diferențele dintre rezultatele obținute analitic și cele determinate experimental depășesc 12%.

În figurile 7.6,b și 7.7,b se reprezintă deplasarea punctelor din dreptul nervurii cît și a punctelor aflate pe razele (2) și (3) aparținînd porțiunii de placă dintre nervuri. Se constată că deplasările punctelor din dreptul nervurilor

sint mai mici decit cele ale punctelor aparținind porțiunii de placă cuprinsă între nervuri. La creșterea numărului de nervuri diferențele dintre deplasările acestor puncte se micșorează.

Pentru determinarea stării de deformație și de tensiune la placa circulară cu 8 nervuri (fig.7.2,c) s-a folosit programul de calcul SUBSM. Placa s-a împărțit în 8 substructuri (fig.7.8,a). Substructura rădăcină (fig.7.8,b) a fost discretizată în 13 elemente de bară și 78 elemente de placă.

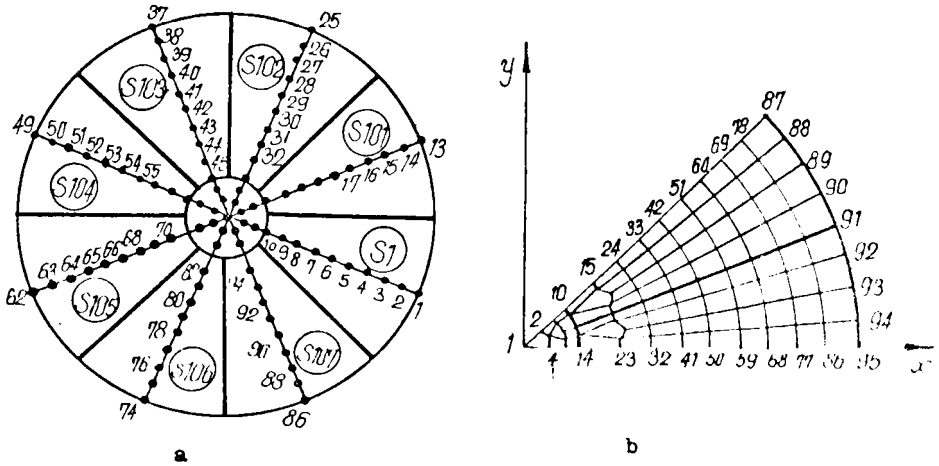


Fig.7.8

Experimental s-au determinat deplasările transversale și deformațiile specifice în diferite puncte ale plăcii. Amplasarea traductorilor electrici rezistivi este arătată în figura 7.2,c. În figura 7.9 sint prezentate comparativ diagramele deplasării transversale cît și a tensiunilor obținute experimental, cu metoda elementului finit și analitic pentru o încărcare cu o sarcină uniform distribuită de 0,1 MPa. Diferențele dintre deplasările măsurate și cele calculate variază între 4 - 9%. Totodată se constată diferențe nesemnificative dintre mărimile calculate cu metoda elementului finit și cele stabilite experimental. În zona nervurii inelare s-a obținut atât cu metoda elementului finit cît și prin metoda analitică o micșorare a tensiunilor normale σ_r și σ_φ .

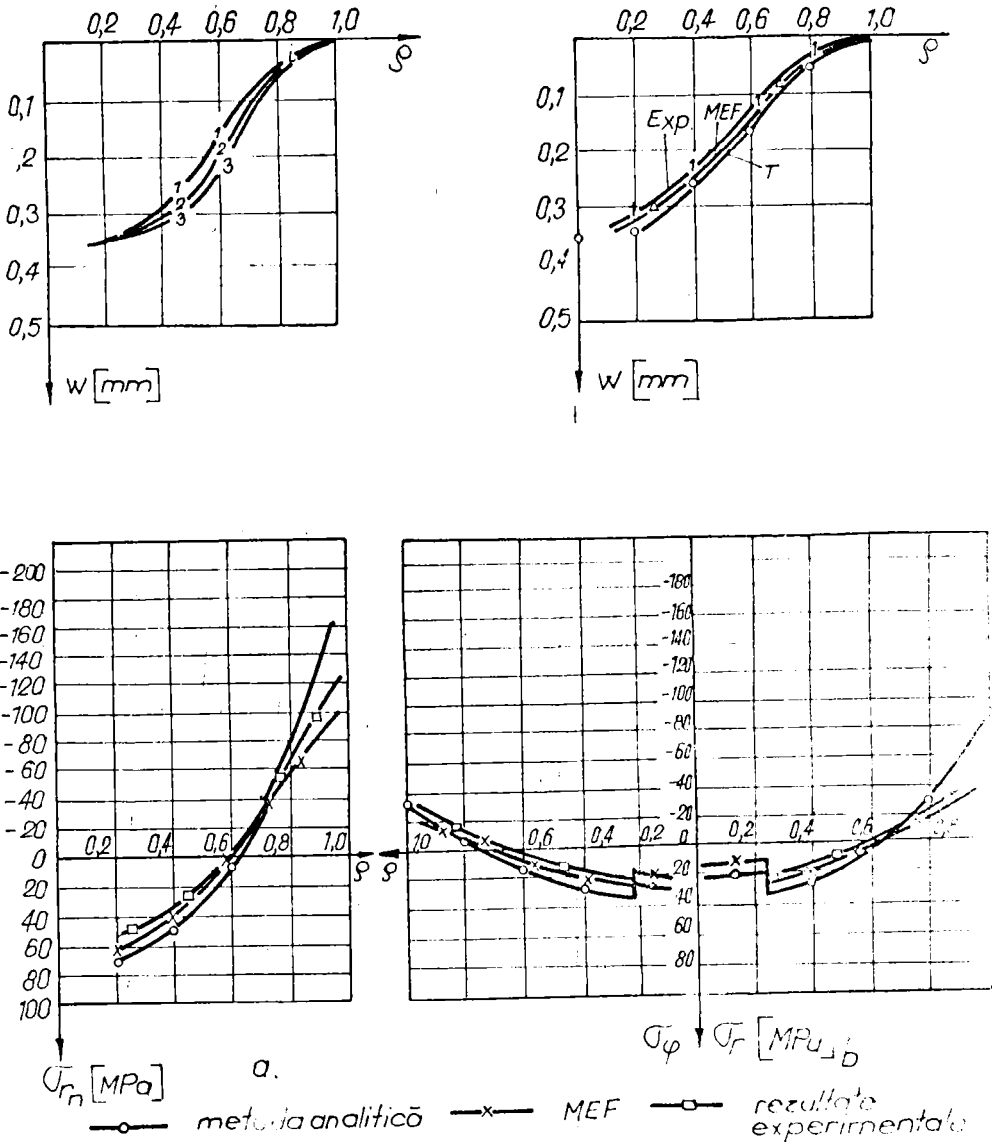


Fig.7.9

Pentru efectuarea calculului analitic s-au considerat două regiuni. O regiune interioară nervurii inelare în care s-au considerat relațiile de calcul ale plăcii izotrope și una exterioară în care s-au adoptat relațiile de calcul

ale plăcilor circulare cu nervuri radiale din capitolele 4 și 5. Pentru determinarea constantelor de integrare, pe lângă condițiile de legătură și existența mărimilor finite în centrul plăcii, s-a considerat condiția de continuitate la trecerea de la regiunea interioară la cea exterioară. În acest sens s-a egalat unghiul de rotire al normalei la suprafața mediană cu unghiul de rotire al nervurii inelare.

7.2.5 Concluzii

Din cercetările tensometrice, analitice și numerice efectuate asupra plăcilor circulare cu nervuri radiale rezultă:

- diferențele între valorile tensiunilor determinate experimental și analitic ajung la 9,3%;

- măsurile determinate experimental sînt mai mici decît cele stabilite analitic;

- relațiile de calcul pentru deplasări și tensiuni stabilite în capitolul 5 pot fi aplicate la plăcile circulare care au 8 sau mai multe nervuri radiale;

- programul de calcul cu elemente finite determină deplasare și tensiunea aproape în orice punct iar metoda tensometrică stabilește deformația și tensiunea numai în anumite puncte. Se constată că rezultatele determinate cu metoda elementului finit sînt mai mari decît cele stabilite experimental;

- diferențele între valorile mărimilor stabilite cu metoda analitică și metoda Rayleigh - Ritz sînt neimportante.

7.3 Studiul plăcilor cu ajutorul fotoelasticimetricii

7.3.1 Principiu

Un corp solid sub acțiunea forțelor se deformează și își pierde izotropia, devenind anizotrop din punct de vedere mecanic. În cazul când corpul este transparent el devine birefrigerent ca urmare a anizotropiei optice pe care o capătă în urma solicitării. Proprietatea de birefrigerență a corpurilor solide transparente se poate utiliza la determinarea stării de tensiune. În general, fotoelasticimetrica stabilește starea de tensiune în cazul problemelor plane ale teoriei elastici-tății. Totuși ea a fost extinsă și la studiul stărilor spațiale de solicitare prin metoda înghețării. Acest procedeu se bazează pe proprietatea materialelor de a păstra o deformație permanentă după tratamentul de încălzire a modelului solicitat. În lucrarea [224] sînt prezentate toate aspectele privind determinarea stării de tensiune cu metoda înghețării.

7.3.2 Modelul fotoelastic. Dispozitivul de încărcare.

Modelul fotoelastic s-a executat prin turnare la rece din ARALDIT D. Turnarea modelului s-a făcut într-o matriță confecționată din plexiglas. În figura 7.10 este prezentat modelul turnat. Placa model are 10 nervuri. După turnare modelul fotoelastic nu a mai fost prelucrat. Modelul fotoelastic a fost introdus în dispozitivul de solicitare prezentat în figura 7.11. Dispozitivul este format din două inele care fixează modelul. Între inelele (2) și (4) și model (1) au fost introduse garniturile de cauciuc (3). Fixarea modelului între cele două inele s-a făcut cu ajutorul șuruburilor (5).

Determinările experimentale au fost efectuate în cadrul laboratorului de rezistența materialelor de la Institutul Politehnic București.

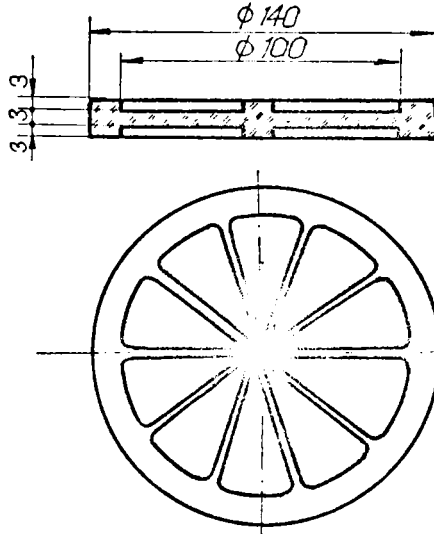


Fig.7.10

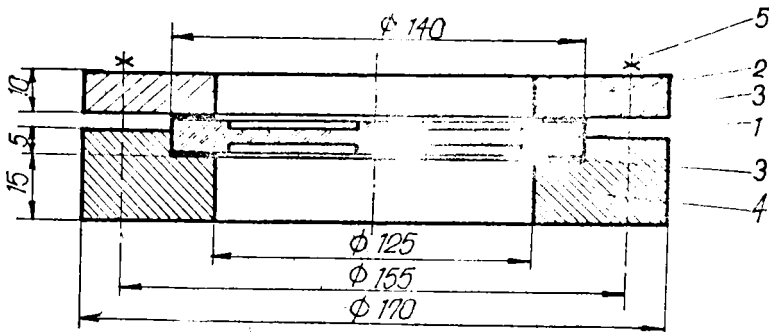


Fig.7.11

7.3.3 Determinări experimentale

Modelul a fost fixat în dispozitivul (fig.7.11) și încărcat cu o forță concentrată de 5 N aplicată în centrul plăcii prin intermediul unui cilindru de plexiglas având diametrul de 5 mm. Starea de tensiune a fost fixată în model cu tehnica înghețării. În acest scop, modelul neîncărcat încastrat pe con exterior cu ajutorul dispozitivului prezentat în figura 7.11 a fost introdus într-o etuvă programabilă și încălzită lent până la temperatura de 85°C . Temperatura a fost controlată cu o precizie de 5%. În etuvă a fost introdus în același timp un disc pentru determinarea constantei fotoelastice a materialului modelului.

La atingerea temperaturii de 85°C modelul și discul s-au lăsat o jumătate de oră pentru uniformizarea temperaturii. La temperatura de 85°C modelul a fost încărcat cu o forță concentrată aplicată în centrul iar discul comprimat diametral cu două forțe. Modelul încărcat s-a menținut la temperatura de 85°C 2 ore astfel ca temperatura să se uniformizeze în toată masa. În continuare modelul s-a răcit lent, prin scăderea temperaturii cu o viteză de 5°C/oră până la temperatura camerei. La temperatura camerei, forța exterioară s-a îndepărtat iar starea de tensiune din model a rămas fixată la starea macromoleculară. Modelul a fost secționat printr-o nervură și la mijlocul distanței dintre nervuri. Prin secționare s-au obținut felii avînd grosimea de 4 mm. Aceste felii au fost examinate în lumină monocromatică cu lungimea de undă $\lambda = 600 \mu\text{m}$ într-un polariscop cu lumină polarizată circular. Franjele izocromate care se observă pe suprafața modelului au fost fotografiate și sînt prezentate în figurile 7.12 și 7.13.

Din analiza fotoelastică, în planul elementului, rezultă izocromate obținute cu relația:

$$\sigma_1 - \sigma_2 = f_{\sigma} \cdot N, \quad (7.7)$$

unde f_{σ} este componenta fotoelastică a materialului, N - ordinul de bandă citit pe contur.

Constanta fotoelastică s-a determinat pe discul de etalonare și are valoarea $f_{\sigma} = 0,0182 \text{ N/mm}^2$ franjă. Pe baza acestor înregistrări s-au putut trasa curbele de variație ale tensiunilor. Utilizînd datele obținute din determinările fotoelastice s-au trasat curbele de variație ale tensiunii normale din dreptul nervurii cît și la mijlocul distanței dintre nervuri fiind reprezentate în figurile 7.12 și 7.13.

Prin aplicarea legii similitudinii se pot trece rezultatele de la model la prototip. Întrucît în dreptul nervurii tensiunile sînt proporționale cu P/h^3 atunci tensiunile din prototip se obțin cu relația:

$$\sigma_p = \sigma_m \times \frac{P_p}{P_m} \times \frac{h_m^3}{h_p^3} \times \frac{H_p}{H_m} \quad (7.8)$$

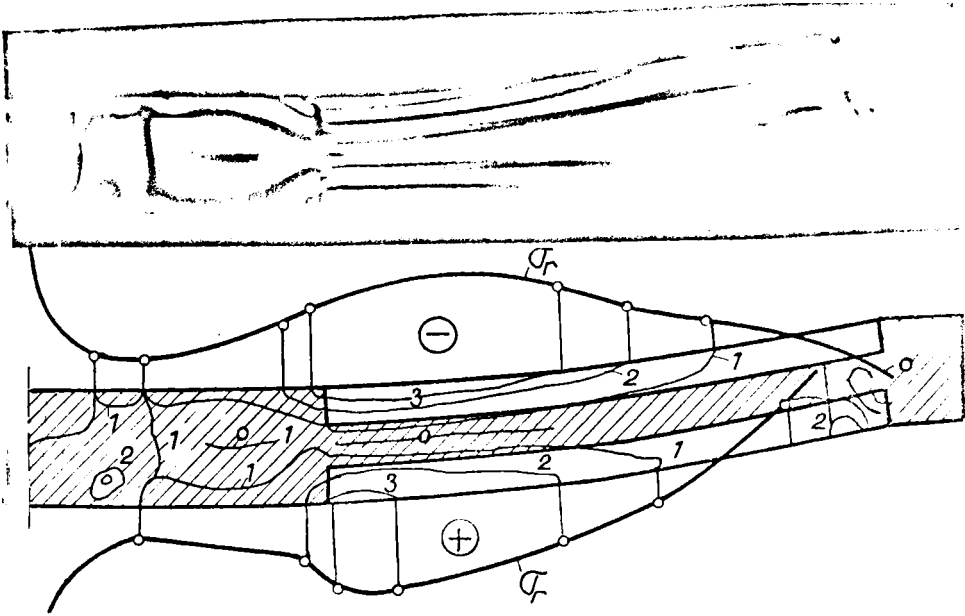


Fig.7.12

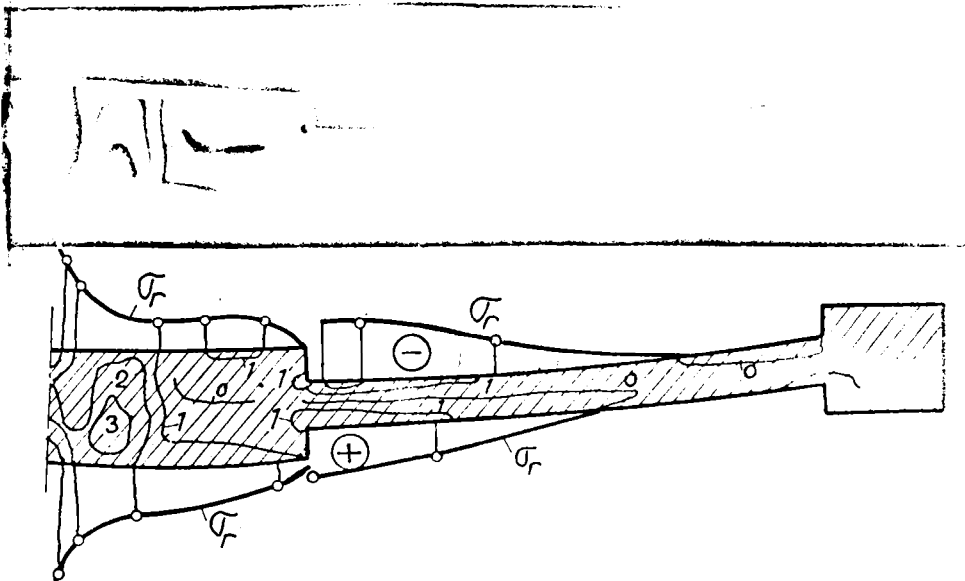


Fig.7.13

unde indicele p se referă la prototip iar m - la model,
 σ - tensiunea într-un punct, P - încărcarea, h - grosimea plăcii
 H - înălțimea nervurii.

Intrucât efectul coeficientului de contracție transversală nu poate fi neglijat se face o corecție a tensiunilor cu

$$k = \frac{1 - \nu_p^2}{1 - \nu_m^2} = \frac{1 - 0,3^2}{1 - 0,45^2} = 1,14. \quad (7.9)$$

La elementul de placă cuprins între nervuri este mai dificil de trecut rezultatele de la prototip datorită distorsiunilor care trebuiesc luate în calcul, adică introducerea unui coeficient de corecție destul de complicat. În figura 7.14 s-au

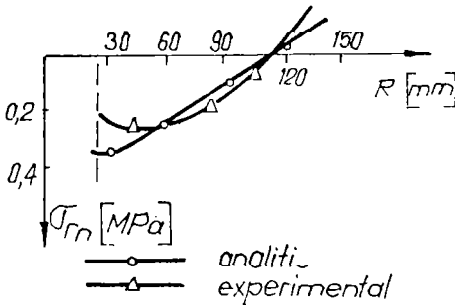


Fig.7.14

Incărcarea plăcii s-a făcut cu o forță concentrată de 100 N în centru.

7.3.4 Concluzii

Din examinarea curbelor din figurile 7.12 și 7.13 rezultă că tensiunea radială are o creștere în apropierea zonei de legare a nervurilor cu partea centrală, după care tensiunile scad și schimbă semnul în apropierea conturului. Totodată tensiunile radiale au valori mai mari în dreptul nervurilor decât în porțiunea dintre nervuri ceea ce confirmă relațiile de calcul stabilite în capitolul 5.

Comparând valorile tensiunilor determinate analitic cu cele stabilite experimental (fig.7.14) se constată o bună concordanță. Diferența dintre datele experimentale și cele analitice nu depășește 7%.

7.4 Studiul deplasărilor plăcilor cu nervuri cu ajutorul interferometriei holografice

7.4.1 Generalități. Principiul holografiei

Interferențria holografică oferă posibilitatea măsurării deplasărilor mici de ordinul jumătății lungimii de undă a luminii utilizate. Această metodă nouă constă în a înregistra alternativ pe aceeași placă holografică, holograma unei plăci ne-deformate și holograma aceleiași plăci supusă unei încărcări. Holograma înmagazinează informații atât cu privire la imaginea plăcii cât și la amplitudinea și defazaajul introdus plăcii când este iluminată cu o rază coerentă. La înregistrarea hologramei se utilizează schema interferometrică prezentată în figura 7.15

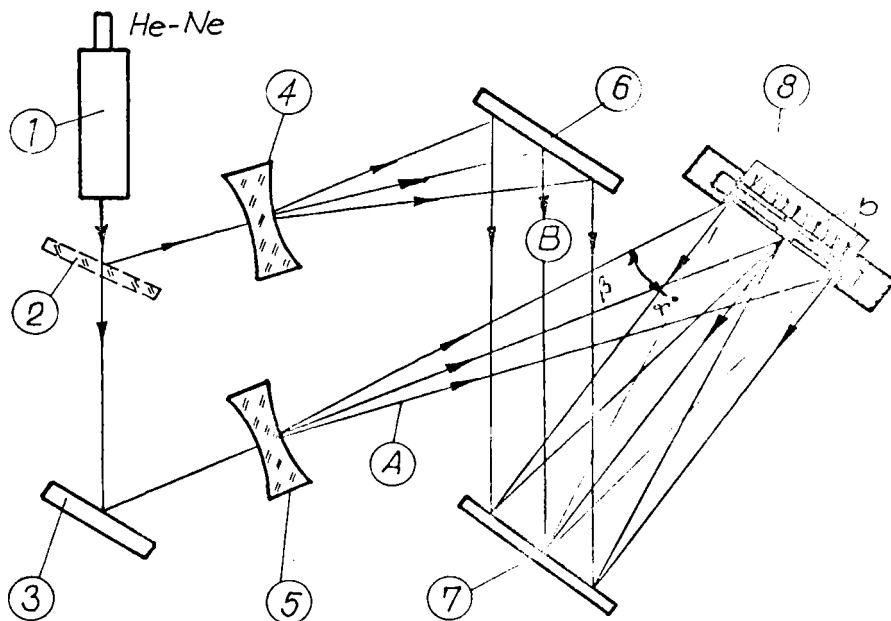


Fig.7.15

Laserul (1) tip HNA - 180, fabricat în Germania, He-Ne, avînd puterea de 50 mW emite lumina care se divide în două fascicule de către divizorul (2). Un fascicul de raze luminoase este folosit pentru iluminarea plăcii (8) prin intermediul lentilei (5) și a oglinzii (3), numit fascicul obiect (A). Lumina reflectată difuz de placă, ajunge pe placa fotografică (7)

sensibilizată de lungimea de undă $\lambda = 632,8$ nm cu a doua componentă a fascicului luminos numit fascicul de referință (D). Fasciculul de referință lărgit de lentila (4) iluminează direct placa fotografică (7) după schimbarea traiectoriei de către oglinda (6). Pe placa fotografică (7) se formează un câmp de interferență produs de fasciculul de referință și fasciculul obiect difuz reflectat de pe obiect. Defazajul și amplitudinea celor două raze componente, care interferează, vor influența să apară într-un punct pe placa fotografică, o amplificare sau diminuare, fapt ce se manifestă prin diferite pete luminoase. În stratul foto se memorează informația optică emisă de placă ca câmp de interferență. Pentru citirea informației stocate se va ilumina din nou placa cu un fascicul extins (A). În prima iluminare parțială se determină suprafața plăcii deformată iar în a doua iluminare parțială se stabilește suprafața plăcii deformată. La redarea hologramei se formează în același timp două reprezentări diferite ale suprafeței.

7.4.2 Modele. Dispozitivul de încărcare.

Pentru determinări experimentale s-au executat 3 modele din aluminiu având diametrul de 100 mm și un număr de 10 și 12 nervuri. Placa are grosimea de 3 mm iar nervurile înălțimea de 9 mm și lățimea de 3 mm. Modelele au fost fixate în dispozitivul de încărcare, prezentat în figura 7.16. Dispozitivul de încărcare este format dintr-un corp cu o cavitate și un locaș pentru fixarea modelelor. Modelul (5) este fixat în corpul dispozitivului de către inelul (4) prin intermediul a 12 șuruburi. Corpul dispozitivului este prins și susținut de suportul rigid (1) cu ajutorul tijelor (2). Uleiul introdus sub presiune de pompa cu șurub (2) în cavitatea corpului acționează asupra plăcii. Mărimea presiunii interioare din cavitate este măsurată de manometrul (6).

7.4.3 Interpretarea înregistrărilor holografice

Examinând o placă holografică dublu expusă și dezvoltată, într-o rază lărgită a laserului, se poate observa obiectul supus încercării sub forma unei imagini virtuale peste care

este suprapus un sistem de benzi inelare de interferență. Benzile inelare de interferență aproximează zonele plăcii care au aceeași săgeată, astfel încât în final se poate obține o vedere generală din punct de vedere al deformațiilor.

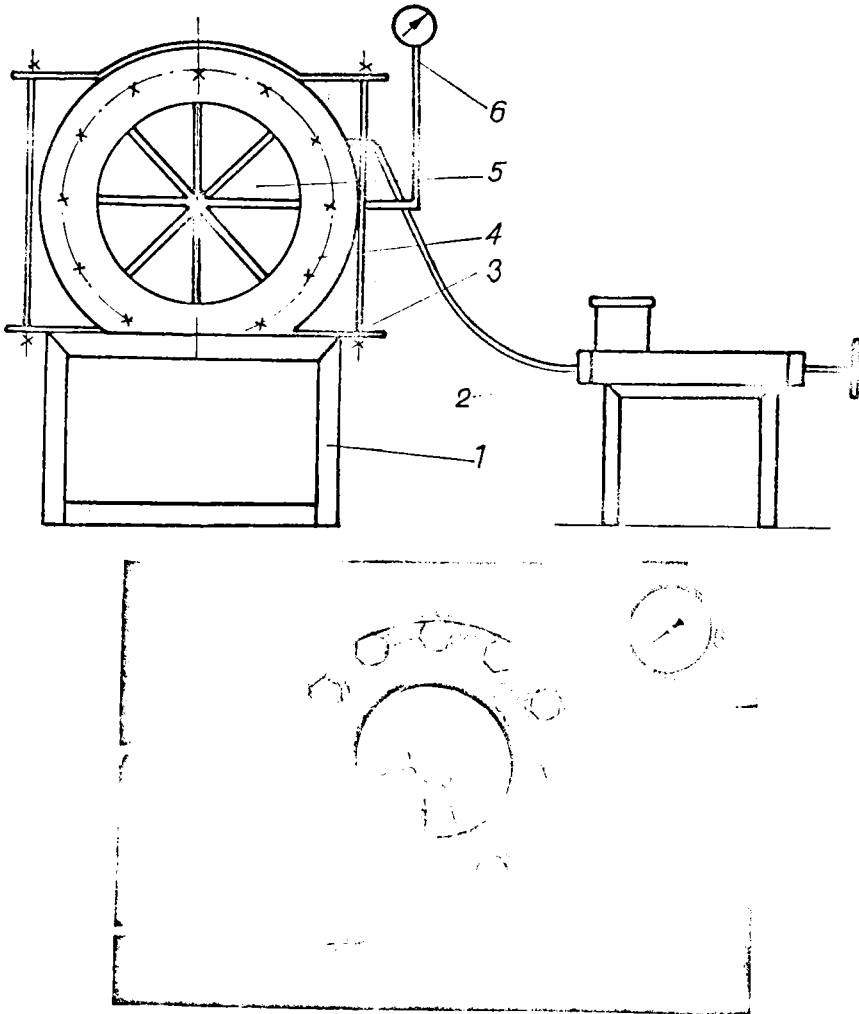


Fig. 7.16

Metoda de interpretare constă în stabilirea poziției geometrice a fiecărei benzi de interferență. Inelele se vor număra de la exteriorul plăcii, unde $w = 0$, spre interior. Întrucât s-a făcut o vizare frontală, pentru punerea în evidență a deplasării transversale, lungimea de undă λ se consideră

constantă în mărime iar pentru calculul săgeții, după [11] și [224], valabilă relația:

$$w_N = \frac{(2N + 1) \cdot \lambda}{2(\cos \alpha + \cos \beta)}, \quad (7.10)$$

unde $N = 1, 2, 3, \dots$ reprezintă ordinul benzii de interferență, α - unghiul de incidență al razei obiectului față de normala la placă, β - unghiul de observare față de normala la placă.

Intrucât unghiurile α și β depind de poziția fiecărui punct de pe benzile de interferență este necesar un dispozitiv care să stabilească coordonatele lor. Mărimea unghiurilor, după [11], va depinde de poziția sursei obiect, de dimensiunile plăcii precum și de poziția plăcii fotografice față de model. Nedispunând de un aparat de măsură adecvat s-a stabilit numai săgeata maximă.

În figurile 7.17 și 7.18 sînt prezentate interferogramele care dau cîmpul deplasării transversale făcîndu-se o analiză mai mult calitativă cînd plăcile sînt încastate pe contur și sînt încărcate cu o sarcină uniform distribuită specificată în tabelul 7.2.

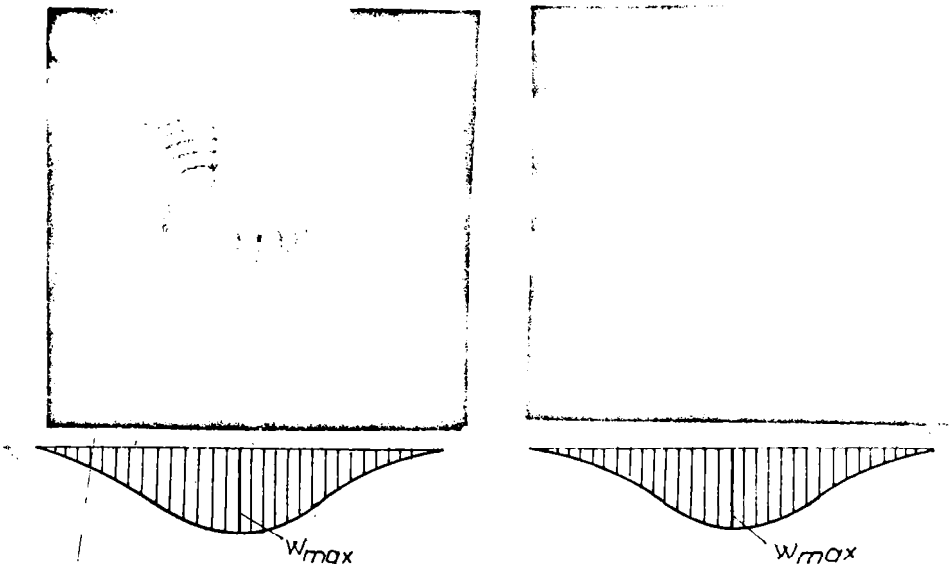


Fig. 7.17

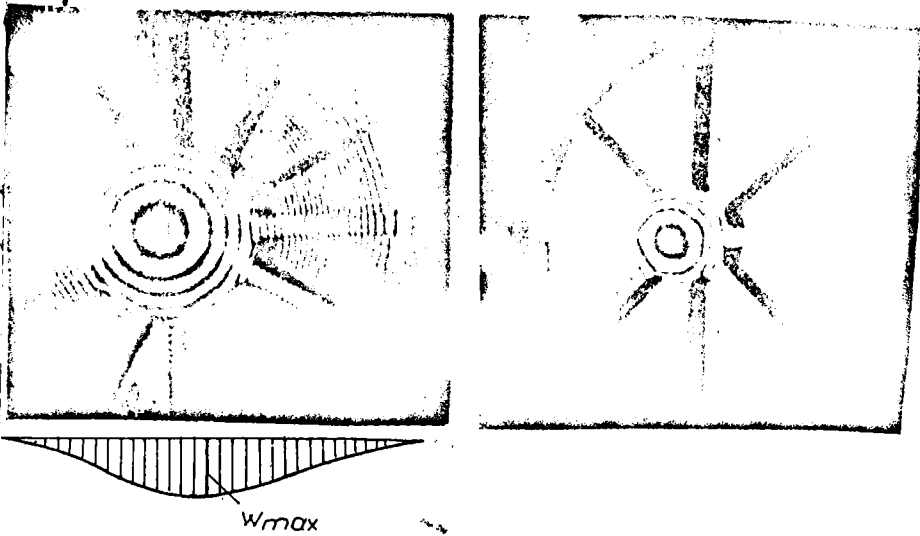


Fig. 7.18

Tabelul 7.2

Placa cu... nervuri	Presiunea [$\frac{N}{mm^2}$]	Deplasarea transversală $w = \dots$	
		Rayleigh - Ritz	Metoda analitică ($x = r/R\lambda_r$)
8	0,05	$\frac{pR^4}{64(1+\lambda_r)D} (1-s^2)^2$ $s = \frac{r}{R}$	$\frac{(R\lambda_r)^4}{16D} p \left[\frac{x^4}{4} - \frac{2x^3}{3} - 0,542x^2 + x + (x^2-1)\ln(1+x) + 0,00769 \right]$
10	0,07		$\frac{(R\lambda_r)^4}{16D} p \left[\frac{x^4}{4} - \frac{2x^3}{3} - 0,523x^2 + x + (x^2-1)\ln(1+x) + 0,0027 \right]$
12	0,1		$\frac{(R\lambda_r)^4}{16D} p \left[\frac{x^4}{4} - \frac{2x^3}{3} - 0,514x^2 + x + (x^2-1)\ln(1+x) + 0,0011 \right]$

Tabelul 7.3

Placa cu	Metoda				
	Experiment.	Analitică		Rayleigh - Ritz	
	w_m [mm]	w_e [mm]	$\delta\% = \frac{w_c - w_m}{w_c} \%$	w_c [mm]	$\delta\% = \frac{w_c - w_m}{w_c}$
8nervuri	$7,44 \cdot 10^{-3}$	$8,3 \cdot 10^{-3}$	10	$8,8 \cdot 10^{-3}$	15
10nervuri	$9,45 \cdot 10^{-3}$	$8,6 \cdot 10^{-3}$	6,4	$10,5 \cdot 10^{-3}$	10
12nervuri	$12,26 \cdot 10^{-3}$	$12,79 \cdot 10^{-3}$	4	$12,9 \cdot 10^{-3}$	4,9

În tabelul 7.2 sînt prezentate relațiile de calcul pentru calculul deplasării transversale la plăcile circulare cu nervuri radiale.

Experimental, săgeata maximă se stabilește cu relația (7.8) cînd $\alpha = 10^\circ$, $\beta = 55^\circ$ iar ordinul benzii de interferență se determină pentru fiecare caz în parte, din figurile 7.17 și 7.18. Rezultatele determinate experimental și analitic (tabelul 7.2) sînt centralizate în tabelul 7.3. Din analiza valorilor deplasărilor determinate prin interferometrie holografică, metoda analitică și metoda Rayleigh-Ritz se constată o concordanță satisfăcătoare. Totodată pe baza benzilor inelare de interferenție s-a stabilit forma deformată a plăcilor circulare cu nervuri.

7.4.4 Concluzii

Prin aplicarea tehnicii holografice cu dublă expunere au fost rezolvate următoarele probleme:

- punerea în evidență a comportării complexe a plăcilor circulare cu nervuri care lucrează ca un tot unitar. Deformația lor este simetrică avînd benzile de interferență de formă inelară. În zona centrală, unde există o parte centrală rigidă (îngroșată) la care nervurile sînt legate, panta suprafeței deformată este mică, adică are loc o rărire a inelelor de interferență;
- verificarea relațiilor de calcul ale deplasării transversale stabilite în capitolul 5;
- la creșterea încărcării crește foarte mult ordinul benzilor de interferență iar identificarea acestora chiar cu aparatura optică cea mai sofisticată ar deveni imposibilă (fig. 7.18, b - placa cu 8 nervuri solicitată cu o sarcină uniform distribuită de 0,5 MPa);
- sensibilitatea deosebită a metodei interferometriei holografice oferă posibilități suplimentare în cercetare;
- obținerea formei deformată a plăcii calitativ.

8 CONCLUZII FINALE

În lucrarea de față s-a urmărit să se studieze comportarea statică a plăcii circulare cu nervuri radiale încărcată cu forțe normale și conținute în planul median al plăcii. În special, lucrarea reflectă determinarea teoretică și experimentală a stărilor de deformație și de tensiune și alegerea convenabilă a dimensiunilor la placa circulară cu nervuri radiale în raport cu placa circulară fără nervuri.

Dintre contribuțiile originale aduse de autor în teza de doctorat se menționează:

1. Sistematizarea cercetărilor efectuate privind calculul plăcilor circulare cu nervuri radiale prin:

1.1 evidențierea modului de mărire a rigidității și rezistenței plăcilor circulare prin folosirea de materiale izotrope cît și prin folosirea nervurilor poate fi urmărită în subcapitolul 2.1;

1.2 definirea conceptului de placă circulară nervurată și efectuarea unei clasificări a multitudinii soluțiilor constructive de plăci circulare cu nervuri (fig.2.1);

1.3 analizarea amănunțită a principalelor aplicații tehnice ale plăcilor circulare nervurate și stabilirea importanței utilizării lor menționată în paragraful 2.3;

1.4 sistematizarea metodelor de calcul ale plăcilor circulare cu nervuri radiale prezentată în literatura de specialitate și precizarea obiectivelor pentru această lucrare ;

2. Tratarea unitară a deformației plăcilor circulare izotrope și a rețelelor de bare așezate în direcție radială și circumferențială în vederea analizării plăcilor circulare cu nervuri radiale prin:

2.1 formularea unei teorii matematice unitare pentru deducerea deplasării (3.16), deformației (3.23), componentelor tensiunii (3.27) și a eforturilor secționale (3.30 și 3.31) pentru plăcile circulare izotrope solicitate la încovoiere cu întindere sau compresiune;

2.2 stabilirea, în mod original, a eforturilor din barele rețelei, repartizate pe unitatea de lungime, în funcție de

componentele deplasării punctelor aparținând unui plan de referință (relațiile 3.72 la 3.79);

3. Formularea în deplasări a calculului plăcilor circulare cu nervuri urmărindu-se:

3.1 stabilirea relațiilor de calcul ale eforturilor secționale la plăcile circulare cu nervuri radiale și inelare pe baza ortotropiei de structură (relațiile 4.16; 4.18; 4.20; 4.25; 4.29; 4.31);

3.2 verificarea eforturilor secționale prin suprapunerea eforturilor de la placa circulară izotropă și a eforturilor de la rețelele de bare (paragraful 4.6.2);

3.3 determinarea ecuațiilor diferențiale care descriu deformarea acestor plăci în cazul solicitării de încovoierie cu întindere sau compresiune și particularizarea lor pentru plăcile circulare cu nervuri radiale (4.51; 4.52; 4.53);

3.4 verificarea ecuațiilor diferențiale care descriu deformarea plăcilor circulare cu nervuri radiale cu ajutorul metodei variaționale (relațiile 4.71; 4.72; 4.73) și a eforturilor secționale (4.93; 4.94);

4. Studiul stărilor de deformare și de tensiune la solicitări statice în condiții diferite de încărcare și rezemare, urmărind:

4.1 determinarea soluției ecuației diferențiale care descrie deformarea unui disc cu nervuri radiale de secțiune constantă (5.18);

4.2 stabilirea soluției generale a încovoierii plăcii circulare cu nervuri radiale de secțiune constantă încărcată cu o forță uniform distribuită (5.43) și cu o forță concentrată aplicată în centrul plăcii (5.72);

4.3 stabilirea soluției generale în cazul plăcilor inelare cu nervuri radiale în condiții diferite de încărcare (paragraful 5.2.1.3);

4.4 determinarea stărilor de deformare și de tensiune pentru diferite cazuri particulare de rezemare și încărcare;

4.5 trasarea de diagrame care să concentreze o mare parte din rezultatele stabilite teoretic și să le compare cu diagrame corespunzătoare ale plăcilor circulare

izotrope pentru justificarea creșterii rigidității plăcilor cu nervuri;

4.6 determinarea soluției ecuației diferențiale care descrie deformarea plăcii circulare cu nervuri de secțiune variabilă prezentată în paragraful 5.2.2;

4.7 stabilirea soluțiilor aproximative cu ajutorul seriilor pentru ecuațiile diferențiale ale plăcilor cu nervuri radiale de secțiune variabilă care nu pot fi integrate (paragraful 5.3.1). Se determină soluția ecuației diferențiale care descrie deformarea simetrică a plăcii prin transformarea ei până se obține o ecuație diferențială liniară de ordinul doi cu coeficienți variabili. Soluția este prezentată sub forma unei serii a cărei convergență este verificată cu ajutorul criteriului lui d'Alembert,

4.8 stabilirea unei metodologii de calcul variațional utilizând teorema de minim a energiei potențiale folosind formularea matricială care asigură premisele utilizării comode a calculatorului electronic prezentată în paragraful 5.3.2;

4.9 determinarea influenței pe care o are creșterea mărimii secțiunii nervurilor asupra creșterii rigidității plăcilor este prezentată în figurile 5.14,

4.10 utilizarea metodei elementului finit pentru investigarea amănunțită a stărilor de deformație și de tensiune prin:

- folosirea programului de calcul SAP IV și
- elaborarea unui program de calcul de analiză statică cu aplicarea substructurării denumit SUBSM [154]. La elaborarea programului SUBSM s-a avut în vedere posibilitatea substructurării pe mai multe nivele având o mare elasticitate în abordarea structurilor complexe cât și a plăcilor circulare cu nervuri;

4.11 folosirea programului de calcul SUBSM și SAP IV pentru calculul plăcilor circulare cu nervuri radiale au pus în evidență:

- deplasarea transversală mai mare a punctelor aflate între nervuri decât cele din dreptul nervurilor;
- justificarea teoriei de calcul adoptată în capitolele 4 și 5 pentru plăcile circulare care au un număr mai mare sau egal cu 8 nervuri;

- avantajul utilizării programului de calcul SUBSM care efectuează calculul într-un timp mai mic de cel puțin 2 ori față de programul SAP IV;

5. Adoptarea unei metode de calcul (cap.6) care să permită alegerea convenabilă a dimensiunilor plăcii circulare cu nervuri radiale în raport cu placa fără nervuri. Această metodă de calcul are în vedere micșorarea greutateii plăcii cu nervuri în comparație cu cea fără nervuri când ambele au aceeași rigiditate rezistență considerând raportul volumelor lor să fie subunitar.

6. Explorarea experimentală a stărilor de tensiune și de deformare prin măsurători tensometrice, prin fotoelasticitate și prin interferometrie holografică:

6.1 s-a proiectat un dispozitiv original pentru verificarea experimentală a stărilor de deformare și de tensiune în cazul solicitării axial simetrice cu o sarcină uniform distribuită. Măsurătorile au fost efectuate cu ajutorul mărcilor tensometrice pentru deformații specifice și cu microcomparatoare cu tijă pentru săgeți. Rezultatele obținute au validat ipotezele de calcul prezentate în cuprinsul lucrării.

6.2 s-a aplicat pentru prima dată metoda fotoelasticității la studiul tensiunilor în placa circulară cu nervuri radiale. Analiza stării de tensiune și de deformare s-a făcut în dreptul nervurii cât și în porțiunea dintre nervuri.

6.3 prin aplicarea interferometriei holografice a fost determinată valoarea săgeții fără a ține seama de caracteristicile mecanice ale materialului plăcii (tabelul 7.3 și relația 7.10) și s-a pus în evidență comportarea ca un tot unitar a plăcilor circulare nervurate radial.

Desigur rămân suficiente probleme care ar merita interes pentru cercetările stărilor de deformare și de tensiune, cum ar fi: stabilirea stărilor de deformare și de tensiune când nervurile au axele aşezate excentric față de planul median al plăcii.

9 ANEXE

A.1 Noțiuni de geometrie diferențială și analiză tensorială

Sistemul de coordonate Oxyz permite stabilirea unei corespondențe între numere și punctele spațiului. Descrierea deformării poate fi făcută dacă se identifică particulele într-o configurație de referință cu pozițiile lor date de vectorul de poziție în configurația respectivă.

În raport cu sistemul de coordonate cartezian Oxyz, poziția unui punct material Q al plăcii este definit de vectorul:

$$\mathbf{r} = x \cdot \mathbf{i} + y \cdot \mathbf{j} + z \cdot \mathbf{k}, \quad (\text{A.1.1})$$

unde \mathbf{i} , \mathbf{j} , \mathbf{k} sînt versorii axelor de coordonate ce se determină, după [132] și [205], cu relațiile:

$$\mathbf{i} = \frac{\partial \mathbf{r}}{\partial x}; \quad \mathbf{j} = \frac{\partial \mathbf{r}}{\partial y}; \quad \mathbf{k} = \frac{\partial \mathbf{r}}{\partial z}. \quad (\text{A.1.2})$$

Întrucît, legătura între coordonatele carteziene și cele cilindrice este dată de relațiile:

$$x = r \cdot \cos \varphi; \quad y = r \cdot \sin \varphi; \quad z = z, \quad (\text{A.1.3})$$

vectorul \mathbf{r} poate fi scris și sub forma:

$$\mathbf{r} = r \cdot \cos \varphi \cdot \mathbf{i} + r \sin \varphi \cdot \mathbf{j} + z \cdot \mathbf{k}. \quad (\text{A.1.4})$$

Coordonatele x, y, z (sau r, φ, z) care individualizează particulele corpului continuu, la momentul inițial, se numesc variabile Lagrange sau coordonate materiale. Studiul solicitării în coordonate materiale se va numi descriere materială. Descrierea materială se folosește în studiul deformării elastice a solidelor deformabile cînd deplasările punctelor sînt mici (au caracter infinitezimal [205]). În acest caz, pentru o descriere a stărilor deformată și nedeformată ale plăcii se va utiliza un singur reper de referință. Coordonatele X, Y, Z la un moment dat t sînt numite variabilele lui Euler. Ele se folosesc la descrierea spațială cînd deplasările sînt mari și \mathbf{r}

descrierea mișcării particulelor devine dificilă. La solici-
tări externe punctele unui corp solid continuu se vor deplasa.
Deplasarea (ecuația de mișcare) a unei particule va fi defini-
tă de ecuația:

$$\mathbf{R} = \mathcal{X}(\mathbf{r}, t) . \quad (\text{A.1.5})$$

Deplasarea particulei poate fi împărțită în:

- mișcare de corp rigid când corpul își schimbă
poziția în spațiu. În acest caz, viteza și accelerația la un
moment dat t , vor fi date de funcțiile:

$$\mathbf{v} = \dot{\mathbf{R}} = \frac{d}{dt} \mathcal{X}(\mathbf{r}, t) ; \quad \mathbf{a} = \ddot{\mathbf{R}} = \frac{d^2}{dt^2} \mathcal{X}(\mathbf{r}, t), (\text{A.1.6})$$

unde \mathbf{r} se consideră constant, și

- deplasări produse prin deformare descrise de va-
riația funcției \mathcal{X} în raport cu variabila \mathbf{r} , când t
este fixat. În acest caz, ecuația (A.1.5) poate fi scrisă sub
forma:

$$\mathbf{R} = \mathbf{r} + \mathbf{u}(\mathbf{r}) , \quad (\text{A.1.7})$$

unde \mathbf{u} reprezintă vectorul deplasării particulei din confi-
gurația nedeformată în configurația deformată.

În punctul \mathcal{Q} se introduce o bază locală a cărui vectori
 $\mathbf{g}_r, \mathbf{g}_\varphi, \mathbf{g}_z$ se determină, după [132] și [236], cu relațiile:

$$\mathbf{g}_r = \frac{\partial \mathbf{r}}{\partial r} = \cos \varphi \cdot \mathbf{i} + \sin \varphi \cdot \mathbf{j} ;$$

$$\mathbf{g}_\varphi = \frac{\partial \mathbf{r}}{\partial \varphi} = r(-\sin \varphi \cdot \mathbf{i} + \cos \varphi \cdot \mathbf{j}) ; \quad (\text{A.1.8})$$

$$\mathbf{g}_z = \frac{\partial \mathbf{r}}{\partial z} = \mathbf{k} .$$

Versorii vectorilor (A.1.8) sînt:

$$\mathbf{i}_r = \frac{1}{A} \frac{\partial \mathbf{r}}{\partial r} = \frac{1}{A} \mathbf{g}_r = \cos \varphi \cdot \mathbf{i} + \sin \varphi \cdot \mathbf{j} ;$$

$$\mathbf{i}_\varphi = \frac{1}{B} \frac{\partial \mathbf{r}}{\partial \varphi} = \frac{1}{B} \mathbf{g}_\varphi = -\sin \varphi \cdot \mathbf{i} + \cos \varphi \cdot \mathbf{j} ; \quad (\text{A.1.9})$$

$$\mathbf{i}_z = \mathbf{i}_r \times \mathbf{i}_\varphi = \mathbf{k} .$$

unde

$$A^2 = \left(\frac{\partial r}{\partial r}\right)^2 = \left(\frac{\partial x}{\partial r}\right)^2 + \left(\frac{\partial y}{\partial r}\right)^2 + \left(\frac{\partial z}{\partial r}\right)^2 = 1;$$

$$B^2 = \left(\frac{\partial r}{\partial \varphi}\right)^2 = \left(\frac{\partial x}{\partial \varphi}\right)^2 + \left(\frac{\partial y}{\partial \varphi}\right)^2 + \left(\frac{\partial z}{\partial \varphi}\right)^2 = r^2. \quad (\text{A.1.10})$$

Baza locală g_α ($\alpha = r, \varphi, z$) se caracterizează prin numerele

$$g_{\alpha\beta} = g_{\beta\alpha} = g_\alpha \cdot g_\beta, \quad (\text{A.1.11})$$

care determină lungimea vectorilor bazei

$$\|g_\alpha\|^2 = g_\alpha \cdot g_\alpha = g_{\alpha\alpha}, \quad (\text{A.1.12})$$

și unghiurile dintre vectori

$$g_\alpha \cdot g_\beta = \|g_\alpha\| \|g_\beta\| \cos \gamma_{\alpha\beta} \quad (\text{A.1.13})$$

Numerele $g_{\alpha\beta}$ se numesc componentele covariante ale tensorului metric din sistemul de coordonate dat. În cazul coordonatelor cilindrice

$$g_{rr} = 1; \quad g_{\varphi\varphi} = r^2; \quad g_{zz} = 1, \quad (\text{A.1.14})$$

$$g_{r\varphi} = g_{\varphi r} = g_{zr} = 0, \quad (\text{A.1.15})$$

întrucât

$$g_{rr} = g_r \cdot g_r = (\cos \varphi \cdot \hat{i} + \sin \varphi \cdot \hat{j})^2 = 1;$$

$$g_{\varphi\varphi} = g_\varphi \cdot g_\varphi = r^2 (-\sin \varphi \cdot \hat{i} + \cos \varphi \cdot \hat{j})^2 = r^2;$$

$$g_{zz} = g_z \cdot g_z = \hat{k} \cdot \hat{k} = 1,$$

unde

$$\hat{i}^2 = \hat{i} \cdot \hat{i} = 1; \quad \hat{j}^2 = \hat{j} \cdot \hat{j} = 1; \quad \hat{k}^2 = \hat{k} \cdot \hat{k} = 1;$$

$$\hat{i} \cdot \hat{j} = \hat{j} \cdot \hat{k} = \hat{k} \cdot \hat{i} = 0.$$

În afară de baza dată g_α ($\alpha = r, \varphi, z$), în calculul tensorial intră baza reciprocă g^α , care este legată de baza covariantă cu relațiile:

$$g^\alpha = \varepsilon^{\alpha\beta} g_\beta; \quad g_\alpha = \varepsilon_{\alpha\beta} g^\beta, \quad (\text{A.1.16})$$

unde

$$\varepsilon^{\alpha\beta} = g^\alpha g^\beta, \quad (\text{A.1.17})$$

sînt componentele contravariante ale tensorului metric.

Din relațiile (A.1.9), rezultă:

$$g_\alpha g_\beta = \delta_\beta^\alpha \quad (\text{A.1.14})$$

unde δ_β^α este simbolul lui Kronecker.

Din relațiile (A.1.16), (A.1.17), (A.1.14) și (A.1.15) se obține:

$$\varepsilon^{rr} = 1; \quad \varepsilon^{\varphi\varphi} = \frac{1}{r^2}; \quad \varepsilon^{zz} = 1, \quad (\text{A.1.18})$$

$$\varepsilon^{r\varphi} = \varepsilon^{\varphi z} = \varepsilon^{zr} = 0. \quad (\text{A.1.19})$$

Vectorii reciproci, conform relațiilor (A.1) și

(A.1.19) vor fi:

$$g^r = \frac{1}{\sqrt{g}} (g_\varphi \times g_z) = \cos \varphi \cdot i + \sin \varphi \cdot j;$$

$$g^\varphi = \frac{1}{\sqrt{g}} (g_z \times g_r) = \frac{1}{r} (-\sin \varphi \cdot i + \cos \varphi \cdot j); \quad (\text{A.1.21})$$

$$g^z = \frac{1}{\sqrt{g}} (g_r \times g_\varphi),$$

unde

$$\sqrt{g} = g_r \cdot (g_\varphi \times g_z) = r. \quad (\text{A.1.22})$$

După cum rezultă din relațiile de definiție vectorii bazei locale au mărimi variabile. Derivata vectorului g_α în raport cu β , după [236], se determină cu relația:

$$g_{\alpha,\beta} = \left\{ \begin{matrix} \delta \\ \alpha \quad \beta \end{matrix} \right\} g_\delta \quad (\text{sumare după } \delta) \quad (\text{A.1.23})$$

unde

$$\left\{ \begin{matrix} \delta \\ \alpha \quad \beta \end{matrix} \right\} = \frac{1}{2} \varepsilon^{r\varphi} (g_{\varphi\alpha,\beta} + g_{\beta\varphi,\alpha} - g_{\alpha\beta,\varphi}). \quad (\text{A.1.24})$$

$$\frac{\partial i_r}{\partial r} = -\frac{1}{\sqrt{\varepsilon_{\varphi\varphi}}} \frac{\partial \sqrt{\varepsilon_{rr}}}{\partial \varphi} i_\varphi - \frac{1}{\sqrt{\varepsilon_{zz}}} \frac{\partial \sqrt{\varepsilon_{rr}}}{\partial z} i_z = 0;$$

$$\frac{\partial i_r}{\partial \varphi} = \frac{1}{\sqrt{\varepsilon_{rr}}} \frac{\partial \sqrt{\varepsilon_{\varphi\varphi}}}{\partial r} i_\varphi = i_\varphi; \quad \frac{\partial i_r}{\partial z} = \frac{1}{\sqrt{\varepsilon_{rr}}} \frac{\partial \sqrt{\varepsilon_{zz}}}{\partial r} i_z = 0;$$

$$\frac{\partial i_\varphi}{\partial r} = \frac{1}{\sqrt{\varepsilon_{\varphi\varphi}}} \frac{\partial \sqrt{\varepsilon_{zz}}}{\partial \varphi} i_r = 0; \quad \frac{\partial i_\varphi}{\partial z} = \frac{1}{\sqrt{\varepsilon_{\varphi\varphi}}} \frac{\partial \sqrt{\varepsilon_{zz}}}{\partial \varphi} i_z = 0;$$

$$\frac{\partial i_\varphi}{\partial \varphi} = -\frac{1}{\sqrt{\varepsilon_{zz}}} \frac{\partial \sqrt{\varepsilon_{\varphi\varphi}}}{\partial z} i_z - \frac{1}{\sqrt{\varepsilon_{rr}}} \frac{\partial \sqrt{\varepsilon_{\varphi\varphi}}}{\partial r} i_r = -i_r;$$

$$\frac{\partial i_z}{\partial r} = \frac{1}{\sqrt{\varepsilon_{zz}}} \frac{\partial \sqrt{\varepsilon_{zz}}}{\partial z} i_z = 0; \quad \frac{\partial i_z}{\partial \varphi} = \frac{1}{\sqrt{\varepsilon_{zz}}} \frac{\partial \sqrt{\varepsilon_{\varphi\varphi}}}{\partial z} i_\varphi = 0;$$

$$\frac{\partial i_z}{\partial z} = -\frac{1}{\sqrt{\varepsilon_{rr}}} \frac{\partial \sqrt{\varepsilon_{zz}}}{\partial r} i_r - \frac{1}{\sqrt{\varepsilon_{\varphi\varphi}}} \frac{\partial \sqrt{\varepsilon_{zz}}}{\partial \varphi} i_\varphi = 0. \quad (\text{A.1.25})$$

Intrucît

$$\frac{\partial R_o}{\partial r} = (1 + \frac{\partial u_o}{\partial r}) \cdot i_r + \frac{\partial v_o}{\partial r} \cdot i_\varphi + \frac{\partial w_o}{\partial r} \cdot i_z; \quad (\text{A.1.26})$$

$$\frac{\partial R_o}{\partial \varphi} = (\frac{\partial u_o}{\partial \varphi} + v_o) \cdot i_r + (r + u_o + \frac{\partial v_o}{\partial \varphi}) \cdot i_\varphi + \frac{\partial w_o}{\partial \varphi} \cdot i_z, \quad (\text{A.1.27})$$

se obțin componentele versorului \mathbf{n} , unde

$$\mathbf{n} = \frac{L \cdot i_r + M \cdot i_\varphi + N \cdot i_z}{\sqrt{L^2 + M^2 + N^2}},$$

iar

$$L = \frac{\partial v_o}{\partial r} \frac{\partial w_o}{\partial \varphi} - \frac{\partial v_o}{\partial \varphi} \frac{\partial w_o}{\partial r} - (r + u_o) \frac{\partial w_o}{\partial \varphi};$$

$$M = v_o \frac{\partial w_o}{\partial r} + \frac{\partial u_o}{\partial \varphi} \frac{\partial w_o}{\partial r} - \frac{\partial w_o}{\partial \varphi} - \frac{\partial u_o}{\partial r} \frac{\partial w_o}{\partial \varphi}; \quad (\text{A.1.28})$$

$$N = r + u_o + \frac{\partial v_o}{\partial \varphi} + (r + u_o) \frac{\partial u_o}{\partial \varphi} + \frac{\partial u_o}{\partial r} \frac{\partial v_o}{\partial \varphi} - v_o \frac{\partial v_o}{\partial r} - \frac{\partial u_o}{\partial \varphi} \frac{\partial v_o}{\partial r}.$$

Pentru că:

$$\frac{\partial u_0}{\partial r} \approx \frac{\partial v_0}{\partial \varphi} \approx \frac{\partial v_0}{\partial r} \approx \frac{\partial v_0}{\partial \varphi} \approx \left(\frac{\partial w_0}{\partial r}\right)^2 \approx \left(\frac{\partial w_0}{\partial \varphi}\right)^2 \ll 1; \quad v_0 \frac{\partial w_0}{\partial r} \approx 0; \quad u_0 \ll r. \quad (\text{A.1.29})$$

atunci relațiile (A.1.28) au forma:

$$L \approx -r \frac{\partial w_0}{\partial r}; \quad M \approx -\frac{\partial w_0}{\partial \varphi}; \quad N \approx r. \quad (\text{A.1.30})$$

Pe baza relațiilor de mai sus versorul \mathbf{n} este dat de relația

$$\mathbf{n} = -\frac{\partial w_0}{\partial r} \mathbf{i}_r - \frac{1}{r} \frac{\partial w_0}{\partial \varphi} \mathbf{i}_\varphi + \mathbf{i}_z. \quad (\text{A.1.31})$$

Versorul \mathbf{n} va fi folosit la determinarea deplasării punct în timpul deformării plăcii în funcție de componentele deplasării punctului Q_0 de pe suprafața mediană.

A.2 Deplasări și deformații

Fie \mathbf{r} vectorul de poziție al punctului Q , iar \mathbf{r}_0 vectorul de poziție al punctului Q_0 , proiecția punctului Q pe suprafața mediană a plăcii. În urma deformării plăcii punctul Q se deplasează în Q' iar Q_0 în Q'_0 . Vectorii de poziție corespunzători pentru Q' și Q'_0 vor fi \mathbf{R} și \mathbf{R}_0 . Dependența dintre pozițiile deformată și nedeformată este dată de relațiile (3.8) sau (A.1.7) și (3.7).

Ipoteza lui Kirchhoff permite exprimarea vectorului și sub forma:

$$\mathbf{R} = \mathbf{R}_0 + z \cdot \mathbf{n}, \quad (\text{A.2.1})$$

unde \mathbf{n} este vector unitar normal la suprafața mediană deformată dată de relația (3.11) sau (A.1.31). Din relațiile (A.1.7), (3.7) și (A.2.1) rezultă:

$$\mathbf{u} = \mathbf{u}_0 + z(\mathbf{n} - \mathbf{i}_z) \quad (\text{A.2.2})$$

unde \mathbf{u} și \mathbf{u}_0 sînt vectorii deplasării punctelor Q și Q_0 determinați cu relațiile (3.8) și (3.9).

Înlocuind relațiile (A.1.31), (3.8) și (3.9) în (A.2.2) rezultă:

$$= (u_0 - z \frac{\partial w_0}{\partial r}) \cdot \hat{i}_r + (v_0 - z \frac{1}{r} \frac{\partial w_0}{\partial \varphi}) \cdot \hat{i}_\varphi + w_0 \cdot \hat{i}_z. \quad (\text{A.2.3})$$

Vectorii bazei ortogonale sînt reprezentați prin relațiile (A.1.9) iar vectorii bazei neortogonale se stabilesc cu formulele:

$$\mathbf{G}_r = \frac{\partial \mathbf{R}}{\partial r}; \quad \mathbf{G}_\varphi = \frac{\partial \mathbf{R}}{\partial \varphi}; \quad \mathbf{G}_z = \frac{\partial \mathbf{R}}{\partial z}, \quad (\text{A.2.4})$$

unde \mathbf{R} este dat de relația (3.6).

Ținînd cont de relațiile (3.6), (3.7), (A.1.11) și (A.1.25) formulele (A.2.4) devin:

$$\begin{aligned} \mathbf{G}_r &= (1 + \frac{\partial u_0}{\partial r}) \cdot \hat{i}_r + \frac{\partial v_0}{\partial r} \hat{i}_\varphi + \frac{\partial w}{\partial r} \hat{i}_z; \\ \mathbf{G}_\varphi &= (\frac{\partial u_0}{\partial r} - v_0) \cdot \hat{i}_r + (r + u_0 + \frac{\partial v_0}{\partial \varphi}) \hat{i}_\varphi + \frac{\partial w}{\partial \varphi} \cdot \hat{i}_z; \\ \mathbf{G}_z &= \mathbf{g}_z = \hat{i}_z. \end{aligned} \quad (\text{A.2.5})$$

Elementele tensorului metric pentru starea deformați sînt:

$$\begin{aligned} G_{rr} &= \mathbf{G}_r \cdot \mathbf{G}_r = (1 + \frac{\partial u_0}{\partial r})^2 + (\frac{\partial v_0}{\partial r})^2 + (\frac{\partial w}{\partial r})^2; \\ G_{\varphi\varphi} &= \mathbf{G}_\varphi \cdot \mathbf{G}_\varphi = (\frac{\partial v_0}{\partial r} - v_0)^2 + (r + u_0 + \frac{\partial v_0}{\partial \varphi})^2 + (\frac{\partial w}{\partial \varphi})^2; \\ G_{r\varphi} &= \mathbf{G}_r \cdot \mathbf{G}_\varphi = (1 + \frac{\partial u_0}{\partial r})(\frac{\partial v_0}{\partial r} - v_0) + \frac{\partial v_0}{\partial r}(r + u_0 + \frac{\partial v_0}{\partial \varphi}) + \frac{\partial w}{\partial r} \frac{\partial w}{\partial \varphi}. \end{aligned} \quad (\text{A.2.6})$$

După efectuarea calculelor și neglijarea infinițiilor mici relațiile (A.2.6) devin:

$$\begin{aligned} G_{rr} &= 1 + 2 \frac{\partial u_0}{\partial r} + (\frac{\partial w}{\partial r})^2; \\ G_{\varphi\varphi} &= r^2 + 2 \cdot r \cdot \frac{\partial v_0}{\partial \varphi} + 2 \cdot r \cdot u_0 + (\frac{\partial w}{\partial \varphi})^2; \\ G_{r\varphi} &= \frac{\partial u_0}{\partial \varphi} - v_0 + r \frac{\partial v_0}{\partial r} + \frac{\partial w}{\partial r} \frac{\partial w}{\partial \varphi}. \end{aligned} \quad (\text{A.2.7})$$

A.3 Ecuații de echilibru static

Condiția necesară și suficientă pentru ca un element de placă să fie în echilibru este ca suma proiecțiilor tuturor forțelor în orice direcție să fie egală cu zero și suma momentelor tuturor forțelor în jurul unei axe să fie zero.

Suma proiecțiilor tuturor eforturilor secționale și a forțelor exterioare pe axa r (fig.3.5):

$$-N_r r d\varphi + (N_r + \frac{\partial N_r}{\partial r} dr)(r+dr)d\varphi - N_{\varphi r} dr \cos \frac{d\varphi}{2} + (N_{\varphi r} + \frac{\partial N_{\varphi r}}{\partial \varphi} d\varphi) dr \cos \frac{d\varphi}{2} - N_{\varphi} dr \sin \frac{d\varphi}{2} - (N_{\varphi} + \frac{\partial N_{\varphi}}{\partial \varphi} d\varphi) dr \sin \frac{d\varphi}{2} + p_r r \cdot dr \cdot d\varphi = 0; \quad (A.3.1)$$

Suma proiecțiilor tuturor forțelor pe axa φ este:

$$-N_{\varphi} \cdot dr \cdot \cos \frac{d\varphi}{2} + (N_{\varphi} + \frac{\partial N_{\varphi}}{\partial \varphi} d\varphi) dr \cos \frac{d\varphi}{2} + N_{\varphi r} \cdot dr \cdot \sin \frac{d\varphi}{2} - N_{r\varphi} r d\varphi + (N_{\varphi r} + \frac{\partial N_{\varphi r}}{\partial \varphi} d\varphi) dr \sin \frac{d\varphi}{2} + (N_{r\varphi} + \frac{\partial N_{r\varphi}}{\partial r} dr)(r+dr)d\varphi + p_{\varphi} r dr d\varphi = 0; \quad (A.3.2)$$

Suma proiecțiilor tuturor forțelor pe axa z este:

$$p_z \cdot r \cdot dr \cdot d\varphi - T_r r d\varphi - T_{\varphi} dr + (T_r + \frac{\partial T_r}{\partial r} dr)(r + dr)d\varphi + (T_{\varphi} + \frac{\partial T_{\varphi}}{\partial \varphi} d\varphi) dr = 0; \quad (A.3.3)$$

Suma momentelelor tuturor forțelor în raport cu axa r

$$M_{r\varphi} r d\varphi - (M_{r\varphi} + \frac{\partial M_{r\varphi}}{\partial r} dr)(r+dr)d\varphi - M_{\varphi r} dr \sin \frac{d\varphi}{2} + M_{\varphi} dr \cdot \cos \frac{d\varphi}{2} - (M_{\varphi r} + \frac{\partial M_{\varphi r}}{\partial \varphi} d\varphi) dr \sin \frac{d\varphi}{2} - (M_{\varphi} + \frac{\partial M_{\varphi}}{\partial \varphi} d\varphi) dr \cos \frac{d\varphi}{2} + T_{\varphi} dr (r + \frac{dr}{2}) \sin \frac{d\varphi}{2} + (T_{\varphi} + \frac{\partial T_{\varphi}}{\partial \varphi} d\varphi) dr (r + \frac{dr}{2}) \sin \frac{d\varphi}{2} = 0; \quad (A.3.4)$$

Suma momentelor tuturor forțelor în raport cu axa

$$-M_r r d\varphi + (M_r + \frac{\partial M_r}{\partial r} dr)(r+dr)d\varphi - M_{\varphi r} dr \cdot \cos \frac{d\varphi}{2} + (M_{\varphi r} + \frac{\partial M_{\varphi r}}{\partial \varphi} d\varphi) dr \cdot \cos \frac{d\varphi}{2}$$

$$\begin{aligned}
 & - M_{\varphi} \cdot dr \cdot \sin \frac{d\varphi}{2} - \left(M_{\varphi} + \frac{\partial M_{\varphi}}{\partial \varphi} d\varphi \right) \sin \frac{d\varphi}{2} - T_r \cdot r \cdot d\varphi \frac{dr}{2} - \\
 & - \left(T_r + \frac{\partial T_r}{\partial r} dr \right) (r + dr) d\varphi \frac{dr}{2} = 0; \quad (A.3.5)
 \end{aligned}$$

Suma momentelor în raport cu axa z

$$\begin{aligned}
 & N_{r\varphi} r \cdot d\varphi \frac{dr}{2} + \left(N_{r\varphi} + \frac{\partial N_{r\varphi}}{\partial r} dr \right) (r + dr) d\varphi \frac{dr}{2} - N_{\varphi r} dr \left(r + \frac{dr}{2} \right) \sin \frac{d\varphi}{2} + \\
 & - \left(N_{\varphi r} + \frac{\partial N_{\varphi r}}{\partial \varphi} d\varphi \right) dr \left(r + \frac{dr}{2} \right) \sin \frac{d\varphi}{2} = 0. \quad (A.3.6)
 \end{aligned}$$

Neglijind infiniții mici de ordin superior și conșiderînd

$$\cos \frac{d\varphi}{2} \approx 1; \quad \sin \frac{d\varphi}{2} \approx \frac{d\varphi}{2} \quad (A.3.7)$$

rezultă:

$$\frac{\partial N_r}{\partial r} + \frac{N_r - N_{\varphi}}{r} + \frac{1}{r} \frac{\partial N_{\varphi r}}{\partial \varphi} = - p_r; \quad (A.3.8)$$

$$\frac{1}{r} \frac{\partial N_{\varphi}}{\partial \varphi} + \frac{N_{\varphi r} + N_{r\varphi}}{r} + \frac{\partial N_{r\varphi}}{\partial r} = - p_{\varphi}; \quad (A.3.9)$$

$$\frac{1}{r} \frac{\partial (r \cdot T_r)}{\partial r} + \frac{1}{r} \frac{\partial T_{\varphi}}{\partial \varphi} = - p_z; \quad (A.3.10)$$

$$T_r = \frac{\partial M_r}{\partial r} + \frac{M_r - M_{\varphi}}{r} + \frac{1}{r} \frac{\partial M_{\varphi r}}{\partial \varphi}; \quad (A.3.11)$$

$$T_{\varphi} = \frac{\partial M_{r\varphi}}{\partial r} + \frac{M_{r\varphi} + M_{\varphi r}}{r} + \frac{1}{r} \frac{\partial M_{\varphi}}{\partial \varphi}; \quad (A.3.12)$$

$$N_{r\varphi} = N_{\varphi r}. \quad (A.3.13)$$

Ecuatiile diferențiale de echilibru static (A.3.8)

(A.3.13) pot fi deduse și cu principiul lucrului mecanic virtual.

A.4 Rezolvarea ecuațiilor diferențiale cu ajutorul seriilor

În această anexă se va prezenta rezolvarea ecuației diferențiale (5.)

$$\left(d + e \frac{1}{r} \frac{d^4 w}{dr^4}\right) + 2d \frac{1}{r} \frac{d^3 w}{dr^3} - \frac{1}{r^2} \frac{d^2 w}{dr^2} + \frac{1}{r^3} \frac{dw}{dr} = \frac{p}{D}, \quad (\text{A.4.1})$$

unde s-au introdus următoarele notații

$$d = 1 - \lambda_r (\tau - 1) = 1 - \frac{E_{rn} n_r}{2 \bar{\lambda} \cdot R \cdot D} \frac{H^3 - h^3}{12} (T - t); \quad (\text{A.4.2})$$

$$e = \tau \cdot R \cdot \lambda_r = \frac{E_{rn} n_r}{2 \bar{\lambda} D} \frac{H^3 - h^3}{12} T. \quad (\text{A.4.3})$$

Considerînd

$$A = d \cdot D; \quad a = \frac{\tau}{d}, \quad (\text{A.4.4})$$

ecuația diferențială (A.4.1) va avea forma:

$$A(r + R \lambda_r a) \frac{d^4 w}{dr^4} + 2A \frac{1}{r} \frac{d^3 w}{dr^3} - D \frac{1}{r^2} \frac{d^2 w}{dr^2} + D \frac{1}{r^3} \frac{dw}{dr} = p. \quad (\text{A.4.5})$$

Al doilea termen din membru stîng al ecuației diferențiale (A.4.5) se împarte în două, unul din ei se grupează cu primul iar al doilea cu ultimii termeni ai ecuației, astfel:

$$A(r + R \lambda_r a) \frac{d^4 w}{dr^4} + A \frac{1}{r} \frac{d^3 w}{dr^3} + A \frac{1}{r} \frac{d^3 w}{dr^3} + D \frac{1}{r^3} \frac{dw}{dr} - D \frac{1}{r^2} \frac{d^2 w}{dr^2} = p \quad (\text{A.4.6})$$

Se dă în factor A/r și după cîteva transformări rezultă:

$$A \frac{1}{r} \frac{d}{dr} \left[(r + R \lambda_r a) \frac{d^3 w}{dr^3} \right] + \frac{d}{dr} \left(\frac{d^2 w}{dr^2} \right) + \frac{D}{A} \frac{d}{dr} \left[- \frac{1}{r} \frac{dw}{dr} \right] = p, \quad (\text{A.4.7})$$

sau

$$A \frac{1}{r} \frac{d}{dr} \left[(r + R \lambda_r a) \frac{d^3 w}{dr^3} + \frac{d^2 w}{dr^2} - \frac{D}{A} \frac{1}{r} \frac{dw}{dr} \right] = p, \quad (\text{A.4.8})$$

Prin integrarea ecuației diferențiale (A.4.8) se obține:

$$(r + R\lambda_r a) \frac{d^3 w}{dr^3} + \frac{d^2 w}{dr^2} - \frac{D}{A} \frac{1}{r} \frac{dw}{dr} = \frac{pr^2}{2 \cdot A} + C. \quad (\text{A.4.9})$$

Se înmulțește ecuația diferențială (A.4.9) cu r obținându-se:

$$(r^2 + aR\lambda_r r) \frac{d^3 w}{dr^3} + r \frac{d^2 w}{dr^2} - \frac{D}{A} \frac{dw}{dr} = \frac{pr^3}{2 \cdot A} + Cr. \quad (\text{A.4.10})$$

Se introduc notațiile (5.28) și (5.29) în ecuația diferențială (A.4.10) rezultând:

$$x(x+a) \frac{d^2 W}{dx^2} + x \frac{dW}{dx} - \frac{D}{A} W = \frac{R^3 \cdot \lambda_r^3}{2 \cdot A} \cdot p \cdot x^3 + C \cdot R \cdot \lambda_r \cdot x. \quad (\text{A.4.11})$$

Relația (A.4.11) este o ecuație diferențială de ordinul doi neomogenă cu coeficienți variabili. Soluția generală a acestei ecuații este egală cu suma dintre soluția particulară a ecuației diferențiale neomogene (A.4.11) și soluția generală a ecuației omogene

$$x(x+a) \frac{d^2 W}{dx^2} + x \frac{dW}{dx} - \frac{D}{A} W = 0. \quad (\text{A.4.12})$$

Integrarea ecuației diferențiale (A.4.12) nu se poate reduce la o cuadratură, deci se va căuta o soluție sub forma unei serii de puteri

$$W = \sum_{k=0}^{\infty} C_k x^k = C_0 + C_1 x + \dots + C_k x^k + \dots \quad (\text{A.4.13})$$

unde C_k sînt constante.

Din relația (A.4.13) se obține:

$$\frac{dW}{dx} = \sum_{k=1}^{\infty} k C_k x^{k-1}, \quad (\text{A.4.14})$$

$$\frac{d^2 W}{dx^2} = \sum_{k=2}^{\infty} k(k-1) C_k x^{k-2}. \quad (\text{A.4.15})$$

Aceste relații se introduc în ecuația diferențială (A.4.11) și se egalează cu zero coeficienții puterilor lui x rezultând:

$$C_0 = 0;$$

$$C_k = (-1)^{k-1} \frac{((k-1)^2 - \delta) \dots (3^2 - \delta)(2^2 - \delta)(1 - \delta)}{a^k \cdot k \cdot ((k-1)!)^2} C_1, \quad (\text{A.4.16})$$

unde

$$\delta = \frac{D}{A}. \quad (\text{A.4.17})$$

Soluția particulară a ecuației diferențiale (A.4.11) se admite sub forma:

$$W_p = B_0 + B_1 x + B_2 x^2 + B_3 x^3. \quad (\text{A.4.18})$$

Relația (A.4.18) se introduce în ecuația diferențială (A.4.11) și prin identificarea coeficienților rezultă:

$$B_0 = 0;$$

$$B_1 = \frac{C \cdot R \cdot \lambda_r}{(1 - \delta) A} + \frac{12 \cdot a^2}{(1 - \delta)(4 - \delta)(9 - \delta)} \frac{R^3 \cdot \lambda_r^3}{2 \cdot A} p;$$

$$B_2 = \frac{6 \cdot a}{(9 - \delta)(4 - \delta)} \frac{R^3 \cdot \lambda_r^3}{2 \cdot A} p;$$

$$B_3 = \frac{1}{9 - \delta} \frac{R^3 \cdot \lambda_r^3}{2 \cdot A} p. \quad (\text{A.4.19})$$

În aceste condiții, soluția generală a ecuației (A.4.11) va avea forma:

$$W = C_1 \left(x + \sum_{k=2}^{\infty} (-1)^{k-1} \frac{((k-1)^2 - \delta) \dots (2^2 - \delta)(1^2 - \delta)}{a^{k-1} \cdot k \cdot ((k-1)!)^2} x^k \right) + \\ + \frac{C \cdot R \cdot \lambda_r}{(1 - \delta) A} x + \frac{12 \cdot a^2}{(1 - \delta)(4 - \delta)(9 - \delta)} \frac{R^3 \cdot \lambda_r^3}{2 \cdot A} p x - \\ - \frac{6 \cdot a}{(4 - \delta)(9 - \delta)} \frac{R^3 \cdot \lambda_r^3}{2 A} p x^2 + \frac{1}{9 - \delta} \frac{R^3 \cdot \lambda_r^3}{2 A} p x^3. \quad (\text{A.4.20})$$

În baza relațiilor (5.28) și (5.29) soluția ecuației diferențiale (A.4.11) dată de relația (A.4.20) devine:

$$\begin{aligned}
 w = & C_1 R \lambda_r \left(\frac{x^2}{2} + \sum_{k=2}^{\infty} \frac{((k-1)^2 - \delta) \dots (2^2 - \delta)(1^2 - \delta)}{a^{k-1} \cdot k \cdot ((k-1)!)^2} \frac{x^{k+1}}{k+1} \right) + \\
 & + \frac{C \cdot R \lambda_r}{(1-\delta)A} \frac{x^2}{2} + \frac{6 \cdot a^2}{(1-\delta)(4-\delta)(9-\delta)} \frac{R^4 \cdot \lambda_r^4}{2A} \cdot p \cdot x^2 \dots \\
 & - \frac{2 \cdot a}{(4-\delta)(9-\delta)} \frac{R^4 \cdot \lambda_r^4}{2A} p x^3 + \frac{1}{9-\delta} \frac{R^4 \cdot \lambda_r^4}{2A} p \frac{x^4}{4} + C_2. \quad (\text{A.4.21})
 \end{aligned}$$

Constantele de integrare se vor determina din condițiile de continuitate și de legătură.

10 BIBLIOGRAFIE

- [1] ABOVSKII, P.N., ANDREEV, P.N., DERUGA, P.A. Variaționie
prințipi teorii uprugosti i teorii obolcek. Glav-
naia redakțiia Fiziko - matematicheskoi literaturfi,
Nauka, Moskva, 1978.
- [2] ALBRECHT, J. Ein Beitrag zur Berechnung von Stahlbeton -
Kreisplatten veränderlicher Dicke im Zustand I und
im Zustand II, Dissertation, Darmstadt, 1974.
- [3] ALTENBACH, I., SACHAROV, S.A. Die Methode der finiten Ele-
mente in der Festkörpermechanik. Leipzig, 1982.
- [4] AMBARTSUMIAN, S.A. Teoria anizotropiîh obolcek. Naukova
Dumka, Kiev, 1980.
- [5] AMIRO, I.Ia., ZARUTKII, A.V., POLIAKOV, P.S., Rebristiie țil-
indricheskie obolociki. Naukova Dumka, Kiev, 1973.
- [6] AMIRO, I.Ia., ZARUTKII, A.A. Teoria rebristiîh obolcek.
Naukova Dumka, Kiev, 1980.
- [7] AMIRO, I.Ia., ZARUTKII, A.V., PALAMARCIUK, G.V. Dinamika
rebristiîh obolcek. Naukova Dumka, Kiev, 1983.
- [8] ANDERS, R.P. Contribuții la optimizarea dimensională a ele-
mentelor cuplajelor intermitente cu fricțiune, prin
metoda elementelor finite. Teză de doctorat,
Brașov, 1987.
- [9] ANDRIANOV, V.I., MANEVICI, I.L., KALIVAİKO, A.L. A rascetu
kruglîh țilindricheskih ortotropiîh plastin podãre -
plennîh radialnîmi rebrami. Stroitelnaia mehanika i
rascet soorujenie, nr.3, p.19 - 22, 1977.
- [10] ARHIPOV, H.V. Modelirovanie izghibaemîh rebristiîh plastin.
Stroitelnaia mehanika i rascet soorujenii, c.18- 20,
nr.2, 1969.
- [11] ATANASIU, C. Studiul eforturilor și deformațiilor în plă-
cile perforate supuse acțiunii unor sarcini concen-
trate și uniform distribuite. Teză de doctorat,
Institutul Politehnic București, 1975.
- [12] AVRAM, C., BOB, C., FRIEDRICH, R., STĂLĂR, V. Structuri din
beton armat. Metoda elementelor finite. Teoria echi-
valențelor. Editura Academiei, București, 1984.
- [13] BABEU, T. Rezistența materialelor. Vol.1 și 2. Reprografia
Institutului Politehnic "Traian Vuia" Timișoara, 1980.
- [14] BATHE, K.J., ... Structural Analysis Program for Static and
Dynamic Response of linear Systems (SAP IV). University
of California, Berkely, 1973.
- [15] BATHE, K.J. Numerical Methods in Finite Element Analysis.
Prentice-Hall, Inc. Englewood Cliffs, New Jersey, 1976.

- [16] BARTUS, K.J., ÉGERT, J. GŰrŰlt peremŰ es poligon lenaszek szamitasa nagy potossgŰ haromszŰgelemkeel, MŰE KŰzlemenyek, Miskolc, IV, Sorozat 26(1982) KŰtet, 3 fŰzet 151 - 173.
- [17] BAUMBARTNER, W. Zur Berechnung von Sandwichplatten nach der Theorie 2. Ordnung mit der Methode der Finiten Elemente. Dissertation, MŰnchen, 1982.
- [18] BEJU, I., SOCS, S., TEODORESCU, P.P. Tehnici de calcul tensorial euclidian cu aplicaŰii. Editura TehnicŰ BucureŰti, 1977.
- [19] BELES, I. ContribuŰii la calculul construcŰiilor metalice hidrotehnice cu elemente de rezistenŰ din tablŰ și grinzi ŰinŰnd seama de efectul de conlucrare apŰtialŰ. TezŰ de doctorat, BucureŰti, 1972.
- [20] BESCHEA, N. RezistenŰa materialelor - capitole speciale. Editura DidacticŰ și PedagogicŰ, BucureŰti, 1971.
- [21] BESENKOV, H.S., TOLOK, A.V. O vliianii deformaŰii srezhnoi plaskosti na nestacionarnoe napriazhennodeformirovannoe sostoianie plastini s rebrami jekitosti. Problemy procinosti, nr.4, p.103 - 106, 1986.
- [22] BIA, C., ILLE, V., SOARE, V.M. RezistenŰa materialelor și teoria elasticitŰții. Editura DidacticŰ și PedagogicŰ, BucureŰti, 1983.
- [23] BIEZENO, B.C., GRAMMEL, R. Technische Dynamik. Springer Verlag Berlin, Band I und II, 1973.
- [24] BIRGHER, A.I. Kruglie plastinki i obolociki vrazhennia Oboronghiz, Moskva, 1961.
- [25] BOLEANTU, L., CIOFOAIA, V. Calculul plŰcilor circulare cu nervuri radiale de lŰțime variabilŰ. Buletinul UniversitŰții din Brașov, 1990.
- [26] BOLEANTU, L., CIOFOAIA, V. Cu privire la calculul plŰcilor circulare întŰrite cu nervuri radiale. A VI - a ConferinŰŰ de VibraŰii Mecanice, 1 - 3 Decembrie, Timișoara, 1988.
- [27] BOLEANTU, L., DOBRE, I. AplicaŰii ale mecanicii solidului deformabil în construcŰia de mașini. Editura Fecia Timișoara, 1978.
- [28] BUBNOV, G.I. TrudŰ po teorii plastin. Gostehizdat, Moskva, 1953.
- [29] BURMISTROV, F.E., MASLOV, M.N. Ustoicivosti kruglih plastin peremennoi tolșcini. Prikladnaia mehanika, nr.11, 1975.
- [30] BUZDUGAN, Gh. RezistenŰa materialelor. Editura TehnicŰ, BucureŰti, 1980.
- [31] CERNIN, F.k. Lineinaia teoria obolocek. Izdatstvo Leningraskova Universiteta, Ciasti I, 1962.

- [32] CHANG, C.I. A Closed - Form Solution for an Orthotropic Rotating Disk. ASME Journal of Applied Mechanics vol. 4, p.1122 - 1123, 1974.
- [33] CIOFOAIA, V. Stadiul actual al calculului plăcilor circulare rigidizate. Referat doctorat, nr.1, 1984.
- [34] CIOFOAIA, V. Asupra influenței nervurilor aplicate pe plăci circulare. Buletinul Universității din Brașov p.15 -21, 1985.
- [35] CIOFOAIA, V. Asupra optimizării plăcilor circulare întărite cu nervuri radiale. A V-a Conferință de vibrații în Construcția de mașini, Timișoara, 1985.
- [36] CIOFOAIA, V., ș.a. Studiul experimental asupra încovoierii unor plăci circulare întărite cu nervuri radiale. Al IV-lea Simpozion Național de Tensometrie cu participare internațională, Brașov, 1986.
- [37] CIOFOAIA, V. Cu privire la calculul plăcilor circulare întărite cu nervuri radiale de forme variabile. Tehnologii Moderne în Industria Petrochimică, 21 - 22 Octombrie, Ploiești, 1988.
- [38] CIOFOAIA, V., RADU, Gh. Asupra optimizării barelor cu mese atașate supuse la oscilații date. Simpozionul de Mecanisme și Transmisii mecanice. Timișoara, 1986.
- [39] CIOFOAIA, V. Contribuții la calculul plăcilor circulare rigidizate. Referatul nr.2, Brașov, 1985.
- [40] CIOFOAIA, V. Asupra calculului de rezistență a discurilor cu nervuri radiale. A VI-a Conferință de Vibrații Mecanice, 1-3 Decembrie, Timișoara, p.97-100, 1984.
- [41] CIOFOAIA, V. Asupra determinării deplasărilor transversale la plăcile circulare ortotrope. Buletinul Comisiei Inginerilor și Tehnicienilor, p.111-114, Brașov, 1988.
- [42] CIOFOAIA, V. Asupra determinării stărilor de tensiune și deformație la plăci circulare de grosime variabilă. Tehnologii Moderne în Industria Petrochimică, 21 - 22 Octombrie, 1988, Ploiești.
- [43] CIOFOAIA, V., RADU, Gh. Optimizarea dinamică a grinzilor în consolă cu masă concentrată. Creativitatea în Construcția, Fabricarea și Exploatarea Automobilului, 4 - 5 Decembrie, vol.1, p.59-63, Ploiești, 1981.
- [44] CIURIN, N.I., SOROKIN, K.C. Rascet deformații plonkib karpnelnih stankov a krugovni gubratoticeaskiel napravleniisiusiciuni. Vesnik mašinostroenie, nr.1, 1977.
- [45] CRISTESCU, N. Mecanica materialelor compozite. Reprografia Universității din București, 1983
- [46] CONSTANTINESCU, N.I., TACU, T. Calcule de rezistență pentru utilaje tehnologice. Structuri izotrope axiale simetrice. Editura Tehnică, București, 1979.

- [47] CONSTANTINESCU, N.I., MUNTEANU, Gh.M., GOLUMBOVICI, C.D. Calcule de rezistența structurilor de mașini și utilaje. Editura Tehnică, București, 1984.
- [48] CONSTANTINESCU, N.I., DANET, N.G. Metode noi pentru calcule de rezistență. Editura Tehnică, București, 1989.
- [49] CSIZMODIA, B. Komplexe Anwendung von experimentellen und numerischen Methoden Experimentplanung. Al III-lea Simpozion Național de Tensometrie, 28 sept.-1 oct. Timișoara, Vol.III, p.101 - 107, 1983.
- [50] CSURGA, A., EGART, J. Konform hármoszög alakii lemezelemek összehasonlítása. NME közle. menyelöl III Sorot Gepeszet 26(1980), kötet, 2 füzet, 77-86, Miskolc.
- [51] CUTEANU, E., MARINOV, R. Metoda elementelor finite în proiectarea structurilor. Editura Facla, Timișoara, 1980.
- [52] CURTU, I., SPERCHEZ, Fl., SERBU, A. Calculul de rezistență în industria lemnului. Editura Tehnică, București, 1981.
- [53] CURTU, I., ... , CIOFOAIA, V., ș.a. Structuri sandwich pentru mobilier de greutate redusă. Industria lemnului nr.1, 1981.
- [54] CURTU, I., ... , CIOFOAIA, V., ș.a. Tipuri noi de mobilier realizate din panouri cu structuri îmbunătățite. Temă de cercetare, Brașov, 1983.
- [55] CURTU, I., CHELMEZIU, I. Mecanica lemnului și a produselor pe bază de lemn. Editura Tehnică, București, 1984.
- [56] CURTU, I., ... , CIOFOAIA, V., ș.a. Rezistența materialelor. Memorator, Reprografia Universității, Brașov, 1983.
- [57] CURTU, I., MUNTEANU, M., RADU, Gh., CIOFOAIA, V. Cercetări privind starea de tensiune și o formație din copetele de frezat, cu ajutorul metodei elementelor finite (MEF) și metodei elementelor de frontieră (BEF). Al IV-lea Simpozion Național de Tensometrie, vol.IV, p.231 - 237, Brașov.
- [58] DANKERT, J. Numerische Methoden der Mechanik. VEB Fach Buch Verlag, Leipzig, 1977.
- [59] DICKEY, W.R. Nonlinear Bending of Circular Plates. SIAM Journal Mathematics, vol.30, nr.1, p.1-10, 1976.
- [60] DLUGACI, I.M., KOVALICIUL, V.N. Issledovanie napriazhennost s estoiannia țilindricieskih obolocok spriamugolnini oteverstiami metodami konocinh elementov. Prikladnaia mehanika, nr.10, 1974.
- [61] DOBRESCU, A. Geometrie diferențială. Editura Didactică și Pedagogică, București, 1963.
- [62] DONNELL, C.L. Blaki plastini i obolociki. Nauka, Moskva, 1982.
- [63] DRAGOS, L. Principiile mediilor continue. Editura Tehnică, București, 1983.

- [64] DRUMM, R. Zur Effektiven FEM - Analyse Ebner Spannungskonzentrationsprobleme. Dissertation, Karlsruhe, 1982.
- [65] DUBINA, D. Contribuții la perfecționarea metodelor de calcul a construcțiilor metalice hidrotehnice stavile. Rezumatul tezei de doctorat, I.P. "Traian Vuia", Timișoara, 1986.
- [66] ECSEDI, I. Nehány megljegyzése a peremen haj lekony lemezekkel erősített tárcsakról. Közletem, műsz. egyet. Közl., 1982, Sorozat 3, 28, nr.3-4, p.141-148.
- [67] EGERT, J. Gerendákkel megerősített, vékony lemezek közelítő számítása Vegesélem módszerrel, Evfolyan, 10 szám 1978.
- [68] EGERT, J. Sugarirányban megerősített, sík fánéklemék szilárdságtani számítása, Gep XXXI, evfolyam, 2 szám, 1979.
- [69] EGERT, J. Beitrag Festigkeitsberechnung von ebener Bodenplatten mit Aussteifung. Wissenschaftliche Zeitschrift der Technischen Hochschule Otto von Guericke Magdenburg 23, 1979 Heft 2, p.181-184.
- [70] * * * Experimental Stress Analysis. Proceedings of the VIII - th International Conference on Experimental Stress Analysis, Amsterdam, The Netherlands, May 12 - 16, 1986.
- [71] FILISTINSKII, A.L., LIUBCIUAK, H.V. Ob odnom sposobe razceta makromodeli diska s rebrami v pole žentrobej - nih sil. Prikladnaia mehanika, nr.7, p.61-67, 1980.
- [72] FILONENKO - BORODICI, M.M. Teoria elasticității. Editura Tehnică, vol.I, 1951, vol.II, 1952, București.
- [73] FLEISMAN, P.N., Kruglie i kolitevie plitki minimalnogo vos Rascet na prochnosti, nr.8, Mashiz, Moskva, 1982.
- [74] FORRAY, I.M. Calculul variațional în știință și tehnică. Editura Tehnică, București, 1975.
- [75] FREJ DA FO LIMA. Über der mittelpunktgestützte kreisförmig Platte veränderlicher Dicke mir ebener oberfläche bei Membran wirkung der Flächen Schale. Dissertation München, 1979.
- [76] GALIMOV, Z.K., SACENKOV, V.A. Issledovania po teorie platin i obolocek. Vypusk 14, Izd. Kazanskogo Universiteta, 1979.
- [77] GOIA, I. Contribuții la calculul barelor curbe de secțiune constantă și variabilă. Rezumatul tezei de doctorat I.P. București, 1970.
- [78] GOIA, I., CIOFOAIA, V., ș.a. Determinarea tensiunilor în recipiente cu capace bombate. A II - a Sesiune de creație științifică și tehnică, Brașov, 1979.
- [79] GOIA, I. Rezistența materialelor. Reprografia Universității vol.I, 1978, vol.II, 1979, Brașov.

- [80] GOIA, I., CIOFOAIA, V., RADU, Gh. Stabilitatea barelor de secțiune variabilă. Buletinul Universității din Brașov, 1981.
- [81] GÜLDNER, H. Arbeitsbuch HÜhere Festigkeitslehre. Fach - buchverlag, Leipzig, 1978.
- [82] GORSKII, G.V. Issledovanie vesa krugl'ih plastin podkreplenn'ih rebrami jestkosti. Rascheti na procinosti, nr.8, Maşghiz, Moskva, 1962.
- [83] GRIGOLIK, I., FILISTINKI, I. Perforirovanie plastini i oboloceki. Nauka Dumka, Kiev, 1981.
- [84] GRIGOLIUK, I.E., MAGHIRANOV, A.L. Ustoicivosti krugl'ih trehsloin'ih plastin. Problemi procinosti, nr. 8, 1979.
- [85] GRIGORENKO, M.Ia., MUHAED, M.A. Reşenie nelinein'ih zadaci teorii obolocek na EVM. Vişeaia Skola, Kiev, 1983.
- [86] GRIGORENKO, M.Ia., VASILENKO, T.A. Teoria obolocek pere - mennoi jestkosti. Nauka Dumka, Kiev, 1981.
- [87] GRIGORENKO, M.Ia., MITLIN, I.E., RAER, A.G., SUDAVTOVA, K. G. Issledovanie napriajennosti pokr'ivaiuşeic'ih diskov raboc'ih koles ţentrobejn'ih kompressorov s ucetom diskretnogo razmeşcenia lopatok. Prikladnaia mehanika, nr.1, p.116 - 119, 1978.
- [88] GRIGORENKO, M.Ia., OVLIKULIEV, O.K. Cislennomu reşeniiu kraev'ih zadaci o deformaţii ghibk'ih krugl'ih plastin peremennoi jestkosti. Prikladnaia mehanika nr.4, p.63 - 70, 1978.
- [89] GRACEV, A.C. Issledovanie vliiania parametrov podkreplennia naustoicivosti rebrist'ih sfericesk'ih obolocek. Prikladnaia mehanika, nr.5, p.49 - 55, 1983.
- [90] GREEN, E.A., ADKINS, E.J. Large Elastic Deformations and Non - Linear Continuum Mechanics. Oxford, 1960.
- [91] GRINEV, B.V., FILIPOV, P.A. Ob optimaln'ih krugl'ih plastinka. Mehanika tverdogo tela, nr.1, p.131 - 133, 1977.
- [92] GUPVICI, B.I., i.d. K voprosy o vesovoi optimizaţii ekstentricine podkreplenn'ih ţilindricesk'ih obolocek pri pomoşoi variacionovo prinţipa. Prikladnaia mehanika, nr.12, p.75 - 80, 1978.
- [93] HASLINGER, J., LOVISEK, I. The Obstacle Problem for the Equilibrium of a Shallow Shell Reinforced with Stiffening Ribs. Zamm, 62, p.27 - 35, 1982.
- [94] HENRY, W.A. Elements of Experimental Stress Analysis. Pergamon Press, London, 1977.
- [95] HEYWOOD, B.R. Photoelasticity for Designers. Pergamon Press, Oxford, 1969.
- [96] HUFFINGTON, J.N. Bending Athwart a Parallel Stiffened Plate. Journal of Applied Mechanics, June, p.278 - 282, 1967.

- [97] IATAN, I.R. Cercetări teoretice și experimentale privind construcțiile de îmbinări cu flanșe cu nervuri. Teză de doctorat, I.P. București, 1979.
- [98] ILIESCU, N., TIPERCIUC, Gh., TUDOSE, I. Fotoelasticitate. Indrumar de lucrări de laborator, I.P. București, 1973.
- [99] IOANI, M.A. Calculul spațial al structurilor alcătuite din planșee și stâlpi. Rezumatul tezei de doctorat. I.P. Cluj - Napoca, 1981.
- [100] IORDACHE, Gh. Calculul eforturilor interioare de încovoiere pentru tamburul nervurat interior, încărcat cu sarcină axial simetrică. Revista de chimie, nr.10, p.1041 - 1043, 1979.
- [101] IONESCU, D.V. Ecuații diferențiale și integrale. Editura Didactică și Pedagogică, București, 1965.
- [102] JIRA, J. Analysis of a shallow elliptic paraboloid eccentrically reinforced with ribs. Acta Technica, CSAV, nr.6, 1978.
- [103] JONES, M.R. Plastic Buckling of Eccentrically Stiffened Circular Cylindrical Shells. AIAA Journal, nr.6, 1967.
- [104] KALUK, F.Ia., MATIAS, F.I., NAZARENKO, V.V. Nekotorie zadachi izghiba kruglyh plastin s rebrami jestkosti. Prikladnaia mehanika, nr.6, p.82 - 87, 1975.
- [105] KALANDIYA, A. Mathematical methods of two - dimensional elasticity. Mir Publishers, Moscow, 1975.
- [106] KAO, R. Application of Hill functions to circular plate problems. Quarterly of Applied Mathematics, April, 1975.
- [107] KAMKE, E. Diferențialgleichungen. Lösungsmethoden und Lösungen. Leipzig, Bd. I. 1959.
- [108] KECS, W., TEODORESCU, P.P. Aplicații ale teoriei distribuțiilor în mecanică. Editura Academiei, București, 1970.
- [109] KLIAGHIN, M.V. Plasticeskii izghib krugloi rebriatoi plastinki s ucetom membrannih sil. Stroitelstvo i arhitektura, nr.5, p.29 - 32, 1969.
- [110] KLIAGHIN, M.V., CIAPLINSKI, A.I. K predelinomu ravhovecii kruglyh plastin podkreplennih radialnymi i koltevmi. Stroitelstvo i arhitektur, nr.12, p.38-43, 1968.
- [111] LIMANOV, I.V., STETINHA, A.V. Eksperimentalnoe izucenie povedeniia ghibkih tšilindriceskikh pãneli, rabotainseib v sostovenerazreznoi sistemí. Problemy proci - nosti, nr.9, 1981.
- [112] KOBELEV, H.V., KOVERSKI, M.L., TIMOFEEV, I.S. Rascet trehsloinnyh konstrukcii. Mašinostroenie, Moskva, 1985.
- [113] KOVALENKO, D.A. Plastini i obolociki v rotorah turbino - mašin. Doklady A.N. Kiev
- [114] KOVALENKO, D.A. Kruglye plastini peremennoi tolstinnyh. Isdatel fiziko - matematicheskoi literatury, Moskva, 1959.

- [115] KRAUS, D.H. Eine Finite Element Methode zur Berechnung von Sandwichplatten unter Berücksichtigung der einseitigen Biegesteifigkeit der Deckhäute. Dissertation, München, 1974.
- [116] KRENK, S. Theories for Elastic Plates via Orthogonal Polynomials. Journal of Ap.Mechanics, December, 1981.
- [117] KRUPKO, V. Zur Bemessung direkt belasteter Ringrippen bei Behältern und Rohrleitungen. Der Stahlbau, nr.6, 1969.
- [118] LAVRENTEV, A.M., LIUSTERNNIK, A.L. Cours de calcul variationnel. Editura Tehnica, Bucuresti, 1955.
- [119] LEIMBACH, R.K. Eine Methode zur Berechnung der Schwingcharakteristika Ringverstärkter Rotationschalen. Dissertation, Bochum, 1973.
- [120] LEKNITSKII, G.S. Theory of Elasticity of an Anisotropic Body. Mir Publishers, Moscow, 1981.
- [121] LEKNITSKII, G.S. Anisotropiie plastinki. Gosudarstvennoe Izdatestvo tehniko - teoreticeskoi literaturf. Moskva, 1957.
- [122] LEVINA, M.Z., RESETOV, N.D. Raschet plansaib (kruglyh stalov) metalorejuscih stankov na jestkosti. Stan-ki i instrument, nr.8, p.1-6, 1958.
- [123] LEVINA, M.Z., RESETOV, N.D. Raschet i experimentalnoe issledovanie izghiba kruglyh slojnih plastin s radialnymi. Vestnik Maginostroenie, nr.2, p.8-11, 1959.
- [124] LEWIS, P., FUCHS, B.M. Simplified direct optimization of tubular truss structures. International Journal for Numerical Methods in Engineering, vol.17, p.601-613, 1981.
- [125] LINKE, KARL-PETER. Zum Tragverhalten von Profil Sandwichplatten mit Stahldeckschichten und einem Polyurethan Hartschaum Kern bei kurz und einem langzeitiger Belastung. Dissertation, Darmstadt, 1977.
- [126] LIZAREV, D.A., KLEINOV, I.V., KRSTANINA, B.I. Svobodnye kolebania kolčevih plastin s tšilindričeskoj anizotropiej. Prikladnaia mehanika, nr.7, p.76-82, 1977.
- [127] LO, H.K., CHRISTENSEN, E.R., WU, E.W. A High-order theory of Plate Deformation. Part.I. Homogeneous Plates. Part.II, Laminated Plates, Journal of Applied Mechanics, December, 1977.
- [128] Lucrările prezentate la al V - lea Simpozion Național De Tensometrie, Galați, 20-23 Septembrie, 1989.
- [129] LOH, C.H., CARNELY, F.J. Vibration and Stability of Spinning Annular Plates Reinforced with Edge Beams. Journal of Applied Mechanics, September, p.499 - 501, 1977.
- [130] LOHR, H. Ein Verfahren zur Berechnung von Kreisringplatten mit 2 freien Rändern und von Kreisplatten mit frein

Rand unter einer Gleichwichtsgruppe von Einzellasten
Dissertation, Darmstadt, 1975.

- [131] LUKAS, A.P. Osnovii nelineinoi mehaniki. Stroizdat, Moskva, 1978.
- [132] LURIE, P.A. Prostranstvenne zadaci teorii uprugosti, Gostehizdat, Moskva, 1955.
- [133] MAGERON, D., POTERASU, P., VULPE, A. Teoria optimizării structurilor cu aplicații. Editura Junimea, Iasi, 1980.
- [134] MAGYAROSY, I. Studiul carcaselor utilizate în construcția de mașini. Rezumatul tezei de doctorat, Institutul Politehnic Cluj - Napoca, 1985.
- [135] MAKSIMENKO, N.V., FILISTINSKII, A.L. Peredacia nagruzki ot rebra jestkosti k anizotropnoi obolocike v sluchae nalicia mejdu nemi sklieivaiuşceeva sloia. Prikladnaia mehanika, nr.8, p.84-69, 1978.
- [136] MALSCH, H. Stabilitäts- und Schwingungsuntersuchungen von ausgesteiften Platten nach einer Finite Element Methode, Dissertation, 1977.
- [137] MANEA, V. Citeva probleme ale teoriei plăcilor plane elastice. Editura Academiei, București, 1966.
- [138] MARTIAN, I. Plăci plane cu deformații mari de diferite contururi. Rezumatul tezei de doctorat. Institutul Politehnic Cluj- Napoca, 1986.
- [139] MARKUS, G. Kreis- und Kreisringplatten unter antisymmetrischer Belastung. Akademiai Kiado. Budapest, 1973.
- [140] MASSONET, Ch., ș.a. Calculul structurilor la calculatoare electronice. Editura Tehnică, București, 1974.
- [141] MAZILU, P., TOPA, N., IEREMIA, M. Teoria și calculul plăcilor ortotrope. Editura Tehnică, București, 1983.
- [142] MAZILU, P., TOPA, N., IEREMIA, M. Aplicarea teoriei elasticității și a plăcilor în calculul construcțiilor, Editura Tehnică, București, 1986.
- [143] MAY, B. Zur Berechnung von Schalenträgerwerken mit Hilfe gekrümmter Dreieckelemente. Dissertation, Bochum, 1976.
- [144] MANESCU, T.S. Contribuții la calculul de rezistență al vanei flutire biplane. Rezumatul tezei de doctorat, I.P. „Traian Vuia” Timișoara, 1982.
- [145] MITCHELL, G.A., WAIT, R. Metod konecinh elementov dlia sčlastnimi proizvodnimi. Izdatelstvo, Mir, Moskva, 1981.
- [146] MLEJNER, H.P. Ein Beitrag zur nicht linearen statischen und dynamischen Analyse von Vorgespannten und rotierenden Platten und Schalen mit der Methode der Finite Elemente. Dissertation, 1972.
- [147] MOCANU, D.R., BUGA, M., GEORGESCU, C. Determinarea experimentală a eforturilor unitare. Editura Transporturilor și Telecomunicațiilor, București, 1960.

- [148] MOCANU, D.R., BUGA, M., BRATES, M. Calcule de rezistență cu specific feroviar. Editura Căilor ferate, București, vol.II, 1958.
- [149] MODIGA, M. Matricea de rigiditate a elementului dreptunghiular de placă ortotropă în stare plană de eforturi. Lucrările științifice, vol.5, Universitatea Galați, 1976.
- [150] MUNTEANU, I. Calculul structurilor spațiale în formulare matricială. Editura Facla, Timișoara, 1972.
- [151] MUNTEANU, Gh.M., RADU, Gh., POPA, Al. Rezistența materialelor. Reprografia Universității, Brașov, 1981.
- [152] MUNTEANU, Gh.M. Biblioteci de programe „STRUCT”. Indreptar de utilizare. Reprografia Universității, Brașov, 1981.
- [153] MUNTEANU, Gh.M., ... , CIOFOAIA, V., ș.a. Calculul prin MEF a tobei și capacelor morii autogene Ø8500x3000 mm cu acționare cu motor asincron cu atac prin pinion pe coroană dințată. Contract de cercetare 6/1980, Brașov.
- [154] MUNTEANU, Gh.M., CIOFOAIA, V., ș.a. Calculul pe substructuri cu ajutorul programului SAPROM al clădirii principale a CNE. Contract de cercetare științifică nr.52/1985, Brașov.
- [155] MUNTEANU, Gh. M., ș.a. Contribuții la studiul rigidității stabilității elastice ale vibrațiilor plăcilor circulare. Studii și cercetări de mecanică aplicată, 42, 6, p.568 - 592, 1983.
- [156] MUNTEANU, Gh.M., ș.a. Study of Displacements and Natural Frequencies of the Circular Plates in the Presence of Membrane Stresses. Mécanique Appliquée, nr.2, p.159 - 175, 1987.
- [157] MUNTEANU, Gh.M. Aplicația pe calculator a metodei elementelor finite. Reprografia Universității, Brașov, 1979.
- [158] MUSAT, S. Contribuții privind aplicarea metodei elementelor finite la calculul în domeniul elastic și elastico - plastic al plăcilor întărite cu nervuri din structura navei. Universitatea din Brașov, Teză de doctorat, 1980.
- [159] MUSHELISVILI, N.I. Citeva probleme fundamentale ale teoriei matematice a elasticității. Editura Academiei București, 1954.
- [160] * * * Manualul pentru calculul construcțiilor. Editura Tehnică, București, 1980.
- [161] NADAI, N. Die Elastischen Platten. Springer - Verlag.

- [162] NADASAN, St., BABEU, T. Manualul tehnicianului din laboratorul de încercări de metale. Editura Didactică și Pedagogică, București, 1969.
- [163] NASTASE, V., CURTU, I., CIOFOAIA, V., DRAGHICIU, C. Cercetări privind rigiditatea la încovoiere a plăcilor sandwich. Industria lemnului, nr.4, 1985.
- [164] NECIAI, A.I., SUHAREV, P.I. Experimentalnoe opredelenie jestkosti na izghib i krucenie plastin k razami ili rebrami. Stroitelnaia mehanika i rascet sooruzenii, nr.3, p.61 - 62, 1971.
- [165] NEMCINOV, I.Iu. Rascet prostranstvennih konstruktsii (metod konecinih elementov) Budivelnik, Kiev, 1980.
- [166] NORRIS, H.G., VRIES, G. The Finite Element Method. Academic Press, New - York, 1973.
- [167] NOVOJILOV, V.V. Teoria tonkih obolocek. Sudpromgiz, Moskva, 1951.
- [168] NULLER, B.M., RIVKIN, M.B. Nesimetricinii izghib plastinki podkreplennoi simmetricinnoi sistemoi radialnih reber. Prikladnaia matematika i mehanika, nr.3, p. 469 - 477, 1983.
- [169] OCIAN, Iu.M. Kolebania vrasciaiushcegocia deformiruemogo diska. Mehanika tverdogo tela, nr.5, p.69-71, 1979.
- [170] OLESEV, S.S. Neuşcia sposobnosti kruĝlih plastin usilenih radialnimi i kolţevimi rebrami. Problemi procinosti, nr.12, p.16 - 20, 1978.
- [171] OPREA, Gh. Unele probleme privind calculul la solicitări dinamice ale plangeelor cu nervuri. Buletinul Academiei Militare, nr.1, p.159-174, 1973.
- [172] PARTON, Z.V., KALOMKAROV, L.A., SENIK, A.N. Primeneniia metoda osredneniia k rascetu armirovannih rebristi obolocek i plastin reguliarnoi strukturf. Problemi procinosti, nr.8, p.101-106, 1988.
- [173] PARTON, Z.N., Rascet napriajenno deformirovaunogo sostoianniia podkreplennih obolocek i plastin reguliarnoi strukturf. Problemi procinosti, nr.8, p.63-69, 1989.
- [174] PARTON, Z.N., PERLIN, I.P. Integral Equations in Elasticity. Mir Publishers, Moscow, 1977.
- [175] PACOSTE, C., STOIAN, V., DUBUNA, D. Metode moderne în mecanica structurilor. Editura Stiinţifică și Enciclopedică, București, 1989.
- [176] PETRICAN, M., ș.a. Aplicații ale tensometriei în industria lemnului. Editura Tehnică, București, 1980.
- [177] PETRILA, T., CHEORGHIU, I.C. Metode element finit și aplicații. Editura Academiei, București, 1987.
- [178] PISKUNOV, N. Differential and integral calcuc. Vol. II, Mir Publishers, Moscow, 1981.

- [179] POBEDRI, E.B. Cislenie metodf o teorii uprugosti i plastitsinosti. Izdatelstvo Moskovskogo Universiteta , Moskva, 1981.
- [180] PODHORSKY, M. Kreisplatten mit veränderlicher Dicke ihre Berechnung und Vorteile . Konstruktion 25 , p.93 - 98, 1973.
- [181] PONOMARIOV, S.D., ș.a Calculul de rezistență în construcția de mașini. Vol.II, Editura Tehnică, București , 1963.
- [182] POPOV, Ia, G. Konțentrația uprugih napriajenii vozle ștampov razrezov tonkin vključenii i podkretlenii. Moskva, 1982.
- [183] POSEA, N. Rezistența materialelor. Editura Didactică și Pedagogică, București, 1979.
- [184] POSTONOV, V.A., HARTURIN, I.I. Metod konecniakh elementov v rasceta sudovih konstrukții. Iz.Sudostroenie , Leningrad, 1974.
- [185] PRAISLER, G., VASILESCU, Al. Similitudinea sistemelor elastice. Editura Academiei, București, 1974.
- [186] PRIENICHNY, N.B., DANILIN, M.Y. Numerical Methods in extremal Problems.Mir Publishers, Moscow, 1978.
- [187] PRZEMIERICKI, J.S. Theory of Matrix Structural Analysis. Mc Graw Hill, New - York, 1968.
- [188] PASCARIU, I. Elemente finite. Concepte. Aplicatii. Editura Militară, București, 1985.
- [189] RAGHAVAN, S.K., RAO, S.S. Influence of Elastico-Plastic Transition on the inelastic Response of Beams and Plates. ASME Journal of Applied Mechanics, September, vol.45, p.521 - 526, 1978.
- [190] RAO, S.S. The Finite Element Method in Engineering. Pergamon Press, Oxford, 1982.
- [191] RABINOVICI, M.I. Stroitelnaia mehanikav SSSR. Stroizdat Moskva, 1969.
- [192] REDDY, N.J., HUANG, L.C., SINGH, R. Large deflections and large amplitude vibration of axialsymmetric circular plates. International Journal for numerical Methods in Engineering, vol.17, p.537-541, 1981.
- [193] REITMAN, I.M., SAPIRO, S.G., Metode de proiectare optima a corpurilor deformabile. Editura Tehnică, București, 1981.
- [194] REISSNER, E.A. Atwelvth order of theory of transverse bending of transversaly isotropic plates. ZAMM , p.285 - 289, 1983.
- [195] REKLAITIS, V.G., RAVINDRAN, A., RAGSDALL, M.K. Engineering Optimization. Methods and Applications. A Wiley - Interscience Publication John Wiley and Sons, New - York, 1983.

- [196] RUMSISKI, L. Prelucrarea matematică a datelor experimentale. Editura Tehnică, București, 1974.
- [197] RUSU, O., GALL, T. Probleme moderne ale rezistenței materialelor. Editura Tehnică, București, 1970.
- [198] SAMSONOV, A.M. O vibore optimalinogo diskretnogo raspredeleniia jstskostei rebra na krugloi plastine. Prikladnaia mehanika, nr.11, p.65-71, 1978.
- [199] SAMSONOV, A.M. Neoodhodimie uslovia optimalinosti raspredelenie jstskostei rebra uprugoi plastin. Mehani - ka, nr.1, p.130 - 144, 1980.
- [200] SANDI, H. Metode matriciale în mecanica structurilor. Editura Tehnică, București, 1976.
- [201] SAWIN, G.N. Spannungserhöhung um Rande von Löchern. VEB Verlag Technik, Berlin, 1956.
- [202] SAWIN, G.N., FLESHMAN, N.P. Plastinki i obolociki s rebrami jstskosti. Naukovo dumka, Kiev, 1964.
- [203] SAWIN, G.N., RAJUR, F. Izghib ghibkin plastin s rebrami jstskosti. Prikladnaia mehanika, nr.5, p.8-16, 1974.
- [204] SALVADORI, G.U., BARON, L.M. Metode numerice în tehnică. Editura Tehnică, București, 1972.
- [205] SEDOV, L. Mécanique des milieux continus. Editions de Moscou, Tome I, Tome II, 1975.
- [206] SI LE CONG. Effectivität untersuchung von FEM Platten - elementen zur Behondung von Spannungskonzentrations Problemen. Dissertation, Kaiserlautern, 1986.
- [207] SIMA, V., VARGA, A. Practica optimizării asistate de calculator. Editura Tehnică, București, 1985.
- [208] SIMA, P. Calculul structurilor din lemn utilizate în economia forestieră. Editura Cereia, Cărlova, 1984.
- [209] SMIRNOV, I.V. Curs de matematici superioare. Editura Tehnică, vol.I, II, III, IV, 1952 și 1953, București.
- [210] SOARE, V.N. Contribuții la calculul plăcilor ortotrope cu nervuri de rigidizare pe o singură parte. Studii și cercetări de mecanică aplicată, Tomul 33, nr.4, 1974 și nr.1, 1975.
- [211] SOLOMON, L. Elasticitate liniară. Introducere matematică în statica solidului elastic. Editura Academiei, București, 1969.
- [212] STEPANOV, V.V. Curs de ecuații diferențiale. Editura Tehnică, București, 1955.
- [213] STEINBICHLER, H. Beitrag zur quantitativen Auswertung von holographischen Interferogrammen. Dissertation. München, 1973.
- [214] STOICESCU, L. MODIGA, E. Metode matriceale în teoria structurilor de nave. Reprografia Universității, Galați, 1973.

- [215] STOICESCU, L. Contribuții la calculul planșelor de nave folosind elemente finite de placă ortotropă structural și elemente finite de bară cu pereți subțiri. Rezumatul tezei de doctorat. I.P. București, 1976.
- [216] STRANG, G., FIX, J.C. Teoria metoda konecinh elementov. Izdatelstvo Mir, Moskva, 1977.
- [217] SULKIN, Iu.E. Upovneniia zadacii o kruhloi plastinke usilennoi radialnymi rebrami. Izv.AN SSSR Mehanika, nr.2, 1965.
- [218] SUSTOKOVICI, A.Ia. Uprošciennii rasceti napriajennogo stoianiiia kružlih plastin. Vestnik mašinstroienia, nr.1, 1971.
- [219] SZILARD, R. Theory and Analysis of Plates. Prentices - Hill, Inc. Englewood Cliffs, New Jersey, 1974.
- [220] TANKEUTI, Y., NODA, N. Plane Thermoelastic Problem in a Multiply Connected Orthotropic Body. Journal of Applied Mechanics, September, p.431-436, 1977.
- [221] TEODORESCU, P.P. Probleme plane în teoria elasticității. vol.I, 1961, vol. II, 1966, Editura Academiei, București.
- [222] TEODORESCU, P.P. Probleme spațiale ale teoriei elasticității. Editura Academiei, București, 1970.
- [223] TEODORESCU, P.P., IILE, V. Teoria elasticității și introducerea în mecanica solidelor deformabile. vol.I, 1977, vol.II, 1979, vol.III, 1980, Editura Dacia Cluj-Romania.
- [224] THEOCARIS, S.P., ș.a Analiza experimentală a tensiunilor. vol.1, vol.II, Editura Tehnică, București, 1977.
- [225] TIMOSHENKO, S.P., GOODIER, J.N. Theory of Elasticity. New York, Mc Graw Hill, 1951.
- [226] TIMOSHENKO, S.P., WOINOVSKY-KRIEGER. Teoria plăcilor plane și curbe. Editura Tehnică, București, 1968.
- [227] TIMOSHENKO, S.P., GHRE, J.M. Teoria stabilității elastice. Editura Tehnică, București, 1967.
- [228] TIRON, M. Teoria erorilor de măsurare și metoda celor mai mici pătrate. Editura Tehnică, București, 1972.
- [229] TOPOLE, J. Berechnung von Spannungsfunktionen für Schreibein unter beliebiger Belastung. Dissertation, Bochum, 1977.
- [230] VAINBERG, D.V., VAINBERG, E.D. Plastinî, diski, balki stenki, Izd. ISA Kiev, 1952.
- [231] VAINBERG, D.V. Konțentrația napriajenii v plastinakh okolo otverstii i vikrujeh. Izd. Tehnika, Kiev, 1969.
- [232] VAINBERG, D.V., JDAK, Z.V. Matricinîe algoritmi v teorii obolocek vrașcenie. Izd. Kievskogo Univer. 1967.
- [233] VOINEA, P.R., VOICULESCU, D., CEAUSU, V. Elasticitate și plasticitate. I.P. București, 1976.

- [234] VLASOV, V.Z. Tonkostenie uprugie sterjni. Fizmatgiz, Moskva, 1959.
- [235] WOLMIR, A.S. Biegsame Platten und Schalen. VEB Verlag für Bauwesen, Berlin, 1962.
- [236] WASHIZU, K. Variational methods in elasticity and plasticity. Moskva, Mir, 1967.
- [237] WANG, CHI-TEH. Applied Elasticity. Mc Graw-Hill Publishing company LTD, New - York, 1953.
- [238] ZIENKIEWICZ, O.C. The finite Element Method in Structural and Continuum Mechanics. Mc Graw Hill, 1967, 1971.
- [239] ZIENKIEWICZ, O.C. La méthode des éléments finis. Mc Graw Hill, 1973.

11 CUPRINS

INTRODUCERE	3
1 NOTATII	6
2 STADIUL ACTUAL AL CALCULULUI PLACILOR CIRCULARE RIGIDIZATE	9
2.1 Considerații generale	9
2.2 Tipuri de plăci circulare nervurate	10
2.3 Importanța utilizării plăcilor circulare nervurate radiale	12
2.4 Stadiul actual al cercetărilor privind calculul plăcilor circulare rigidizate	17
2.5 Obiectivele lucrării	19
3 TEORIA PLACILOR CIRCULARE PLANE ISOTROPE ȘI A RETELELOR DE BARE	21
3.1 Teoria plăcilor circulare plane izotrope	21
3.1.1 Considerații generale	21
3.1.2 Formularea problemei	22
3.1.3 Ipoteze simplificatoare de calcul	27
3.1.4 Deplasări	28
3.1.5 Deformații specifice	28
3.1.6 Tensiuni	29
3.1.7 Eforturi secționale	30
3.1.8 Ecuațiile de echilibru static	33
3.2 Rețele de bare	36
3.2.1 Considerații generale	36
3.2.2 Eforturi secționale	36
3.3 Concluzii	40
4 CONTRIBUTII PRIVIND TEORIA ÎNCOVIERII CU ÎNTINDERE SAU COMPRESIUNE A PLACILOR CIRCULARE CU NERVURI	43
4.1 Considerații generale	43
4.2 Formularea problemei	44
4.3 Ipoteze de calcul	45
4.4 Deplasări și deformații specifice	46
4.5 Tensiuni	46
4.6 Eforturi secționale	46
4.6.1 Calculul eforturilor secționale în funcție de componentele deplasării prin integrare	48
4.6.2 Calculul eforturilor secționale prin suprapunerea eforturilor plăcii și ale rețelelor de bare	53
4.7 Ecuații de sinteză	54
4.8 Energia potențială totală a plăcilor circulare cu nervuri radiale	58
4.9 Concluzii	64

- 5 Contribuții la determinarea stărilor de deformare și de tensiune
 - 5.1 Considerații generale
 - 5.2 Studiul stărilor de deformare și de tensiune cu metoda analitică
 - 5.2.1 Placa circulară cu nervuri radiale de secțiune transversală constantă
 - 5.2.1.1 Calculul discurilor nervurate
 - 5.2.1.2 Incovoierea plăcii circulare cu nervuri radiale
 - 5.2.1.3 Plăci inelare
 - 5.2.2 Placa circulară cu nervuri radiale secțiune variabilă
 - 5.2.2.1 Placa cu nervuri de lățime variabilă
 - 5.2.2.2 Placa cu nervuri radiale cu înălțime variabilă
 - 5.3 Analiza stărilor de deformare și de tensiune cu metode aproximative
 - 5.3.1 Integrarea ecuațiilor diferențiale cu ajutorul seriilor
 - 5.3.2 Metode variaționale
 - 5.3.2.1 Metoda Rayleigh - Ritz
 - 5.3.2.2 Metoda Bubnov - Galerkin
 - 5.3.3 Determinarea stărilor de deformare și de tensiune cu metoda elementului finit.
 - 5.3.3.1 Determinarea stărilor de deformare și de tensiune folosind programul SAP IV
 - 5.3.3.2 Determinarea stărilor de deformare și de tensiune folosind programul SLEPC
 - 5.4 Concluzii
- 6 INFLUENȚA NERVURILOR ASUPRA RIGIDITĂȚII ȘI MICSORĂRII GREUTĂȚII PLĂCILOR
 - 6.1 Considerații generale
 - 6.2 Formularea problemei
 - 6.3 Condiția de rezistență
 - 6.4 Condiția de rigiditate
 - 6.5 Concluzii
- 7 CONTRIBUTII PRIVIND STUDIUL EXPERIMENTAL AL STĂRILOR DE TENSIUNE ȘI DEFORMAȚIE
 - 7.1 Considerații generale
 - 7.2 Măsurători și verificări experimentale tensometrice
 - 7.2.1 Principiu
 - 7.2.2 Modele și instalația pentru încercări plăci circulare cu nervuri radiale
 - 7.2.3 Programul încercărilor
 - 7.2.4 Rezultate experimentale și discuții
 - 7.2.5 Concluzii
 - 7.3 Studiul plăcilor cu ajutorul fotoelasticității
 - 7.3.1 Principiu

7.3.2	Modelul fotoelastic. Dispozitivul de încărcare	150
7.3.3	Determinări experimentale	151
7.3.4	Concluzii	154
7.4	Studiul deplasărilor plăcilor cu nervuri cu ajutorul interferometrie holografice	155
7.4.1	Generalități. Principiul holografiei	155
7.4.2	Modele. Dispozitivul de încărcare ...	156
7.4.3	Interpretarea înregistrărilor holografice	157
7.4.4	Concluzii	157
8	CONCLUZII FINALE	
9	ANEXE	165
A.1	Noțiuni de geometrie diferențială și analiză tensorială	165
A.2	Deplasări și deformații	170
A.3	Ecuatii de echilibru static... ..	172
A.4	Rezolvarea ecuațiilor diferențiale cu ajutorul seriilor	174
10	BIBLIOGRAFIE	178
11	CUPRINS	193